

การพัฒนาเครื่องวัดคุณภาพไฟฟ้าที่สามารถตรวจจับทิศทางของแหล่งกำเนิดฮาร์มอนิกส์และ
แรงดันตกชั่วขณะได้



นายสกลพงษ์ บุรณะวิทย์

สถาบันวิทยบริการ

วิทยานิพนธ์นี้เป็นส่วนหนึ่งของการศึกษาตามหลักสูตรปริญญาวิศวกรรมศาสตรมหาบัณฑิต

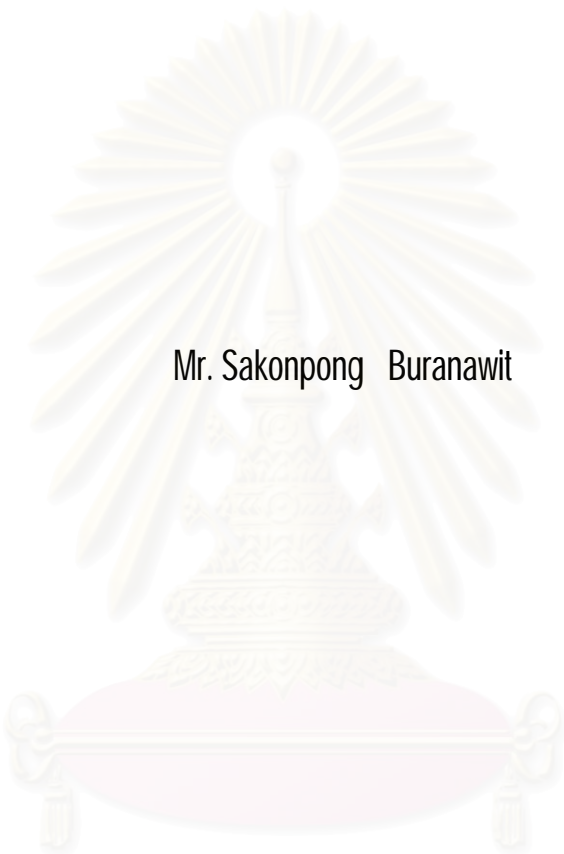
สาขาวิชาวิศวกรรมไฟฟ้า ภาควิชาวิศวกรรมไฟฟ้า

คณะวิศวกรรมศาสตร์ จุฬาลงกรณ์มหาวิทยาลัย

ปีการศึกษา 2551

ลิขสิทธิ์ของจุฬาลงกรณ์มหาวิทยาลัย

DEVELOPMENT OF A POWER QUALITY METER CAPABLE OF DETECTING HARMONIC
AND VOLTAGE SAG SOURCE DIRECTIONS



Mr. Sakonpong Buranawit

สถาบันวิทยบริการ
จุฬาลงกรณ์มหาวิทยาลัย

A Thesis Submitted in Partial Fulfillment of the Requirements
for the Degree of Master of Engineering Program in Electrical Engineering
Department of Electrical Engineering
Faculty of Engineering
Chulalongkorn University
Academic Year 2008
Copyright of Chulalongkorn University

หัวข้อวิทยานิพนธ์

การพัฒนาเครื่องวัดคุณภาพไฟฟ้าที่สามารถตรวจจับทิศทาง
ของแหล่งกำเนิดฮาร์มอนิกส์และแรงดันตกชั่วขณะได้

โดย

นาย สกลพงษ์ นูรณะวิทย์

สาขาวิชา

วิศวกรรมไฟฟ้า

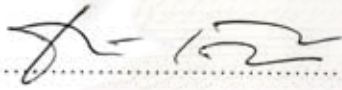
อาจารย์ที่ปรึกษาวิทยานิพนธ์หลัก

รองศาสตราจารย์ ดร.เอกชัย ลีลาวัศมี

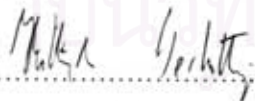
คณะวิศวกรรมศาสตร์ จุฬาลงกรณ์มหาวิทยาลัย อนุมัติให้บัณฑิตวิทยาลัย
เป็นส่วนหนึ่งของการศึกษาตามหลักสูตรปริญญาโทบัณฑิต


..... คณบดีคณะวิศวกรรมศาสตร์
(รองศาสตราจารย์ ดร.บุญสม เลิศหิรัญวงศ์)

คณะกรรมการสอบวิทยานิพนธ์


..... ประธานกรรมการ
(อาจารย์ ดร. ธวัชชัย เตชสุนันต์)


..... อาจารย์ที่ปรึกษาวิทยานิพนธ์หลัก
(รองศาสตราจารย์ ดร. เอกชัย ลีลาวัศมี)


..... กรรมการภายนอกมหาวิทยาลัย
(ผู้ช่วยศาสตราจารย์ ดร. กิตติพันธุ์ เตชะกิตติโรจน์)

สกลพงษ์ บุรณะวิทย์ : การพัฒนาเครื่องวัดคุณภาพไฟฟ้าที่สามารถตรวจจับทิศทางของแหล่งกำเนิดฮาร์มอนิกส์และแรงดันตกชั่วขณะได้. (DEVELOPMENT OF A POWER QUALITY METER CAPABLE OF DETECTING HARMONIC AND VOLTAGE SAG SOURCE DIRECTIONS) อ.ที่ปรึกษาวิทยานิพนธ์หลัก : รศ. ดร. เอกชัย ลีลารัมย์, 105 หน้า.

วิทยานิพนธ์ฉบับนี้นำเสนอการออกแบบและพัฒนาเครื่องวัดคุณภาพไฟฟ้าที่มีคุณสมบัติพิเศษ คือสามารถตรวจจับทิศทางของแหล่งกำเนิดฮาร์มอนิกส์และแรงดันตกชั่วขณะได้ โครงสร้างหลักของเครื่องประกอบไปด้วย บอร์ดทดลองชิปประมวลผลสัญญาณดิจิทัล TMS320C6711 ทำหน้าที่วิเคราะห์หาพารามิเตอร์ต่างๆที่เกี่ยวข้องกับคุณภาพไฟฟ้าจากสัญญาณที่สุ่มได้จากชิปแปลงสัญญาณแอนะล็อกเป็นดิจิทัล ADS8364 ความละเอียด 16 บิต มีอัตราสุ่มตัวอย่างสูงสุด 250 ksps , บอร์ดไมโครคอนโทรลเลอร์ ATMEGA 128 ทำหน้าที่บันทึกข้อมูลลงหน่วยความจำ SD Card, รับคำสั่งต่างๆจากผู้ใช้งาน และเป็นตัวกลางในการส่งผ่านข้อมูลไปแสดงผลบนโปรแกรมประสานกราฟิกกับผู้ใช้ (Graphic User Interface, GUI) ส่วนสุดท้ายคือโปรแกรมประสานกราฟิกกับผู้ใช้ มีหน้าที่แสดงผลข้อมูล รูปคลื่นและพารามิเตอร์ต่างๆที่คำนวณได้ ซึ่งพัฒนาขึ้นจากโปรแกรม Matlab การทดสอบวัดพารามิเตอร์ที่เกี่ยวข้องกับคุณภาพไฟฟ้า จะทำการสอบเทียบกับเครื่องจ่ายโหลดพลังงานเสมือนและเครื่องวัดคลื่นแรงดันไฟฟ้า Fluke 199C การทดสอบหาทิศทางของแหล่งกำเนิดฮาร์มอนิกส์จะเปรียบเทียบผลการหาทิศทางด้วยวิธีพิจารณาเครื่องหมายความต้านทานวิกฤต (CI) กับเครื่องหมายกำลังไฟฟ้าขณะนั้น $\overline{p_h}$ การทดสอบหาทิศทางของแหล่งกำเนิดแรงดันตกชั่วขณะจะพิจารณาโดยการพิจารณาเครื่องหมายของความต้านทานขณะไม่เกิดการรบกวน

สถาบันวิทยบริการ
จุฬาลงกรณ์มหาวิทยาลัย

ภาควิชา.....วิศวกรรมไฟฟ้า.....ลายมือชื่อนิสิต.....สกลพงษ์ บุรณะวิทย์.....
สาขาวิชา.....วิศวกรรมไฟฟ้า.....ลายมือชื่ออ.ที่ปรึกษาวิทยานิพนธ์หลัก.....เอกชัย ลีลารัมย์.....
ปีการศึกษา.....2551.....

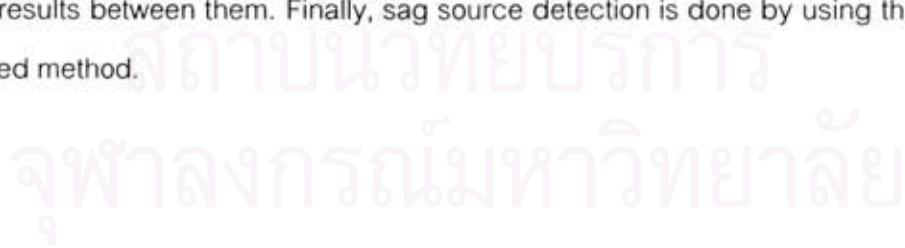
5070625121 : MAJOR ELECTRICAL ENGINEERING

KEYWORDS: POWER QUALITY METER / POWER QUALITY INSTRUMENT / HARMONIC SOURCE DETECTION / VOLTAGE SAG SOURCE DETECTION

SAKONPONG BURANAWIT : DEVELOPMENT OF A POWER QUALITY METER CAPABLE OF DETECTION HARMONIC AND SAG SOURCE DIRECTIONS.

THESIS ADVISOR : ASSOC PROF. EKACHAI LEELARASMEE, Ph.D., 105 pp.

This thesis presents a development of a power quality meter capable of detection harmonic and sag source directions that mainly consists of 3 parts. The first part is a TMS320C6711 Digital Signal Processing Board, which receives the voltage and current data from ADS8364 a 16 bit 250 ksps analog to digital converter and calculates all related power quality calculations. The second part is an ATMEGA 128 microcontroller board, which logs power quality data in an SD card memory, displays data on an LCD-display, receive user command from keypad and transmit data from DSP board to GUI computer program. The third part is a GUI computer program that is developed by Matlab program. Experiments are done and the results are compared with artificial power energy source and Fluke Scopemeter 199C for testing the accuracy and performance. The detection of harmonic source direction is found by using critical impedance and instantaneous Power methods to compare the results between them. Finally, sag source detection is done by using the resistance sign based method.



Department: Electrical Engineering Student's Signature: Sakonpong Buranawit
Field of Study: Electrical Engineering Advisor's Signature: Ekachai Leelarasmee
Academic Year: 2008

กิตติกรรมประกาศ

วิทยานิพนธ์ฉบับนี้ สำเร็จลุล่วงไปได้ด้วยความช่วยเหลืออย่างดียิ่งของ รองศาสตราจารย์ ดร.เอกชัย ลีลาวัศมี อาจารย์ที่ปรึกษาวิทยานิพนธ์ของข้าพเจ้า ซึ่งได้ให้คำแนะนำและให้การสนับสนุนการวิจัยเป็นอย่างดีตลอดมา อาจารย์ สุวิทย์ นาคพิระยุทธ ซึ่งได้ให้คำแนะนำเกี่ยวกับการใช้บอร์ดประมวลผลสัญญาณดิจิทัล อาจารย์ ดร. ธวัชชัย เตชสุนันต์ ที่ได้ให้ความรู้ คำแนะนำ และประสบการณ์เกี่ยวกับการวัดคุณภาพไฟฟ้า

ขอขอบคุณจุฬาลงกรณ์มหาวิทยาลัยที่ให้ความรู้และประสบการณ์ดีๆ ทั้งทางด้านวิชาการ ด้านสังคมและอื่นๆแก่ข้าพเจ้า

ขอขอบคุณพี่ๆ เพื่อนๆ น้องๆ ในห้องปฏิบัติการวิจัยระบบสมองกลฝังตัวและวงจรรวมทุกคน สำหรับความช่วยเหลือ คำแนะนำและความเป็นมิตรที่มีให้มาโดยตลอด

สุดท้ายนี้ข้าพเจ้าใคร่ขอกราบขอบพระคุณบิดา-มารดา อันเป็นที่เคารพรัก ที่อบรมสั่งสอน เลี้ยงดู ให้การสนับสนุนในทุกๆด้านและให้กำลังใจแก่ข้าพเจ้าตลอดเวลา

สถาบันวิทยบริการ
จุฬาลงกรณ์มหาวิทยาลัย

สารบัญ

หน้า

| | |
|-------------------------------------------------------|----|
| บทคัดย่อภาษาไทย..... | ง |
| บทคัดย่อภาษาอังกฤษ..... | จ |
| กิตติกรรมประกาศ | ฉ |
| สารบัญ..... | ช |
| สารบัญตาราง | ฎ |
| สารบัญภาพ | ฏ |
| บทที่ 1 บทนำ | 1 |
| 1.1. แนวเหตุผลในการทำวิทยานิพนธ์..... | 1 |
| 1.2. วัตถุประสงค์ของการวิจัย | 1 |
| 1.3. ขอบเขตของการวิจัย | 2 |
| 1.4. วิธีการดำเนินการวิจัย | 2 |
| 1.5. ประโยชน์ที่คาดว่าจะได้รับ | 3 |
| 1.6. ลำดับขั้นตอนในงานวิจัย..... | 3 |
| บทที่ 2 ความรู้พื้นฐานและหลักการที่เกี่ยวข้อง | 4 |
| 2.1. ปัญหาคุณภาพไฟฟ้า (Power Quality Problem)..... | 4 |
| 2.1.1. การเปลี่ยนแปลงชั่วขณะ (Transient)..... | 4 |
| 2.1.2. แรงดันตกชั่วขณะ (Voltage Sag)..... | 6 |
| 2.1.3. ฮาร์โมนิกส์ (Harmonics)..... | 7 |
| 2.1.4. แรงดันกระเพื่อม (Voltage Fluctuation)..... | 9 |
| 2.1.5. ไฟกะพริบ (Flickers) | 10 |
| 2.2. เครื่องวัดคุณภาพไฟฟ้า (Power Quality Meter)..... | 11 |

| | |
|------------------------------------------------------------------------------------------------------------------------------------------------------|----|
| 2.2.1. ประเภทของเครื่องวัด | 11 |
| 2.2.2. ข้อกำหนดเครื่องวัดคุณภาพไฟฟ้า..... | 11 |
| 2.2.3. โครงสร้างเครื่องวัดคุณภาพไฟฟ้า (Power Quality Meter Architecture) | 12 |
| 2.3. การวัดและวิเคราะห์คุณภาพไฟฟ้า..... | 14 |
| 2.3.1. การวิเคราะห์ปริมาณฮาร์มอนิกส์ | 14 |
| 2.3.2. การหาทิศทางของแหล่งกำเนิดฮาร์มอนิกส์จากความต้านทานวิกฤติ | 16 |
| 2.3.3. การพิจารณาทิศทางแหล่งกำเนิดฮาร์มอนิกส์จากกำลังไฟฟ้าขณะนั้น (Harmonic Power Detection Based on Instantaneous Active Power) | 20 |
| 2.3.4. การวิเคราะห์การหาทิศทางของแหล่งกำเนิดแรงดันตกชั่วขณะจากเครื่อง หมายความต้านทานขณะไม่เกิดการรบกวน (A Resistance Sign-Based Method) | 21 |
| 2.3.5. การวิเคราะห์การเกิดไฟกะพริบ | 22 |
| บทที่ 3 รายละเอียดด้านฮาร์ดแวร์ | 25 |
| 3.1. โครงสร้างของเครื่องวัดคุณภาพไฟฟ้า | 26 |
| 3.2. หน่วยประมวลผลและอุปกรณ์อิเล็กทรอนิกส์อื่นๆ | 26 |
| 3.2.1. ชิพประมวลผลสัญญาณดิจิทัล | 27 |
| 3.2.2. บอร์ดทดลองชิพประมวลผลสัญญาณดิจิทัล..... | 28 |
| 3.2.3. ไมโครคอนโทรลเลอร์..... | 29 |
| 3.2.4. ชิพแปลงสัญญาณแอนะล็อกเป็นดิจิทัล | 31 |
| 3.2.5. ชิพฐานเวลาจริง (Real-time Clock) | 32 |
| 3.2.6. วงจรปรับขนาดสัญญาณ (Signal Condition Circuit)..... | 33 |
| 3.2.7. ส่วนประกอบอิเล็กทรอนิกส์อื่นๆ มีดังนี้..... | 34 |

| | |
|--------------------------------------------------------------------------------------------------|----|
| 3.3. ฮาร์ดแวร์ที่พัฒนาขึ้น..... | 37 |
| บทที่ 4 รายละเอียดด้านซอฟต์แวร์..... | 38 |
| 4.1. โปรแกรมควบคุมบอร์ดประมวลผลสัญญาณดิจิทัล..... | 38 |
| 4.1.1. การทำงานของโปรแกรมควบคุมบอร์ดประมวลผลสัญญาณดิจิทัล..... | 39 |
| 4.1.2. การเริ่มต้นการทำงานบอร์ดประมวลผลสัญญาณดิจิทัลและชิพแปลง สัญญาณแอนะล็อกเป็นดิจิทัล..... | 41 |
| 4.1.3. การติดต่อกับชิพแปลงสัญญาณแอนะล็อกเป็นดิจิทัล..... | 42 |
| 4.1.4. การติดต่อและส่งข้อมูลไปยังไมโครคอนโทรเลอร์ ATMEGA 128..... | 43 |
| 4.1.5. โปรแกรมวิเคราะห์คุณภาพไฟฟ้า..... | 43 |
| 4.2. โปรแกรมบนไมโครคอนโทรเลอร์..... | 47 |
| 4.2.1. การทำงานของโปรแกรมบนไมโครคอนโทรเลอร์..... | 48 |
| 4.2.2. การเริ่มต้นการทำงานไมโครคอนโทรเลอร์ ATMEGA 128..... | 49 |
| 4.2.3. โปรแกรมบันทึกข้อมูลลงหน่วยความจำ SD Card..... | 49 |
| 4.2.4. โปรแกรมรับคำสั่งจากแผงแป้นพิเศษ (Keypad)..... | 50 |
| 4.3. โปรแกรมบนคอมพิวเตอร์..... | 51 |
| 4.3.1. โครงสร้างของโปรแกรมส่วนต่อประสานกราฟิกกับผู้ใช้..... | 51 |
| 4.3.2. การวิเคราะห์ไฟกะพริบ..... | 51 |
| 4.3.3. การทำงานของโปรแกรมส่วนต่อประสานกราฟิกกับผู้ใช้..... | 53 |
| บทที่ 5 ผลการทดลองและการทดสอบ..... | 56 |
| 5.1. การทดสอบการวิเคราะห์ปริมาณฮาร์มอนิกส์..... | 57 |
| 5.1.1. การทดสอบวัดปริมาณฮาร์มอนิกส์ในสัญญาณแรงดันไฟฟ้าสลับ..... | 58 |
| 5.1.2. การทดสอบวัดปริมาณฮาร์มอนิกส์ในสัญญาณกระแสไฟฟ้าสลับ..... | 65 |

| | |
|--------------------------------------------------------------------------------------------|-----|
| 5.2. การทดสอบวิเคราะห์หาทิศทางของแหล่งกำเนิดฮาร์มอนิกส์ | 73 |
| 5.2.1. กรณีแหล่งกำเนิดฮาร์มอนิกส์อยู่ทางด้านผู้ใช้ไฟฟ้า | 74 |
| 5.2.2. กรณีแหล่งกำเนิดฮาร์มอนิกส์อยู่ทางด้านแหล่งจำหน่ายไฟ | 77 |
| 5.2.3. วิเคราะห์ผลการใช้อัลกอริทึมวิเคราะห์หาทิศทางของแหล่ง กำเนิดฮาร์มอนิกส์ | 78 |
| 5.3. การทดสอบวิเคราะห์และหาทิศของแหล่งกำเนิดแรงดันตกชั่วขณะ | 80 |
| 5.4. การทดสอบวัดการเปลี่ยนแปลงชั่วขณะที่เกิดขึ้นในช่วงความถี่ต่ำ | 83 |
| 5.5. การทดสอบวิเคราะห์ไฟกะพริบ | 85 |
| 5.6. การทดสอบวิเคราะห์พารามิเตอร์อื่นๆ | 87 |
| 5.6.1. การทดสอบวัดกำลังจริง | 88 |
| 5.6.2. การทดสอบวัดกำลังปรากฏ | 88 |
| 5.6.3. การทดสอบวัดกำลังเสมือน | 89 |
| 5.6.4. การทดสอบวัดตัวประกอบกำลัง | 89 |
| บทที่ 6 ข้อสรุปและข้อเสนอแนะ | 91 |
| 6.1. ข้อสรุป | 91 |
| 6.2. ข้อเสนอแนะ | 92 |
| รายการอ้างอิง | 94 |
| ภาคผนวก | 96 |
| ภาคผนวก ก รูปวงจรซึ่งออกแบบสำหรับงานวิจัยนี้ | 97 |
| ภาคผนวก ข บทความที่ได้รับการตีพิมพ์ในการประชุมวิชาการทางวิศวกรรมไฟฟ้า ครั้งที่ 31 | 100 |
| ประวัติผู้เขียนวิทยานิพนธ์ | 105 |

สารบัญตาราง

| | หน้า |
|--------------------------------------------------------------------------------------------------------|------|
| ตารางที่ 5.1 ตารางแสดงเครื่องหมาย \overline{p}_h และ Q_h กรณีแหล่งจ่าย 220V AC | 76 |
| ตารางที่ 5.2 ตารางแสดงเครื่องหมาย \overline{p}_h และ Q_h กรณีแหล่งจ่าย เป็นเครื่องสำรองไฟ..... | 77 |
| ตารางที่ 5.3 ตารางแสดงเครื่องหมาย \overline{p}_h และ Q_h กรณีแหล่งจ่ายUPS จ่ายโหลดไม่เชิงเส้น..... | 80 |
| ตารางที่ 5.4 ตารางเปรียบเทียบร้อยละการเปลี่ยนแปลงของแรงดันจากเครื่องวัดกับ การคำนวณ..... | 81 |
| ตารางที่ 5.5 ตารางแสดงผลการวิเคราะห์เครื่องหมาย Z_e ที่จุดวัด M_1 และ M_2 | 83 |
| ตารางที่ 5.6 ตารางแสดงผลการวิเคราะห์หาดัชนีไฟกะพริบ P_{st} | 86 |

สถาบันวิทยบริการ
จุฬาลงกรณ์มหาวิทยาลัย

สารบัญญภาพ

| | หน้า |
|---------------------------------------------------------------------------------------------------------------------------------------|------|
| รูปที่ 2-1 รูปคลื่นโดยทั่วไปของสัญญาณไฟฟ้าที่ถูกรบกวน..... | 4 |
| รูปที่ 2-2 รูปคลื่นการเปลี่ยนแปลงกระแสชั่วขณะ | 5 |
| รูปที่ 2-3 รูปคลื่นการเปลี่ยนแปลงทันทีทันใดแบบแกว่งในช่วงความถี่ต่ำ | 6 |
| รูปที่ 2-4 รูปคลื่นการเกิดแรงดันตกชั่วขณะ | 6 |
| รูปที่ 2-5 รูปคลื่นสัญญาณความถี่หลักมูลและฮาร์มอนิกที่ 2 และ 3 | 7 |
| รูปที่ 2-6 ตัวอย่างการผิดเพี้ยนของรูปคลื่นที่เกิดจากการรบกวนกันของสัญญาณ ความถี่หลักมูลกับองค์ประกอบฮาร์มอนิกอันดับสองและสาม | 8 |
| รูปที่ 2-7 รูปคลื่นกระแสที่ผิดเพี้ยนอันเนื่องมาจากองค์ประกอบฮาร์มอนิก (a) และ ฮาร์มอนิกสเปกตรัม (b)..... | 9 |
| รูปที่ 2-8 ตัวอย่างรูปคลื่นแรงดันกระแสเฟื้อม อันเป็นผลมาจากการใช้งาน Arc Furnace | 9 |
| รูปที่ 2-9 ตัวอย่างรูปคลื่นแรงดันไฟกะพริบ | 10 |
| รูปที่ 2-10 โครงสร้างโดยทั่วไปของเครื่องวัดคุณภาพไฟฟ้า | 13 |
| รูปที่ 2-11 หม้อแปลงกระแสโดยทั่วไปและวงจรเปลี่ยนสัญญาณกระแสเป็นแรงดัน..... | 13 |
| รูปที่ 2-12 วงจรสมมูล Norton (a) และ Thevenin (b) ระหว่างผู้ใช้กับแหล่งจ่ายไฟฟ้า | 16 |
| รูปที่ 2-13 การพิจารณาแรงดันที่จุดวัดบนสายความต้านทาน (Impedance Line) jX..... | 18 |
| รูปที่ 2-14 บล็อกไดอะแกรมแสดงการวิเคราะห์การตรวจวัดกำลังไฟฟ้าฮาร์มอนิก | 20 |
| รูปที่ 2-15 ระบบไฟฟ้าสมมูล (Equivalent System) | 21 |
| รูปที่ 2-16 วงจรไฟฟ้าสมมูล (Equivalent Circuit)..... | 21 |
| รูปที่ 2-17 บล็อกไดอะแกรมเครื่องวัดสัญญาณไฟกะพริบตามมาตรฐาน IEC 61000-4-15..... | 23 |
| รูปที่ 3-1 แผนภาพการใช้งานเครื่องวัดคุณภาพไฟฟ้า..... | 25 |
| รูปที่ 3-2 โครงสร้างภายในเครื่องวัดคุณภาพไฟฟ้า..... | 26 |

| | | |
|-------------|--------------------------------------------------------------------------------------------------------------------------|----|
| รูปที่ 3-3 | โครงสร้างภายในของชิพประมวลผลสัญญาณดิจิทัล TMS320C6711..... | 27 |
| รูปที่ 3-4 | การเชื่อมต่อระหว่างชิพประมวลผลสัญญาณดิจิทัล TMS320C6711 กับ อุปกรณ์อิเล็กทรอนิกส์อื่นๆ | 28 |
| รูปที่ 3-5 | บอร์ดทดลองของชิพประมวลผลสัญญาณดิจิทัล TMS320C6711 | 29 |
| รูปที่ 3-6 | โครงสร้างภายในของชิพไมโครคอนโทรลเลอร์ ATMEGA128..... | 30 |
| รูปที่ 3-7 | การเชื่อมต่อระหว่างชิพไมโครคอนโทรลเลอร์ ATMEGA128 กับ อุปกรณ์อิเล็กทรอนิกส์อื่นๆ | 31 |
| รูปที่ 3-8 | โครงสร้างภายในของชิพแปลงสัญญาณแอนะล็อกเป็นดิจิทัล ADS8364..... | 31 |
| รูปที่ 3-9 | การเชื่อมต่อระหว่างชิพแปลงสัญญาณแอนะล็อกเป็นดิจิทัล ADS8364 กับชิพ ประมวลผลสัญญาณดิจิทัลในโหมดควบคุมจากฮาร์ดแวร์..... | 32 |
| รูปที่ 3-10 | โครงสร้างภายในของชิพฐานเวลาจริง DS1307 | 32 |
| รูปที่ 3-11 | วงจรแบ่งแรงดันสำหรับวัดแรงดันในระบบไฟฟ้า 3 เฟส 4 สาย..... | 33 |
| รูปที่ 3-12 | วงจรวัดกระแสของระบบไฟฟ้า 3 เฟส 4 สาย..... | 33 |
| รูปที่ 3-13 | จอแอลซีดี 16X4 | 34 |
| รูปที่ 3-14 | กราฟทดสอบความเป็นเชิงเส้นในการวัดในช่วงกระแส 0-10 A | 35 |
| รูปที่ 3-15 | แผงแป้นพิเศษ | 35 |
| รูปที่ 3-16 | โครงสร้างภายในชิพเข้ารหัส MM7C922 | 35 |
| รูปที่ 3-17 | หน่วยความจำ SD Card | 36 |
| รูปที่ 3-18 | ตัวอย่างข้อมูลที่บันทึกลงในหน่วยความจำ SD Card..... | 36 |
| รูปที่ 3-19 | ฮาร์ดแวร์ภายในเครื่องวัดคุณภาพไฟฟ้า | 37 |
| รูปที่ 4-1 | โครงสร้างโปรแกรมบนบอร์ดประมวลผลสัญญาณดิจิทัล..... | 38 |
| รูปที่ 4-2 | แผนผังการทำงานของโปรแกรมควบคุมบอร์ดประมวลผลสัญญาณดิจิทัล..... | 39 |

| | | |
|-------------|-------------------------------------------------------------------------------------------------|----|
| รูปที่ 4-3 | แผนผังการเริ่มต้นการทำงานบอร์ดประมวลผลสัญญาณดิจิทัลและชิพแปลงสัญญาณแอนะล็อกเป็นดิจิทัล | 41 |
| รูปที่ 4-4 | แผนผังการทำงานของชิพแปลงสัญญาณแอนะล็อกเป็นดิจิทัล | 42 |
| รูปที่ 4-5 | แผนผังการรับส่งข้อมูลระหว่างชิพประมวลผลสัญญาณดิจิทัลกับไมโครคอนโทรลเลอร์ | 43 |
| รูปที่ 4-6 | แผนผังการวิเคราะห์ปริมาณฮาร์มอนิกส์ | 44 |
| รูปที่ 4-7 | แผนผังการวิเคราะห์ปริมาณ P, Q, P, F., RMS | 44 |
| รูปที่ 4-8 | การจัดเก็บข้อมูลสัญญาณการเกิดแรงดันตกชั่วขณะ | 45 |
| รูปที่ 4-9 | แผนผังโปรแกรมตรวจสอบการเกิดแรงดันตกชั่วขณะ | 46 |
| รูปที่ 4-10 | แผนภาพการทำงานของมอดูล EDMA | 47 |
| รูปที่ 4-11 | โครงสร้างโปรแกรมบนบอร์ดไมโครคอนโทรลเลอร์ | 47 |
| รูปที่ 4-12 | แผนผังโปรแกรมบนไมโครคอนโทรลเลอร์ | 48 |
| รูปที่ 4-13 | แผนผังโปรแกรมตรวจสอบคำสั่ง | 48 |
| รูปที่ 4-14 | แผนผังการทำงานของโปรแกรมบันทึกข้อมูลลงหน่วยความจำ SD Card | 50 |
| รูปที่ 4-15 | แผนผังการทำงานของโปรแกรมอ่านค่าปุ่มจากแผงแป้นพิเศษ | 50 |
| รูปที่ 4-16 | โครงสร้างโปรแกรมส่วนต่อประสานกราฟิกกับผู้ใช้ | 51 |
| รูปที่ 4-17 | แผนผังโปรแกรมวิเคราะห์หาดัชนี P_{st} | 52 |
| รูปที่ 4-18 | โปรแกรมส่วนต่อประสานกราฟิกกับผู้ใช้ | 53 |
| รูปที่ 4-19 | หน้าจอโปรแกรมส่วนต่อประสานกราฟิกกับผู้ใช้ | 53 |
| รูปที่ 4-20 | หน้าจอแสดงผลรูปคลื่นและแผนภาพเฟเซอร์ของแรงดัน (a) หนึ่งเฟส (b) สามเฟส | 54 |
| รูปที่ 4-21 | หน้าจอแสดงผลรูปคลื่น, แผนภูมิแท่งฮาร์มอนิกส์ และ ข้อมูลที่ผ่านการวิเคราะห์ (a) แรงดัน (b) กระแส | 55 |

รูปที่ 5-1 อุปกรณ์สอบเทียบ (a) เครื่องจ่ายโหลดพลังงานไฟฟ้าเสมือน (b) มิเตอร์อ้างอิง.....56

รูปที่ 5-2 เครื่องวัดคลื่นแรงดันไฟฟ้า Fluke 199C Scopemeter56

รูปที่ 5-3 เครื่องวัดคุณภาพไฟฟ้า Dranetz BMI Power Visa.....57

รูปที่ 5-4 ระบบทดสอบเครื่องวัดคุณภาพไฟฟ้า57

รูปที่ 5-5 กราฟตัวอย่างรูปคลื่นแรงดันและสเปกตรัมฮาร์มอนิกส์บนโปรแกรม GUI58

รูปที่ 5-6 หน้าจอแสดงผลการวัดปริมาณฮาร์มอนิกส์จากมิเตอร์อ้างอิง.....58

รูปที่ 5-7 กราฟแสดงผลการวัดแรงดันฮาร์มอนิกส์อันดับ 2.....59

รูปที่ 5-8 กราฟแสดงค่า%ความคลาดเคลื่อนในการวัดแรงดันฮาร์มอนิกส์อันดับ 2.....59

รูปที่ 5-9 กราฟแสดงผลการวัดแรงดันฮาร์มอนิกส์อันดับ 760

รูปที่ 5-10 กราฟแสดงค่า%ความคลาดเคลื่อนในการวัดแรงดันฮาร์มอนิกส์อันดับ 7.....60

รูปที่ 5-11 กราฟแสดงผลการวัดแรงดันฮาร์มอนิกส์อันดับ 13.....61

รูปที่ 5-12 กราฟแสดงค่า%ความคลาดเคลื่อนในการวัดแรงดันฮาร์มอนิกส์อันดับ 13.....61

รูปที่ 5-13 กราฟแสดงผลการวัดแรงดันฮาร์มอนิกส์อันดับ 1762

รูปที่ 5-14 กราฟแสดงค่า%ความคลาดเคลื่อนในการวัดแรงดันฮาร์มอนิกส์อันดับ 17.....62

รูปที่ 5-15 กราฟแสดงผลการวัดแรงดันฮาร์มอนิกส์อันดับ 1963

รูปที่ 5-16 กราฟแสดงค่า%ความคลาดเคลื่อนในการวัดแรงดันฮาร์มอนิกส์อันดับ 19.....63

รูปที่ 5-17 กราฟแสดงผลการวัดแรงดันฮาร์มอนิกส์อันดับ 2564

รูปที่ 5-18 กราฟแสดงค่า%ความคลาดเคลื่อนในการวัดแรงดันฮาร์มอนิกส์อันดับ 25.....64

รูปที่ 5-19 กราฟเปรียบเทียบค่า%ความคลาดเคลื่อนในการวัดแรงดันฮาร์มอนิกส์65

รูปที่ 5-20 กราฟตัวอย่างรูปคลื่นกระแสและสเปกตรัมฮาร์มอนิกส์บนโปรแกรม GUI66

รูปที่ 5-21 การวัดฮาร์มอนิกส์ในสัญญาณกระแสไฟฟ้าสลับที่ทางเข้าชิพ A/D ADS8364.....66

รูปที่ 5-22 กราฟแสดงผลการวัดกระแสฮาร์มอนิกส์อันดับ 267

| | | |
|-------------|-------------------------------------------------------------------------------------------------------|----|
| รูปที่ 5-23 | กราฟแสดงค่า%ความคลาดเคลื่อนในการวัดกระแสฮาร์มอนิกอันดับ 2..... | 67 |
| รูปที่ 5-24 | กราฟแสดงผลการวัดกระแสฮาร์มอนิกอันดับที่ 7..... | 68 |
| รูปที่ 5-25 | กราฟแสดงค่า%ความคลาดเคลื่อนในการวัดกระแสฮาร์มอนิกอันดับ 7..... | 68 |
| รูปที่ 5-26 | กราฟแสดงผลการวัดกระแสฮาร์มอนิกอันดับ 11..... | 69 |
| รูปที่ 5-27 | กราฟแสดงค่า%ความคลาดเคลื่อนในการวัดกระแสฮาร์มอนิกอันดับ 11..... | 69 |
| รูปที่ 5-28 | กราฟแสดงผลการวัดกระแสฮาร์มอนิกอันดับ18..... | 70 |
| รูปที่ 5-29 | กราฟแสดงค่า%ความคลาดเคลื่อนในการวัดกระแสฮาร์มอนิกอันดับ 18..... | 70 |
| รูปที่ 5-30 | กราฟแสดงผลการวัดกระแสฮาร์มอนิกอันดับ 25..... | 71 |
| รูปที่ 5-31 | กราฟแสดงค่า%ความคลาดเคลื่อนในการวัดกระแสฮาร์มอนิกอันดับ 25..... | 71 |
| รูปที่ 5-32 | กราฟเปรียบเทียบค่า%ความคลาดเคลื่อนในการวัดกระแสฮาร์มอนิกของ เครื่องวัดคุณภาพไฟฟ้าที่พัฒนาขึ้น..... | 72 |
| รูปที่ 5-33 | กราฟเปรียบเทียบค่า%ความคลาดเคลื่อนในการวัดกระแสฮาร์มอนิกของ เครื่องวัด Fluke 199C..... | 73 |
| รูปที่ 5-34 | วงจรทดสอบกรณีแหล่งกำเนิดฮาร์มอนิกอยู่ทางด้านผู้ใช้ไฟฟ้า..... | 74 |
| รูปที่ 5-35 | รูปคลื่นกระแสและแรงดัน กรณีจ่ายโหลดเครื่องสำรวจไฟ..... | 74 |
| รูปที่ 5-36 | ฮาร์มอนิกสเปกตรัมของกระแสและแรงดัน กรณีจ่ายโหลดเครื่องสำรวจไฟ..... | 75 |
| รูปที่ 5-37 | รูปคลื่นกระแสและแรงดัน กรณีจ่ายโหลดหลอดไฟทั้งเสตนที่ต่ออยู่กับ สวิตช์ไฟสูงไฟต่ำ..... | 75 |
| รูปที่ 5-38 | ฮาร์มอนิกสเปกตรัมของกระแสและแรงดัน กรณีจ่ายโหลด หลอดไฟทั้งเสตน ที่ต่ออยู่กับสวิตช์ไฟสูงไฟต่ำ..... | 75 |
| รูปที่ 5-39 | รูปคลื่นกระแสและแรงดัน กรณีจ่ายโหลดหลอดไฟเรืองแสง, จอแอลซีดี และ โทรทัศน์..... | 76 |

| | | |
|-------------|--------------------------------------------------------------------------------------------------|----|
| รูปที่ 5-40 | ฮาร์มอนิกส์สเปกตรัมของกระแสและแรงดัน กรณีจ่ายโหลดหลอดไฟเรืองแสง, จ้อแอลซีดี และ โทรท์ศน์..... | 76 |
| รูปที่ 5-41 | วงจรทดสอบกรณีแหล่งกำเนิดฮาร์มอนิกส์อยู่ทางด้านแหล่งจ่ายไฟฟ้า | 77 |
| รูปที่ 5-42 | รูปคลื่นกระแสและแรงดัน กรณี UPS จ่ายโหลดหลอดไฟทั้งเสตน | 77 |
| รูปที่ 5-43 | ฮาร์มอนิกส์สเปกตรัมของกระแสและแรงดัน กรณี UPS จ่ายโหลดหลอดไฟทั้งเสตน.. | 77 |
| รูปที่ 5-44 | วงจรประกอบการศึกษา Q สำหรับการวิเคราะห์ อัลกอริทึม CI..... | 78 |
| รูปที่ 5-45 | รูปคลื่นกระแสและแรงดัน กรณี UPS จ่ายโหลดจ้อคอมพิเตอร์แอลซีดี..... | 79 |
| รูปที่ 5-46 | ฮาร์มอนิกส์สเปกตรัมของกระแสและแรงดัน กรณี UPS จ่ายโหลด จ้อคอมพิเตอร์แอลซีดี | 79 |
| รูปที่ 5-47 | รูปคลื่นกระแสและแรงดัน กรณี UPS จ่ายโหลดหลอดไฟเรืองแสง..... | 79 |
| รูปที่ 5-48 | ฮาร์มอนิกส์สเปกตรัมของกระแสและแรงดัน กรณี UPS จ่ายโหลดหลอดไฟเรืองแสง . | 80 |
| รูปที่ 5-49 | วงจรทดสอบวิเคราะห์และหาทิศทางของแหล่งกำเนิดแรงดันตกชั่วขณะ | 80 |
| รูปที่ 5-50 | รูปคลื่นการเกิดแรงดันตกชั่วขณะที่จุดวัด M1 และ M2 | 81 |
| รูปที่ 5-51 | กราฟเปรียบเทียบร้อยละการเปลี่ยนแปลงแรงดัน | 81 |
| รูปที่ 5-52 | กราฟค่า%ความผิดพลาดในการวัดดัชนีแรงดันตกชั่วขณะ | 82 |
| รูปที่ 5-53 | รูปคลื่นการเกิดแรงดันตกชั่วขณะและการเปลี่ยนแปลงของกระแสที่จุดวัด M1 และ M2..... | 82 |
| รูปที่ 5-54 | การสุ่มจับสัญญาณไซน์แอมพลิจูดที่ความถี่ 7 KHZ | 84 |
| รูปที่ 5-55 | การสุ่มจับสัญญาณสามเหลี่ยมแอมพลิจูดที่ความถี่ 2 KHZ | 84 |
| รูปที่ 5-56 | การสุ่มจับสัญญาณสี่เหลี่ยมแอมพลิจูดที่ความถี่ 2 KHZ..... | 84 |
| รูปที่ 5-57 | สัญญาณกระแสของหลอดไฟ ขณะไม่เดินเครื่องสว่านมือ | 84 |
| รูปที่ 5-58 | สัญญาณกระแส ขณะเดินเครื่องสว่านมือ | 85 |
| รูปที่ 5-59 | สัญญาณกระแสขณะเดินเครื่องสว่านมือหลายครั้ง..... | 85 |

รูปที่ 5-60 ตัวอย่างรูปคลื่นแรงดัน 220VAC ในช่วงเวลา 10 นาที.....86

รูปที่ 5-61 รูปคลื่นแรงดัน 220VAC ที่ผ่านตัวกรองตามมาตรฐาน IEC61000-4-15.....87

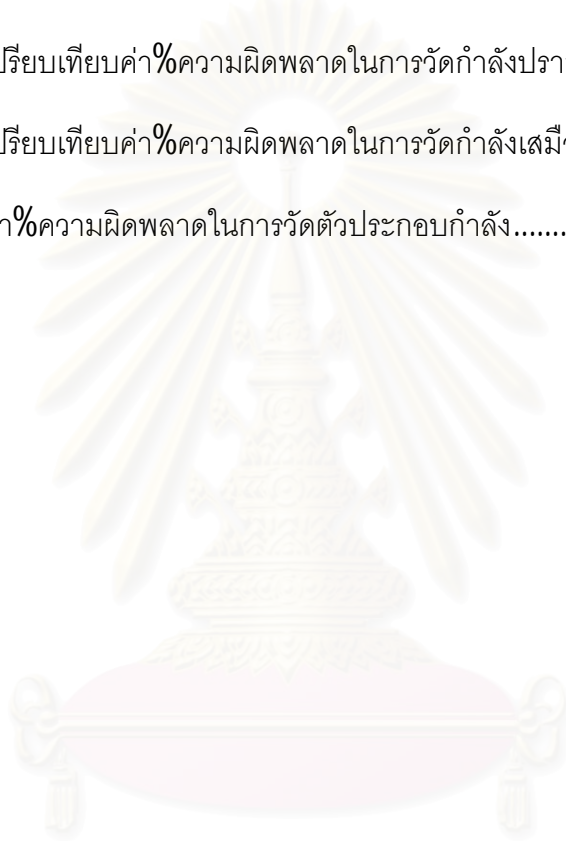
รูปที่ 5-62 รูปคลื่นแรงดัน 220VAC ขณะจ่ายโหลดเครื่องเป่าลมร้อน ที่ผ่านตัวกรองตาม
มาตรฐาน IEC61000-4-15.....87

รูปที่ 5-63 กราฟเปรียบเทียบค่า%ความผิดพลาดในการวัดกำลังจริง88

รูปที่ 5-64 กราฟเปรียบเทียบค่า%ความผิดพลาดในการวัดกำลังปรากฏ88

รูปที่ 5-65 กราฟเปรียบเทียบค่า%ความผิดพลาดในการวัดกำลังเสมือน.....89

รูปที่ 5-66 กราฟค่า%ความผิดพลาดในการวัดตัวประกอบกำลัง.....90



สถาบันวิทยบริการ
จุฬาลงกรณ์มหาวิทยาลัย

บทที่ 1

บทนำ

1.1. แนวเหตุผลในการทำวิทยานิพนธ์

ปัญหาในระบบไฟฟ้า เช่น ไฟฟ้าดับ ไฟกะพริบ แรงดันตก ฯลฯ ส่งผลกระทบต่อความพอใจในการใช้ไฟฟ้าของผู้ใช้ไฟฟ้าและสร้างความเสียหายต่อระบบไฟฟ้าโดยรวม ทำให้ผู้ผลิตและจำหน่ายไฟฟ้าจำเป็นต้องหาสาเหตุของปัญหาที่เกิดขึ้น ซึ่งเกิดขึ้นได้จากหลายสาเหตุ เช่น ปรากฏการณ์ธรรมชาติ (ฟ้าผ่า), การเกิดความผิดปกติในระบบสายส่งและจำหน่าย, การสวิตชิงของอุปกรณ์ในระบบไฟฟ้า, การใช้อุปกรณ์ที่ไม่เป็นเชิงเส้นในโรงงานอุตสาหกรรม, การต่อลงดินไม่ถูกต้อง ฯลฯ และหาวิธีแก้ปัญหาคือไปโดยการวิเคราะห์คุณภาพไฟฟ้า

การวิเคราะห์คุณภาพไฟฟ้าเริ่มจากการใช้เครื่องวัดคุณภาพไฟฟ้า วัดปริมาณที่เกี่ยวข้องกับคุณภาพไฟฟ้า เช่น กำลังไฟฟ้า, ตัวประกอบกำลัง, ค่าความเพี้ยนฮาร์มอนิกส์ ฯลฯ จากนั้นจึงนำค่าที่วัดได้มาวิเคราะห์หาต้นเหตุของปัญหาที่เกิดขึ้น เมื่อทราบถึงต้นเหตุของปัญหาแล้วจึงดำเนินการแก้ไขปัญหาคือไป ซึ่งโดยปกติจะต้องใช้บุคลากรที่มีความรู้ความสามารถ ในการวิเคราะห์คุณภาพไฟฟ้าในระบบไฟฟ้า ซึ่งทำได้ไม่สะดวกนัก ดังนั้นหากสามารถสร้างเครื่องวัดและวิเคราะห์คุณภาพไฟฟ้าได้โดยอัตโนมัติ จะทำให้การวิเคราะห์คุณภาพไฟฟ้าเป็นไปได้อย่างสะดวก และไม่ต้องอาศัยบุคลากรที่มีความรู้ความสามารถมาก มาวิเคราะห์คุณภาพไฟฟ้าในระบบไฟฟ้า

ปัญหาที่เกิดขึ้นในระบบไฟฟ้าน้อยคือ การเกิดฮาร์มอนิกส์และแรงดันตกชั่วขณะ ดังนั้นการเพิ่มความสามารถในการหาทิศทางของแหล่งกำเนิดฮาร์มอนิกส์และแรงดันตกชั่วขณะให้เครื่องวัดคุณภาพไฟฟ้า ณ จุดต่อเชื่อมระหว่างผู้ใช้ไฟฟ้ากับผู้ผลิตไฟฟ้า จะทำให้การวิเคราะห์คุณภาพไฟฟ้าเพื่อหาสาเหตุของปัญหา ทำได้สะดวกยิ่งขึ้น

ดังนั้นวิทยานิพนธ์นี้ จึงนำเสนอการพัฒนาเครื่องวัดคุณภาพไฟฟ้าที่มีความสามารถในการตรวจจับทิศทางของแหล่งกำเนิดฮาร์มอนิกส์และแรงดันตกชั่วขณะได้ ซึ่งจะต้องอาศัย ความรู้ทางด้านไฟฟ้าอิเล็กทรอนิกส์ ไฟฟ้ากำลัง และการประมวลผลสัญญาณดิจิทัลเข้ามาช่วยกัน

1.2. วัตถุประสงค์ของการวิจัย

1. เพื่อสร้างเครื่องวัดคุณภาพไฟฟ้าที่สามารถวัดพารามิเตอร์ที่เกี่ยวข้องกับคุณภาพไฟฟ้าในระบบไฟฟ้าโดยเฉพาะอย่างยิ่งการวิเคราะห์หาทิศทางของแหล่งกำเนิดฮาร์มอนิกส์และแรงดันตกชั่วขณะ นอกจากนี้ยังสามารถเก็บบันทึกข้อมูลได้

2. เพื่อพัฒนาโปรแกรมคอมพิวเตอร์ ที่สามารถวิเคราะห์ รูปคลื่นแรงดันและกระแสที่วัดอยู่ ณ ขณะนั้น หรือจากหน่วยความจำที่บันทึกไว้ เพื่อบอกลักษณะของปัญหาคุณภาพไฟฟ้า

1.3. ขอบเขตของการวิจัย

เครื่องวัดคุณภาพไฟฟ้าที่พัฒนาขึ้นมีคุณสมบัติดังต่อไปนี้

1. ใช้กับระบบไฟฟ้า 3 เฟส 4 สาย และ 1 เฟส 2 สาย
2. มีความแม่นยำในการวัดค่าแรงดันและกระแสตามมาตรฐาน IEC61000-4-30 [1]
3. มีพิกัดกระแส 10 A และ พิกัดแรงดัน 220 Vrms
4. อัตราการชั่งตัวอย่างสูงสุด 250 ksps, ความละเอียด 16 บิต
5. สามารถวิเคราะห์พารามิเตอร์ทางคุณภาพไฟฟ้าดังนี้
 - วัดกำลังไฟฟ้า, แรงดันไฟฟ้า, กระแสไฟฟ้า
 - วิเคราะห์ฮาร์มอนิกในสัญญาณไฟฟ้า 3 เฟส ได้ถึงลำดับที่ 50 โดยสามารถแสดงขนาดและเฟสของสัญญาณ แรงดัน และ กระแสในขณะทำการวัด และสามารถแสดงค่าความเพี้ยนฮาร์มอนิกสรวมของกระแส THD_I และของแรงดัน THD_V
 - วิเคราะห์หาค่าดัชนีของการเกิดแรงดันตกชั่วขณะ (Voltage Sag)
 - วัดค่าพารามิเตอร์ของการเกิดไฟกะพริบ P_{st}
 - สามารถหาทิศทางของแหล่งกำเนิดฮาร์มอนิก และแรงดันตกชั่วขณะในระบบไฟฟ้า ที่จุดร่วมระหว่างผู้ใช้ไฟฟ้า (Customer) และผู้จำหน่ายไฟฟ้า (Utility) โดยแสดงเป็นทิศทางให้เห็นในเครื่องวัดคุณภาพไฟฟ้า
6. มีหน่วยความจำเป็นแบบ SD card สำหรับบันทึกพารามิเตอร์ที่คำนวณได้
7. มีฐานเวลาจริง (Real time Clock) แสดงเวลาและวันที่ของพารามิเตอร์ที่วัด
8. สามารถแสดงค่าพารามิเตอร์ต่างๆ ผ่านทางจอแอลซีดี (LCD) ขนาด 4 บรรทัด บรรทัดละ 16 ตัวอักษร
9. มีโปรแกรมบนระบบปฏิบัติการวินโดวส์สำหรับวิเคราะห์คุณภาพไฟฟ้า สามารถดูรูปคลื่น และวิเคราะห์รูปคลื่นที่บันทึกไว้ในหน่วยความจำ หรือคลื่น ณ ขณะที่วัด

1.4. วิธีการดำเนินการวิจัย

การดำเนินงานวิจัยออกแบบและสร้างเครื่องวัดคุณภาพไฟฟ้าจะมีรายละเอียดดังนี้

1. หาความรู้ที่จำเป็นในการวิเคราะห์ ออกแบบ และสร้างเครื่อง
2. ออกแบบและสร้างตัวเครื่องวัดคุณภาพไฟฟ้า

3. เขียนโปรแกรมวิเคราะห์คุณภาพไฟฟ้าภายในชิพประมวลผลสัญญาณดิจิทัล และโปรแกรมประสานกราฟิกกับผู้ใช้ (GUI) โปรแกรมบนคอมพิวเตอร์สำหรับการวิเคราะห์หลังการประมวลผล (Post-processing Program)
4. รวบรวมผลการทดลอง, สรุปผล และ เขียนวิทยานิพนธ์

1.5. ประโยชน์ที่คาดว่าจะได้รับ

1. ความรู้ในการออกแบบสร้างเครื่องมือวัดคุณภาพไฟฟ้า
2. ความรู้พื้นฐานในการวิเคราะห์ปัญหาคุณภาพไฟฟ้า และการวิเคราะห์ปัญหาในระบบไฟฟ้า
3. เรียนรู้และทดลองออกแบบระบบเครื่องวัดที่มีชิพประมวลผลสัญญาณดิจิทัลเป็นหน่วยประมวลผลกลางของอุปกรณ์
4. เพิ่มทักษะในการเขียนโปรแกรมภาษาซี, การควบคุมการทำงานของโปรแกรมแบบเรียลไทม์ และการจัดการโปรแกรมที่เกี่ยวข้องกับการทำงานของเครื่องมือวัดคุณภาพไฟฟ้าให้ทำงานได้แบบเวลาจริง (real time)
5. สามารถออกแบบวงจรอิเล็กทรอนิกส์ สำหรับการสร้างเครื่องมือวัด ที่ต้องคำนึงถึงความแม่นยำของข้อมูลที่วัดได้เป็นสำคัญ

1.6. ลำดับขั้นตอนในงานวิจัย

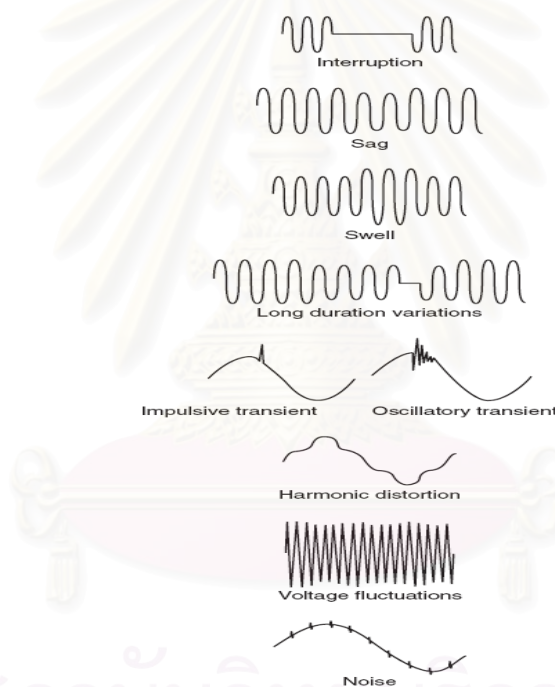
ในวิทยานิพนธ์นี้จะแบ่งเนื้อหาออกเป็น 6 บท โดยบทที่ 2 จะกล่าวถึง ความรู้พื้นฐาน และหลักการที่เกี่ยวข้องกับการพัฒนาสร้างเครื่องวัดคุณภาพไฟฟ้า บทที่ 3 และบทที่ 4 จะนำเสนอข้อมูลเกี่ยวกับองค์ประกอบด้านฮาร์ดแวร์และซอฟต์แวร์ของเครื่องวัดคุณภาพไฟฟ้าตามลำดับ บทที่ 5 จะกล่าวถึงการทดลองและการทดสอบใช้งานเครื่องวัดคุณภาพไฟฟ้าที่พัฒนาขึ้น และในบทที่ 6 จะกล่าวถึงข้อสรุปและข้อเสนอแนะของการวิจัยพัฒนาเครื่องวัดคุณภาพไฟฟ้า

บทที่ 2

ความรู้พื้นฐานและหลักการที่เกี่ยวข้อง

2.1. ปัญหาคุณภาพไฟฟ้า (Power Quality Problem)

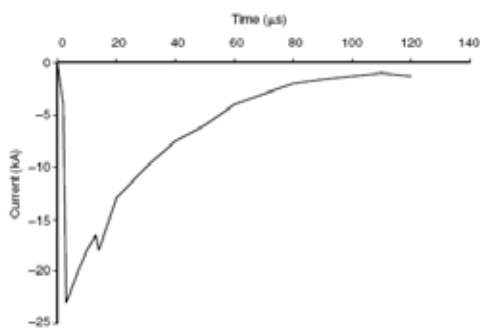
ปัญหาคุณภาพไฟฟ้า คือ ปัญหาการเบี่ยงเบนของแรงดัน, กระแส และความถี่ของระบบไฟฟ้า ที่ทำให้เกิดความเสียหายหรือความผิดพลาดของอุปกรณ์ไฟฟ้าดังแสดงในรูปที่ 2-1 ปรัชการณที่เก็วข้องกับปัญหาคุณภาพไฟฟ้ามีหลายช่วงเวลา ตั้งแต่ช่วงเวลาสั้นมากเช่น การเกิดแรงดันเกินในช่วงทรานเซียน (ไมโครวินาที) ไปจนถึงการหยุดของกระแสไฟเป็นเวลานาน เราสามารถจำแนกพารามิเตอร์ของคุณภาพไฟฟ้าเป็นข้อๆได้ดังนี้



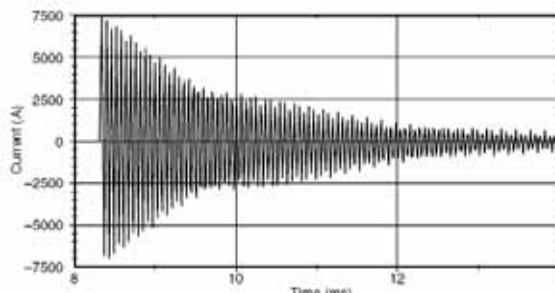
รูปที่ 2-1 รูปคลื่นโดยทั่วไปของสัญญาณไฟฟ้าที่ถูกรบกวน [2]

2.1.1. การเปลี่ยนแปลงชั่วขณะ (Transient)

เป็นปรากฏการณ์การเปลี่ยนแปลงในชั่วขณะหนึ่งของแหล่งจ่ายแรงดันหรือโหลดกระแส โดยแบ่งได้เป็น 2 ประเภท คือ แบบกระชาก (Impulsive) และแบบแกว่ง (Oscillatory)



(a)



(b)

รูปที่ 2-2 รูปคลื่นการเปลี่ยนแปลงกระแสชั่วขณะ [3]

2.1.1.1. การเปลี่ยนแปลงชั่วขณะแบบกระชาก (Impulsive Transients)

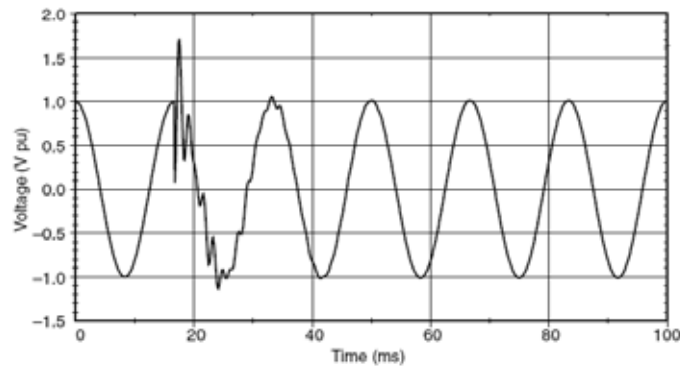
ดังแสดงในรูปที่ 2-2a เป็นปรากฏการณ์ที่แรงดันและกระแส มีค่าความชันในช่วงเวลาสั้นๆ สูงมาก และกลับคืนสู่ภาวะคงตัว (Steady State) ที่ความถี่เดิม การเปลี่ยนแปลงนี้มีทิศทางเดียว (บวกหรือลบ) มีสาเหตุมาจากการเกิดฟ้าผ่า ซึ่งอาจเกิดโดยตรงหรือในบริเวณใกล้เคียง เป็นผลทำให้อุปกรณ์ไฟฟ้าได้รับความเสียหายจากการได้รับแรงดันไฟฟ้าเกิน มาตรฐาน IEEE 1159-1995 [4] ได้แบ่งประเภทของการเปลี่ยนแปลงชั่วขณะแบบกระชาก (Impulsive Transient) ตามช่วงระยะเวลาการเกิดการเปลี่ยนแปลงไว้เป็น 3 ช่วงเวลาคือ

1. ช่วงนาโนวินาที (Nanosecond) มีช่วงระยะเวลาการเกิดน้อยกว่า 50 ns, ระยะเวลาที่ขึ้นสูงสุด 5 ns
2. ช่วงไมโครวินาที (Microsecond) มีช่วงระยะเวลาการเกิดในช่วง 50 ns - 1 ms, ระยะเวลาที่ขึ้นสูงสุด 1 s
3. ช่วงมิลลิวินาที (Millisecond) มีช่วงระยะเวลาในการเกิดมากกว่า 1 ms, ระยะเวลาที่ขึ้นสูงสุด 0.1 ms

2.1.1.2. การเปลี่ยนแปลงชั่วขณะแบบแกว่ง (Oscillatory Transients)

เป็นปรากฏการณ์การเปลี่ยนแปลงแรงดันหรือกระแส ที่มีการเปลี่ยนชั่วของแรงดันหรือกระแส (บวกเป็นลบ หรือ ลบเป็นบวก) อย่างรวดเร็ว โดยมีสาเหตุมาจากการสวิตซ์ชิงของอุปกรณ์ในระบบไฟฟ้าเช่น การสวิตซ์ตัวเก็บประจุ เป็นผลทำให้เกิดความเสียหายแก่อุปกรณ์ไฟฟ้าหรือทำให้ฉนวนของอุปกรณ์ไฟฟ้าได้รับความเสียหาย มาตรฐาน IEEE 1159-1995 ได้แบ่งประเภทของการเกิดการเปลี่ยนแปลงชั่วขณะแบบแกว่งตามความถี่ของการแกว่ง ดังนี้

1. ความถี่ต่ำ (Low Frequency) แกว่งที่ความถี่น้อยกว่า 5 kHz เกิดในช่วงระยะเวลา 0.3 ms ถึง 50 ms และมีขนาดระหว่าง 0 p.u. ถึง 4 p.u. ดังแสดงในรูปที่ 2-3



รูปที่ 2-3 รูปคลื่นการเปลี่ยนแปลงทันทีทันใดแบบแกว่งในช่วงความถี่ต่ำ [3]

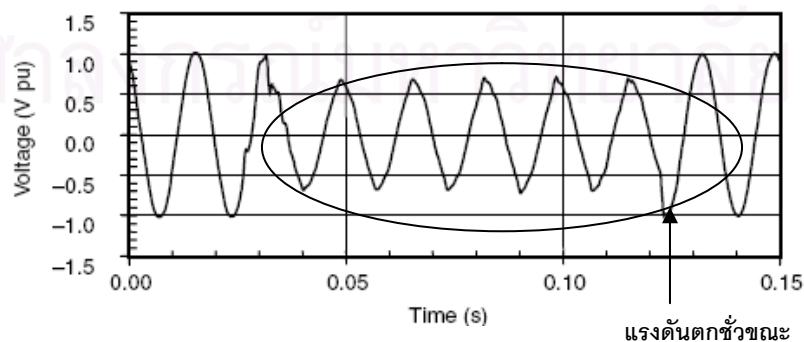
2. ความถี่ปานกลาง (Medium Frequency) แกว่งที่ความถี่ระหว่าง 5 kHz ถึง 500 kHz เกิดในช่วงระยะเวลา 5 ms ถึง 20 ms และมีขนาดระหว่าง 0 p.u. ถึง 8 p.u.
3. ความถี่สูง (High Frequency) แกว่งที่ความถี่ระหว่าง 0.5 MHz ถึง 500 MHz เกิดในช่วงระยะเวลา 5 s และมีขนาดระหว่าง 0 p.u. ถึง 4 p.u.

2.1.2. แรงดันตกชั่วขณะ (Voltage Sag)

เป็นปรากฏการณ์ที่ค่ารากที่สองกำลังสองเฉลี่ยของแรงดัน (RMS) ลดลงในช่วง 0.1-0.9 p.u. นาน 10 ms (0.5 cycle) ถึง 1 นาที โดยมีสาเหตุ [7] มาจากการเพิ่มโหลด, การเปิดเดินเครื่องของมอเตอร์หรือโหลดขนาดใหญ่, ความผิดปกติ (Fault) ในระบบไฟฟ้า ตัวอย่างเช่น มอเตอร์เหนี่ยวนำ (Induction Motor) ขณะเริ่มเดินเครื่อง จะกินกระแสสูงที่สุดถึง 6-10 เท่าของกระแสปกติ ทำให้เกิดแรงดันตกชั่วขณะในระบบไฟฟ้าง่ายแสดงในรูปที่ 2-4 ส่งผลให้อุปกรณ์ที่ไวต่อการเปลี่ยนแปลงของแรงดันตกชั่วขณะ ทำงานผิดพลาดหรือหยุดการทำงาน

พารามิเตอร์ที่สำคัญในการวิเคราะห์แรงดันตกชั่วขณะคือ ดัชนีการตกชั่วขณะ (Sag Index) ซึ่งนิยามถึงการเปลี่ยนแปลงของขนาดแรงดัน ต่อขนาดแรงดันก่อนการเปลี่ยนแปลง (V_{pre})

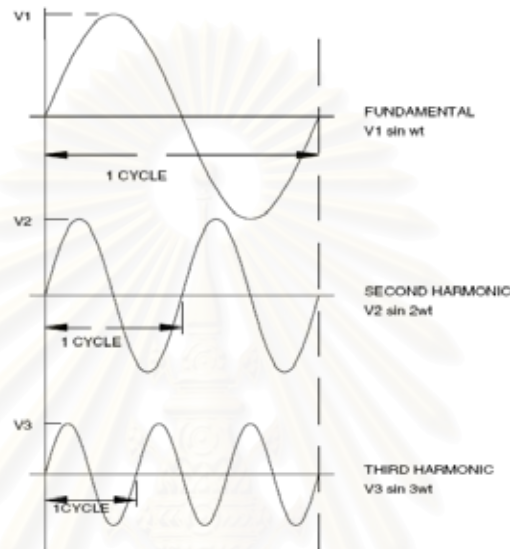
$$\text{หรือคิดเป็นร้อยละ} = \frac{\Delta V}{V_{pre}} \times 100$$



รูปที่ 2-4 รูปคลื่นการเกิดแรงดันตกชั่วขณะ [3]

2.1.3. ฮาร์มอนิกส์ (Harmonics)

คือ สัญญาณคลื่นไซน์ (Sine Wave) ที่มีความถี่เป็นจำนวนเต็มเท่าของความถี่หลักมูล (Fundamental Frequency) ซึ่งในที่นี้คือ ความถี่หลักของแหล่งจ่าย (50 Hz) สัญญาณที่มีความถี่เป็น 2 เท่าของความถี่หลักมูลจะเรียกว่า ฮาร์มอนิกส์ที่ 2 (2nd order harmonic) และมีความถี่เท่ากับ 100 Hz ส่วนฮาร์มอนิกส์ที่ 3 (3rd order harmonic) จะมีความถี่เท่ากับ 150 Hz ดังแสดงในรูปที่ 2-5



รูปที่ 2-5 รูปคลื่นสัญญาณความถี่หลักมูลและฮาร์มอนิกส์ที่ 2 และ 3 [4]

ในทางคณิตศาสตร์รูปคลื่นโดยทั่วไปที่มีความถี่หลักมูล ω_1 สามารถแสดงได้โดยอนุกรมฟูรีเยร์ (Fourier series) [5] ดังสมการที่ (2.1)

$$\begin{aligned} f(t) &= A_0 + \sum_{h=1}^{\infty} [A_h \cos(h\omega_1 t) + B_h \sin(h\omega_1 t)] \\ &= A_0 + \sum_{h=1}^{\infty} [C_h \cos(h\omega_1 t + j_h)] \end{aligned} \quad (2.1)$$

โดยที่ $C_h = \sqrt{A_h^2 + B_h^2}$ และ $j_h = \tan^{-1}\left(\frac{-B_h}{A_h}\right)$

จากอนุกรมฟูรีเยร์ เราสามารถเขียนฟังก์ชันของแรงดันสลับและกระแสสลับได้โดยตัดเทอมที่มีค่าคงที่ออกตามสมการที่ (2.1) ดังสมการที่ (2.2)

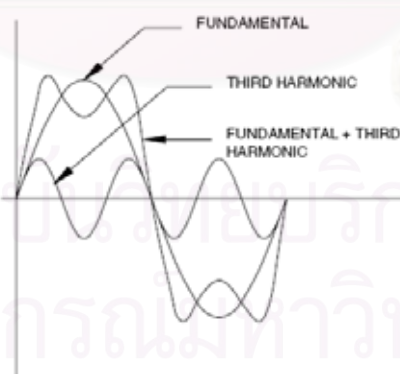
$$v(t) = \sum_{h=1}^N V_h \cos(h\omega_1 t + q_h), \quad i(t) = \sum_{h=1}^N I_h \cos(h\omega_1 t + f_h) \quad (2.2)$$

ความเพี้ยนฮาร์มอนิก (Harmonic Distortion) คือการเปลี่ยนแปลงของรูปคลื่นทางไฟฟ้า ไปจากรูปคลื่นสัญญาณไซน์ (Sine Wave) ดังแสดงรูปที่ 2-6 และรูปที่ 2-7 พารามิเตอร์สำคัญที่เกี่ยวข้องกับฮาร์มอนิก [5] มีดังนี้

1. ปริมาณรวมฮาร์มอนิก (Harmonic Content) คือปริมาณที่ได้จากการหักค่าองค์ประกอบไฟตรง (DC) และส่วนประกอบความถี่หลักมูล จากรูปคลื่นสัญญาณที่วัดได้
2. ค่าความเพี้ยนฮาร์มอนิกเฉพาะ (Individual Harmonic Distortion, IHD) หรืออัตราส่วนฮาร์มอนิก (Harmonic Ratio) คืออัตราส่วนระหว่างค่า RMS ของส่วนประกอบฮาร์มอนิก (Harmonic Component) แต่ละตัวต่อค่า RMS ของส่วนประกอบความถี่หลักมูล (Fundamental Component) เทียบเป็นร้อยละ
3. ค่าความเพี้ยนฮาร์มอนิกสรรวม (Total Harmonic Distortion, THD) คืออัตราส่วนระหว่างค่ารากที่สองของผลบวกกำลังสอง (Root-Sum-Square) ของค่า RMS ของส่วนประกอบฮาร์มอนิก (Harmonic Component) ทุกตัวกับค่า RMS ของส่วนประกอบความถี่หลักมูล (Fundamental Component) เทียบเป็นร้อยละดังแสดงในสมการที่ (2.3) และ (2.4)

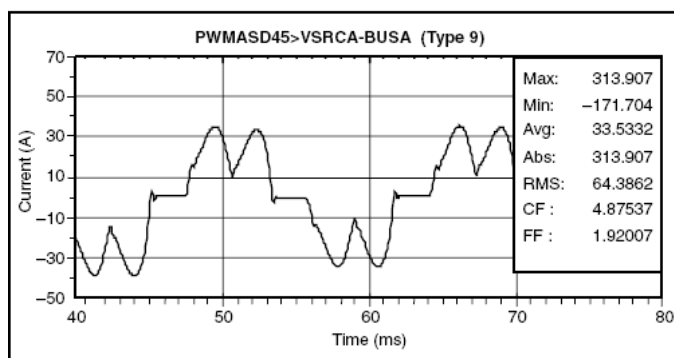
$$\text{THD}_{\text{voltage}} = \frac{\sqrt{(V_2^2 + V_3^2 + \dots)}}{V_1} \quad (2.3)$$

$$\text{THD}_{\text{current}} = \frac{\sqrt{(I_2^2 + I_3^2 + \dots)}}{I_1} \quad (2.4)$$

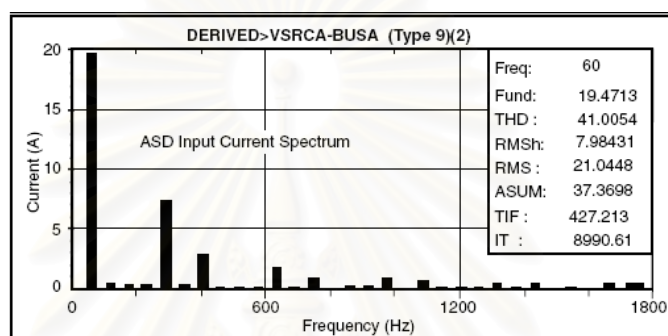


รูปที่ 2-6 ตัวอย่างการบิดเพี้ยนของรูปคลื่นที่เกิดจากการรวมกันของสัญญาณความถี่หลักมูลกับ

องค์ประกอบฮาร์มอนิกอันดับสองและสาม [4]



(a)



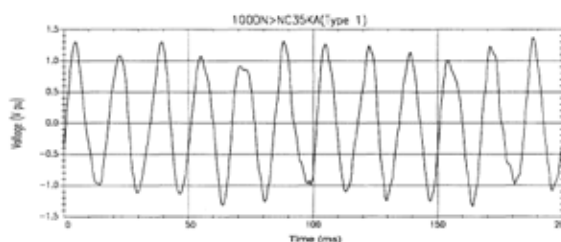
(b)

รูปที่ 2-7 รูปคลื่นกระแสที่ผิดเพี้ยนอันเนื่องมาจากองค์ประกอบฮาร์มอนิกส์ (a)

และฮาร์มอนิกส์สเปกตรัม (b) [3]

2.1.4. แรงดันกระเพื่อม (Voltage Fluctuation)

คือการเปลี่ยนแปลงอย่างสมมาตรของกรอบแรงดัน (Voltage Envelope) หรือการเปลี่ยนแปลงอย่างต่อเนื่องของค่า RMS ของแรงดัน โดยมีขนาดเปลี่ยนแปลงอยู่ระหว่าง 0.95 - 1.05 p.u. มีสาเหตุมาจากการเปลี่ยนแปลงโหลดกระแส โดยมีโหลดไวปฏิกิริยา (Reactive Load) และ Arc Furnace เป็นต้นเหตุมากที่สุดในระบบส่งและระบบจำหน่าย ดังตัวอย่างรูปคลื่นในรูปที่ 2-8



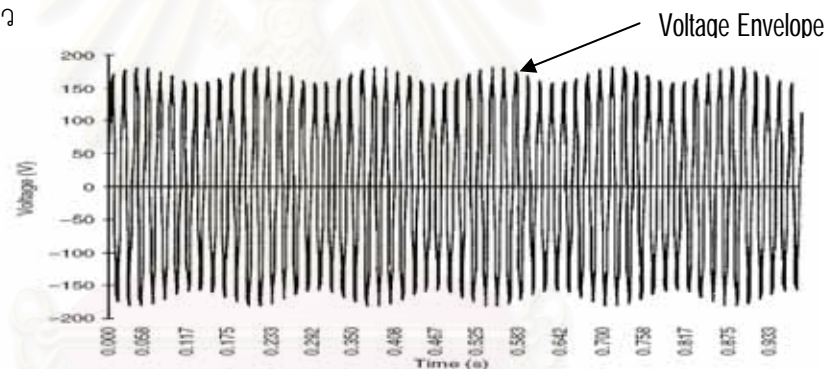
รูปที่ 2-8 ตัวอย่างรูปคลื่นแรงดันกระเพื่อม อันเป็นผลมาจากการใช้งาน Arc Furnace [3]

เนื่องจากการเกิดแรงดันกระเพื่อมนั้น สามารถมองได้ว่าเป็นการกรอกล้ำของแอมพลิจูด (Amplitude Modulation) ของสัญญาณที่มีความถี่หลักมูล (50 Hz) กับสัญญาณความถี่อื่น ดังนั้นการวิเคราะห์แรงดันกระเพื่อม สามารถวิเคราะห์ได้จากการเปลี่ยนแปลงของขนาด RMS ของแรงดัน เปรียบเทียบกับค่า RMS แรงดันที่มีความถี่หลักมูล (50 Hz)

2.1.5. ไฟกะพริบ (Flickers)

เป็นปรากฏการณ์ของแรงดันไฟกระเพื่อมที่ส่งผลต่อการเปลี่ยนแปลงความเข้มแสง (Light Intensity) ทำให้เกิดการกะพริบของแสงไฟ ที่สามารถสังเกตเห็นได้ด้วยตาของมนุษย์ ไฟกะพริบจะเกิดจากการเปลี่ยนแปลงโหลดอย่างกะทันหันเช่น การใช้งาน Arc Furnace, Electric Welder, มอเตอร์ในเครื่องปั๊มความร้อน (Heat Pump), เครื่องทำความเย็น, เครื่องเจาะ เป็นต้น สามารถแยกได้เป็น 2 ประเภทคือ

4. แบบวงรอบ (Cyclic Flicker) เกิดจากแรงดันไฟกระเพื่อมที่เป็นคาบ (Periodic) ตลอดเวลาในระบบไฟฟ้า
5. แบบไม่เป็นวงรอบ (Noncyclic Flicker) เกิดจากแรงดันไฟกระเพื่อม ที่เกิดเป็นครั้งคราว



รูปที่ 2-9 ตัวอย่างรูปคลื่นแรงดันไฟกะพริบ

แสงสว่างไฟกะพริบนั้นเกิดจากการกรอกล้ำของแอมพลิจูด (Amplitude Modulation) [7] ระหว่างสัญญาณพาหะ (Carrier) ที่ความถี่หลักมูล (50 Hz) กับสัญญาณที่มากล้ำรูปไซน์ [7] (Sinusoidal Voltage Fluctuation) ดังสมการที่ (2.5)

$$u_{AM}(t) = A_c [1 + A_m \cos(\omega_m t)] \cos(\omega_c t) \quad (2.5)$$

อย่างไรก็ดีการเปลี่ยนแปลงกรอบแรงดัน (Voltage Envelope) ของสัญญาณไฟกะพริบ ในรูปที่ 2-9 อาจจะเป็นรูปอื่นได้ ซึ่งสามารถระบุได้ถึงแหล่งกำเนิดของไฟกะพริบได้ เช่น ถ้ากรอบการเปลี่ยนแปลงเป็นฟังก์ชันสเต็ป (Step Function) จะเกิดจากสวิตซ์ซึ่งโหลดขนาดใหญ่, ถ้ากรอบการเปลี่ยนแปลงเป็นรูปสี่เหลี่ยม (Square Wave) จะเกิดจากการเปลี่ยนแปลงความถี่และอัตราส่วนช่วงทำงาน (Duty Ratio) ของเครื่องเชื่อม, ถ้าเป็นรูปไซน์ จะเกิดจากการใช้งาน Arc Furnace ที่ความถี่ต่ำกว่าความถี่แหล่งจ่าย

โดยปกติแล้วขนาดสัญญาณไฟกะพริบ (Flicker Signal) จะคำนวณจากการความแตกต่างระหว่างแรงดันมากที่สุด (V_{max}) กับแรงดันน้อยสุด (V_{min}) เทียบกับสัญญาณแรงดันในภาวะปกติ (V_o) คิดเป็นร้อยละ ดังสมการที่ (2.6)

$$\%V_{modulation} = \frac{V_{max} - V_{min}}{V_o} \times 100 \quad (2.6)$$

2.2. เครื่องวัดคุณภาพไฟฟ้า (Power Quality Meter)

ปัญหาคุณภาพไฟฟ้าที่เกิดขึ้นในระบบไฟฟ้าจะครอบคลุมหลายช่วงเวลา และมีสาเหตุแตกต่างกันตามลักษณะของปัญหา การแก้ปัญหาจึงต้องอาศัย เครื่องวัดคุณภาพไฟฟ้า ในการเก็บข้อมูลและนำผลมาวิเคราะห์หาลักษณะของปัญหาคุณภาพไฟฟ้าที่เกิดขึ้น โดยรายละเอียดสมรรถนะของเครื่องวัดคุณภาพไฟฟ้ามีดังต่อไปนี้

2.2.1. ประเภทของเครื่องวัด [6]

มีหลายประเภทตามปัญหาคุณภาพไฟฟ้า การใช้งานแต่ละประเภทรู้นั้นขึ้นอยู่กับปรากฏการณ์หรือปัญหาคุณภาพไฟฟ้าที่เกิดขึ้น โดยสามารถจำแนกประเภทได้ดังนี้

1. อุปกรณ์ทดสอบสายตัวนำและกราวนด์ (Wiring and Grounding Test Device)
2. มัลติมิเตอร์ (Multimeter)
3. ออสซิลโลสโคป (Oscilloscope)
4. เครื่องวิเคราะห์ฮาร์มอนิกส์ (Harmonic Analyzer)
5. เครื่องวิเคราะห์สเปกตรัม (Spectrum Analyzer)
6. เครื่องวิเคราะห์การรบกวนแบบชั่วขณะ (Transient Disturbance Analyzer)
7. เครื่องวัดไฟกะพริบ (Flicker Meter)
8. เครื่องควบคุมการใช้พลังงาน (Energy Monitor)
9. เครื่องวิเคราะห์การรบกวน (Disturbance Analyzer)
10. เครื่องวิเคราะห์ฮาร์มอนิกส์และการรบกวน (Harmonic and Disturbance Analyzer)

2.2.2. ข้อกำหนดเครื่องวัดคุณภาพไฟฟ้า [6] [8]

ได้แก่

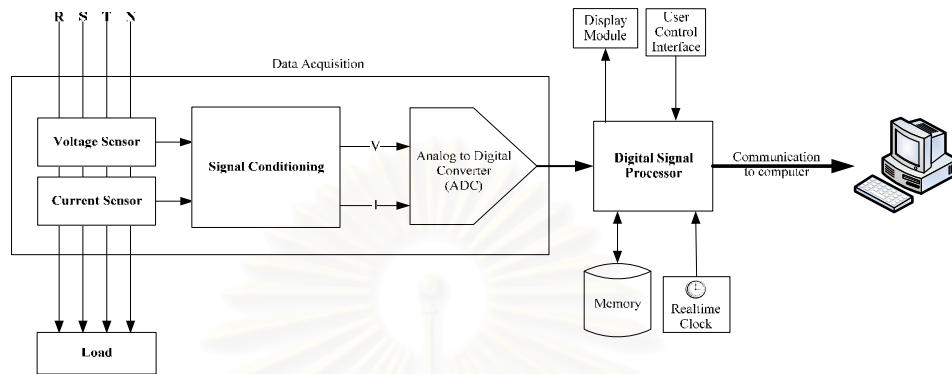
1. จำนวนช่องสัญญาณ (Number of Channels)
2. ความละเอียดและความถี่ในการสุ่มสัญญาณ (Sampling Rate)
3. หน่วยความจำภายในตัวเครื่อง
4. คุณภาพการใช้งานของเครื่องมือ

5. ช่วงแรงดันขาเข้า
6. ความสามารถในการวัดแรงดันสามเฟส
7. ความสามารถในการวัดกระแส
8. ความสามารถในการวัดปริมาณที่เกี่ยวข้องกับคุณภาพไฟฟ้าดังต่อไปนี้
 - แรงดันไฟตรง และ กระแสไฟตรง
 - ฮาร์มอนิกส์และอินเตอร์ฮาร์มอนิกส์
 - ความต้านทานในกราวนด์
 - ตัวประกอบกำลังไฟฟ้า (Power factor)
 - ไฟกะพริบ (Flicker)
 - กำลังและพลังงาน (Power/Energy)
 - การเปลี่ยนแปลงทันทีทันใด (Transient)
 - แรงดันตกชั่วขณะ (Sag/Dips)
 - แรงดันเกินชั่วขณะ (Swell)
 - แรงดันเกิน (Overvoltage)
 - แรงดันไม่สมดุล (Imbalance/Unbalance)
9. ความแม่นยำของเครื่องวัด คลาส 0.1% หรือ 0.5%
10. การเชื่อมต่อกับคอมพิวเตอร์ (Communication)
 - RS-232
 - Ethernet
 - TCP/IP
 - Modem
 - Power-line-communication
11. ลักษณะการใช้งานของเครื่อง
 - แบบหิ้ว (Hand-held) หรือพกพา (Portable) เหมาะสำหรับการสำรวจปัญหาคุณภาพไฟฟ้าหลังจากที่ปัญหาคุณภาพไฟฟ้าเกิดขึ้นแล้ว
 - แบบติดตั้งอยู่กับที่ (Fixed installation) เหมาะสำหรับการควบคุมดูแลคุณภาพไฟฟ้าอย่างถาวร

2.2.3. โครงสร้างเครื่องวัดคุณภาพไฟฟ้า (Power Quality Meter Architecture)

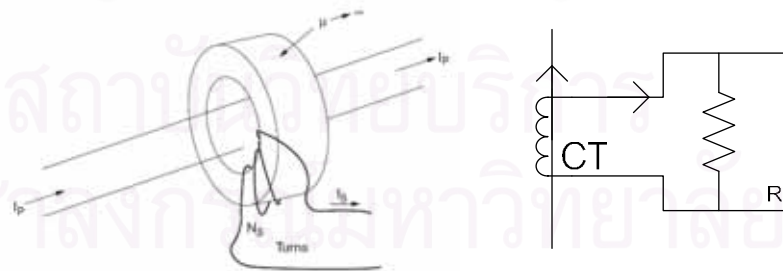
โดยทั่วไปแสดงดังรูปที่ 2-10 การทำงานของเครื่องวัดคุณภาพไฟฟ้า [8] จะเริ่มจากการตรวจจับสัญญาณแรงดันและกระแสจากระบบไฟฟ้ากำลัง (Power System) ที่จุดวัดโดยใช้

อุปกรณ์ตรวจจับและแปลงสัญญาณ เช่น หม้อแปลงกระแส หรือวงจรแบ่งแรงดัน สัญญาณที่ตรวจจับได้จะนำไปผ่าน หน่วยวัดเพื่อหาขนาดของสัญญาณที่วัดได้ และสุดท้ายจะนำไปประมวลผลสัญญาณเพื่อวิเคราะห์คุณภาพของสัญญาณไฟฟ้าที่วัดเข้ามา โดยรายละเอียดของโครงสร้างเครื่องวัดคุณภาพไฟฟ้าในแต่ละส่วนมีดังต่อไปนี้



รูปที่ 2-10 โครงสร้างโดยทั่วไปของเครื่องวัดคุณภาพไฟฟ้า

1. ส่วนตรวจจับสัญญาณ (Signal Transducer/Sensor (CT, PT)) สัญญาณที่ต้องตรวจจับและนำมาวิเคราะห์คือ แรงดัน และ กระแส โดยแรงดันเป็นสัญญาณทางไฟฟ้าที่สามารถส่งเข้าไปยังส่วนปรับปรุงเงื่อนไขสัญญาณไฟได้โดยตรง หรืออาจจะใช้ หม้อแปลงแรงดัน (Potential Transformer) เพื่อลดระดับแรงดันลงมาก่อน ส่วนกระแสนั้นจะต้องใช้อุปกรณ์ที่เรียกว่าหม้อแปลงกระแส (Current Transformer) มาคล้องสายตัวนำที่มีกระแสไหลผ่านดังรูปที่ 2-11 เพื่อลดระดับกระแสลงมาจากนั้นก็ให้นำสัญญาณกระแสนี้ไปวิ่งผ่านตัวต้านทานเพื่อเปลี่ยนเป็นสัญญาณแรงดันไฟฟ้า เพื่อส่งไปยังส่วนแปลงสัญญาณแอนะล็อกเป็นดิจิทัลหรือ ส่วนปรับปรุงเงื่อนไขสัญญาณ



รูปที่ 2-11 หม้อแปลงกระแสโดยทั่วไปและวงจรเปลี่ยนสัญญาณกระแสเป็นแรงดัน

2. ส่วนปรับปรุงเงื่อนไขสัญญาณ (Signal Conditioning) หลังจากทีสัญญาณถูกตรวจจับในส่วนตรวจจับสัญญาณแล้ว สัญญาณเหล่านี้จะต้องถูกนำมาปรับปรุง โดยวงจรแบ่งแรงดัน หรืออาจใช้ออปแอมป์ (Opamp) ช่วย เพื่อให้มีขนาดเหมาะสมและสามารถส่งเข้าไปยังส่วนแปลงสัญญาณแอนะล็อกเป็นดิจิทัลได้

3. หน่วยแปลงสัญญาณแอนะล็อกเป็นดิจิทัล (Analog to Digital Converter-ADC) มีหน้าที่ในการแปลงสัญญาณแอนะล็อกที่วัดมาให้เป็นสัญญาณดิจิทัล เพื่อให้สามารถนำไปประมวลผลในหน่วยประมวลผลสัญญาณดิจิทัลได้
4. หน่วยประมวลผลสัญญาณดิจิทัล (Digital Signal Processor-DSP) เปรียบเสมือนหัวใจหลักของเครื่องวัดคุณภาพไฟฟ้า มีหน้าที่ดังต่อไปนี้
 - จัดการแท่งที่ต่างๆที่เกี่ยวกับการทำงานของเครื่องวัดคุณภาพไฟฟ้า
 - จัดการหน่วยความจำที่ใช้เก็บตัวแปรที่วิเคราะห์ได้
 - ประมวลผลข้อมูลดิบ ที่ได้จากชิพแปลงสัญญาณแอนะล็อกเป็นดิจิทัลด้วยอัลกอริทึมต่างๆเพื่อวิเคราะห์คุณภาพไฟฟ้าของสัญญาณที่วัดเข้ามา
 - ควบคุมการติดต่อสื่อสารกับอุปกรณ์อื่นๆ
5. หน่วยสร้างฐานเวลาจริง (Real time Clock) เป็นส่วนที่มีหน้าที่ระบุเวลาและควบคุมจังหวะการตรวจจับสัญญาณแรงดันและกระแสให้ตรงกัน โดยหน่วยสร้างฐานเวลาจริงนี้อาจใช้ชิพสร้างฐานเวลาจริงหรือใช้มอดูลจีพีเอส (GPS Module)
6. หน่วยความจำ (Memory/Storage) เมื่อข้อมูลแรงดันและกระแส ผ่านการประมวลผลสัญญาณดิจิทัลแล้ว ผลการประมวลจะถูกนำมาเก็บภายในหน่วยความจำ เพื่อทำการวิเคราะห์ภายหลัง
7. ส่วนติดต่อสื่อสาร (Communication interface) เป็นส่วนที่มีหน้าที่ในการติดต่อสื่อสารกับอุปกรณ์ภายนอกอื่นๆเช่นคอมพิวเตอร์ เพื่อส่งข้อมูลที่บันทึกไว้ไปวิเคราะห์ต่อในคอมพิวเตอร์หรือจัดทำรายงานผลการตรวจสอบคุณภาพไฟฟ้า

2.3. การวัดและวิเคราะห์คุณภาพไฟฟ้า

2.3.1. การวิเคราะห์ปริมาณฮาร์มอนิกส์ [5]

การวิเคราะห์ปริมาณฮาร์มอนิกส์ในสัญญาณไฟฟ้าที่สุ่มเข้ามาซึ่งเป็นสัญญาณที่อ้างอิงบนโดเมนเวลา $f[n]$ จะต้องเปลี่ยนไปเป็นสัญญาณที่อ้างอิงบนโดเมนความถี่โดยใช้อัลกอริทึม DFT (Discrete Fourier Transform) [5] ดังสมการที่(2.7) และเขียนในรูปสมการเมทริกซ์ดังสมการที่ (2.8) ซึ่งใช้การคูณทั้งหมด $2N$ ครั้ง

$$C_h = \frac{2}{N} \sum_{n=0}^{N-1} f[n] e^{-\frac{j2\pi hn}{N}} = \frac{2}{N} \sum_{n=0}^{N-1} f[n] W^{hn} \quad (2.7)$$

โดย $W = e^{-\frac{j2\pi}{N}}$

$$\begin{bmatrix} C_0 \\ C_1 \\ \cdot \\ \cdot \\ C_{N-1} \end{bmatrix} = \frac{2}{N} \begin{bmatrix} W^{(0 \times 0)} & W^{(0 \times 1)} & \cdot & \cdot & \cdot & 1 \\ W^{(1 \times 0)} & W^{(1 \times 1)} & \cdot & \cdot & \cdot & W^{(1 \times (N-1))} \\ \cdot & \cdot & \cdot & \cdot & \cdot & \cdot \\ \cdot & \cdot & \cdot & \cdot & \cdot & \cdot \\ W^{((N-1) \times 0)} & W^{((N-1) \times 1)} & \cdot & \cdot & \cdot & W^{((N-1) \times (N-1))} \end{bmatrix}_{N \times N} \begin{bmatrix} f[0] \\ f[1] \\ \cdot \\ \cdot \\ f[N-1] \end{bmatrix}_{N \times 1} \quad (2.8)$$

$$\begin{bmatrix} C_0 \\ C_1 \\ \cdot \\ \cdot \\ C_{N-1} \end{bmatrix} = \frac{2}{N} \begin{bmatrix} 1 & 1 & \cdot & \cdot & \cdot & 1 \\ 1 & W & \cdot & \cdot & \cdot & W^{N-1} \\ \cdot & \cdot & \cdot & \cdot & \cdot & \cdot \\ \cdot & \cdot & \cdot & \cdot & \cdot & \cdot \\ 1 & W^{N-1} & \cdot & \cdot & \cdot & W^{(N-1)(N-1)} \end{bmatrix} \begin{bmatrix} f[0] \\ f[1] \\ \cdot \\ \cdot \\ f[N-1] \end{bmatrix}_{N \times 1} \quad (2.9)$$

$$= \frac{2}{N} [W] \begin{bmatrix} f[0] \\ f[1] \\ \cdot \\ \cdot \\ f[N-1] \end{bmatrix}$$

$$[C_h] = \frac{2}{N} [W] [f] \quad (2.10)$$

ถ้ากระจายเมทริกซ์ $[W]$ เป็น W_1, W_2, \dots, W_L โดยที่ $L = \log_2 N$ และ W_1, W_2, \dots, W_L เป็นเมทริกซ์ที่มีทอมไม่เป็นศูนย์อยู่สองตัวในแต่ละแถว การคำนวณสมการที่ (2.9) จะเร็วขึ้นกว่าเดิม โดยใช้การคูณ $\frac{N}{2} \log_2 N$ ครั้ง เรียกอัลกอริทึมนี้ว่าการแปลงฟูเรียร์แบบเร็ว (Fast Fourier Transform - FFT) [9] อัลกอริทึมนี้มีอยู่หลายวิธีเช่น FFT Radix-2, FFT-Radix-4 ฯลฯ

เมื่อหาปริมาณฮาร์มอนิกอันดับต่างๆได้จะสามารถหาพารามิเตอร์ที่เกี่ยวข้องได้ดังนี้

1. ค่า Root Means Square ของกระแสและแรงดัน สามารถหาได้จากสมการที่ (2.11)

$$I = \sqrt{\sum_{h=1}^N I_{hrms}^2} \quad \text{และ} \quad V = \sqrt{\sum_{h=1}^N V_{hrms}^2} \quad (2.11)$$

2. ค่ากำลังจริง (Real Power), กำลังเสมือน (Reactive Power) และกำลังปรากฏ (Apparent Power) สามารถหาได้ดังสมการที่ (2.12) - (2.14)

$$\text{กำลังจริง (W): } P = \sum_{h=1}^N V_{hrms} I_{hrms} \cos(q_h - f_h) \quad (2.12)$$

$$\text{กำลังเสมือน (VAR): } Q = \sum_{h=1}^N V_{hrms} I_{hrms} \sin(q_h - f_h) \quad (2.13)$$

$$\text{กำลังปรากฏ (VA): } S = V_{rms} I_{rms} = \sqrt{\sum_{h=1}^N (V_{hrms})^2 \cdot \sum_{h=1}^N (I_{hrms})^2} \quad (2.14)$$

3. ค่าตัวประกอบกำลัง (Power Factor) สามารถแยกออกมาได้เป็นสองส่วนคือ ส่วนที่เป็นผลมาจากองค์ประกอบความถี่หลักมูล (Displacement Power Factor - DPF)

และส่วนที่เป็นผลมาจากองค์ประกอบฮาร์มอนิกส์ (Distortion Power Factor - HPF) ซึ่งสามารถได้หาได้ดังสมการที่ (2.15) - (2.17)

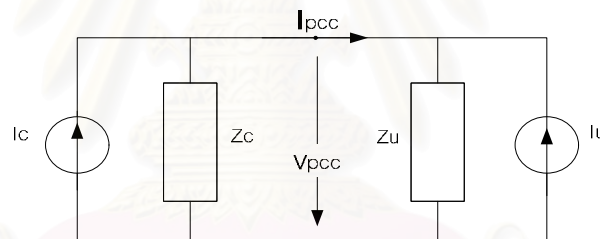
$$PF = \frac{P}{S} = \frac{P}{S_1} \left(\frac{1}{\sqrt{1+THD_V^2}} \cdot \frac{1}{\sqrt{1+THD_I^2}} \right) = PF_{disp} \cdot PF_{dist} \quad (2.15)$$

$$PF \approx \cos(q_1) \times \frac{1}{\sqrt{1+THD_I^2}} \quad (2.16)$$

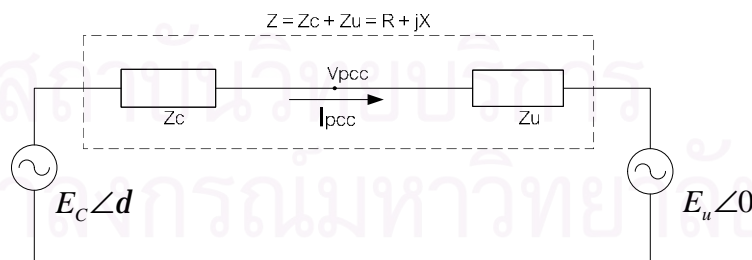
$$PF = DPF \times HPF \quad (2.17)$$

2.3.2. การหาทิศทางของแหล่งกำเนิดฮาร์มอนิกส์จากความต้านทานวิกฤติ [10]

ฮาร์มอนิกส์เป็นสาเหตุของความเพี้ยนของรูปคลื่น และเกิดจากโหลดไม่เชิงเส้นในระบบไฟฟ้า การหาทิศทางของแหล่งกำเนิดฮาร์มอนิกส์ที่จุดเชื่อมต่อระหว่างผู้ใช้กับแหล่งจำหน่ายไฟฟ้า (Point of Common Coupling) จะบ่งชี้ได้ว่า ณ จุดเชื่อมต่อ ใครเป็นต้นเหตุของฮาร์มอนิกส์ เพื่อที่จะหาทางลดผล (Mitigation) ฮาร์มอนิกส์ได้อย่างมีประสิทธิภาพ โดยพิจารณาจากวงสมมูลในรูปที่ 2-12 (ตัวแปรแต่ละตัวจะละตัวห้อย h ไว้เพื่อลดความซับซ้อนในการเขียนตัวห้อยหลายๆตัว)



(a)



(b)

รูปที่ 2-12 วงจรสมมูล Norton (a) และ Thevenin (b) ระหว่างผู้ใช้กับแหล่งจำหน่ายไฟฟ้า

$$I_c = \text{กระแสฮาร์มอนิกส์ของผู้ใช้ไฟฟ้า}$$

$$\begin{aligned}
 I_u &= \text{กระแสฮาร์มอนิกส์ของแหล่งจำหน่ายไฟฟ้า} \\
 Z_u &= \text{ความต้านทานฮาร์มอนิกส์ฝั่งแหล่งจำหน่ายไฟฟ้า} \\
 Z_c &= \text{ความต้านทานฮาร์มอนิกส์ฝั่งผู้ใช้ไฟฟ้า}
 \end{aligned}$$

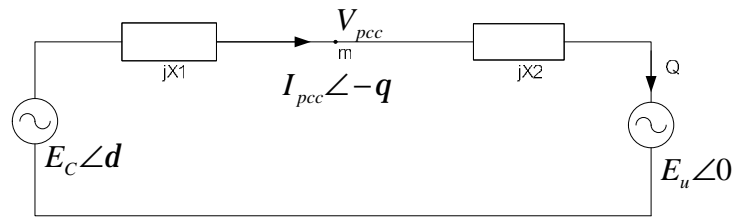
จากวงจรสมมูลระหว่างผู้ใช้ไฟฟ้ากับแหล่งจำหน่ายไฟฟ้า ดังรูปที่ 2-12 สามารถวิเคราะห์หาค่ากำลังไฟฟ้าในกรณีที่ $Z = Z_c + Z_u = jX$ ได้ดังสมการที่ (2.18)

$$\begin{aligned}
 I\angle(-q) &= \frac{(E_c \cos d + jE_c \sin d) - E_u}{jX} = \frac{E_c \sin d - j(E_c \cos d - E_u)}{X} \\
 S = P + jQ &= E_u \times (I\angle(-q))^* = E_u \frac{E_c \sin d + j(E_c \cos d - E_u)}{X} \\
 P &= E_u I \cos q = E_u \frac{E_c \sin d}{X} \\
 Q &= E_u I \sin q = E_u \frac{(E_c \cos d - E_u)}{X}
 \end{aligned} \tag{2.18}$$

จากสมการ $P = E_u I \cos q = E_u \frac{E_c \sin d}{X}$ มุมเฟสระหว่างแรงดันบัส จะบอกถึงทิศทางการไหลของกำลังส่วนจริง (Active Power) และความแตกต่างของขนาดระหว่างแรงดันบัสจะบอกถึงทิศทางการไหลของกำลังส่วนจินตภาพ (Reactive Power) ดังสมการ $Q = E_u I \sin q = E_u \frac{(E_c \cos d - E_u)}{X}$, (q เป็นมุมต่างเฟสระหว่าง E_u กับ I)

- ถ้า $Q > 0$, E_u จะต้องมีขนาดเล็กกว่า E_c ดังนั้น I_{pcc} ที่จุดต่อร่วมระหว่างผู้ใช้กับแหล่งจำหน่ายไฟฟ้า เป็นผลมาจากผู้ใช้ไฟฟ้า (Customer)
- ถ้า $Q < 0$, จากสมการ Q จะเห็นได้ว่า $\cos d$ คูณอยู่กับ E_c ดังนั้น E_c ไม่จำเป็นจะต้องมีขนาดเล็กกว่า E_u และ I_{pcc} ที่จุดต่อร่วมระหว่างผู้ใช้กับแหล่งจำหน่ายไฟฟ้าไม่จำเป็นต้องเป็นผลมาจากแหล่งจำหน่ายไฟฟ้า (Utility) ซึ่งสามารถมองได้ว่ากำลังไฟฟ้าเสมือนไม่จำเป็นจะต้องไปถึงผู้ใช้เสมอ เนื่องจากสายไฟอาจจะเป็นตัวดูดซับกำลังไฟฟ้าเสมือนไว้

ตัวแปรต่อมาที่มีความสำคัญในการวิเคราะห์ต่อในกรณีนี้คือ ความต้านทานในสายไฟที่แรงดันฮาร์มอนิกส์มีค่าต่ำสุด ความต้านทานฝั่งแหล่งจำหน่ายไฟฟ้า (Z_u) และความต้านทานฝั่งผู้ใช้ไฟฟ้า (Z_c) โดยในเบื้องต้นจะใช้ $Z_c = jX_1$ และ $Z_u = jX_2$ ดังรูปที่ 2-13 ซึ่งจะวิเคราะห์ได้ดังสมการ (2.19)



รูปที่ 2-13 การพิจารณาแรงดันที่จุดวัดบนสายความต้านทาน (Impedance Line) jX

$$E_u = V_m - I_{pcc} Z_u = V_m - I_{pcc} \cdot jX_u \quad (2.19)$$

โดยที่ V_m สามารถหาได้จากการใช้ทฤษฎี Superposition ดังสมการที่ (2.20)

$$V_m = \frac{X_1}{X_1 + X_2} E_u \angle 0 + \frac{X_2}{X_1 + X_2} E_c \angle d \quad (2.20)$$

ประเด็นที่สำคัญสำหรับการวิเคราะห์หาว่าฝั่งไหนมีผลต่อกระแสที่จุดวัด (I_{pcc}) อยู่ที่ระยะทางแค่นั้นบนความต้านทาน X ($X_u + X_c$) ที่จะทำให้ Q ที่ถูกสร้างโดย E_u (ฝั่งแหล่งจำหน่ายไฟฟ้า) ไหลไปถึง ซึ่งหาได้จาก $\frac{\partial |V_m|^2}{\partial X_2} = 0$ (อนุพันธ์เทียบกับ X_2 เพื่อวัดจากฝั่งแหล่งจำหน่ายไฟฟ้า) จะได้จุดที่มีความต้านทาน x ที่ทำให้ V_m มีค่าน้อยสุดดังสมการ (2.21)

$$x = \frac{E_u^2 - E_u E_c \cos d}{E_u^2 + E_c^2 - 2E_u E_c \cos d} X \quad (2.21)$$

จากสมการ $I \angle (-q) = \frac{E_c \sin d - j(E_c \cos d - E_u)}{X}$ จะได้ว่า

$$I^2 = \frac{E_u^2 + E_c^2 - 2E_u E_c \cos d}{X^2} \quad (2.22)$$

จากสมการที่ (2.22) เมื่อแทน I^2 และ $Q = E_u \frac{(E_c \cos d - E_u)}{X}$ ในสมการที่ (2.21) สามารถเขียนสมการ x ได้ดังสมการที่ (2.23)

$$x = \frac{-Q}{I^2} = -\frac{E_u}{I} \sin q \quad (2.23)$$

จากสมการที่ (2.21) ถ้าให้ $E_u = aE_c$ จะได้ว่า

$$x = \frac{a^2 - a \cos d}{(1 + a^2) - 2a \cos d} X \quad (2.24)$$

ค่า x_{\min} จะเกิดขึ้นเมื่อ มุมต่างเฟสระหว่าง E_u กับ E_c มีค่าเท่ากับ p

$$x_{\min} = \frac{a^2 - a \cos d}{(1 + a^2) - 2a \cos d} X \Big|_{d=p} = \frac{a}{1+a} X > 0.5X \quad (2.25)$$

จะได้ว่า $\frac{x}{X} > 0.5$ เสมอซึ่งสามารถอธิบายความหมายของค่าความต้านทาน x ที่คำนวณได้ดังนี้

- ถ้า x มีค่าใกล้ฝั่งผู้ใช้ไฟฟ้า ($x > \frac{X}{2}$) จะมองได้ว่า Q ที่ถูกสร้างขึ้นจากฝั่งแหล่งจำหน่ายไฟฟ้าสามารถส่งไปได้เป็นบนความต้านทานที่มากกว่า $\frac{X}{2}$
- ถ้า x มีค่าใกล้ฝั่งแหล่งจำหน่ายไฟฟ้า ($x < \frac{X}{2}$) จะมองได้ว่า Q ที่ถูกสร้างขึ้นจากฝั่งแหล่งจำหน่ายไฟฟ้าสามารถส่งไปได้เป็นบนความต้านทานที่น้อยกว่า $\frac{X}{2}$

จากการวิเคราะห์หาค่า x ที่จุดวัด สามารถนิยามดัชนี $CI = 2 \frac{Q}{I^2}$ โดย Q มีทิศทางการไหลดังรูปที่ 2-12 ซึ่งสามารถนำมาใช้ในการหาทิศทางของแหล่งกำเนิดฮาร์มอนิกส์ได้ในกรณีที่มีมองว่า $Z_u = jX_u$ และ $Z_c = jX_c$ ดังนี้

- ถ้า $CI > 0$ สามารถสรุปได้เลยว่าแหล่งกำเนิดฮาร์มอนิกส์อยู่ทางด้านผู้ใช้ไฟฟ้า
- ถ้า $CI < 0$ ยังไม่สามารถสรุปได้ว่าแหล่งกำเนิดฮาร์มอนิกส์อยู่ทางด้านไหน ต้องหาค่าตัวแปร X_u และ X_c เพื่อนำมาคำนวณหาค่า $X = X_u + X_c$ โดยการหาค่า X นั้นจะทำการวัดหลายครั้ง และให้ X_{\max} เป็นค่าสูงสุดที่วัดค่า X ได้ และให้ X_{\min} เป็นค่าต่ำสุดที่สามารถวัดค่า X ได้ จากนั้นนำมาเปรียบเทียบกับค่า CI ดังนี้
 - ถ้า $|CI| > X_{\max}$ จะได้ว่าแหล่งกำเนิดฮาร์มอนิกส์อยู่ทางด้านแหล่งจำหน่ายไฟฟ้า
 - ถ้า $|CI| < X_{\min}$ จะได้ว่าแหล่งกำเนิดฮาร์มอนิกส์อยู่ทางด้านผู้ใช้ไฟฟ้า
 - แต่ถ้า $X_{\min} < |CI| < X_{\max}$ ไม่สามารถสรุปได้ว่าฝั่งไหนเป็นแหล่งกำเนิดฮาร์มอนิกส์ต่อไปจะเป็นการวิเคราะห์ในกรณี $Z = R + jX$ ดังในรูปที่ 2-12 จะได้ว่า

$$P = \frac{E_u E_c}{|Z|} \sin(d + b) - \frac{E_u^2 \sin(b)}{|Z|} \quad (2.26)$$

$$Q = \frac{E_u E_c}{|Z|} \cos(d + b) - \frac{E_u^2 \cos(b)}{|Z|}$$

โดยที่ $b = \tan^{-1}\left(\frac{R}{X}\right)$ จะเห็นได้ว่าถ้าให้ $T = \begin{bmatrix} \cos(b) & \sin(b) \\ \sin(b) & \cos(b) \end{bmatrix}$ จะเขียนสมการ (2.26) ได้ดังสมการที่ (2.27)

$$\begin{bmatrix} P \\ Q \end{bmatrix} = T \begin{bmatrix} P \\ Q \end{bmatrix} = \begin{bmatrix} \frac{E_u E_c}{|Z|} \sin(d + b) - \frac{E_u^2 \sin(b)}{|Z|} \\ \frac{E_u E_c}{|Z|} \cos(d + b) - \frac{E_u^2 \cos(b)}{|Z|} \end{bmatrix} \quad (2.27)$$

การวิเคราะห์หาค่าดัชนี CI หาได้จาก $E_u = V_m - I_{pcc} Z_u = V_m - I_{pcc} \cdot jX_u$ และ $CI = 2\left(\frac{E_u}{I}\right) \sin(q + b)$ แล้วนำมาสรุปหาทิศทางของแหล่งกำเนิดฮาร์มอนิกส์ได้ดังนี้

- ถ้า $CI > 0$ สามารถสรุปได้เลยว่าแหล่งกำเนิดฮาร์มอนิกส์อยู่ทางด้านผู้ใช้ไฟฟ้า

- ถ้า $CI < 0$ ยังไม่สามารถสรุปได้ว่าแหล่งกำเนิดฮาร์มอนิกส์อยู่ทางด้านไหน ต้องพิจารณาต่อดังนี้
 - ถ้า $|CI| > Z_{max}$ จะได้ว่าแหล่งกำเนิดฮาร์มอนิกส์อยู่ทางด้านแหล่งจำหน่ายไฟฟ้า
 - ถ้า $|CI| < Z_{min}$ จะได้ว่าแหล่งกำเนิดฮาร์มอนิกส์อยู่ทางด้านผู้ใช้ไฟฟ้า
 - ถ้า $Z_{min} < |CI| < Z_{max}$ ไม่สามารถสรุปได้ว่าฝั่งไหนเป็นแหล่งกำเนิดฮาร์มอนิกส์ จุดที่ต้องระวังคือกรณีโหลด $Z = -jX$ จะทำให้ได้ค่า Q ดังสมการที่ (2.28)

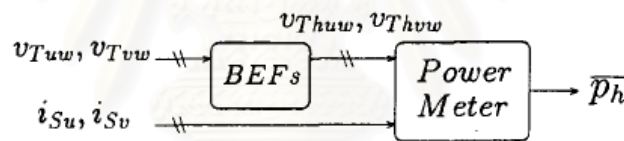
$$Q = E_u I \sin q = E_u \frac{(E_c \cos d - E_u)}{-X} \quad (2.28)$$

ถ้าฝั่งแหล่งจำหน่ายเป็นฝั่งส่งกำลังเสมือนตามทิศทางไหลของ Q ในรูปที่ 2-12 จะได้ว่า $Q < 0$ ก็ต่อเมื่อ $E_c > E_u$ ซึ่งเงื่อนไขนี้จะตรงข้ามกับกรณี $Z = jX$

2.3.3. การพิจารณาทิศทางแหล่งกำเนิดฮาร์มอนิกส์จากกำลังไฟฟ้าขณะนั้น (Harmonic Power Detection Based on Instantaneous Active Power) [11]

กำลังจริงทันทีทันใด p (Instantaneous Active Power) ในระบบไฟฟ้าสามเฟสแสดงดังสมการ (2.29)

$$p = v_{Tu}i_{Su} + v_{Tv}i_{Sv} + v_{Tw}i_{Sw} \quad (2.29)$$



รูปที่ 2-14 บล็อกไดอะแกรมแสดงการวิเคราะห์การตรวจวัดกำลังไฟฟ้าฮาร์มอนิกส์

ถ้าใช้วิธีวัดแบบ 2 มิเตอร์ ดังรูปที่ 2-14 กำลังจริงทันทีทันใด p จะเป็นดังสมการ (2.30)

$$\begin{aligned} p &= (v_{Tu} - v_{Tw})i_u + (v_{Tv} - v_{Tw})i_v \\ &= v_{Tuw}i_u + v_{Tvw}i_v \end{aligned} \quad (2.30)$$

เมื่อกำจัดองค์ประกอบความถี่หลัก (50 Hz) ออกจากสัญญาณแรงดันและกระแสที่วัดได้ โดยใช้ตัวกรอง (Band Elimination Filter/Notch Filter - BEFs) ส่วนประกอบที่เหลือจะเป็นองค์ประกอบฮาร์มอนิกส์แสดงดังสมการ (2.31)

$$\begin{aligned} v_{Thuw} &= \sum_{n=2}^{\infty} \left\{ \sqrt{2}V_{un} \cos n\omega t - \sqrt{2}V_{wn} \cos n\left(\omega t - \frac{4p}{3}\right) \right\} \\ v_{Tvw} &= \sum_{n=2}^{\infty} \left\{ \sqrt{2}V_{vn} \cos n\omega t - \sqrt{2}V_{wn} \cos n\left(\omega t - \frac{4p}{3}\right) \right\} \\ v_{Thuw} &= \sum_{n=2}^{\infty} \left\{ \sqrt{2}V_{un} \cos n\omega t - \sqrt{2}V_{wn} \cos n\left(\omega t - \frac{4p}{3}\right) \right\} \\ v_{Tvw} &= \sum_{n=2}^{\infty} \left\{ \sqrt{2}V_{vn} \cos n\omega t - \sqrt{2}V_{wn} \cos n\left(\omega t - \frac{4p}{3}\right) \right\} \end{aligned} \quad (2.31)$$

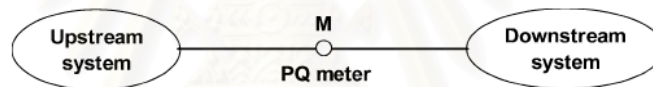
เมื่อแทน V_{Thw} และ i_{Su} ลงในสมการ $p_h = v_{Thuw}i_{Su} + v_{Thvw}i_{Sv}$ จะสามารถหาค่าประกอบไฟตรง \overline{p}_h ของ P_h ได้ดังสมการ (2.32)

$$\overline{p}_h = \sum_{k=2}^{\infty} (v_{uk}i_{uk} \cos q_{uk} + v_{vk}i_{vk} \cos q_{vk} + v_{wk}i_{wk} \cos q_{wk}) \quad (2.32)$$

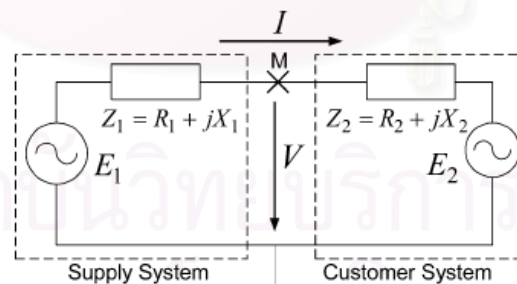
โดยองค์ประกอบไฟตรง \overline{p}_h จะเป็นการรวมกันของกำลังจริงในของแต่ละอันดับฮาร์โมนิก (Harmonic Order) ซึ่งสามารถนำเครื่องหมายของ \overline{p}_h มาใช้พิจารณาทิศของแหล่งกำเนิดฮาร์โมนิกนี้ได้ดังนี้

- กรณี $\overline{p}_h < 0$, แหล่งกำเนิดฮาร์โมนิกอยู่ทางด้าน Downstream ของจุดวัด และกำลังไฟฟ้าฮาร์โมนิกถูกปล่อยไปยังแหล่งจำหน่ายไฟฟ้า
- กรณี $\overline{p}_h > 0$, แหล่งกำเนิดฮาร์โมนิกอยู่ทางด้าน Upstream ของจุดวัด และกำลังไฟฟ้าฮาร์โมนิกถูกรับมาจากแหล่งจำหน่ายไฟฟ้า

2.3.4. การวิเคราะห์การหาทิศทางของแหล่งกำเนิดแรงดันตกชั่วขณะจากเครื่องหมายความต้านทานขณะไม่เกิดการรบกวน (A Resistance Sign-Based Method) [12]



รูปที่ 2-15 ระบบไฟฟ้าสมมูล (Equivalent System)



รูปที่ 2-16 วงจรไฟฟ้าสมมูล (Equivalent Circuit)

ระบบไฟฟ้าโดยทั่วไปสามารถแสดงได้ดังรูปที่ 2-15 และมีวงจрдังรูปที่ 2-16 โดย ณ จุดวัด M สามารถตรวจวัดแรงดันและกระแสไฟฟ้าที่ไหลจากแหล่งจำหน่ายไฟฟ้า (Utility) ไปยังผู้ใช้ไฟฟ้า (Customer) ให้แรงดัน V และกระแส I เป็นพารามิเตอร์ที่วัดได้ก่อนเกิดการรบกวน และแสดงได้ดังสมการ (2.33) เมื่อพิจารณาทางด้านแหล่งจำหน่ายไฟฟ้า และสมการ (2.34) เมื่อพิจารณาทางด้านผู้ใช้

$$V = E_1 - IZ_1 \quad (2.33)$$

$$V = E_2 + IZ_2 \quad (2.34)$$

เนื่องจากแหล่งกำเนิดแรงดันตกชั่วขณะเกิดจากความผิดปกติหรือการสวิตช์โหลดขนาดใหญ่ในระบบไฟฟ้า ทำให้เกิดแรงดันตกชั่วขณะที่จุด M ดังนั้นแรงดันและกระแส ที่มีเตอร์วัดได้ขณะเกิดการรบกวน (Disturbance) จะเท่ากับ $V + \Delta V$ และ $I + \Delta I$ โดย ΔV และ ΔI เป็นการเปลี่ยนแปลงของแรงดันและกระแสจากการรบกวน ถ้าเกิดการรบกวนทางด้านผู้ใช้งานจะแสดงได้ดังสมการ (2.35) แต่ถ้าเกิดการรบกวนทางด้านแหล่งจำหน่ายไฟฟ้าจะแสดงได้ดังสมการ (2.36)

$$V + \Delta V = E_1 - (I + \Delta I)Z_1 \quad (2.35)$$

$$V + \Delta V = E_2 + (I + \Delta I)Z_2 \quad (2.36)$$

เมื่อนำสมการก่อนเกิดการรบกวน (2.33) กับ (2.34) ลบสมการขณะเกิดการรบกวน (2.35) กับ (2.36) จะสามารถหาค่าความต้านทานขณะที่ไม่เกิดการรบกวน Z_1, Z_2 ได้ดังสมการ (2.37) และ (2.38)

$$Z_1 = -\frac{\Delta V}{\Delta I} \quad (2.37)$$

$$Z_2 = \frac{\Delta V}{\Delta I} \quad (2.38)$$

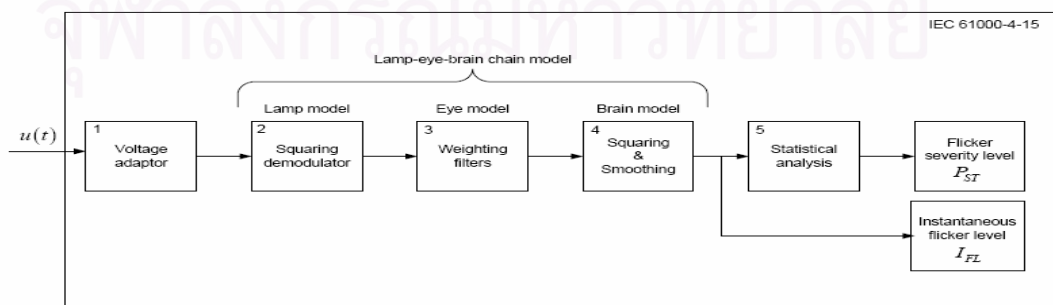
จากสมการ (2.37) และ (2.38) ถ้าเราให้ $Z_e = \frac{\Delta V}{\Delta I} = \frac{V_{during} - V_{pre}}{I_{during} - I_{pre}}$ จะสามารถหา

ทิศทางของแหล่งกำเนิดแรงดันตกชั่วขณะได้ดังนี้

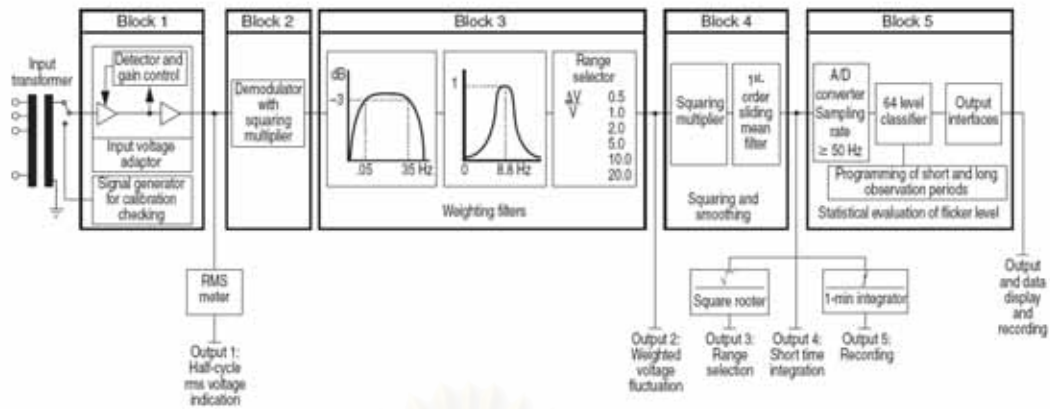
1. ถ้า $\Re(Z_e) > 0$, แหล่งกำเนิดแรงดันตกชั่วขณะอยู่ทางด้านแหล่งจำหน่ายไฟฟ้า (Utility)
2. ถ้า $\Re(Z_e) < 0$, แหล่งกำเนิดแรงดันตกชั่วขณะอยู่ทางด้านผู้ใช้ไฟฟ้า (Customer)

2.3.5. การวิเคราะห์การเกิดไฟกะพริบ

การวัดแรงดันไฟกะพริบตามมาตรฐาน IEC 61000-4-15 [13] เป็นดังบล็อกไดอะแกรมในรูปที่ 2-17 สามารถแบ่งส่วนประกอบของเครื่องวัดออกได้เป็นส่วนๆดังนี้



(a)



(b)

รูปที่ 2-17 บล็อกไดอะแกรมเครื่องวัดสัญญาณไฟกะพริบตามมาตรฐาน IEC 61000-4-15

1. บล็อกที่ 1 (Input voltage adapter) มีหน้าที่ในการปรับขนาดของสัญญาณที่จะวัด โดยการนำค่า RMS ของแรงดันขาเข้าไปหาร
2. บล็อกที่ 2 เป็นส่วนที่ทำหน้าที่จำลองพฤติกรรมของหลอดไฟ ด้วยการนำสัญญาณมายกกำลังสอง โดยจะให้ผลลัพธ์เป็นเชิงเส้นเทียบกับแอมพลิจูดของสัญญาณ กระเพื่อมที่กล้า (Modulate) ด้วย Squaring Demodulator
3. บล็อกที่ 3 จะกรองส่วนที่ไม่ต้องการเช่นองค์ประกอบไฟตรง (DC) และสัญญาณที่มีความถี่เป็น 2 เท่าของความถี่ของสัญญาณกระเพื่อม โดยใช้ตัวกรอง (Filter) ตัวแรก จากนั้นก็จะนำไปผ่านตัวกรองถ่วงน้ำหนัก ได้ผลตอบสนองตามโมเดล Incandescent-lamp-eye-brain ซึ่งมีฟังก์ชันส่งผ่าน (Transfer Function) ดังสมการที่ 2.32 สำหรับโมเดลหลอดไฟ (230 V, 50 Hz) มีค่าตัวแปร $k = 1.74802$, $I = 2p4.0598$, $w_1 = 2p9.15494$, $w_2 = 2p2.27979$, $w_3 = 2p1.22535$, $w_4 = 2p21.9$ เมื่อสัญญาณผ่านตัวกรองนี้จะได้สัญญาณแรงดันกระเพื่อมที่ถูกถ่วงน้ำหนักแล้ว (Weighted Voltage Fluctuation) ผลลัพธ์จากบล็อกนี้จะช่วยสำหรับ

พิจารณาช่วง $\% \frac{\Delta V}{V}$ เทียบได้กับการกล้าสัญญาณไซน์ความถี่ 8.8 Hz

$$H(s) = \frac{k w_1 s}{S^2 + 2I s + w_1^2} \times \frac{1 + \frac{s}{w_2}}{\left(1 + \frac{s}{w_3}\right)\left(1 + \frac{s}{w_4}\right)} \quad (2.39)$$

4. บล็อกที่ 4 ประกอบไปด้วย Squaring Multiple มีหน้าที่กระตุ้นผลตอบสนอง non-linear-eye-brain และ Sliding Mean Filter ซึ่งเป็น First order LPF สุดท้ายเมื่อสัญญาณผ่านบล็อกที่ 4 จะได้อัตราตัวแปร ระดับไฟกะพริบแบบทันทีทันใด

(Instantaneous Flicker Level, IFL) โดยนำมาเทียบกับสัญญาณไซน์ความถี่ 50 Hz ที่มีการกล้ำแอมพลิจูด (Amplitude Modulation) $\% \frac{\Delta V}{V}$ ที่ได้จากบล็อกที่ 3 ด้วยสัญญาณไซน์ความถี่ 8.8 Hz มีค่า IFL เป็น 1

5. บล็อกที่ 5 เป็นส่วนที่มีหน้าที่วิเคราะห์ในทางสถิติ โดยนำค่า IFL ที่เก็บไว้มาวิเคราะห์ห้ระดับความรุนแรงในการเกิดไฟกะพริบ ซึ่งสุดท้ายจะได้ค่าออกมาเป็นตัวแปร P_{st} และ P_{lt} ซึ่งมีสูตรดังต่อไปนี้

- ดัชนีไฟกะพริบระยะสั้น (Short-Term Severity Values , P_{st}) คือค่าที่ใช้ประเมินความรุนแรงของไฟกะพริบในช่วงเวลาสั้นๆ (10 นาที) ตามสูตรในสมการที่ (2.40) โดยค่า $P_{0.1}$, P_{1S} , P_{3S} , P_{10S} , P_{50S} เป็นค่าเปอร์เซ็นต์ไทล์ที่มีระดับของไฟกะพริบ (Flicker Level) เกิน 0.1, 1, 3, 10 และ 50% ของช่วงเวลาที่เก็บข้อมูลมาตามลำดับ และดัชนี S ของ P_{1S} , P_{3S} , P_{10S} , P_{50S} หมายถึง ค่า Smooth percentile ซึ่งคำนวณจากสมการที่ (2.40)

$$P_{st} = \sqrt{\frac{0.0314 \cdot P_{0.1} + 0.0525 \cdot P_{1S} + 0.0657 \cdot P_{3S} + 0.28 \cdot P_{10S} + 0.8 \cdot P_{50S}}{P_{3S} + 0.28 \cdot P_{10S} + 0.8 \cdot P_{50S}}} \quad (2.40)$$

$$P_{1s} = (P_{0.7} + P_1 + P_{1.5})/3$$

$$P_{3s} = (P_{2.2} + P_3 + P_4)/3$$

$$P_{10s} = (P_6 + P_8 + P_{10} + P_{13} + P_{17})/3$$

$$P_{50s} = (P_{30} + P_{50} + P_{80})/3$$

- ดัชนีไฟกะพริบระยะยาว (Long-Term Severity Values , P_{lt}) คือค่าที่ใช้ประเมินความรุนแรงของไฟกะพริบในระยะยาว (2-3 ชั่วโมง) โดยหาได้จากค่า P_{st} ตามสูตรในสมการที่ (2.42) โดยที่ N เป็นจำนวนค่า P_{st} ที่อ่านได้

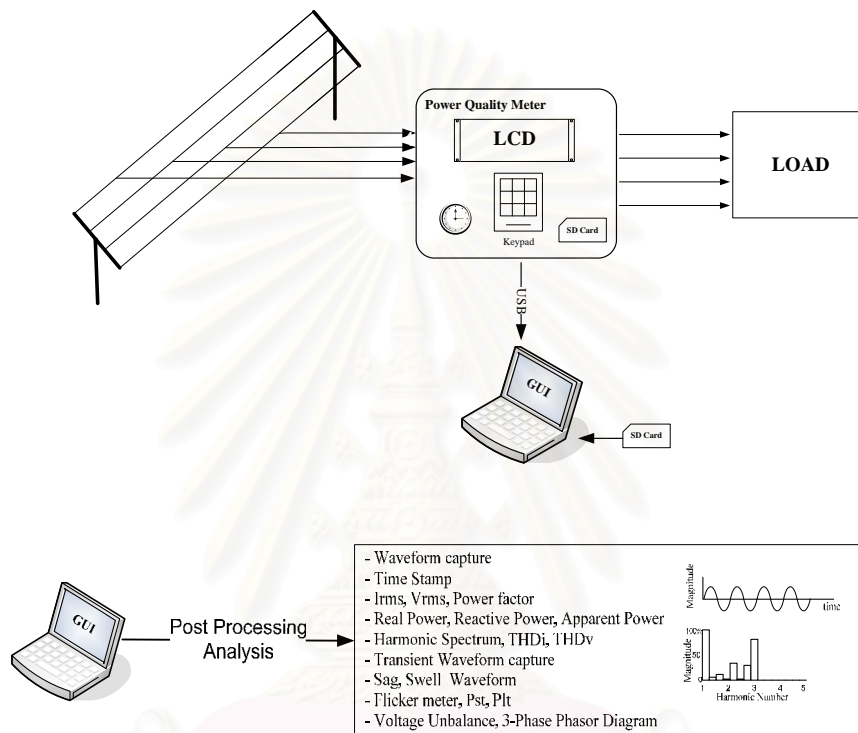
$$P_{lt} = \sqrt[3]{\frac{1}{N} \sum_{i=1}^N P_{STi}^3} \quad (2.42)$$

สถาบันวิทยบริการ
จุฬาลงกรณ์มหาวิทยาลัย

บทที่ 3

รายละเอียดด้านฮาร์ดแวร์

งานวิจัยนี้เป็นการออกแบบและสร้างเครื่องวัดคุณภาพไฟฟ้า เพื่อวัดพารามิเตอร์ต่างๆที่เกี่ยวข้องกับคุณภาพไฟฟ้าและวิเคราะห์หาทิศทางของแหล่งกำเนิดฮาร์มอนิกส์และแรงดันตกชั่วขณะ ของระบบไฟฟ้า 1 เฟส หรือ 3 เฟส โดยตัวเครื่องมีวิธีการใช้งานดังรูปที่ 3-1



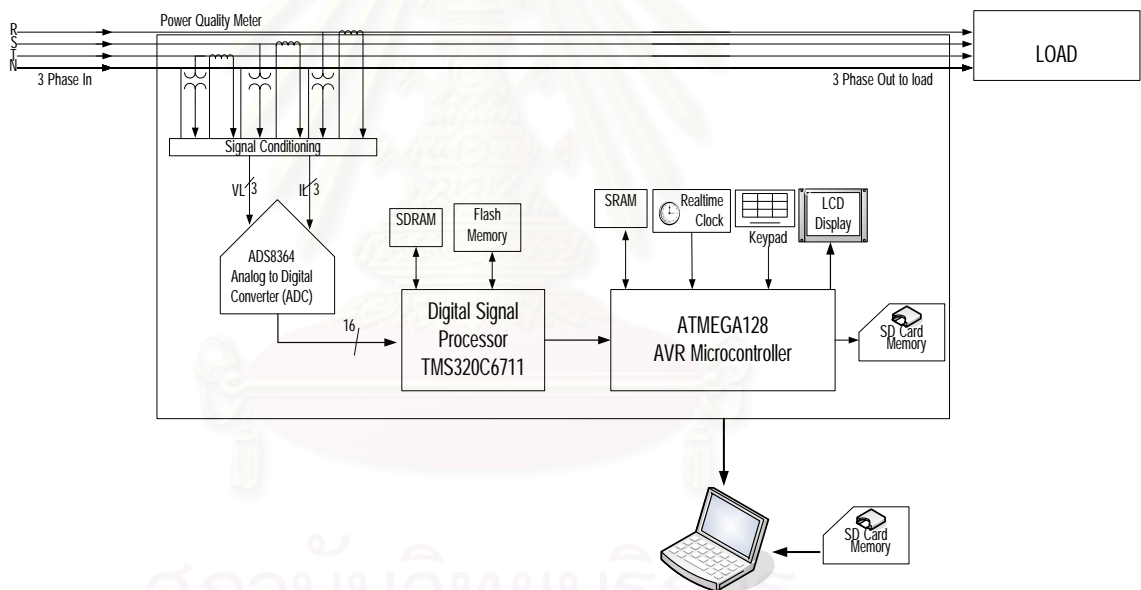
รูปที่ 3-1 แผนภาพการใช้งานเครื่องวัดคุณภาพไฟฟ้า

การทำงานของเครื่องวัดคุณภาพไฟฟ้า เริ่มจากวัดสัญญาณแอนะล็อกของแรงดันโดยใช้ วงจรแบ่งแรงดัน และวัดสัญญาณแอนะล็อกของกระแสไฟฟ้าโดยใช้ Current Transformer (CT) จากนั้นนำสัญญาณที่ได้ไปผ่านการปรับขนาดของสัญญาณ (Signal Conditioning) เพื่อให้ได้ขนาดสัญญาณที่เหมาะสมก่อนที่จะส่งเข้าไปยังหน่วยแปลงสัญญาณแอนะล็อกเป็นดิจิทัล (Analog to Digital Converter - ADC) เพื่อแปลงสัญญาณแอนะล็อกที่วัดมาเป็นสัญญาณดิจิทัล ข้อมูลดิจิทัลจะถูกส่งไปยังชิปประมวลผลสัญญาณดิจิทัล (Digital Signal Processors - DSP) เพื่อคำนวณหาพารามิเตอร์และข้อมูลที่เกี่ยวข้องกับคุณภาพไฟฟ้าเช่น ค่าความเพี้ยนฮาร์มอนิกส์รวมของกระแส (THD_i), ค่าความเพี้ยนฮาร์มอนิกส์รวมของแรงดัน (THD_v), สเปกตรัมของฮาร์มอนิกส์ เป็นต้น ข้อมูลที่วิเคราะห์ได้ จะถูกส่งไปยังไมโครคอนโทรลเลอร์ 8 บิต ซึ่งมีหน้าที่ควบคุมกระบวนการติดต่อกับผู้ใช้และการบันทึกข้อมูล ข้อมูลที่วิเคราะห์ได้ที่เป็นตัวเลขจะถูกแสดงทาง หน้าจอแอลซีดี (LCD) และถูกส่งไปบันทึกยัง SD card เพื่อที่จะนำข้อมูลที่บันทึกไว้มาวิเคราะห์

ภายหลัง (Post Processing) โดยตัวเครื่องวัดคุณภาพไฟฟ้าที่สร้างขึ้นสามารถเชื่อมต่อกับคอมพิวเตอร์ด้วยโปรแกรมส่วนต่อประสานกราฟิกกับผู้ใช้ (Graphic User Interface - GUI) เพื่อดูรูปคลื่นของข้อมูลและพารามิเตอร์ต่างๆ ณ จุดวัดได้

3.1. โครงสร้างของเครื่องวัดคุณภาพไฟฟ้า

เครื่องวัดคุณภาพไฟฟ้าที่ออกแบบในงานวิจัยนี้ มีโครงสร้างภายในดังรูปที่ 3-2 มีพิกัดกระแส 10 แอมแปร์ และพิกัดแรงดัน 220 โวลต์ โดยมีชิพประมวลผลสัญญาณดิจิทัล TMS320C6711 ทำหน้าที่วิเคราะห์ทางคณิตศาสตร์หาพารามิเตอร์และข้อมูลที่เกี่ยวข้องกับคุณภาพไฟฟ้าจากสัญญาณดิจิทัลที่แปลงได้จากชิพแปลงสัญญาณแอนะล็อกเป็นดิจิทัล ADS8364 และมีชิพไมโครคอนโทรลเลอร์ 8 บิตตระกูล AVR เบอร์ ATMEGA128 ทำหน้าที่ควบคุม การบันทึกข้อมูลลง SD Card, การแสดงผลผ่านหน้าจอผลึกเหลว, การติดต่อกับผู้ใช้ และการส่งข้อมูลไปแสดงผลบนโปรแกรมส่วนต่อประสานกราฟิกกับผู้ใช้ในคอมพิวเตอร์



รูปที่ 3-2 โครงสร้างภายในเครื่องวัดคุณภาพไฟฟ้า

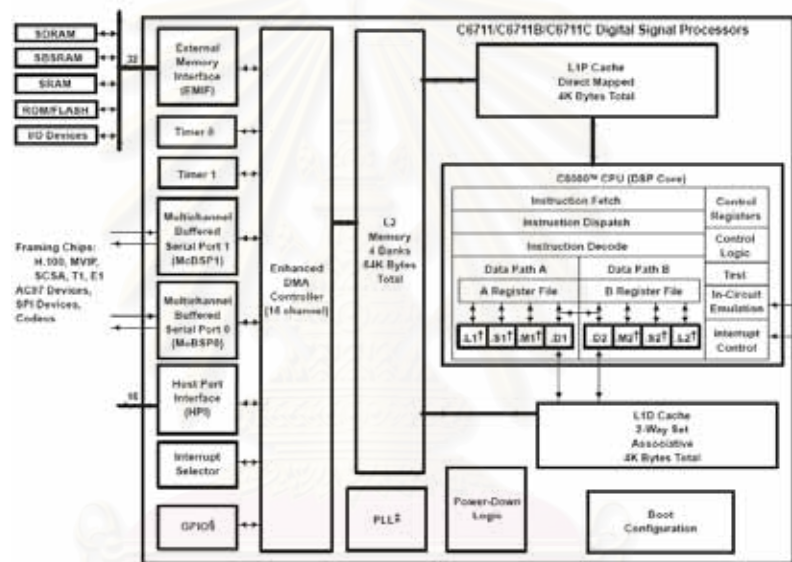
3.2. หน่วยประมวลผลและอุปกรณ์อิเล็กทรอนิกส์อื่นๆ

ในส่วนนี้จะแสดงรายละเอียดของหน่วยประมวลผลที่เกี่ยวข้องกับการควบคุมกระบวนการทำงานทั้งหมดของเครื่องวัดคุณภาพไฟฟ้าที่ออกแบบ ตั้งแต่การคำนวณทาง

คณิตศาสตร์ไปจนถึงการบันทึกข้อมูล และอุปกรณ์อิเล็กทรอนิกส์อื่นๆ โดยมีรายละเอียดของส่วนประกอบที่สำคัญมีดังนี้

3.2.1. ชิปประมวลผลสัญญาณดิจิทัล [14]

ชิปประมวลผลสัญญาณดิจิทัลที่ใช้ในงานวิจัยนี้ได้แก่ TMS320C6711 เป็นของบริษัท Texas Instrument จัดอยู่ในกลุ่ม TMS320C6000 Floating-Point DSPs ที่ผลิตขึ้นมาสำหรับการใช้งานที่ต้องการความเร็วในการคำนวณสูง ในระดับ MIPS (Million Instruction per Second) เหมาะสำหรับการใช้งานด้านสื่อสาร โทรศัพท์มือถือ โมเด็ม การประมวลผลภาพ ฯลฯ TMS320C6000 มีสถาปัตยกรรมภายในแบบ VLIW (Very Long Instruction Word) ซึ่งเป็นโครงสร้างที่ง่ายและมีความยืดหยุ่นในการใช้งาน ชิพนี้มีโครงสร้างภายในดังรูปที่ 3-3



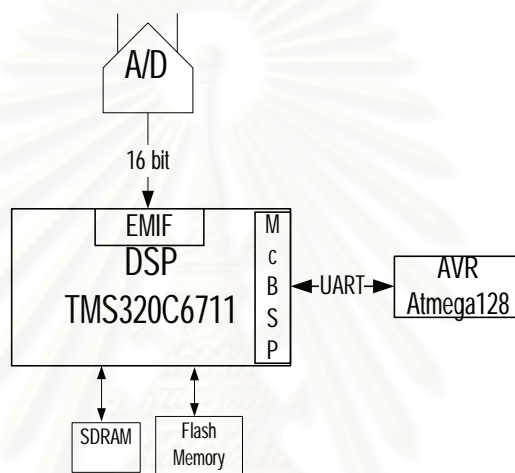
รูปที่ 3-3 โครงสร้างภายในของชิปประมวลผลสัญญาณดิจิทัล TMS320C6711

รายละเอียดที่สำคัญของชิปประมวลผลสัญญาณดิจิทัล TMS320C6711 สำหรับการออกแบบและสร้างเครื่องวัดคุณภาพไฟฟ้าในงานวิจัยนี้มีดังนี้

1. ประมวลผลที่สัญญาณนาฬิกาความถี่ 150 MHz
2. หน่วยความจำภายในแบบ L1/L2 (4K-Byte L1P Program Cache, 4K-Byte L1D Data Cache, 64k-Byte L2 Memory)
3. เป็นชิปแบบ Floating Point ทำคำสั่งได้ถึง 900 MFLOPS (million floating point operation per second)
4. มีมอดูลเชื่อมต่อกับหน่วยความจำภายนอก (External Memory Interface-EMIF) แบบ 32 บิต

5. มีช่องสัญญาณดีเอ็มเอแบบ Enhanced Direct-Memory Access (EDMA) 16 ช่องสัญญาณ
6. มีตัวตั้งเวลา (Timers) ขนาด 32 บิต 2 ชุด
7. มีพอร์ตอนุกรม McBSP (Multichannel Buffer Serial Port) สำหรับใช้สื่อสารข้อมูลแบบอนุกรมกับอุปกรณ์ภายนอก 2 พอร์ต

จากโครงสร้างของเครื่องวัดคุณภาพไฟฟ้าที่แสดงในรูปที่ 3-2 ชิพประมวลผลสัญญาณดิจิทัลจะเชื่อมต่อกับชิพแปลงสัญญาณแอนะล็อกเป็นดิจิทัลผ่านทางมอดูล EMIF และติดต่อกับไมโครคอนโทรลเลอร์แบบอนุกรม UART โดยใช้มอดูล McBSP ดังแสดงในรูปที่ 3-4

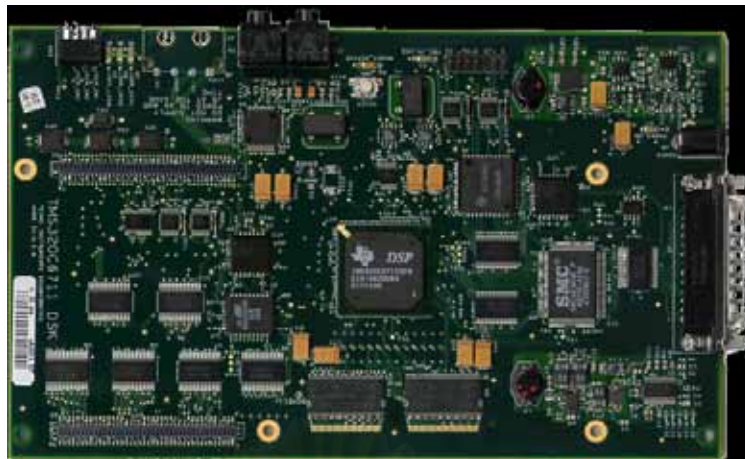


รูปที่ 3-4 การเชื่อมต่อระหว่างชิพประมวลผลสัญญาณดิจิทัล TMS320C6711

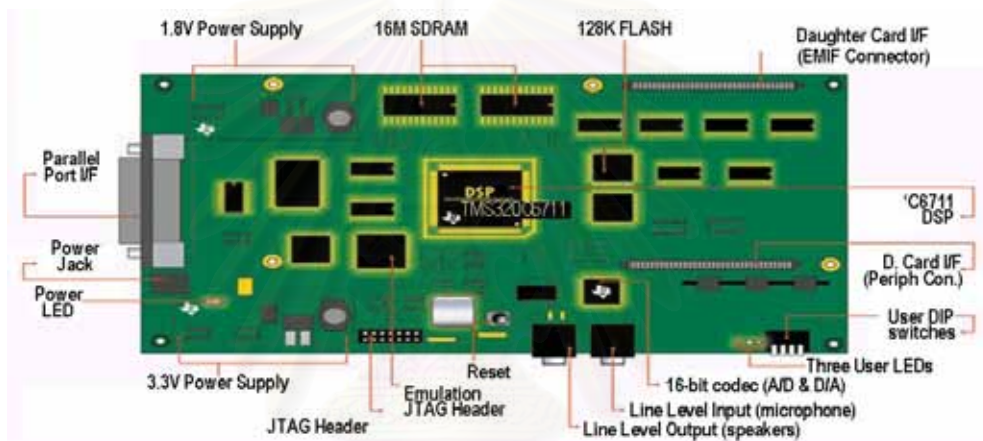
กับอุปกรณ์อิเล็กทรอนิกส์อื่นๆ

3.2.2. บอร์ดทดลองชิพประมวลผลสัญญาณดิจิทัล

เนื่องจากการออกแบบลายวงจรสำหรับชิพประมวลผลสัญญาณดิจิทัล มีความซับซ้อนค่อนข้างมาก เครื่องวัดคุณภาพไฟฟ้าที่พัฒนาขึ้นในงานวิจัยนี้จึงเลือกใช้บอร์ดทดลองชิพประมวลผลสัญญาณดิจิทัล TMS320C6711 DSK ดังรูปที่ 3-5 เพื่อลดความซับซ้อนในการพัฒนาเครื่อง



(a)



(b)

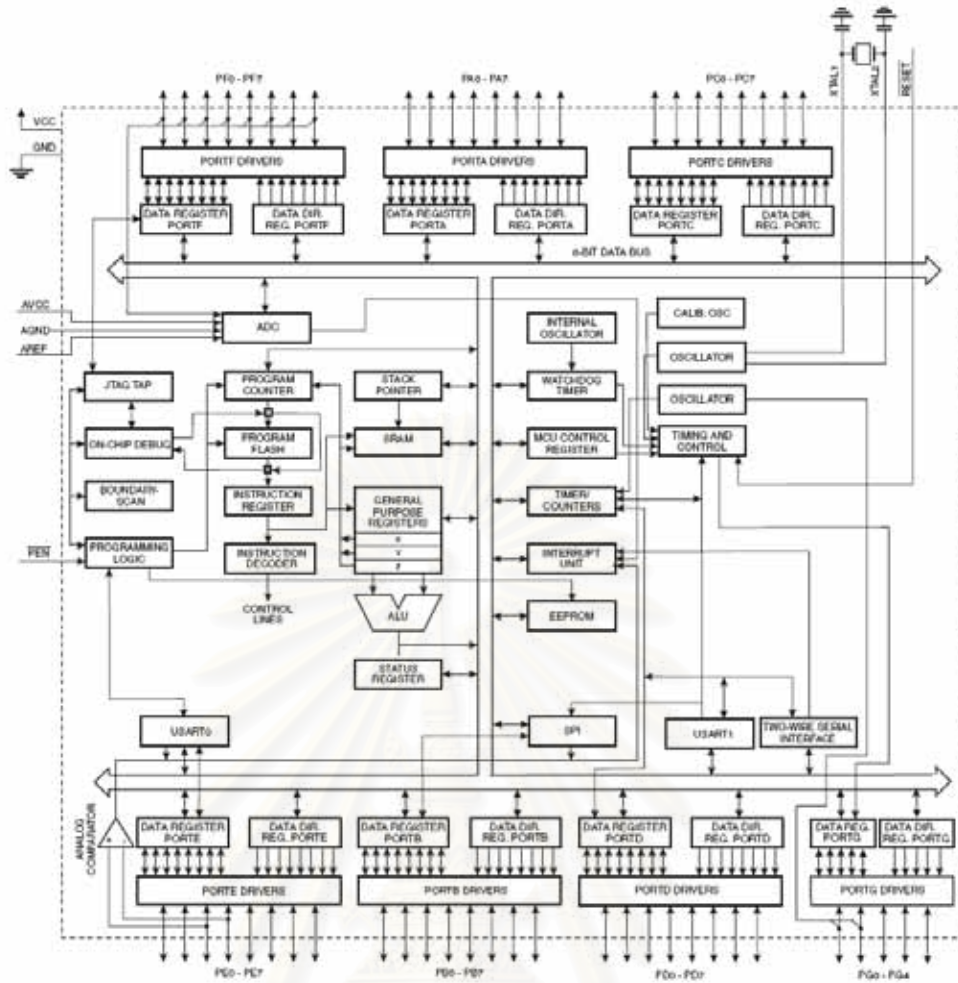
รูปที่ 3-5 บอร์ดทดลองชิปประมวลผลสัญญาณดิจิทัล *TMS320C6711*

ภายในบอร์ดทดลองประกอบไปด้วยอุปกรณ์อิเล็กทรอนิกส์ดังนี้

1. ชิประมวลผลสัญญาณดิจิทัล *TMS320C6711*
2. ชิแปลงสัญญาณแอนะล็อกเป็นดิจิทัล 16 บิต *TI AD35*
3. หน่วยความจำภายนอกแบบ *SDRAM* ขนาด 16 Mbytes
4. หน่วยความจำแบบ *Flash Rom* ขนาด 128 Kbytes
5. ส่วนต่อขยายไปยังบอร์ดลูก

3.2.3. ไมโครคอนโทรเลอร์

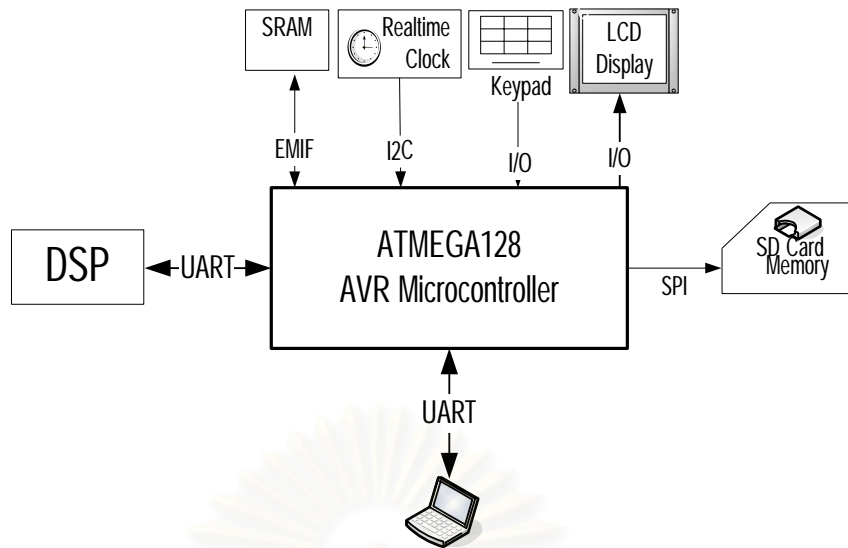
ไมโครคอนโทรเลอร์ *ATMEGA128* [15] เป็นไมโครคอนโทรเลอร์ในตระกูล *AVR* ของบริษัท *Atmel* มีสถาปัตยกรรมแบบ *RISC* ที่ทำงานหนึ่งคำสั่งต่อสัญญาณนาฬิกา 1 ลูก และมีโครงสร้างภายในดังรูปที่ 3-6



รูปที่ 3-6 โครงสร้างภายในของชิพไมโครคอนโทรลเลอร์ ATMEGA128

ไมโครคอนโทรลเลอร์ในเครื่องวัดคุณภาพไฟฟ้าที่ออกแบบนี้เชื่อมต่อกับอุปกรณ์อิเล็กทรอนิกส์อื่นดังรูปที่ 3-7 และมีหน้าที่ต่างๆดังนี้

1. แสดงผลผ่านจอผลึกเหลว โดยใช้พอร์ตอินพุตเอาต์พุต (I/O)
2. บันทึกข้อมูลลงหน่วยความจำแบบ SD Card โดยใช้พอร์ตสื่อสารอนุกรม SPI
3. รับฐานเวลาจากชิพฐานเวลาจริง ผ่านพอร์ตสื่อสารอนุกรม I2C
4. ควบคุมการส่งข้อมูลจากชิพประมวลผลสัญญาณดิจิทัลไปยังส่วนต่างๆ ผ่านทางพอร์ตสื่อสารอนุกรม UART
5. ควบคุมการส่งข้อมูลไปยังคอมพิวเตอร์ โดยใช้พอร์ตสื่อสารอนุกรม UART
6. ควบคุมการรับข้อมูลจากผู้ใช้ โดยใช้แผงแป้นพิเศษ (keypad) ติดต่อกับพอร์ตอินพุตเอาต์พุต (I/O) และขาอินเทอร์รัปต์

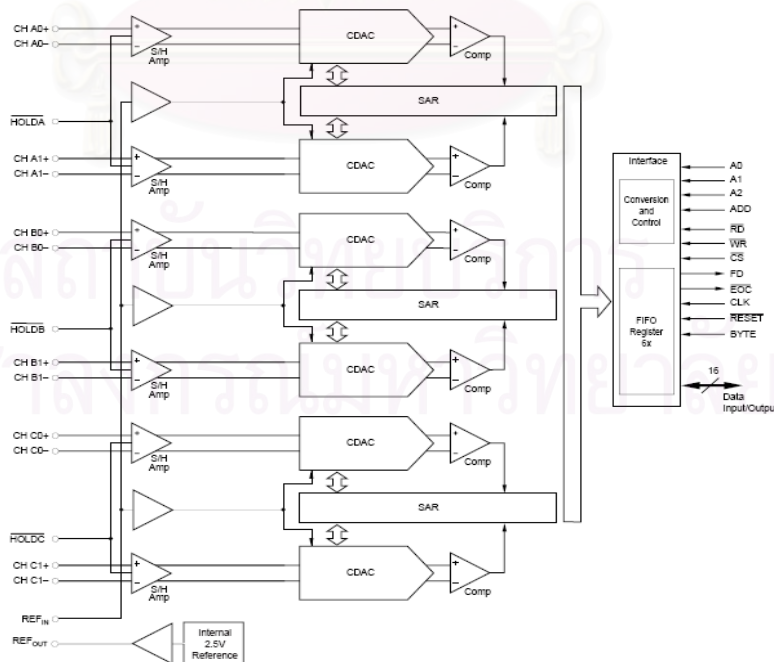


รูปที่ 3-7 การเชื่อมต่อระหว่างชิพไมโครคอนโทรลเลอร์ ATMEGA128 กับ

อุปกรณ์อิเล็กทรอนิกส์อื่นๆ

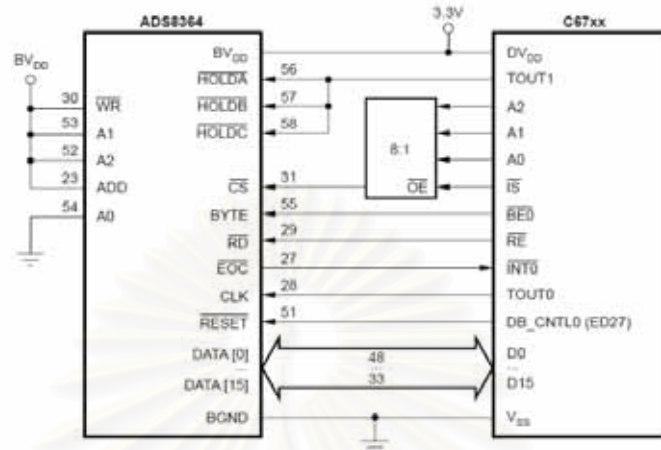
3.2.4. ชิพแปลงสัญญาณแอนะล็อกเป็นดิจิทัล

ชิพแปลงสัญญาณแอนะล็อกเป็นดิจิทัลเบอร์ ADS8364 [16] เป็นชิพของบริษัท Texas Instrument มีช่องสัญญาณจำนวน 6 ช่อง ที่ทำงานเป็นอิสระต่อกัน ดังรูปที่ 3-8 ช่วยให้สามารถวิเคราะห์ระบบไฟฟ้า 3 เฟสได้ และมีอัตราสุ่มสัญญาณสูงสุด 250 kSPS



รูปที่ 3-8 โครงสร้างภายในของชิพแปลงสัญญาณแอนะล็อกเป็นดิจิทัล ADS8364

การส่งข้อมูลไปยังชิพประมวลผลสัญญาณดิจิทัลเป็นแบบขนาน (Parallel Interface) 16 บิต ติดต่อกับชิพประมวลผลสัญญาณดิจิทัลผ่านทางมอดูล EMIF (External Memory Interface) ดังรูปที่ 3-9

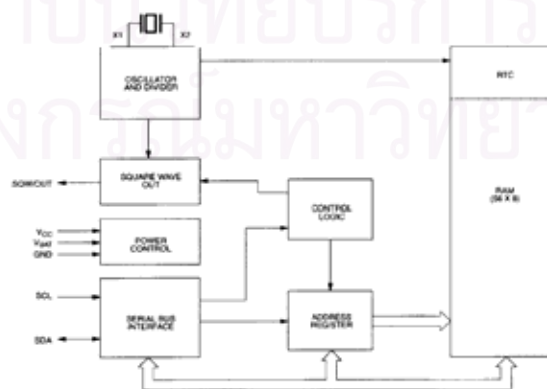


รูปที่ 3-9 การเชื่อมต่อระหว่างชิพแปลงสัญญาณแอนะล็อกเป็นดิจิทัล ADS8364 กับชิพ

ประมวลผลสัญญาณดิจิทัลในโหมดควบคุมจากฮาร์ดแวร์

3.2.5. ชิพฐานเวลาจริง (Real-time Clock)

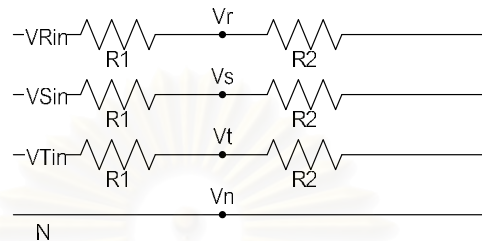
ชิพ DS1307 [17] เป็นชิพที่สร้างฐานเวลาจริงสำหรับบอกช่วงเวลา วินาที นาที ชั่วโมง วัน วันที่ เดือน และปี เป็นไอซีแบบ 8 ขา กินกระแสน้อยกว่า 500 nA ในโหมดแบตเตอรี่สำรอง มีหน่วยความจำภายในไม่ลบเลือน แบบแรม (nonvolatile RAM) ขนาด 56 ไบต์ มีหน้าที่ส่งข้อมูลเวลามายังไม่ไครคอนโทรลเลอร์ผ่านทางพอร์ตสื่อสารอนุกรม I2C และมีโครงสร้างภายในดังรูปที่ 3.10



รูปที่ 3-10 โครงสร้างภายในของชิพฐานเวลาจริง DS1307

3.2.6. วงจรปรับขนาดสัญญาณ (Signal Condition Circuit)

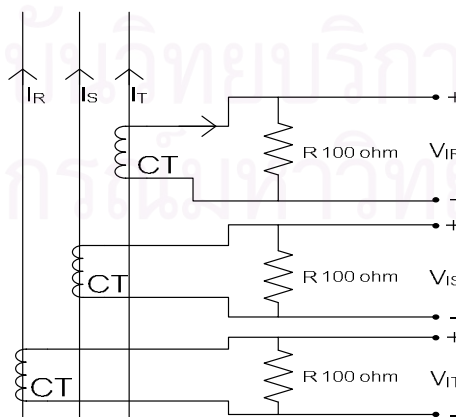
สัญญาณแรงดันและกระแสที่วัดจากในระบบไฟฟ้าสลับ 220 โวลต์จะต้องลดทอนระดับแรงดันให้อยู่ในช่วงที่ชิพแปลงสัญญาณแอนะล็อกเป็นดิจิตอลสามารถรับได้ตามข้อกำหนดของชิพแปลงสัญญาณแอนะล็อกเป็นดิจิตอล ADS8364 ซึ่งสามารถรับแรงดันแอนะล็อกได้ระหว่าง 0-5 โวลต์ โดยใช้วงจรปรับขนาดดังนี้



รูปที่ 3-11 วงจรแบ่งแรงดันสำหรับวัดแรงดันในระบบไฟฟ้า 3 เฟส 4 สาย

1. วงจรปรับขนาดสัญญาณสำหรับการวัดแรงดัน เป็นวงจรแบ่งแรงดันโดยใช้ตัวต้านทาน เนื่องจากมีความเป็นเชิงเส้นที่ดีและไม่ยุ่งยาก ดังแสดงในรูปที่ 3-11 เลือกใช้ค่า $R_1 = 200 \text{ k}\Omega$, $R_2 = 1 \text{ k}\Omega$ จะได้สัญญาณแรงดันขาออกดังสมการที่ (3.1)

$$\begin{aligned} V_r - V_n &= V_m = \left(\frac{R_2}{R_1 + R_2} \right) \times (V_{Rin} - V_n) \\ V_s - V_n &= V_{sn} = \left(\frac{R_2}{R_1 + R_2} \right) \times (V_{Sin} - V_n) \\ V_t - V_n &= V_m = \left(\frac{R_2}{R_1 + R_2} \right) \times (V_{Tin} - V_n) \end{aligned} \quad (3.1)$$



รูปที่ 3-12 วงจรวัดกระแสของระบบไฟฟ้า 3 เฟส 4 สาย

2. วงจรปรับขนาดสัญญาณสำหรับการวัดกระแส สัญญาณกระแสในสาย R, S, T ของระบบไฟฟ้า 3 เฟส จะถูกวัดโดยใช้หม้อแปลงกระแส ที่มีอัตราส่วนของขดลวดปฐมภูมิต่อขดลวดทุติยภูมิเท่ากับ 1:1000 จากนั้นกระแสที่ขดลวดทุติยภูมิจะถูกนำไปผ่านตัวต้านทานขนาด 100 Ω เพื่อสร้างเป็นสัญญาณแรงดันส่งไปยังชิพแปลงสัญญาณแอนะล็อกเป็นดิจิตอลดังแสดงในรูปที่ 3-12

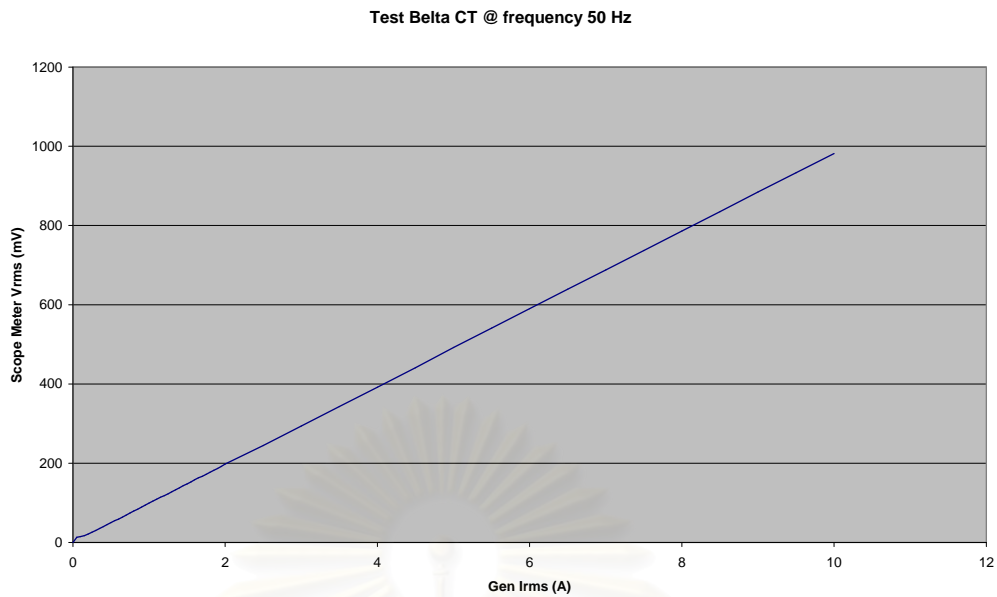
3.2.7. ส่วนประกอบอิเล็กทรอนิกส์อื่นๆ มีดังนี้

- จอผลึกเหลว (LCD) ขนาด 4 บรรทัด บรรทัดละ 16 ตัวอักษร ทำหน้าที่แสดงผลข้อมูลคุณภาพไฟฟ้า ดังแสดงในรูปที่ 3-13 ข้อมูลที่จะแสดงผลบนจอแอลซีดีมีดังนี้
 1. ค่ารากที่สองกำลังเฉลี่ยของแรงดันและกระแส
 2. กำลังจริง (Real Power), กำลังเสมือน (Reactive Power), กำลังปรากฏ (Apparent Power)
 3. ปริมาณฮาร์มอนิกของแรงดันและกระแส
 4. ทิศทางของแหล่งกำเนิดแรงดันตกชั่วขณะ
 5. ตัวประกอบกำลัง (Power Factor)
 6. ดัชนีการเกิดแรงดันตกชั่วขณะ (Sag Index)
 7. ค่าความเพี้ยนฮาร์มอนิกสรวมของแรงดันและกระแส (THD_v, THD_i)



รูปที่ 3-13 จอแอลซีดี 16X4

- หม้อแปลงกระแส (Current Transformer) 3 เฟส ของบริษัท Shenzhen Belta Electronic ความแม่นยำระดับคลาส 0.1% อัตราส่วนของขดลวดปฐมภูมิต่อทุติยภูมิ 1:1000 กระแสพิกัด 10 A มีความเป็นเชิงเส้นในการวัดในช่วงกระแส 0 - 10 A ดังกราฟในรูปที่ 3-14

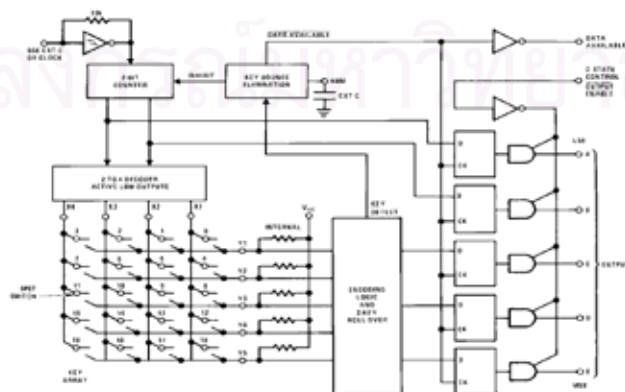


รูปที่ 3-14 กราฟทดสอบความเป็นเชิงเส้นในการวัดในช่วงกระแส 0-10 A

- แผงแป้นพิเศษ (keypad) 16 ปุ่ม จัดเรียงแบบ 4X4 มีหน้าที่รับคำสั่งจากผู้ใช้ ดังแสดงในรูปที่ 3-15 จะใช้งานร่วมกับชิพเข้ารหัส MM74C922 [18] มีโครงสร้างภายในดังรูปที่ 3-16 เพื่อนำค่าที่อ่านจากปุ่มบนแผงแป้นพิเศษ มาเข้ารหัสเป็นตัวเลขฐานสอง 4 บิต



รูปที่ 3-15 แผงแป้นพิเศษ



รูปที่ 3-16 โครงสร้างภายในชิพเข้ารหัส MM74C922

- หน่วยความจำชนิด SD Card ดังแสดงในรูปที่ 3-17 เป็นหน่วยความจำที่ใช้ในการบันทึกค่าพารามิเตอร์คุณภาพไฟฟ้าและข้อมูลรูปคลื่นของสัญญาณแรงดันไฟฟ้าและกระแสไฟฟ้าทั้ง 3 เฟสดังแสดงตัวอย่างการบันทึกข้อมูลในรูปที่ 3-18



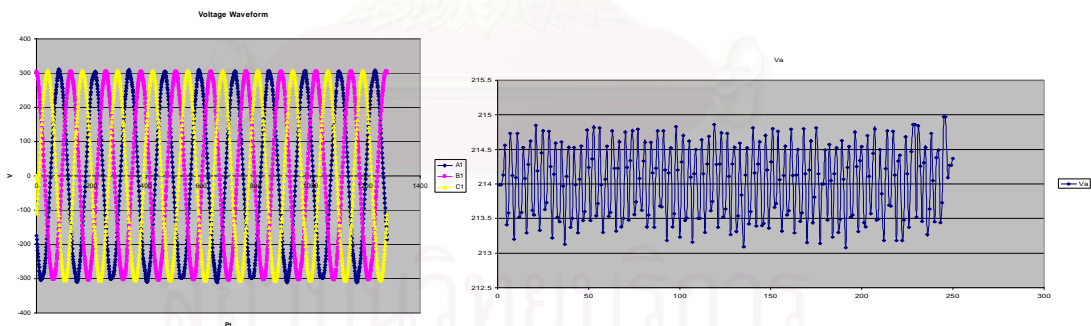
รูปที่ 3-17 หน่วยความจำ SD Card

Microsoft Excel - 1039-20-2.xls

File Edit View Insert Format Tools Data Window Help

A205 * 100309-20:56:47

| 1 | A | B | C | D | E | F | G | H | I | J | K | L | M | N | |
|----|-----------------|--------|-------|-------|-------|--------|-------|-------|-------|--------|-------|-------|-------|-------|----|
| 2 | 1039-20.dat | | | | | | | | | | | | | | |
| 3 | Time | Va | THDva | Ia | THDIa | Vb | THDvb | Ib | THDIb | Vc | THDvc | Ic | THDIc | Pa | Qa |
| 4 | 100309-20:46:38 | 213.99 | 1.75 | 10.14 | 2.44 | 212.52 | 1.93 | 10.08 | 2.06 | 216.31 | 1.36 | 10.06 | 4.17 | 1.931 | |
| 5 | 100309-20:46:40 | 213.99 | 1.75 | 10.14 | 2.44 | 212.52 | 1.93 | 10.08 | 2.06 | 216.31 | 1.36 | 10.06 | 4.17 | 1.931 | |
| 6 | 100309-20:46:43 | 214.13 | 1.45 | 10.06 | 1.41 | 213.77 | 1.43 | 10.14 | 5.93 | 215.02 | 2.21 | 10.08 | 4.25 | 1.913 | |
| 7 | 100309-20:46:46 | 214.56 | 1.39 | 10.11 | 0.79 | 212.88 | 2.11 | 10.1 | 4 | 215.54 | 1.59 | 10.04 | 2.4 | 1.933 | |
| 8 | 100309-20:46:49 | 213.41 | 1.91 | 10.1 | 0.9 | 213.03 | 1.73 | 10.08 | 3.14 | 216.46 | 1.32 | 10.1 | 5.62 | 1.913 | |
| 9 | 100309-20:46:52 | 213.58 | 1.84 | 10.05 | 1.48 | 214 | 1.3 | 10.09 | 6.89 | 215.41 | 1.88 | 10.1 | 5.13 | 1.901 | |
| 10 | 100309-20:46:55 | 214.73 | 1.37 | 10.09 | 1.18 | 213.27 | 1.8 | 10.13 | 5.42 | 215 | 1.90 | 10.04 | 1.04 | 1.928 | |
| 11 | 100309-20:46:58 | 214.12 | 1.77 | 10.13 | 0.72 | 212.81 | 2.07 | 10.07 | 1.99 | 216.1 | 1.47 | 10.06 | 4.05 | 1.947 | |
| 12 | 100309-20:47:01 | 213.2 | 2.11 | 10.07 | 1.32 | 213.84 | 1.52 | 10.08 | 3.67 | 216.07 | 1.77 | 10.11 | 5.88 | 1.904 | |
| 13 | 100309-20:47:04 | 214.09 | 1.55 | 10.06 | 1.37 | 213.9 | 1.57 | 10.14 | 5.87 | 215.2 | 2.11 | 10.06 | 3.28 | 1.912 | |
| 14 | 100309-20:47:07 | 214.73 | 1.51 | 10.12 | 0.74 | 212.74 | 2.11 | 10.11 | 4.01 | 215.41 | 1.66 | 10.04 | 2.23 | 1.937 | |
| 15 | 100309-20:47:10 | 213.52 | 2.09 | 10.11 | 0.92 | 212.99 | 1.79 | 10.07 | 2.83 | 216.34 | 1.43 | 10.1 | 5.61 | 1.915 | |
| 16 | 100309-20:47:13 | 213.59 | 1.87 | 10.06 | 1.54 | 214.01 | 1.35 | 10.12 | 5.22 | 215.45 | 1.91 | 10.1 | 5.16 | 1.904 | |
| 17 | 100309-20:47:16 | 214.53 | 1.44 | 10.08 | 1.15 | 213.27 | 1.89 | 10.14 | 5.45 | 214.99 | 2.07 | 10.03 | 1.62 | 1.923 | |
| 18 | 100309-20:47:19 | 214.08 | 1.79 | 10.12 | 0.74 | 212.53 | 2.01 | 10.07 | 2.04 | 216.08 | 1.52 | 10.06 | 4.17 | 1.928 | |
| 19 | 100309-20:47:22 | 213.29 | 2.24 | 10.07 | 1.28 | 213.65 | 1.55 | 10.09 | 3.62 | 216.03 | 1.79 | 10.11 | 5.88 | 1.904 | |

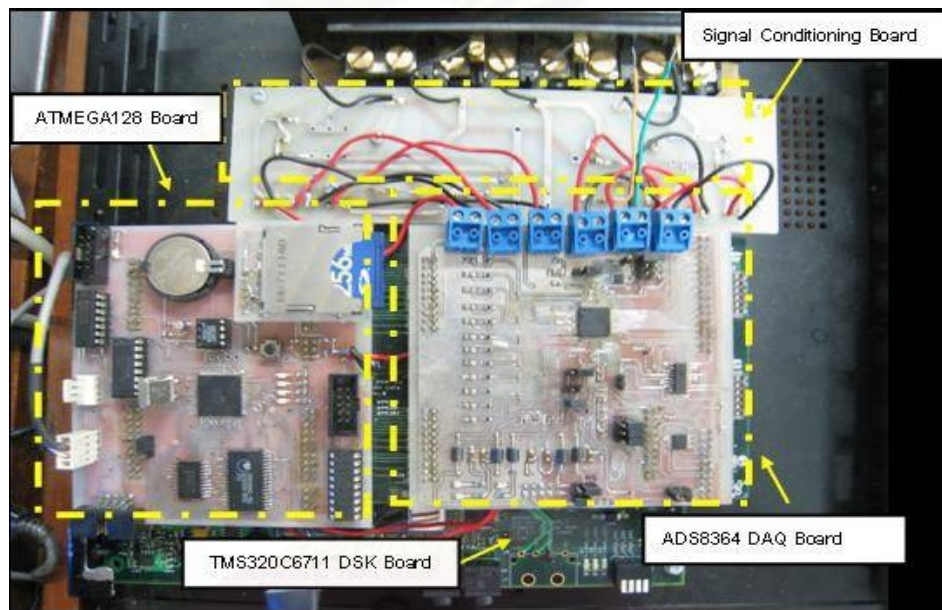


รูปที่ 3-18 ตัวอย่างข้อมูลที่บันทึกลงในหน่วยความจำ SD Card

3.3. ฮาร์ดแวร์ที่พัฒนาขึ้น

ฮาร์ดแวร์ภายในเครื่องวัดคุณภาพไฟฟ้าที่พัฒนาขึ้นในงานวิจัยนี้ ดังแสดงในรูปที่ 3-19 ประกอบไปด้วยบอร์ดต่างๆดังนี้

1. บอร์ดปรับปรุงขนาดสัญญาณ (Signal Conditioning Board)
2. บอร์ดดึงสัญญาณข้อมูล (ADS8364 Data Acquisition Board)
3. บอร์ดวิเคราะห์ประมวลผลสัญญาณดิจิทัล (TMS320C6711 DSK Board)
4. บอร์ดบันทึก, รับส่ง และแสดงผลข้อมูล (ATMEGA128 Board)



(a)



(b)

รูปที่ 3-19 ฮาร์ดแวร์ภายในเครื่องวัดคุณภาพไฟฟ้า

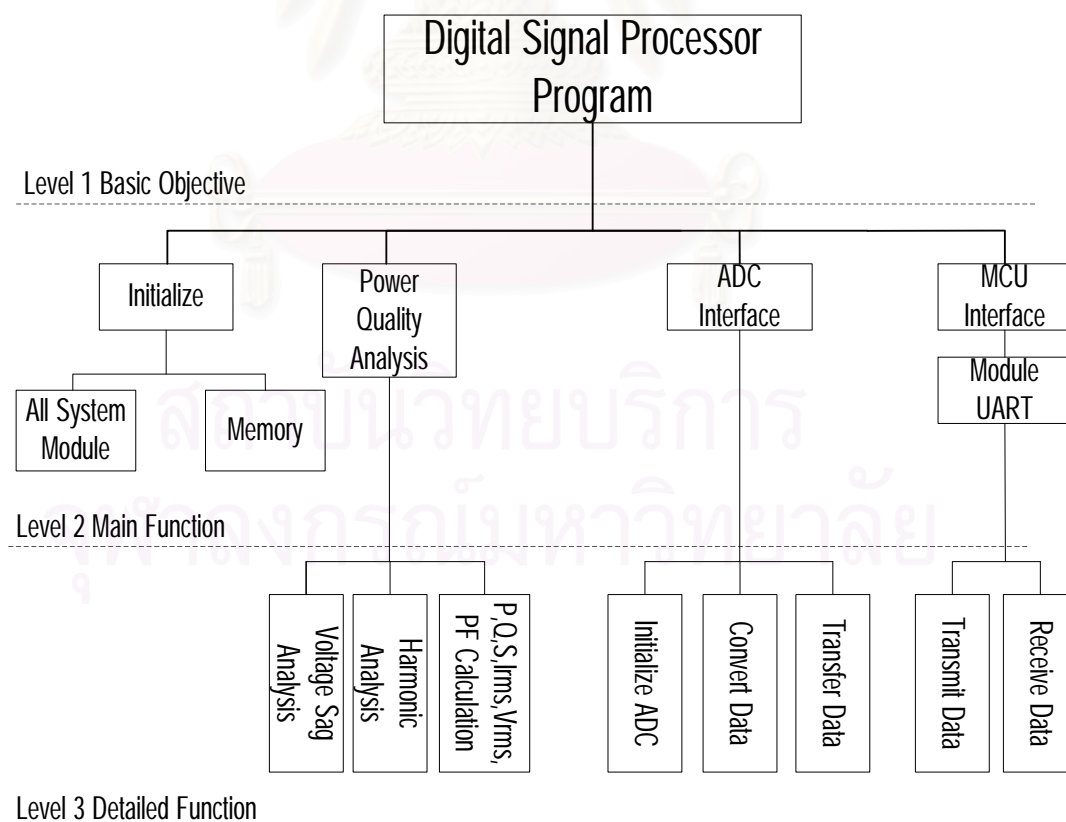
บทที่ 4

รายละเอียดด้านซอฟต์แวร์

ซอฟต์แวร์ควบคุมการทำงานของเครื่องวัดคุณภาพไฟฟ้าที่พัฒนาขึ้น จะแบ่งออกเป็น 3 ส่วนคือ โปรแกรมควบคุมบอร์ดประมวลผลสัญญาณดิจิทัล, โปรแกรมควบคุมการทำงานของไมโครคอนโทรลเลอร์ และโปรแกรมส่วนต่อประสานกราฟิกกับผู้ใช้ (Graphic User Interface - GUI)

4.1. โปรแกรมควบคุมบอร์ดประมวลผลสัญญาณดิจิทัล

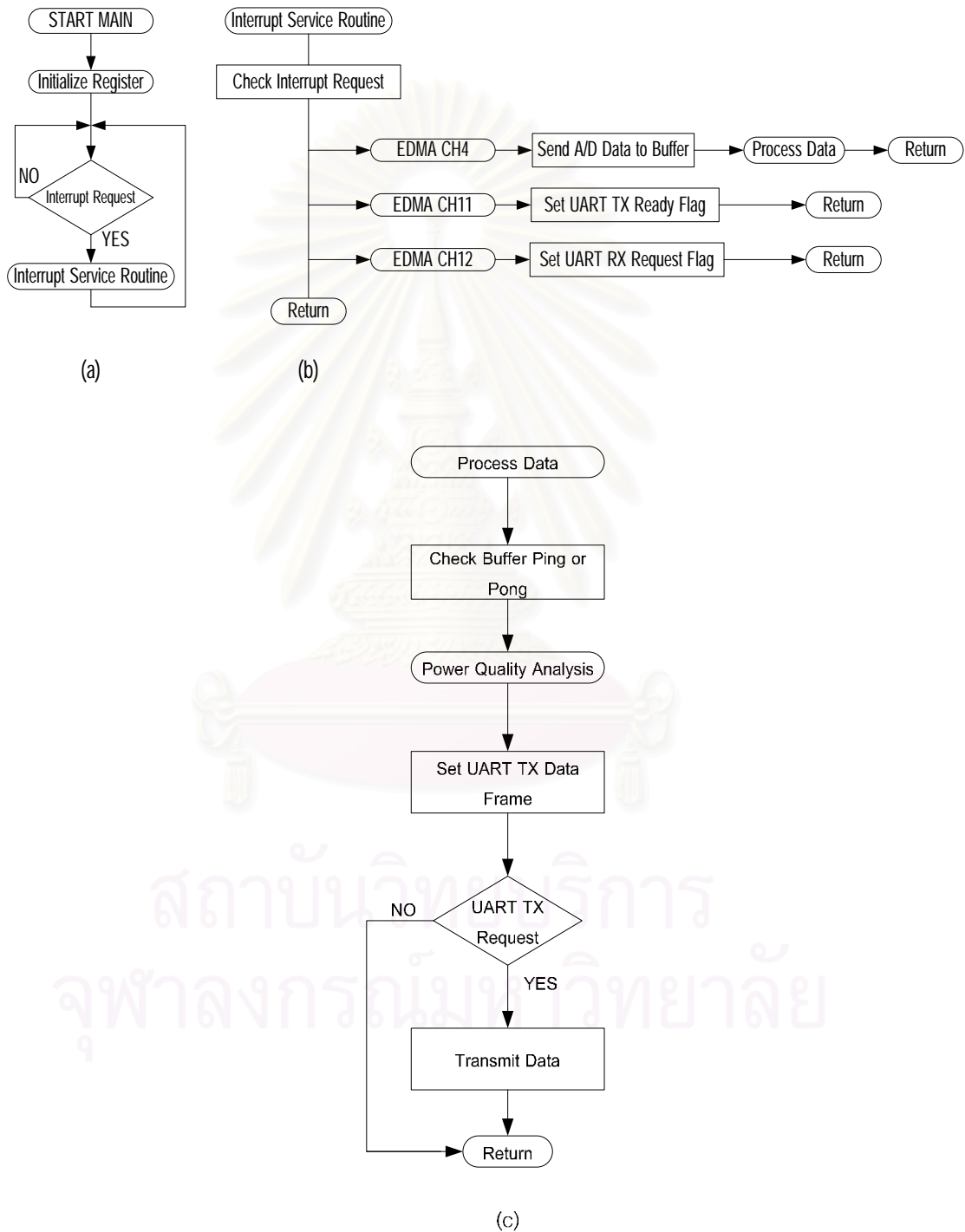
โปรแกรมควบคุมบอร์ดประมวลผลสัญญาณดิจิทัลในเครื่องวัดคุณภาพไฟฟ้าใช้ภาษาซีในการพัฒนา โดยใช้โปรแกรม Code Composer Studio ของบริษัท Texas Instruments ทำหน้าที่เริ่มการทำงานของบอร์ดประมวลผลสัญญาณดิจิทัล, ควบคุมการทำงานของซีพียูแปลงสัญญาณแอนะล็อกเป็นดิจิทัล, คำนวณทางคณิตศาสตร์เพื่อหาพารามิเตอร์และข้อมูลที่เกี่ยวข้องกับคุณภาพไฟฟ้า, จัดการหน่วยความจำภายในบอร์ดประมวลผลสัญญาณดิจิทัล และรับส่งข้อมูลไปยังไมโครคอนโทรลเลอร์ โปรแกรมนี้มีโครงสร้างดังรูปที่ 4.1



รูปที่ 4-1 โครงสร้างโปรแกรมบนบอร์ดประมวลผลสัญญาณดิจิทัล

4.1.1. การทำงานของโปรแกรมควบคุมบอร์ดประมวลผลสัญญาณดิจิทัล

การทำงานเริ่มต้นจาก ตั้งค่าเริ่มต้นให้กับเรจิสเตอร์ต่างๆภายในชิพประมวลผลสัญญาณดิจิทัลได้แก่ EMIF, Timer, McBSP, Interrupt, EDMA ฯลฯ จากนั้น ชิปประมวลผลสัญญาณดิจิทัลก็จะเข้าสู่โหมดรอการร้องขอจากสัญญาณขัดจังหวะ เพื่อทำงานในแต่ละประเภทของสัญญาณขัดจังหวะ (Interrupt) โดยมีวงรอบการทำงานดังแผนผังในรูปที่ 4-2a



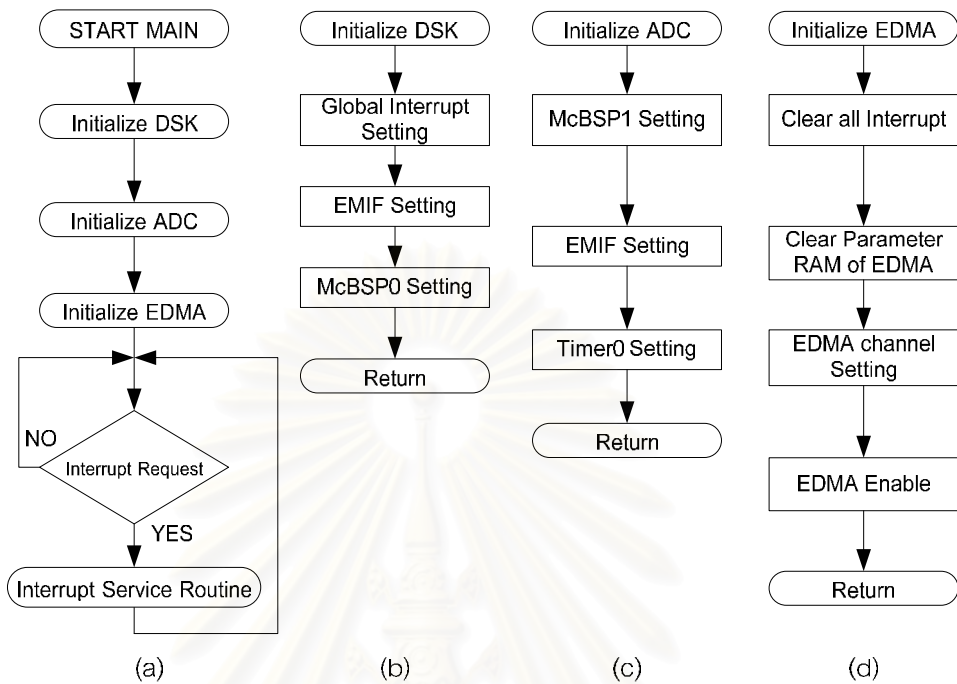
รูปที่ 4-2 แผนผังการทำงานของโปรแกรมควบคุมบอร์ดประมวลผลสัญญาณดิจิทัล

สัญญาณขัดจังหวะจะถูกสร้างขึ้นจากเหตุการณ์การต่างๆ ดังแสดงในรูปที่ 4-2b ดังนี้

1. เมื่อข้อมูลจาก A/D ถูกส่งไปยังชิพประมวลผลสัญญาณดิจิทัล ครบตามขนาดหน่วยความจำที่ตั้งไว้ตอนตั้งค่าเริ่มต้นให้กับเรจิสเตอร์มอดูล EDMA CH4
2. เมื่อไมโครคอนโทรลเลอร์ร้องขอข้อมูลผ่านทางมอดูลสื่อสารอนุกรม UART มายัง EDMA CH 12
3. เมื่อข้อมูลจากชิพประมวลผลสัญญาณดิจิทัลถูกส่งไปยังไมโครคอนโทรลเลอร์ ซึ่งควบคุมโดยมอดูล EDMA CH11 ครบตามจำนวนที่ร้องขอ

ข้อมูลแรงดันสลับและกระแสสลับ 3 เฟส จาก A/D จะถูกส่งมายังชิพประมวลผลสัญญาณดิจิทัลตลอดเวลา เมื่อบัฟเฟอร์ที่สร้างไว้สำหรับเก็บข้อมูล 3 วินาที (150 cycle) เต็มแล้ว ข้อมูลในบัฟเฟอร์นี้จะถูกนำไปวิเคราะห์หาพารามิเตอร์ทางคุณภาพไฟฟ้าได้แก่ ปริมาณฮาร์มอนิกส์, ดัชนีแรงดันตก, V_{rms} , I_{rms} , กำลังจริง (P), กำลังเสมือน (Q), กำลังปรากฏ (S), และตัวประกอบกำลัง ในขณะเดียวกัน ข้อมูลชุดใหม่ก็จะถูกส่งไปเก็บยังบัฟเฟอร์อีกชุด วงรอบนี้จะวนไปเรื่อยๆ ถ้ามีสัญญาณขัดจังหวะจากมอดูล EDMA CH12 ดังรูปที่ 4-2c ซึ่งเป็นสัญญาณร้องขอข้อมูลจากไมโครคอนโทรลเลอร์ ชิพประมวลผลสัญญาณดิจิทัลจะตรวจสอบว่าบัฟเฟอร์ Ping หรือ Pong เป็นบัฟเฟอร์ที่กำลังถูกประมวลผลโดยหน่วยประมวลผลกลางอยู่ และพร้อมที่จะส่งข้อมูลไปยังไมโครคอนโทรลเลอร์ ข้อมูลรูปคลื่นและข้อมูลคุณภาพไฟฟ้าจะถูกนำไปจัดเรียงสำหรับส่งไปยังไมโครคอนโทรลเลอร์ทางช่องสัญญาณ EDMA CH11 จากนั้น เมื่อข้อมูลทั้งหมดถูกส่งออกไปมอดูล EDMA CH11 ก็จะส่งสัญญาณขัดจังหวะมาบอกว่าข้อมูลได้ถูกส่งไปหมดแล้ว จากนั้นชิพประมวลผลสัญญาณดิจิทัลก็จะรอรับสัญญาณขัดจังหวะเหล่านี้ไปตลอดการทำงานของเครื่อง

4.1.2. การเริ่มต้นการทำงานบอร์ดประมวลผลสัญญาณดิจิทัลและชิพแปลงสัญญาณแอนะล็อกเป็นดิจิทัล



รูปที่ 4-3 แผนผังการเริ่มต้นการทำงานบอร์ดประมวลผลสัญญาณดิจิทัลและ

ชิพแปลงสัญญาณแอนะล็อกเป็นดิจิทัล

บอร์ดประมวลผลสัญญาณดิจิทัลจะเริ่มต้นทำงานโดยตั้งค่าเรจิสเตอร์ที่เกี่ยวข้องกับสัญญาณขัดจังหวะ (Interrupt) จากนั้นก็จะตั้งค่าเรจิสเตอร์ของมอดูล EMIF ภายในชิพประมวลผลสัญญาณดิจิทัลให้ติดต่อกับหน่วยความจำบนบอร์ด ได้แก่หน่วยความจำประเภท SDRAM และสุดท้ายจะตั้งค่าเรจิสเตอร์ภายในมอดูล McBSP0 ให้สามารถรับส่งข้อมูลอนุกรมแบบ UART ได้ดังแผนผังในรูปที่ 4-3b

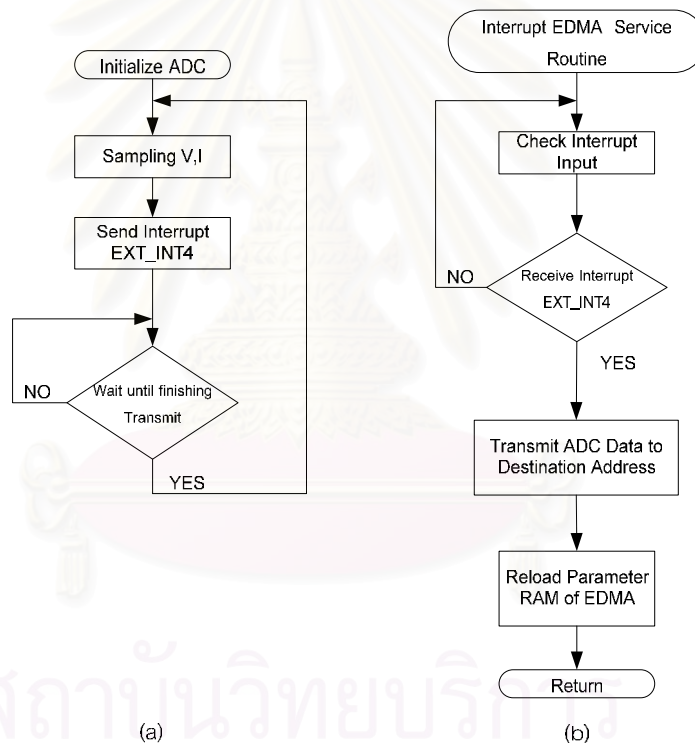
ชิพแปลงสัญญาณแอนะล็อกเป็นดิจิทัล ADS8364 จะเริ่มทำงานตามแผนผังในรูปที่ 4-3c การติดต่อยุ่หว่างชิพประมวลผลสัญญาณดิจิทัลกับชิพแปลงสัญญาณแอนะล็อกเป็นดิจิทัลจะต้องเริ่มต้นการทำงานของมอดูล EMIF, EDMA, McBSP1, Interrupt4 และ Timer0 โดยการตั้งค่าเรจิสเตอร์ในมอดูล McBSP1 ให้ทำงานในโหมด GPIO ทำหน้าที่คุมขา ADD (Address Mode Select) และ ขา Reset ของชิพแปลงสัญญาณแอนะล็อกเป็นดิจิทัล กำหนดค่าในเรจิสเตอร์ Timer0 เพื่อขับสัญญาณนาฬิกาและกำหนดอัตราการสุ่มของชิพแปลงสัญญาณแอนะล็อกเป็นดิจิทัลและเปิดการทำงานขา EXT_INT4 (External Interrupt 4) เพื่อรับสัญญาณขัดจังหวะ(Interrupt) จากชิพแปลงสัญญาณแอนะล็อกเป็นดิจิทัลหลังจากสุ่มข้อมูลและแปลง

ข้อมูลเสร็จ สุดท้ายต้องกำหนดช่องสัญญาณของ EDMA ที่จะคอยรับสัญญาณขัดจังหวะและเรจิสเตอร์เลขที่อยู่ของแหล่งต้นทาง (Source Address Register) และปลายทาง (Destination Address Register) รวมถึงขนาดข้อมูลให้กับมอดูล EDMA ดังแสดงในรูปที่ 4-3d

เมื่อเริ่มต้นการทำงานในทุกๆส่วนแล้ว หน่วยประมวลสัญญาณดิจิทัลจะรอจนกว่ามีสัญญาณขัดจังหวะเข้ามาจึงจะเข้าไปทำงานตามแต่ประเภทของสัญญาณขัดจังหวะที่เข้ามาดังแผนผังในรูปที่ 4-3a

4.1.3. การติดต่อกับชิพแปลงสัญญาณแอนะล็อกเป็นดิจิทัล

เมื่อชิพแปลงสัญญาณแอนะล็อกเป็นดิจิทัลเริ่มทำงานแล้ว จังหวะการสุ่มและแปลงข้อมูลแรงดันและกระแสจากระบบไฟฟ้าที่วัดเข้ามาจะถูกกำหนดโดยสัญญาณนาฬิกาที่ควบคุมโดยมอดูล Timer0 ดังแสดงในรูปที่ 4-4a



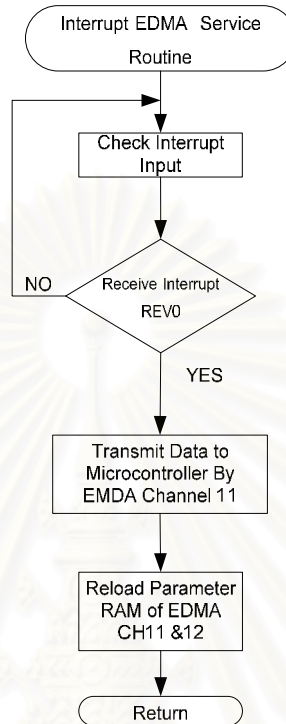
รูปที่ 4-4 แผนผังการทำงานของชิพแปลงสัญญาณแอนะล็อกเป็นดิจิทัล

และทำงานของมอดูล EDMA ช่องสัญญาณที่ 4

เมื่อแปลงข้อมูลเสร็จ ชิปแปลงสัญญาณแอนะล็อกเป็นดิจิทัลจะส่งสัญญาณขัดจังหวะไปยังชิพประมวลผลสัญญาณดิจิทัล เพื่อสั่งให้มอดูล EDMA ช่องสัญญาณที่ถูกตั้งให้รับสัญญาณขัดจังหวะ (Channel 4) รับข้อมูลที่แปลงได้และส่งไปยังหน่วยความจำตามเลขที่อยู่ปลายทาง (Destination Address) เมื่อรับข้อมูลเสร็จ มอดูล EDMA ช่องสัญญาณนี้จะลบตัวบ่งชี้

สัญญาณขัดจังหวะนี้ (Clear Interrupt Flag) แล้วกลับไปรอรับข้อสัญญาณขัดจังหวะใหม่ ดังรูปที่ 4-4b

4.1.4. การติดต่อและส่งข้อมูลไปยังไมโครคอนโทรลเลอร์ ATMEGA 128



รูปที่ 4-5 แผนผังการรับส่งข้อมูลระหว่างชิพประมวลผลสัญญาณดิจิทัลกับไมโครคอนโทรลเลอร์

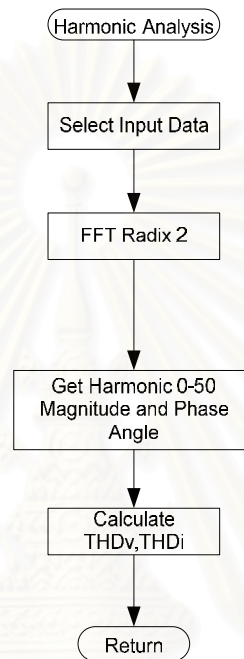
ข้อมูลทางคุณภาพไฟฟ้าที่วิเคราะห์ได้จะถูกนำมาจัดเป็นชุดข้อมูลและใส่กรอบ (Frame) โดยจะใส่ตัวนำหน้า (Header) เพื่อระบุเฟสของข้อมูลแรงดันหรือกระแสที่บรรจุมา ก่อนที่จะถูกส่งไปยังไมโครคอนโทรลเลอร์ การติดต่อระหว่าง 2 หน่วยประมวลผลนี้จะติดต่อแบบอนุกรม UART ดังแผนผังในรูปที่ 4-5 การส่งข้อมูลจะเริ่มต้นเมื่อมีสัญญาณคำสั่งจากไมโครคอนโทรลเลอร์มาสั่งให้ชิพประมวลผลสัญญาณดิจิทัลส่งข้อมูล การรับคำสั่งนี้จะถูกควบคุมโดยมอดูล EDMA ช่องสัญญาณที่ 12 ซึ่งเชื่อมต่อกับส่วนรับข้อมูลของมอดูล McBSP0 จากนั้นชิพประมวลผลสัญญาณดิจิทัลจะสั่งให้มอดูล EDMA ช่องสัญญาณที่ 11 ซึ่งเชื่อมต่อกับส่วนส่งข้อมูลของมอดูล McBSP0 ส่งข้อมูลที่เก็บไว้ในหน่วยความจำตามเลขที่อยู่ของแหล่งต้นทาง (Source Address Register) ไปยังไมโครคอนโทรลเลอร์

4.1.5. โปรแกรมวิเคราะห์คุณภาพไฟฟ้า

โปรแกรมในส่วนนี้จะทำหน้าที่วิเคราะห์หาปริมาณต่างๆที่เกี่ยวข้องกับคุณภาพไฟฟ้า ประกอบด้วยโปรแกรมต่างๆดังนี้

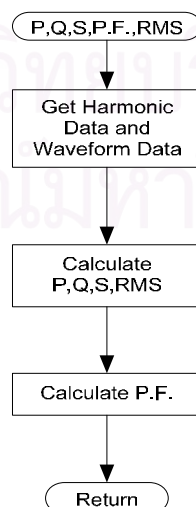
4.1.5.1. โปรแกรมวิเคราะห์ฮาร์มอนิกส์

มีหน้าที่วิเคราะห์หาปริมาณฮาร์มอนิกส์ในสัญญาณแรงดันและกระแสที่ส่งเข้ามา โดยการแปลงฟูเรียร์แบบเร็ว (Fast Fourier Transform - FFT) ชนิด Radix2 หลังจากแปลงแล้ว จะได้ข้อมูลขนาดและเฟสของสัญญาณแรงดันและกระแส ตั้งแต่ฮาร์มอนิกส์อันดับที่ 0 ถึง 50 ข้อมูลนี้จะถูกนำไปคำนวณหาพารามิเตอร์ ค่าความผิดเพี้ยนฮาร์มอนิกส์รวมของแรงดันและกระแส ตามสมการที่ (2.3) และ (2.4) ตามลำดับ ดังแสดงในรูปที่ 4-6



รูปที่ 4-6 แผนผังการวิเคราะห์ปริมาณฮาร์มอนิกส์

4.1.5.2. โปรแกรมคำนวณหาปริมาณทางไฟฟ้า (P, Q, S, PF, I_{rms} , V_{rms})

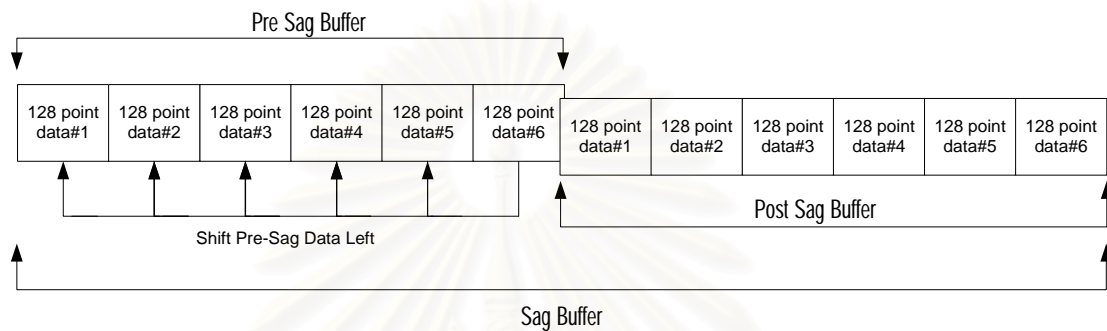


รูปที่ 4-7 แผนผังการวิเคราะห์ปริมาณ P, Q, P.F., RMS

การใช้อัลกอริทึมแปลงฟูเรียร์แบบเร็ว จะให้ค่ามุมเฟสของสัญญาณแรงดันและกระแสของสัญญาณที่สุ่มด้วย ทำให้การวิเคราะห์หาค่ากำลังจริง (P), กำลังเสมือน (Q), กำลังปรากฏ (S) และตัวประกอบกำลังดังแผนผังในรูปที่ 4.6 ทำได้อย่างสะดวกตามสมการที่ (2.12) - (2.17)

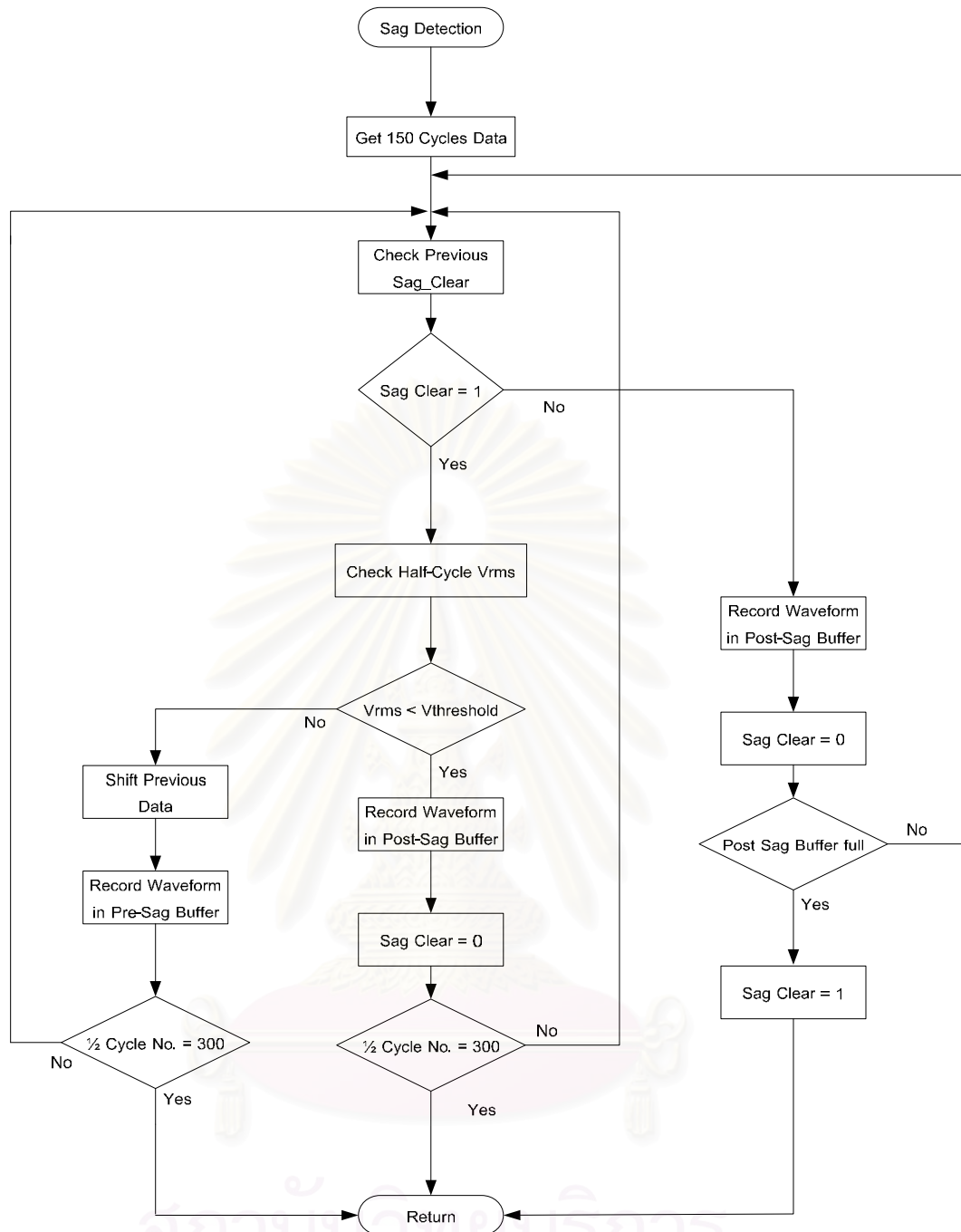
4.1.5.3. โปรแกรมวิเคราะห์การเกิดแรงดันตกชั่วขณะ (Voltage Sag)

มีหน้าที่วิเคราะห์หาดัชนีการเกิดแรงดันตกชั่วขณะ และหาทิศทางของแหล่งกำเนิดแรงดันตกชั่วขณะโดยการพิจารณาจากเครื่องหมายความต้านทาน (Resistance Sign Based)



รูปที่ 4-8 การจัดเก็บข้อมูลสัญญาณการเกิดแรงดันตกชั่วขณะ

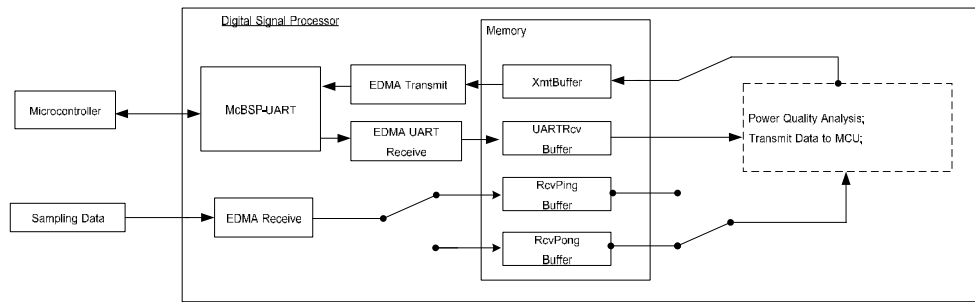
การทำงานของโปรแกรมวิเคราะห์การเกิดแรงดันตกชั่วขณะ เริ่มจากการนำรูปคลื่นแรงดัน 150 cycle ที่ถูกเก็บบันทึกในบัฟเฟอร์มาตรวจค่า RMS ของแรงดันทุกๆครึ่งคาบสัญญาณ (Half Cycle V_{rms} , $V_{1/2rms}$) ถ้าค่า $V_{1/2rms}$ มีค่ามากกว่าค่าขีดแบ่งแรงดัน (Threshold Voltage - V_{th}) ข้อมูลแรงดันในช่วงครึ่งคาบนี้หรือข้อมูล 128 จุดนี้จะถูกบันทึกลงบัฟเฟอร์ในส่วนของการบันทึกรูปคลื่นก่อนเกิดแรงดันตกชั่วขณะ (Pre Sag Buffer) ณ ตำแหน่งที่ 6 ข้อมูลก่อนหน้านี้อจะถูกเลื่อนไปทางซ้ายดังแสดงในรูปที่ 4-8 ถ้าค่า $V_{1/2rms}$ มีค่าน้อยกว่าค่า V_{th} สัญญาณแรงดันจะถูกบันทึกในบัฟเฟอร์ในส่วนที่เกิดแรงดันตกชั่วขณะ (Post Sag Buffer) จนกระทั่งบัฟเฟอร์ในส่วนนี้เต็ม (6 cycle) จากนั้นก็จะเริ่มกระบวนการคำนวณหาดัชนีแรงดันตกชั่วขณะและทิศทางของต้นกำเนิดแรงดันตกชั่วขณะ โดยการตรวจสอบระดับแรงดัน $V_{1/2rms}$ จะทำทั้งหมด 300 ครั้ง (ครบ 150 cycle) ต่อหนึ่งบัฟเฟอร์ จากนั้นก็ทำการวิเคราะห์รูปคลื่นแรงดัน 150 cycle ในบัฟเฟอร์ต่อไป ซึ่งกระบวนการทำงานของโปรแกรมตรวจสอบการเกิดแรงดันตกชั่วขณะเป็นดังแผนผังในรูปที่ 4-9



รูปที่ 4-9 แผนผังโปรแกรมตรวจสอบการเกิดแรงดันตกชั่วขณะ

4.1.5.4. การควบคุมการรับส่งข้อมูลระหว่างหน่วยความจำด้วยมอดูล EDMA

การรับส่งข้อมูลระหว่างชิปแปลงสัญญาณแอนะล็อกเป็นดิจิทัล, ชิพประมวลผลสัญญาณดิจิทัล และไมโครคอนโทรลเลอร์จะถูกควบคุมด้วยมอดูล EDMA ดังแสดงในรูปที่ 4-10

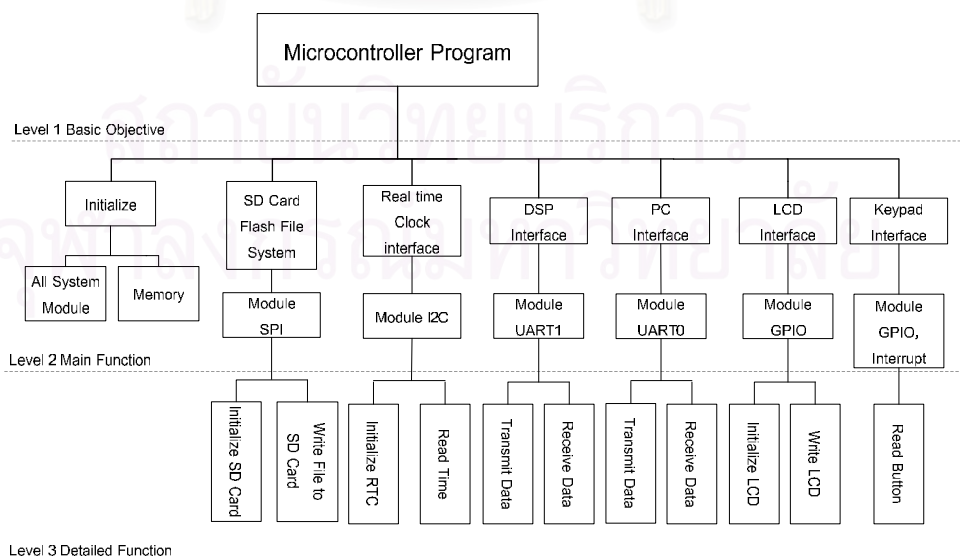


รูปที่ 4-10 แผนภาพการทำงานของมอดูล EDMA

ขณะที่หน่วยประมวลผลกลาง (CPU) ของชิปประมวลผลสัญญาณดิจิทัลกำลังวิเคราะห์คุณภาพไฟฟ้าอยู่ โดยนำข้อมูลที่บันทึกอยู่ในบัฟเฟอร์ Pong มาวิเคราะห์ ข้อมูลแรงดันและกระแสจากชิปแปลงสัญญาณแอนะล็อกที่แปลงอยู่ขณะนี้จะถูกส่งเข้ามาเก็บยังบัฟเฟอร์ Ping หลังจากทีวิเคราะห์คุณภาพไฟฟ้าเสร็จ ก็จะสลับไปรับข้อมูลจากบัฟเฟอร์ Ping มาวิเคราะห์แทน ส่วนข้อมูลแรงดันและกระแสจากชิปแปลงสัญญาณแอนะล็อกก็จะถูกส่งเข้ามาเก็บยังบัฟเฟอร์ Pong แทน กระบวนการแบบนี้เรียกว่า Ping-Pong Buffering จะช่วยให้การวิเคราะห์ข้อมูลหรือการบันทึกข้อมูลเป็นไปได้อย่างต่อเนื่อง ไม่มีการขาดหายไปของสัญญาณในช่วงที่หน่วยประมวลผลกลางกำลังทำงานอยู่ เนื่องจากมอดูล EDMA กับ หน่วยประมวลผลกลาง (CPU) ทำงานเป็นอิสระต่อกัน

4.2. โปรแกรมบนไมโครคอนโทรลเลอร์

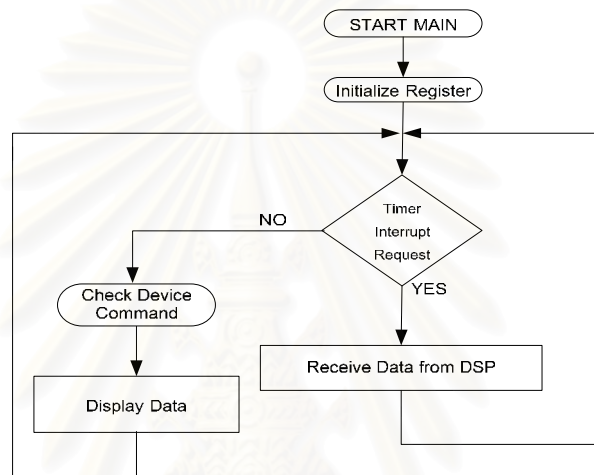
ไมโครคอนโทรลเลอร์ ATMEGA 128 ทำหน้าที่เป็นตัวควบคุมการติดต่อระหว่างเครื่องวัดคุณภาพไฟฟ้ากับผู้ใช้ มีโครงสร้างโปรแกรมภายในดังรูปที่ 4-11



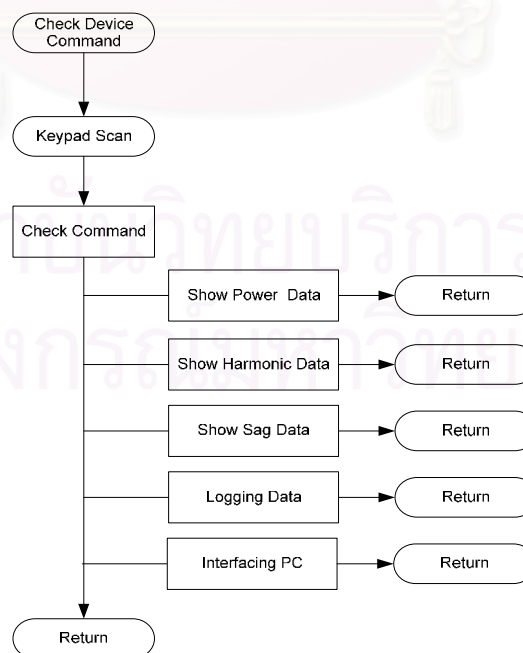
รูปที่ 4-11 โครงสร้างโปรแกรมบนบอร์ดไมโครคอนโทรลเลอร์

4.2.1. การทำงานของโปรแกรมบนไมโครคอนโทรลเลอร์

การทำงานของโปรแกรมบนไมโครคอนโทรลเลอร์จะเริ่มต้นจากการตั้งค่าเริ่มต้นให้กับ เรจิสเตอร์ต่างๆ ได้แก่ UART, Timer, GPIO, SPI, I2C และ Interrupt จากนั้นไมโครคอนโทรลเลอร์ จะส่งสัญญาณไปยังบอร์ดประมวลสัญญาณดิจิทัลทุกๆ 3 วินาที เพื่อร้องขอข้อมูล กระบวนการนี้ จะถูกควบคุมโดยมอดูล Timer ซึ่งจะส่งสัญญาณขัดจังหวะมายังไมโครคอนโทรลเลอร์ตามช่วงเวลา ที่กำหนดในเรจิสเตอร์ หลังจากที่ไมโครคอนโทรลเลอร์รับข้อมูลแล้วก็จะตรวจสอบคำสั่งที่รับจาก แผงแป้นพิเศษ เพื่อแสดงผลผ่านจอผลึกเหลว หรือแสดงผลผ่านโปรแกรมประสานกราฟิกกับผู้ใช้ หรือบันทึกข้อมูลลงหน่วยความจำ SD Card ดังแสดงในรูปที่ 4-12 และ รูปที่ 4-13



รูปที่ 4-12 แผนผังโปรแกรมบนไมโครคอนโทรลเลอร์



รูปที่ 4-13 แผนผังโปรแกรมตรวจสอบคำสั่ง

4.2.2. การเริ่มต้นการทำงานของไมโครคอนโทรลเลอร์ ATMEGA 128

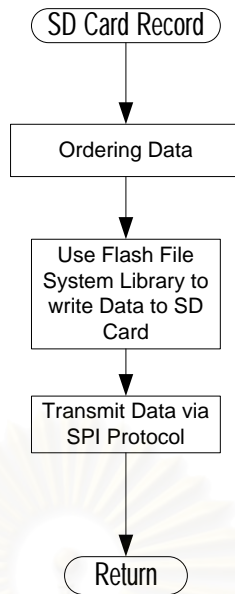
การเริ่มต้นการทำงานของไมโครคอนโทรลเลอร์จะเริ่มจากการตั้งค่าเริ่มต้นการทำงานของไมโครคอนโทรลเลอร์ โดยการตั้งค่าเริ่มต้นให้กับเรจิสเตอร์ต่างๆดังนี้

1. เรจิสเตอร์ควบคุมการทำงานของมอดูล UART0, UART1 เพื่อกำหนดความเร็วในการรับส่งข้อมูล (Baud-Rate) เป็น 115,200 bit/sec สำหรับการรับส่งข้อมูลกับหน่วยประมวลผลสัญญาณดิจิทัลและโปรแกรมประสานกราฟิกกับผู้ใช้ (GUI)
2. เรจิสเตอร์ควบคุมการทำงานของมอดูล Timer สำหรับควบคุมระยะเวลาในการติดต่อกับบอร์ดประมวลผลสัญญาณดิจิทัล
3. เรจิสเตอร์ควบคุมการทำงานของมอดูล GPIO สำหรับควบคุมการแสดงผลบนจอแอลซีดี
4. เรจิสเตอร์ควบคุมการทำงานของมอดูล SPI สำหรับการส่งข้อมูลไปบันทึกยังหน่วยความจำ SD Card
5. เรจิสเตอร์ควบคุมการทำงานของมอดูล I2C สำหรับติดต่อกับชิพฐานเวลาจริง
6. เรจิสเตอร์ควบคุมการทำงานของมอดูล Interrupt เพื่อกำหนดประเภทการรับของสัญญาณขัดจังหวะให้เป็นขอบขาขึ้น (Rising Edge) สำหรับการรับค่าจากแผงแป้นพิเศษ (Keypad)

4.2.3. โปรแกรมบันทึกข้อมูลลงหน่วยความจำ SD Card

เพื่อความสะดวกในการเขียนโปรแกรมสำหรับบันทึกไฟล์ข้อมูลลงในหน่วยความจำ SD Card เครื่องคุณภาพไฟฟ้าที่พัฒนาขึ้นในงานวิจัยนี้ได้ใช้คลังโปรแกรม FlashFile V2.0 File System Library สำหรับไมโครคอนโทรลเลอร์ตระกูล AVR ที่พัฒนาขึ้นโดยบริษัท Progressive Resource LLC เพื่อนำฟังก์ชันที่เกี่ยวกับการเขียนบันทึกไฟล์ลงหน่วยความจำ SD Card มาใช้ในการบันทึกข้อมูลทางคุณภาพไฟฟ้า กระบวนการบันทึกข้อมูลลงหน่วยความจำ SD Card จะเริ่มจากการจัดลำดับข้อมูลที่จะบันทึก จากนั้นก็ใช้ฟังก์ชันในคลังโปรแกรม FlashFile มาเขียนข้อมูลลงหน่วยความจำ SD Card ดังแสดงในแผนผังในรูปที่ 4-14

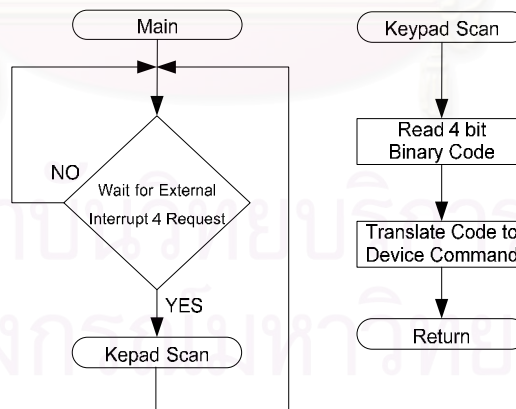
จุฬาลงกรณ์มหาวิทยาลัย



รูปที่ 4-14 แผนผังการทำงานของโปรแกรมบันทึกข้อมูลลงหน่วยความจำ SD Card

4.2.4. โปรแกรมรับคำสั่งจากแผงแป้นพิเศษ (Keypad)

การทำงานของโปรแกรมรับคำสั่งจากแผงแป้นพิเศษจะเป็นไปตามแผนผังในรูปที่ 4-15 ไมโครคอนโทรลเลอร์จะอ่านรหัสและแปลงเป็นคำสั่งเพื่อควบคุมการทำงานของเครื่องวัดคุณภาพไฟฟ้า จากชิพอ่านแผงแป้นพิเศษและแปลงเป็นรหัสตัวเลขฐานสอง 4 บิต MM74C922 ที่เชื่อมต่ออยู่กับแผงแป้นพิเศษ โดยชิพนี้จะส่งสัญญาณขัดจังหวะไปยังไมโครคอนโทรลเลอร์ เมื่อไมโครคอนโทรลเลอร์ได้รับสัญญาณขัดจังหวะนี้ ก็จะเริ่มกระบวนการอ่านค่าจากปุ่ม



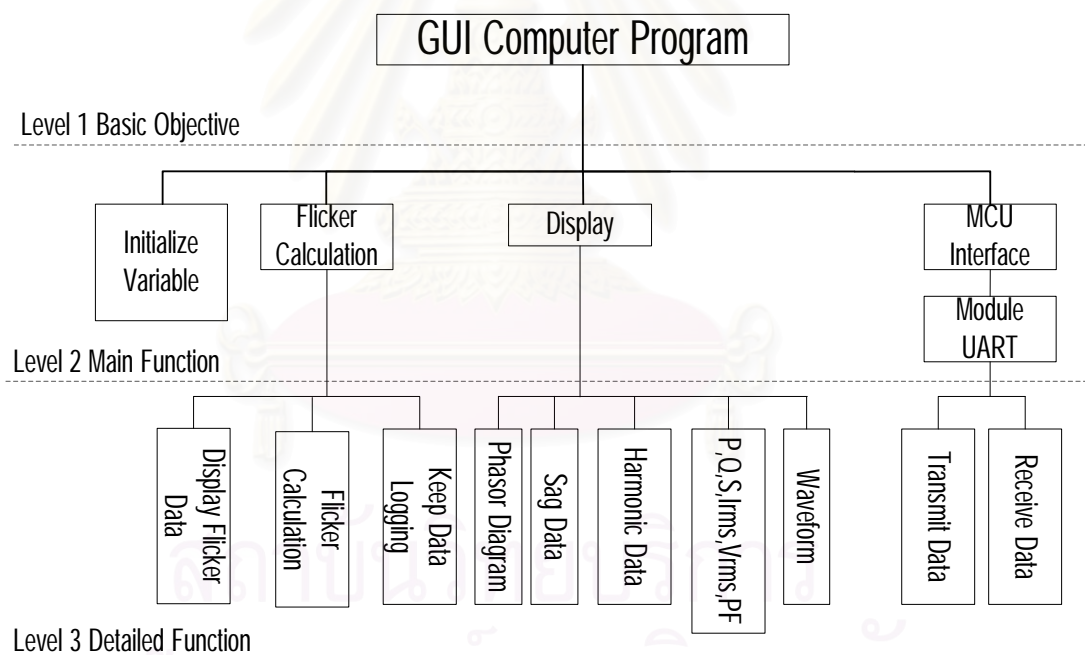
รูปที่ 4-15 แผนผังการทำงานของโปรแกรมอ่านค่าปุ่มจากแผงแป้นพิเศษ

4.3. โปรแกรมบนคอมพิวเตอร์

โปรแกรมส่วนต่อประสานกราฟิกกับผู้ใช้ (Graphic User Interface - GUI) เป็นโปรแกรมคอมพิวเตอร์ที่ทำงานบนระบบปฏิบัติการ Window พัฒนาขึ้นโดยโปรแกรม GUI Matlab 2007a ทำหน้าที่แสดงรูปคลื่นและพารามิเตอร์ของสัญญาณที่วัดขณะนั้น, อ่านข้อมูลจากหน่วยความจำ SD Card ที่บันทึกไว้ และคำนวณหาดัชนีการเกิดไฟกะพริบ P_{st} การรับส่งข้อมูลกับตัวเครื่องวัดคุณภาพไฟฟ้าจะทำโดยใช้ฟังก์ชันติดต่อแบบอนุกรม UART ติดต่อกับไมโครคอนโทรลเลอร์ ATMEGA 128

4.3.1. โครงสร้างของโปรแกรมส่วนต่อประสานกราฟิกกับผู้ใช้

โปรแกรมส่วนต่อประสานกราฟิกกับผู้ใช้ มีโครงสร้างโปรแกรมภายในดังแสดงในรูปที่ 4-16 ประกอบไปด้วยฟังก์ชันหลักๆ 4 ส่วน คือ ส่วนเริ่มต้นค่าตัวแปรต่างๆภายในโปรแกรม, ส่วนติดต่อสื่อสารกับผู้ใช้, ส่วนวิเคราะห์ไฟกะพริบ และส่วนแสดงผล

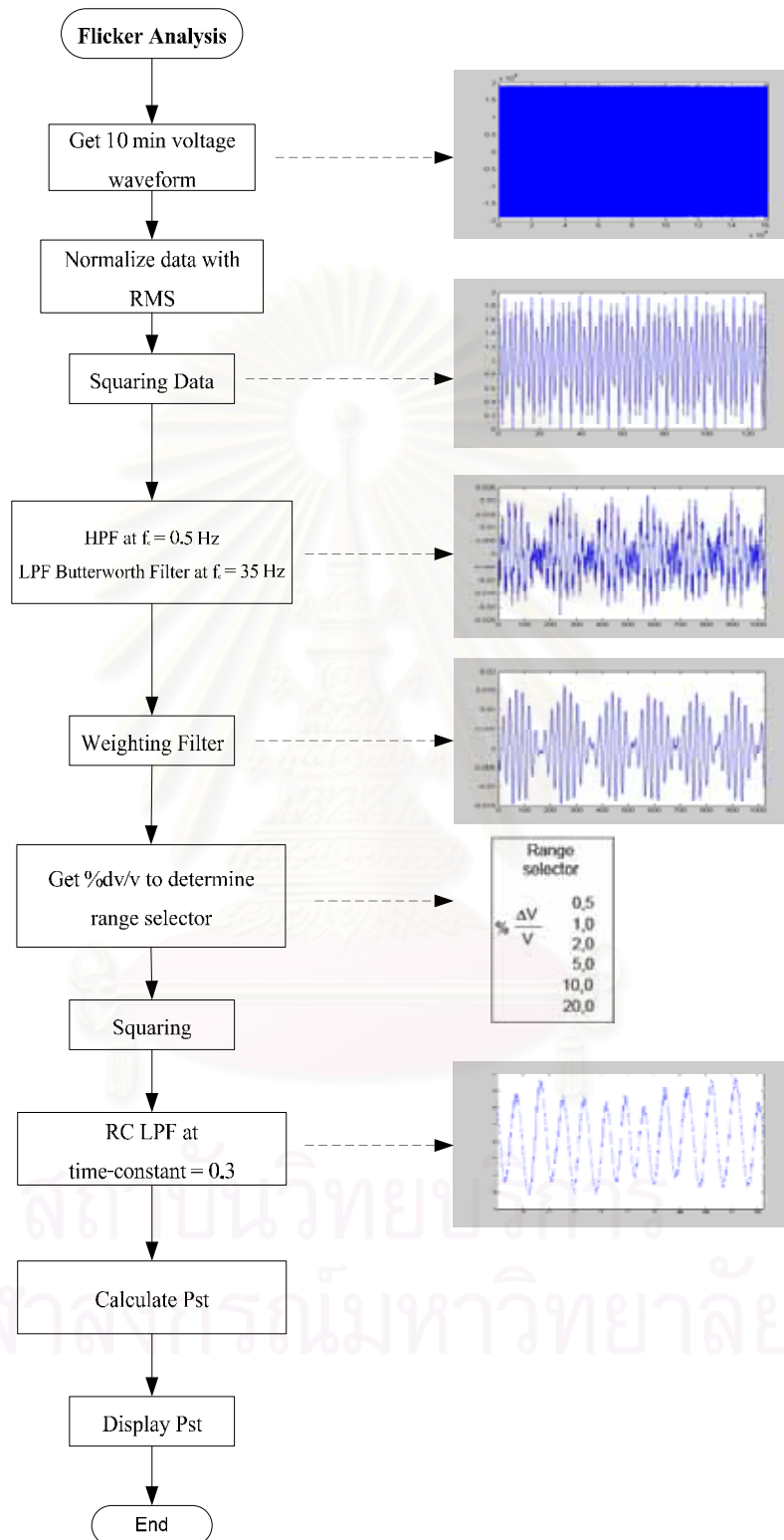


รูปที่ 4-16 โครงสร้างโปรแกรมส่วนต่อประสานกราฟิกกับผู้ใช้

4.3.2. การวิเคราะห์ไฟกะพริบ

การวิเคราะห์หาค่าดัชนีไฟกะพริบ P_{st} ตามมาตรฐาน IEC 61000-4-15 ทำโดยใช้โปรแกรม Matlab จะเริ่มจากโปรแกรมประสานกราฟิกกับผู้ใช้ส่งคำสั่งไปยังเครื่องวัดคุณภาพไฟฟ้าให้เก็บข้อมูลแรงดันในช่วง 10 นาที โดยใช้อัตราสุ่มสัญญาณ 256 point/sec และส่งข้อมูล

รูปคลื่นแรงดันมายังโปรแกรมประสานกราฟิกกับผู้ใช้ จากนั้นโปรแกรมจะคำนวณหาค่าดัชนี P_{st} ตามแผนผังในรูปที่ 4-17



รูปที่ 4-17 แผนผังโปรแกรมวิเคราะห์หาค่าดัชนี P_{st}

4.3.3. การทำงานของโปรแกรมส่วนต่อประสานกราฟิกกับผู้ใช้

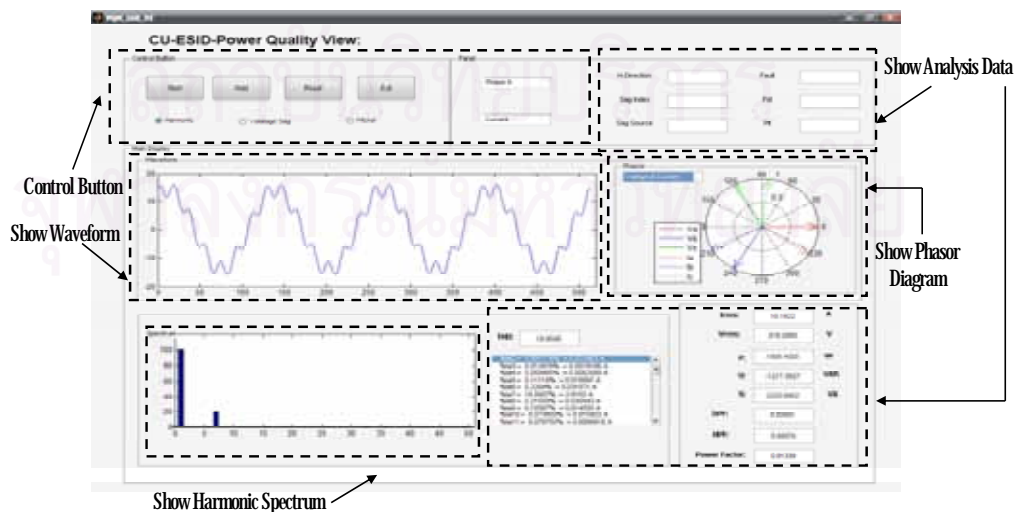
การทำงานของโปรแกรมประสานกราฟิกกับผู้ใช้ จะติดต่อกับไมโครคอนโทรลเลอร์ ATMEGA128 ซึ่งทำหน้าที่เสมือนตัวกลางในการติดต่อ, รับ และส่งข้อมูล ระหว่างบอร์ดชิพประมวลผลสัญญาณดิจิทัลกับโปรแกรมผ่านทางพอร์ตสื่อสาร GUI เมื่อผู้ใช้กดปุ่ม "Start" บนหน้าจอของโปรแกรมในส่วนของปุ่มควบคุมดังแสดงในรูปที่ 4-18 โปรแกรม Matlab จะส่งคำสั่งไปบอกให้เครื่องวัดคุณภาพไฟฟ้าส่งข้อมูล รูปคลื่นแรงดันสลับ, กระแสสลับ และข้อมูลที่วิเคราะห์ไว้แล้ว มาแสดงผลบนโปรแกรม หรือนำข้อมูลแรงดันในช่วง 10 นาทีมาวิเคราะห์หาดัชนีไฟกะพริบ P_{ST} จากนั้นโปรแกรมประสานกราฟิกกับผู้ใช้จะนำข้อมูลที่ได้ไปแสดงผลบนหน้าจอของโปรแกรม



รูปที่ 4-18 โปรแกรมส่วนต่อประสานกราฟิกกับผู้ใช้

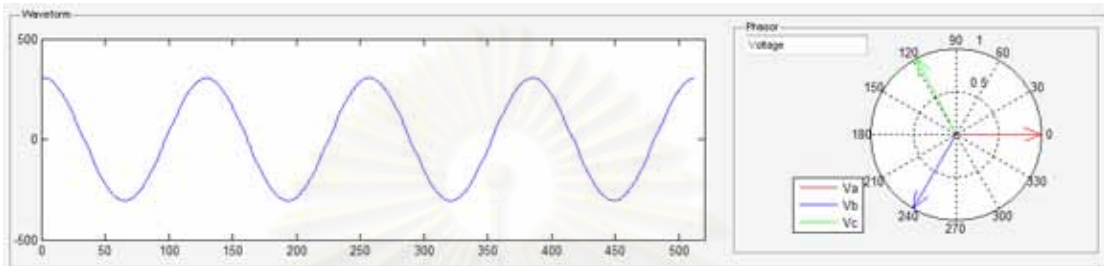
หน้าจอของโปรแกรมประสานกราฟิกกับผู้ใช้โดยรวมเป็นดังรูปที่ 4-19 ภายในโปรแกรมจะประกอบไปด้วยส่วนต่างๆดังนี้

1. ปุ่มรับคำสั่งจากผู้ใช้ (Control Button)
2. ส่วนแสดงผลข้อมูลคุณภาพไฟฟ้าที่ผ่านการวิเคราะห์แล้ว
3. ส่วนแสดงรูปคลื่นแรงดันหรือกระแส
4. ส่วนแสดงแผนภาพเฟเซอร์ของแรงดันและกระแส
5. ส่วนแสดงแผนภูมิแท่งฮาร์มอนิกส์ (Harmonic Spectrum) ของแรงดัน หรือกระแส

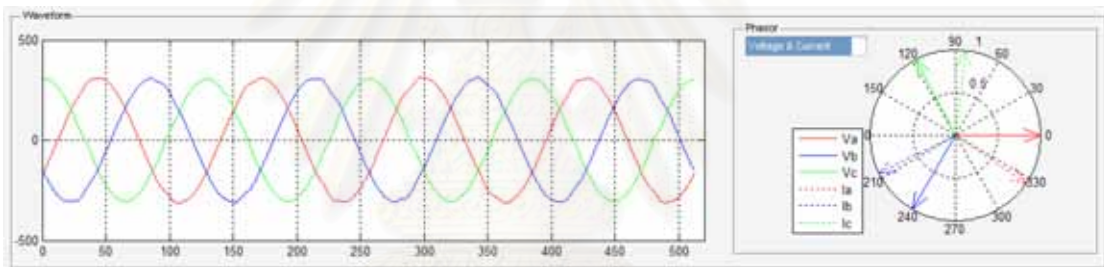


รูปที่ 4-19 หน้าจอโปรแกรมส่วนต่อประสานกราฟิกกับผู้ใช้

การแสดงผลข้อมูลเป็นรูปคลื่นของโปรแกรมส่วนต่อประสานกราฟิกกับผู้ใช้ จะแสดงรูปคลื่นของแรงดันสลับหรือกระแสสลับ โดยผู้ใช้สามารถเลือกได้ว่าจะให้แสดงรูปคลื่นออกมาเฟสเดียวหรือทั้งสามเฟส ในส่วนแผนภาพเฟเซอร์ ผู้ใช้สามารถเลือกดูแผนภาพเฟเซอร์ของแรงดันหรือกระแสอย่างใดอย่างหนึ่งแสดงในรูปที่ 4-20a เพื่อพิจารณาความสมดุลของแรงดันหรือกระแสทั้ง 3 เฟส หรือดูของทั้งแรงดันและกระแสเพื่อพิจารณามุมเฟสระหว่างแรงดันและกระแสดังแสดงในรูปที่ 4-20b



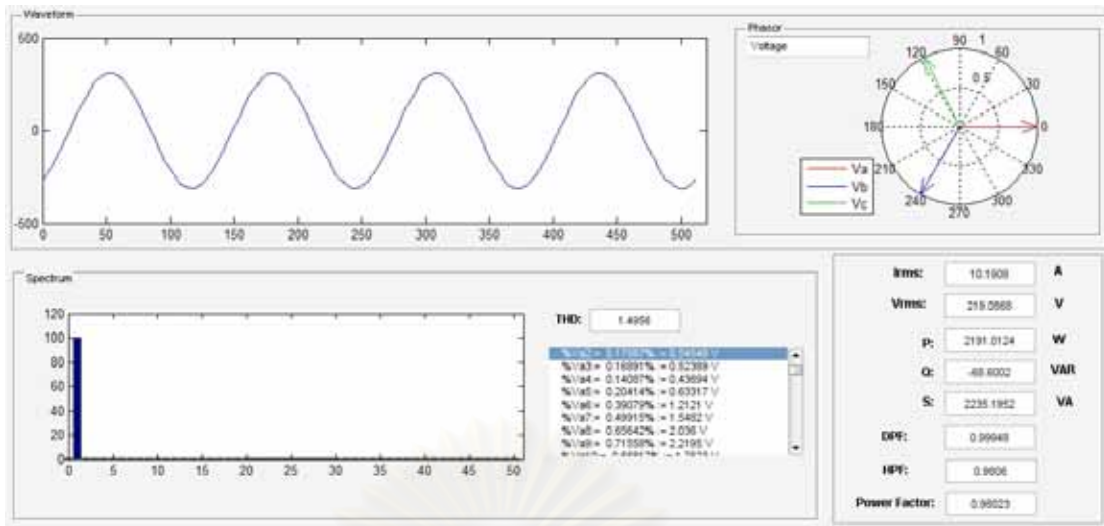
(a)



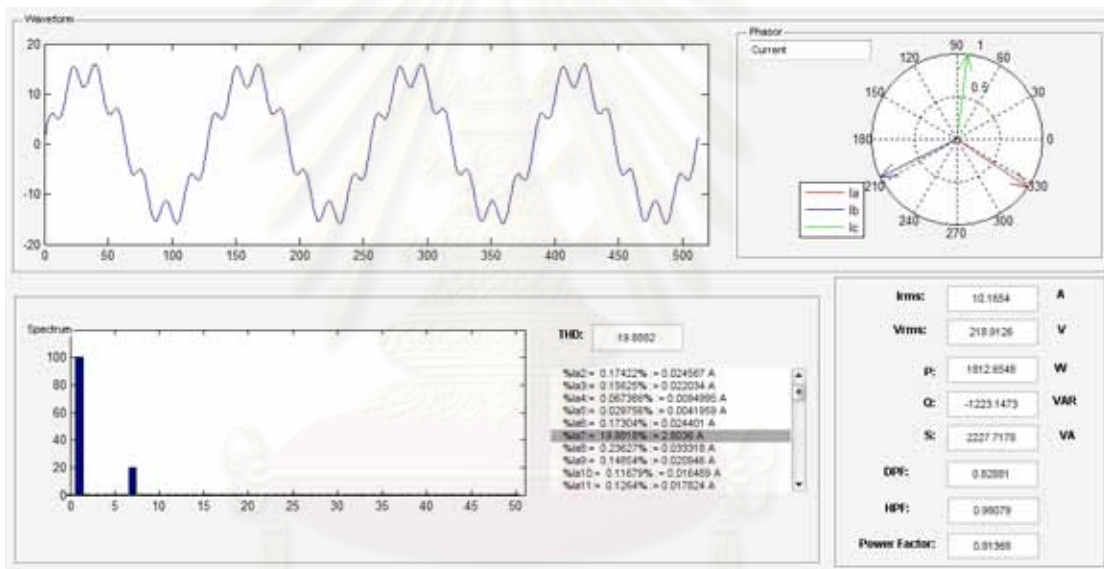
(b)

รูปที่ 4-20 หน้าจอแสดงผลรูปคลื่นและแผนภาพเฟเซอร์ของแรงดัน (a) หนึ่งเฟส (b) สามเฟส

การแสดงผลข้อมูลฮาร์มอนิกในแรงดันหรือกระแส จะแสดงออกมาในรูปแบบแผนภูมิแท่งและตารางแสดงค่าเปอร์เซ็นต์และขนาดของแรงดันหรือกระแสฮาร์มอนิกอันดับต่างๆ รวมถึงค่าความเพี้ยนฮาร์มอนิกรวมของแรงดัน (THD_V) หรือกระแส (THD_I) ในส่วนแสดงผลข้อมูลที่ผ่านการวิเคราะห์แล้วจะแสดงข้อมูล RMS ของแรงดันและกระแส, กำลังจริง (P), กำลังเสมือน (Q), กำลังปรากฏ (S) และตัวประกอบกำลัง (PF) โดยในส่วนของตัวประกอบกำลังจะแสดงค่าองค์ประกอบ DPF และ HPF ดังแสดงในรูปที่ 4-21



(a)



(b)

รูปที่ 4-21 หน้าจอแสดงผลรูปคลื่น, แผนภูมิแท่งฮาร์มอนิก และ

ข้อมูลที่ผ่านการวิเคราะห์ (a) แรงดัน (b) กระแส

บทที่ 5

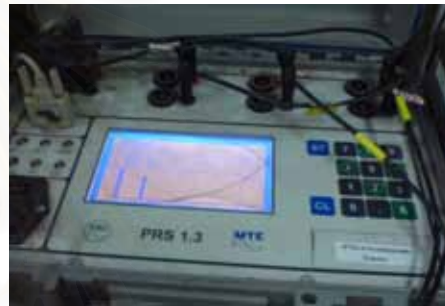
ผลการทดลองและการทดสอบ

การทดสอบเครื่องวัดคุณภาพไฟฟ้าที่พัฒนาขึ้นประกอบด้วย การวิเคราะห์ปริมาณฮาร์มอนิกส์, การทดลองหาทิศทางแหล่งกำเนิดฮาร์มอนิกส์, การทดสอบวิเคราะห์และหาทิศทางแหล่งกำเนิดแรงดันตกชั่วขณะ และการทดสอบวิเคราะห์พารามิเตอร์อื่นๆที่เกี่ยวข้องกับคุณภาพไฟฟ้า โดยจะใช้อุปกรณ์สอบเทียบต่างๆดังนี้

1. เครื่องจ่ายโหลดพลังงานไฟฟ้าเสมือน CALSOURCE 200 และมีเตอร์อ้างอิงที่มีความแม่นยำในการวัดระดับ 0.05% PRS1.3 ของบริษัท MEH (Energie Messtechnik GmbH) ดังแสดงในรูปที่ 5-1a และ รูปที่ 5-1b ตามลำดับ



(a)



(b)

รูปที่ 5-1 อุปกรณ์สอบเทียบ (a) เครื่องจ่ายโหลดพลังงานไฟฟ้าเสมือน (b) มิเตอร์อ้างอิง

2. เครื่องวัดคลื่นแรงดันไฟฟ้า (Oscilloscope) Fluke 199C ดังแสดงในรูปที่ 5-2 มีความแม่นยำในการวัดแรงดันระดับ 0.5%



รูปที่ 5-2 เครื่องวัดคลื่นแรงดันไฟฟ้า Fluke 199C Scopemeter

3. เครื่องวัดคุณภาพไฟฟ้า (Power Quality Meter) Dranetz BMI Power Visa ดังแสดงในรูปที่ 5-4 มีความแม่นยำในการวัด 0.1% ตามมาตรฐาน IEC 61000-4-30 Class A



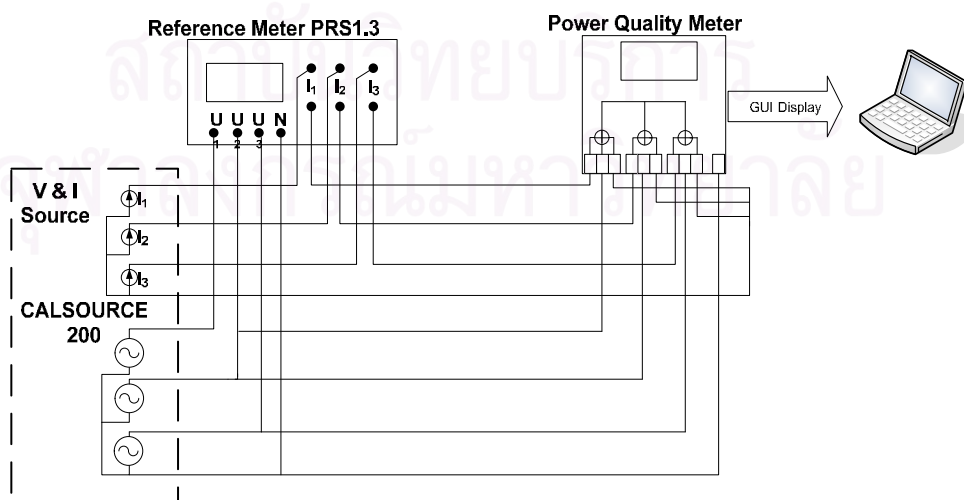
รูปที่ 5-3 เครื่องวัดคุณภาพไฟฟ้า Dranetz BMI Power Visa

5.1. การทดสอบการวิเคราะห์ปริมาณฮาร์มอนิกส์

ระบบทดสอบวัดปริมาณฮาร์มอนิกส์เป็นดังรูปที่ 5-4 สัญญาณแรงดันสลับและกระแสสลับ 3 เฟส สร้างขึ้นจากเครื่องจ่ายโหลดพลังงานไฟฟ้าเหมือน CALSOURCE 200 ปริมาณฮาร์มอนิกส์ที่เครื่องวัดคุณภาพไฟฟ้าวัดได้ จะถูกแสดงผลบนโปรแกรมประสานกราฟิกกับผู้ใช้บนคอมพิวเตอร์หรือบนหน้าจอผลึกเหลว เพื่อเปรียบเทียบหาค่าคลาดเคลื่อนกับค่าที่วัดได้โดยมิเตอร์อ้างอิง PRS1.3 โดยค่าความคลาดเคลื่อนของการวัดหาได้จากสมการ (5.1)

$$\%error = \frac{(M_{dsp} - M_{testmeter})}{M_{testmeter}} \times 100 \quad (5.1)$$

โดย M_{dsp} = ปริมาณที่วัดได้จากเครื่องวัดคุณภาพไฟฟ้าที่พัฒนาขึ้น
 $M_{testmeter}$ = ปริมาณที่วัดได้จากมิเตอร์อ้างอิง



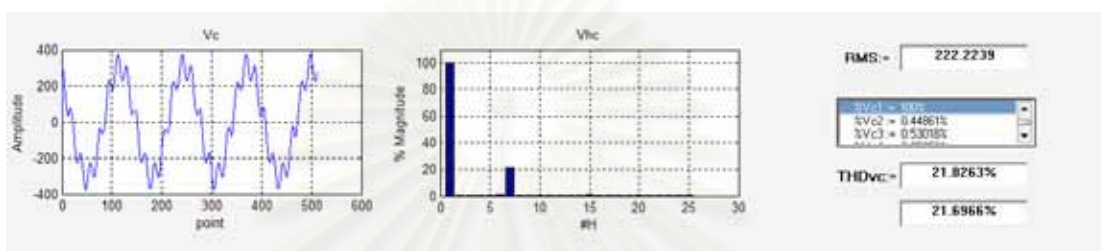
รูปที่ 5-4 ระบบทดสอบเครื่องวัดคุณภาพไฟฟ้า

ในการทดสอบความแม่นยำในการวัดปริมาณฮาร์มอนิกจะแบ่งการวัดเป็น 2 ส่วนคือ

1. การทดสอบวัดปริมาณฮาร์มอนิกในสัญญาณแรงดันไฟฟ้าสลับ
2. การทดสอบวัดปริมาณฮาร์มอนิกในสัญญาณกระแสไฟฟ้าสลับ

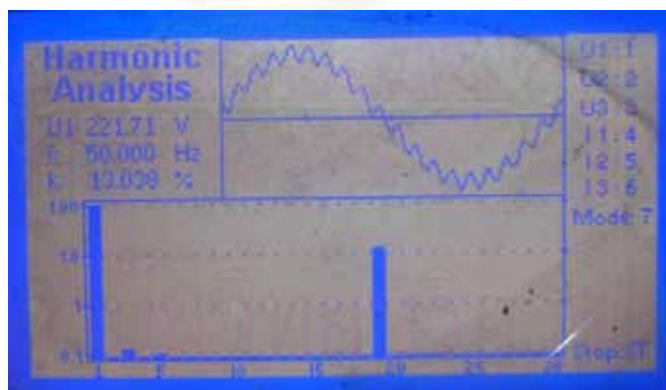
5.1.1. การทดสอบวัดปริมาณฮาร์มอนิกในสัญญาณแรงดันไฟฟ้าสลับ

เครื่องจ่ายโหลดพลังงานไฟฟ้าเสมือนจะถูกตั้งให้จ่ายฮาร์มอนิกอันดับต่างๆออกทางช่องสัญญาณแรงดัน เครื่องวัดคุณภาพไฟฟ้านำสัญญาณแรงดันไปวิเคราะห์หาปริมาณฮาร์มอนิกและแสดงผลบนโปรแกรม GUI ดังรูปที่ 5-5

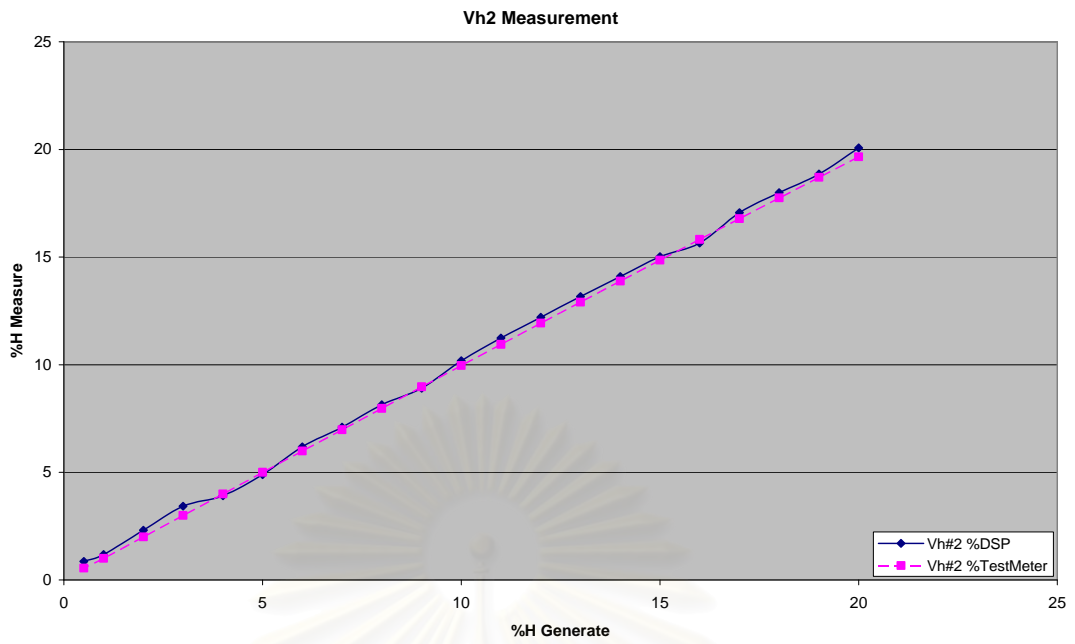


รูปที่ 5-5 กราฟตัวอย่างรูปคลื่นแรงดันและสเปกตรัมฮาร์มอนิกบนโปรแกรม GUI

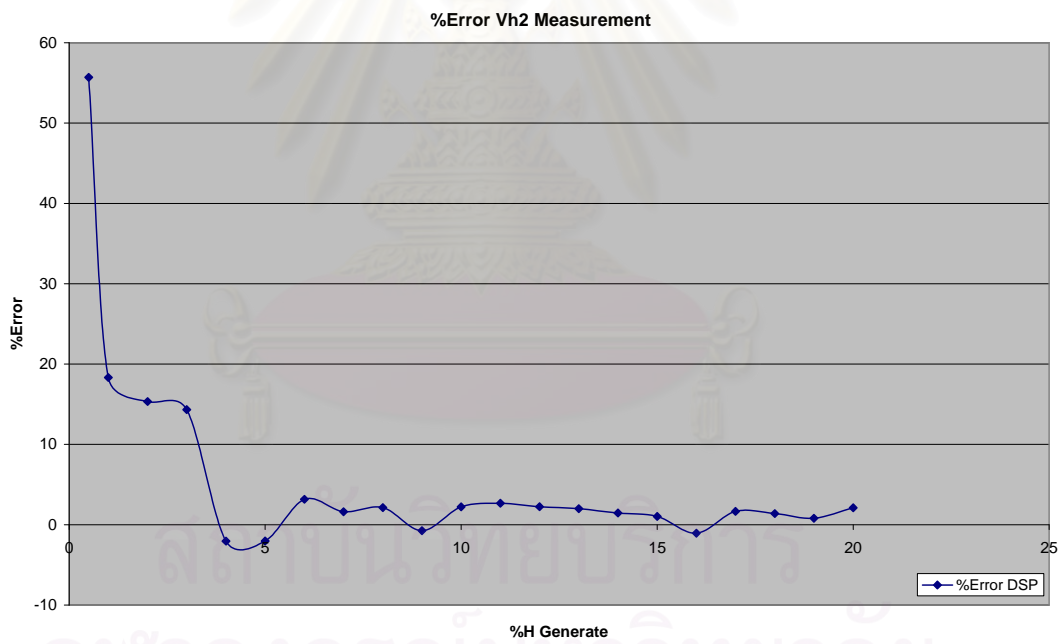
ปริมาณฮาร์มอนิกที่ได้จากเครื่องวัดคุณภาพไฟฟ้าที่พัฒนาขึ้น จะถูกนำไปเปรียบเทียบกับค่าที่ได้จากมิเตอร์อ้างอิง ดังหน้าจอในรูปที่ 5-6 ณ เวลาเดียวกัน ผลการวัดปริมาณฮาร์มอนิกและความคลาดเคลื่อนในสัญญาณแรงดันเป็นดังกราฟในรูปที่ 5-7 ถึง รูปที่ 5-18



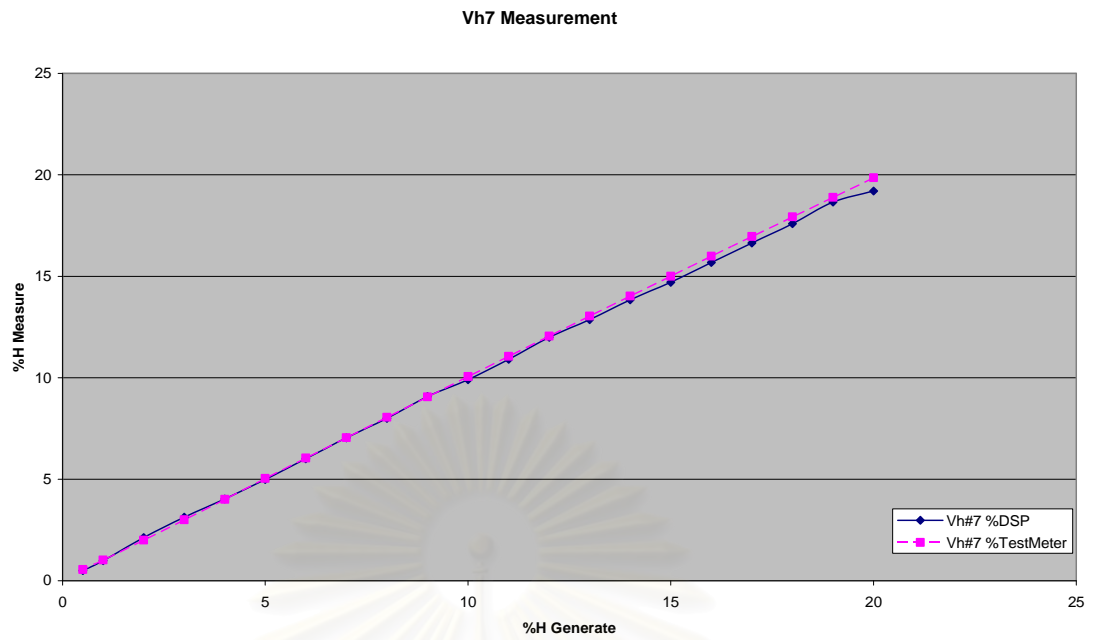
รูปที่ 5-6 หน้าจอแสดงผลการวัดปริมาณฮาร์มอนิกจากมิเตอร์อ้างอิง



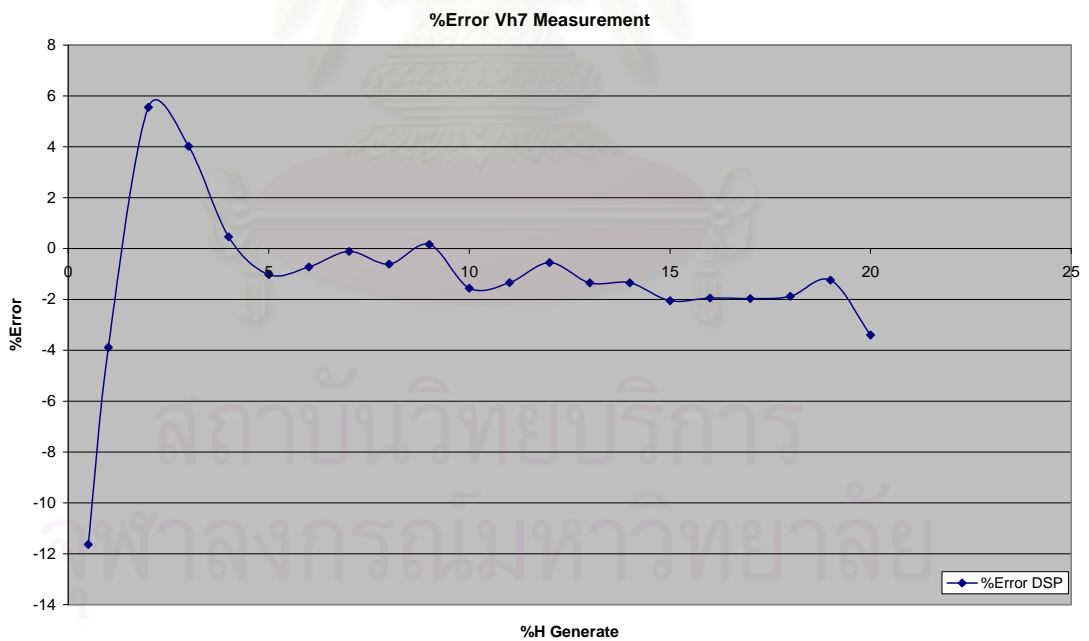
รูปที่ 5-7 กราฟแสดงผลการวัดแรงดันฮาร์มอนิกอันดับ 2



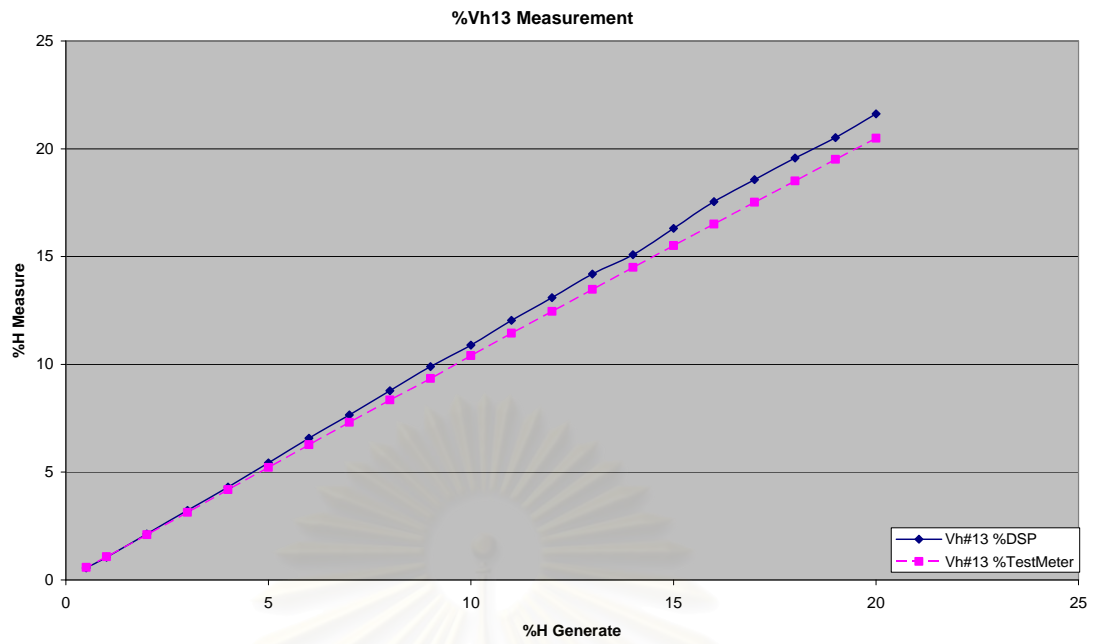
รูปที่ 5-8 กราฟแสดงค่า%ความคลาดเคลื่อนในการวัดแรงดันฮาร์มอนิกอันดับ 2



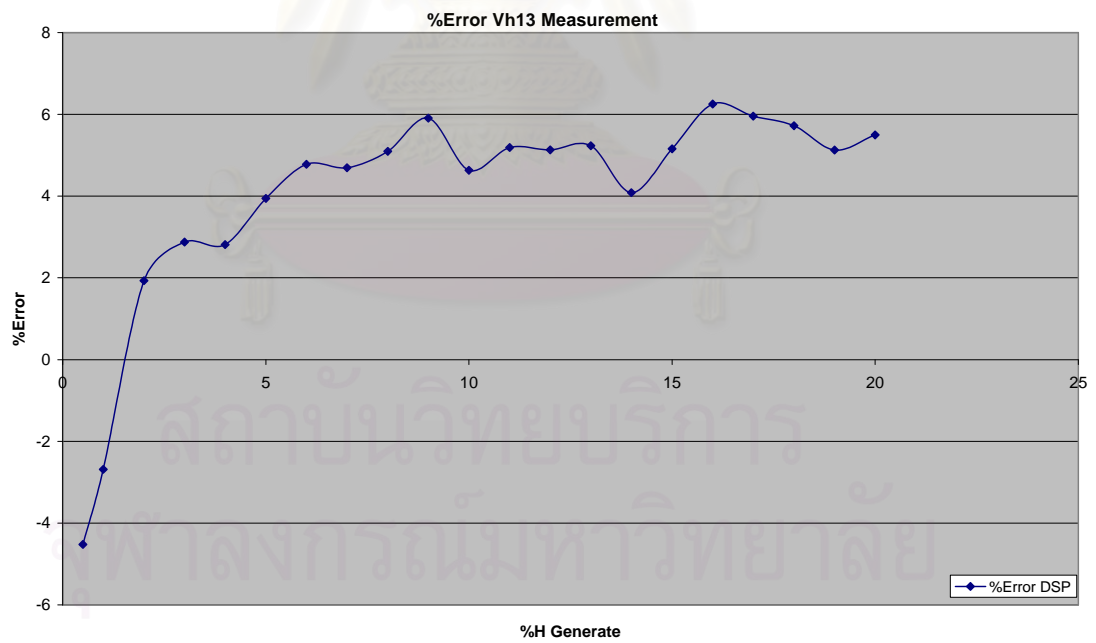
รูปที่ 5-9 กราฟแสดงผลการวัดแรงดันฮาร์มอนิกอันดับ 7



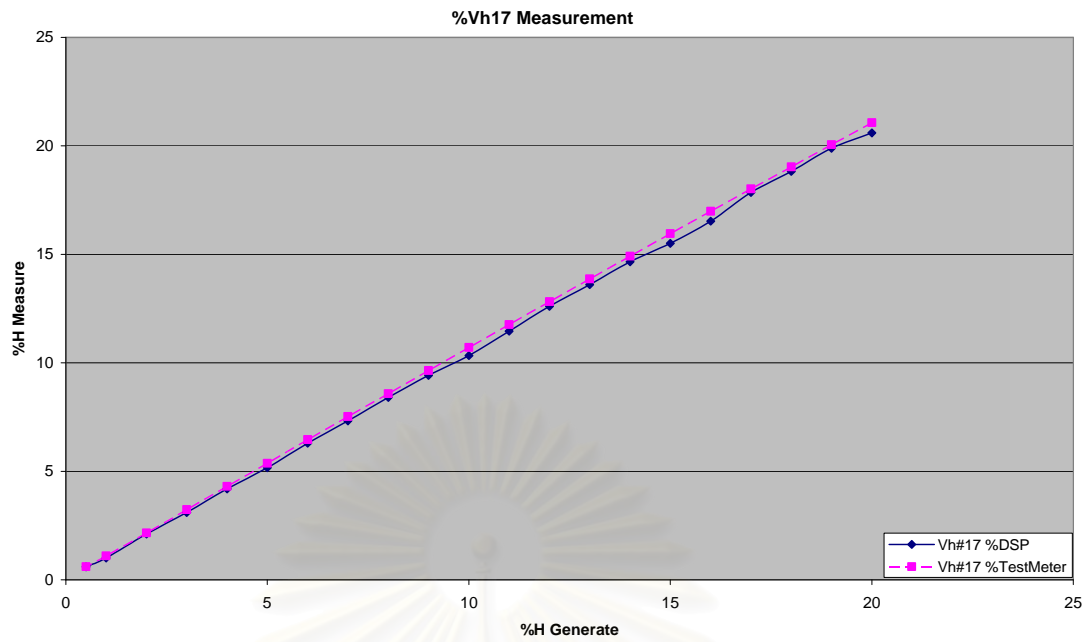
รูปที่ 5-10 กราฟแสดงค่า%ความคลาดเคลื่อนในการวัดแรงดันฮาร์มอนิกอันดับ 7



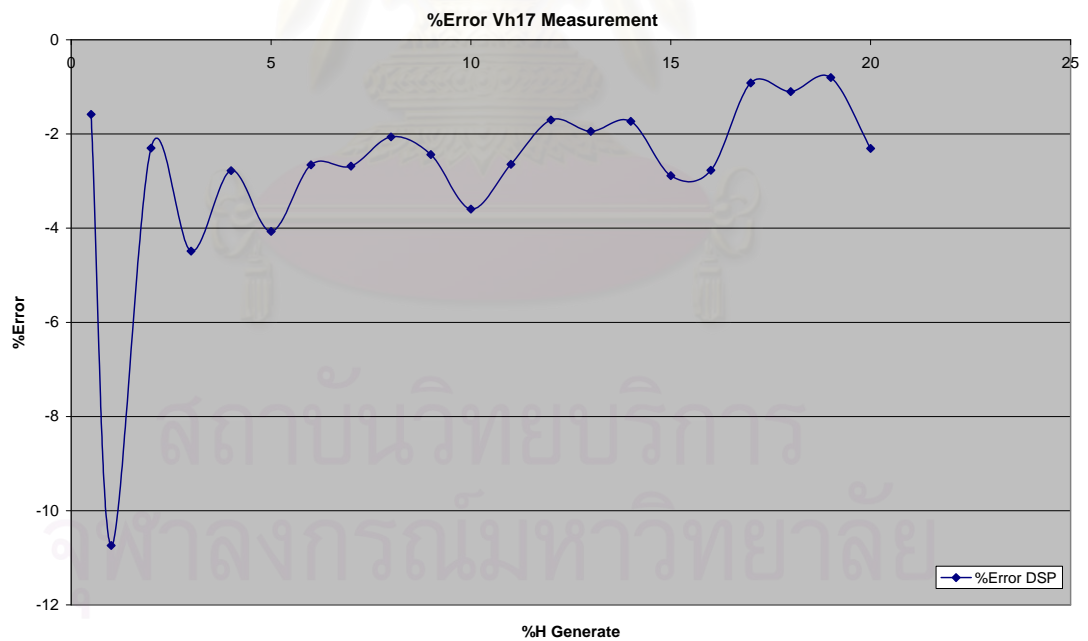
รูปที่ 5-11 กราฟแสดงผลการวัดแรงดันฮาร์มอนิกอันดับ 13



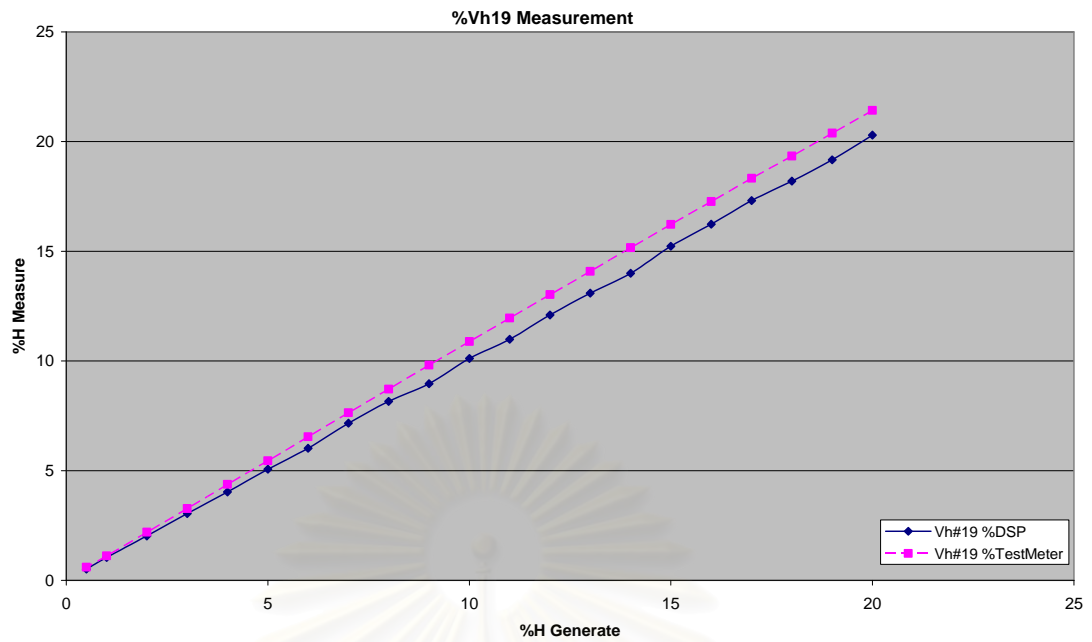
รูปที่ 5-12 กราฟแสดงค่า%ความคลาดเคลื่อนในการวัดแรงดันฮาร์มอนิกอันดับ 13



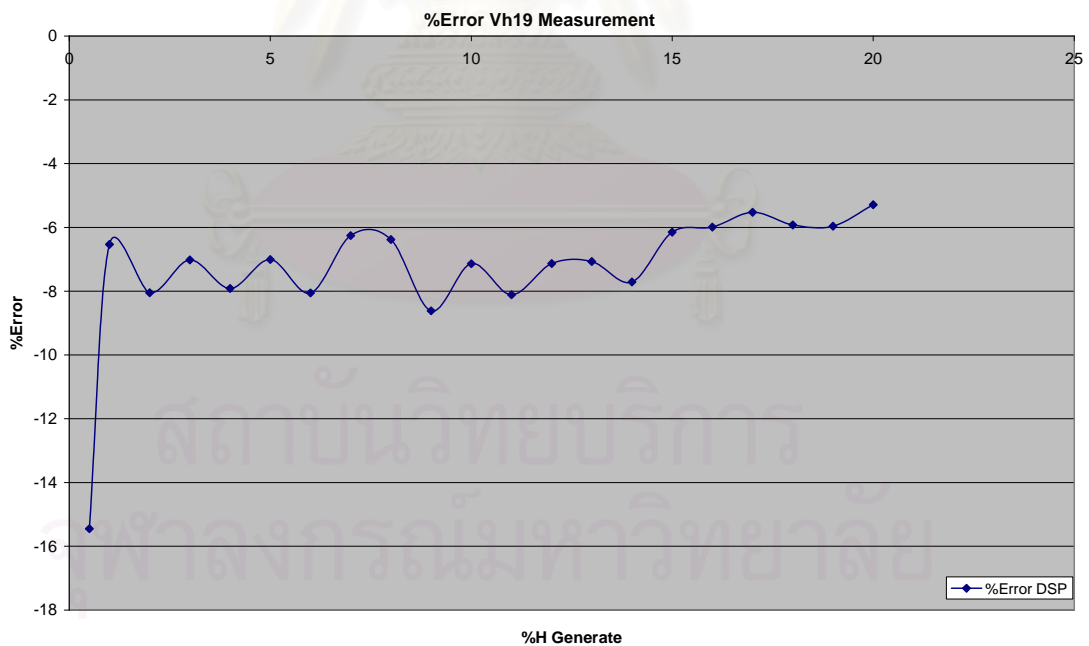
รูปที่ 5-13 กราฟแสดงผลการวัดแรงดันฮาร์มอนิกอันดับ 17



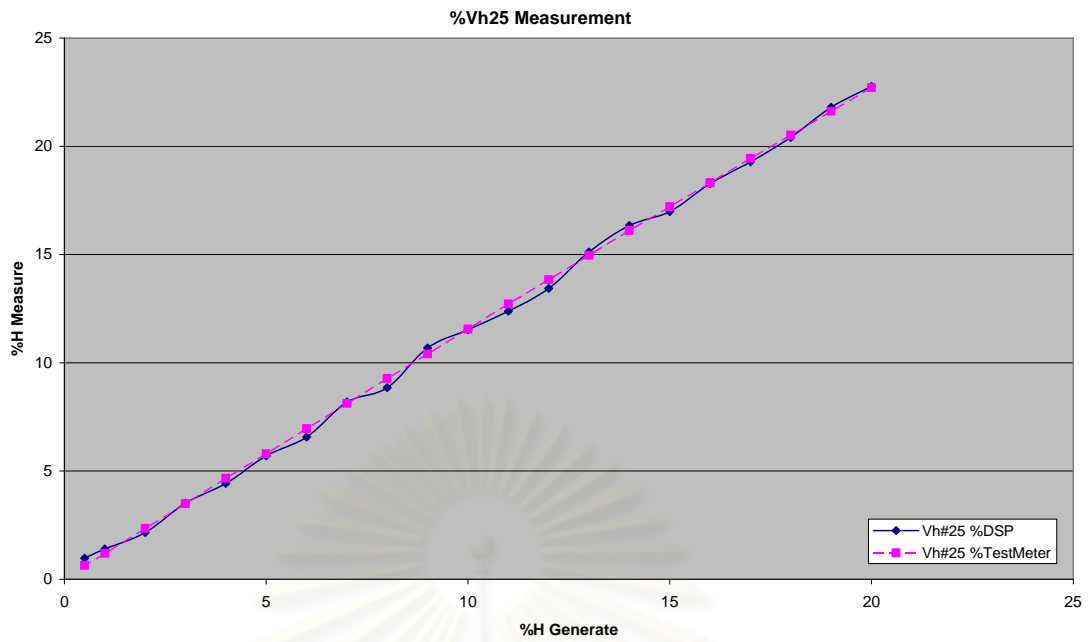
รูปที่ 5-14 กราฟแสดงค่า%ความคลาดเคลื่อนในการวัดแรงดันฮาร์มอนิกอันดับ 17



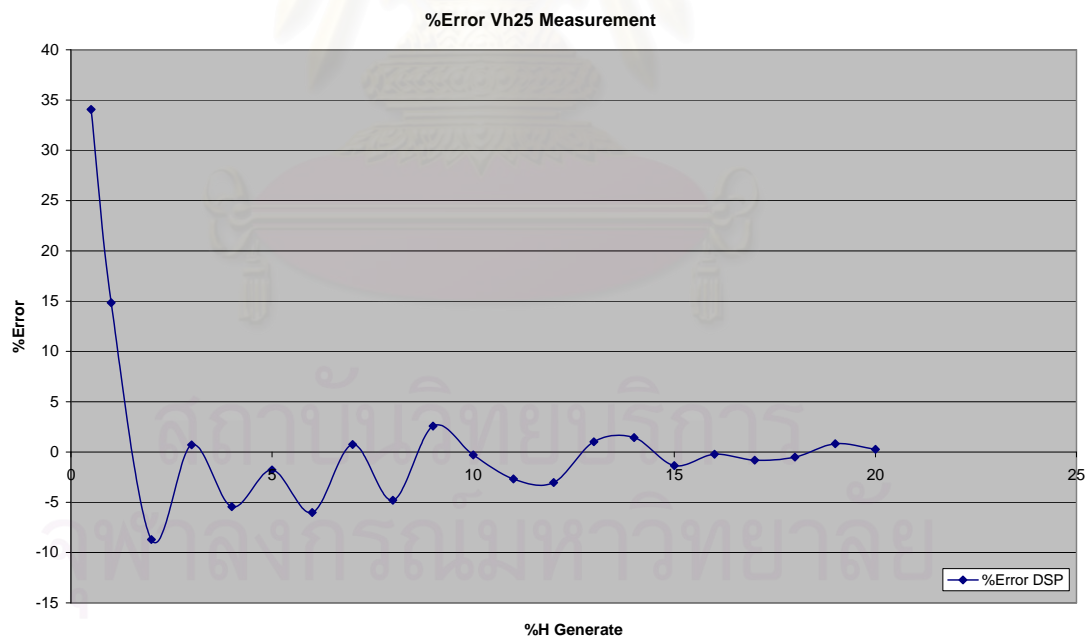
รูปที่ 5-15 กราฟแสดงผลการวัดแรงดันฮาร์มอนิกอันดับ 19



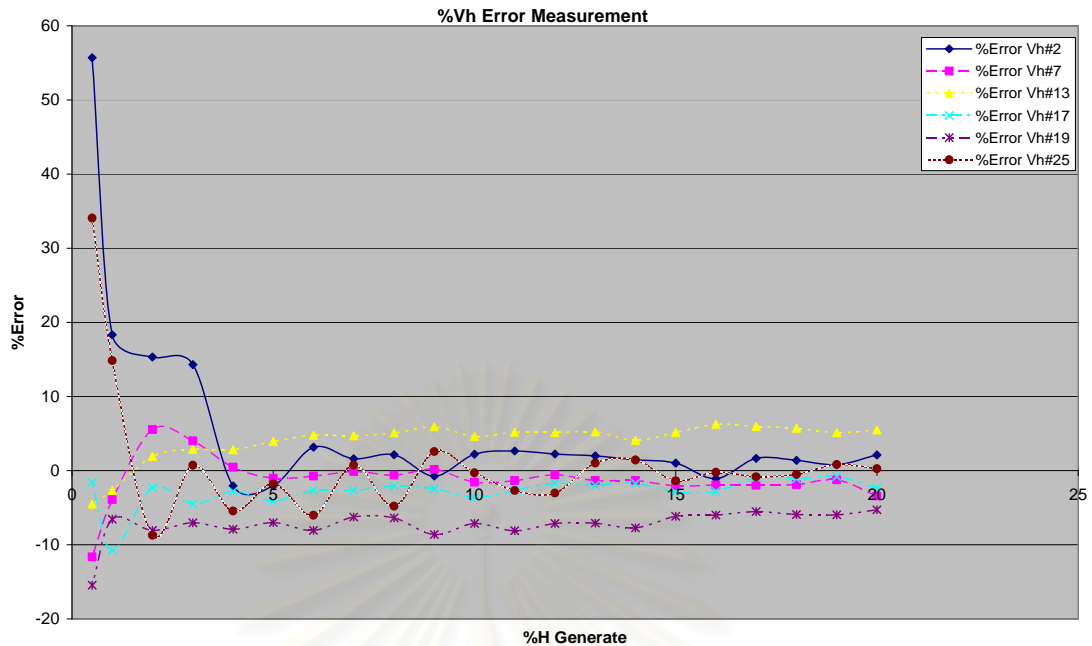
รูปที่ 5-16 กราฟแสดงค่า%ความคลาดเคลื่อนในการวัดแรงดันฮาร์มอนิกอันดับ 19



รูปที่ 5-17 กราฟแสดงผลการวัดแรงดันฮาร์มอนิกอันดับ 25



รูปที่ 5-18 กราฟแสดงค่า%ความคลาดเคลื่อนในการวัดแรงดันฮาร์มอนิกอันดับ 25



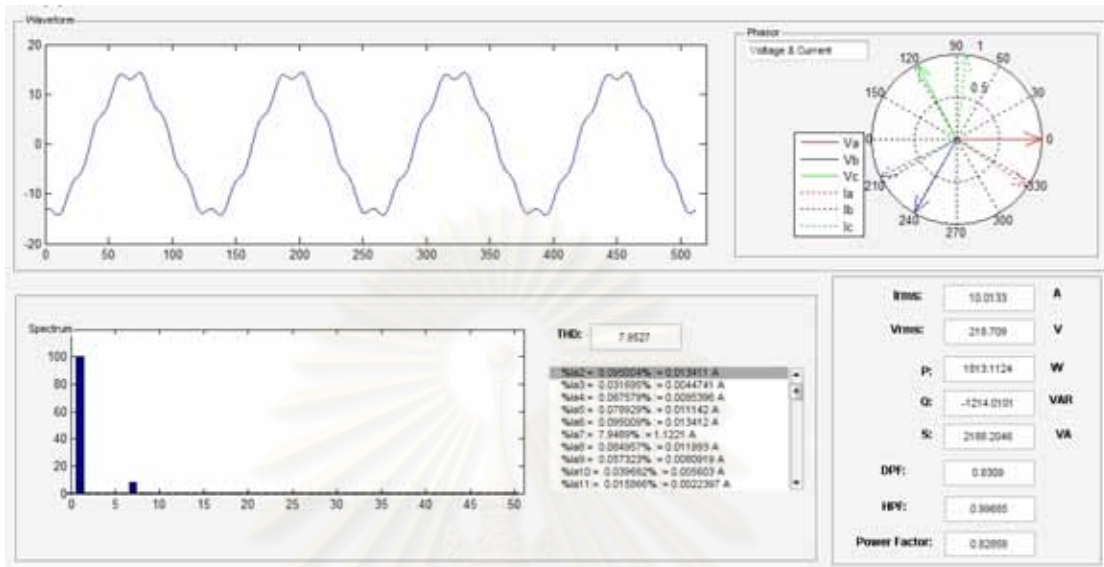
รูปที่ 5-19 กราฟเปรียบเทียบค่า%ความคลาดเคลื่อนในการวัดแรงดันฮาร์มอนิกส์

เมื่อนำผลความคลาดเคลื่อนในการวัดฮาร์มอนิกส์ในสัญญาณแรงดันสลับมาวาดกราฟรวมกัน ได้ดังรูปที่ 5-19 ค่าความคลาดเคลื่อนของการวัดปริมาณฮาร์มอนิกส์ในสัญญาณแรงดันสลับของทุกๆฮาร์มอนิกส์ จะมีค่ามากและไม่คงที่ในช่วงที่มีปริมาณฮาร์มอนิกส์อยู่ 0% - 3% และจะมีค่าน้อยลงและมีการเปลี่ยนแปลงของค่าความคลาดเคลื่อนน้อยลงเมื่อสัญญาณมีปริมาณฮาร์มอนิกส์ตั้งแต่ 3% ขึ้นไป เนื่องจากปริมาณฮาร์มอนิกส์ที่วัดจากมิเตอร์อ้างอิงเป็นค่าร้อยละ THD_V ทำให้มีการรวมผลของฮาร์มอนิกส์อันดับอื่นๆ ซึ่งมีปริมาณน้อยมากเมื่อเทียบกับปริมาณฮาร์มอนิกส์ที่สร้างขึ้นจากเครื่องจ่ายโหลด แต่จะส่งผลกระทบต่อการวัดฮาร์มอนิกส์ในบางอันดับ ทำให้ผลการวัดปริมาณฮาร์มอนิกส์จากมิเตอร์อ้างอิงมีค่ามากกว่าค่าที่วัดจากเครื่องวัดคุณภาพไฟฟ้า ซึ่งวัดปริมาณของฮาร์มอนิกส์นั้นจริงๆ โดยรวมแล้วผลการวัดฮาร์มอนิกส์ในสัญญาณแรงดันสลับมีค่าใกล้เคียงกับเครื่องวัดคุณภาพไฟฟ้าและมิเตอร์อ้างอิงมีค่าใกล้เคียงกับปริมาณฮาร์มอนิกส์ที่กำหนดไว้จากเครื่องจ่ายโหลด

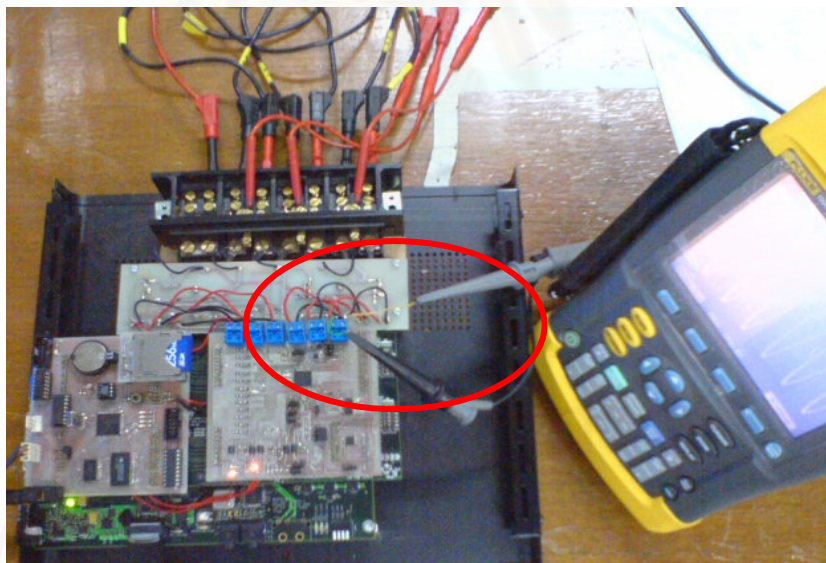
5.1.2. การทดสอบวัดปริมาณฮาร์มอนิกส์ในสัญญาณกระแสไฟฟ้าสลับ

เครื่องจ่ายโหลดพลังงานไฟฟ้าเสมือนจะถูกตั้งให้จ่ายฮาร์มอนิกส์อันดับต่างๆออกทางช่องสัญญาณกระแส เครื่องวัดคุณภาพไฟฟ้าจะนำสัญญาณกระแสไปวิเคราะห์หาปริมาณฮาร์มอนิกส์และแสดงผลบนโปรแกรม GUI ดังรูปที่ 5-20 เนื่องจากสัญญาณกระแสที่วัดต้องผ่านหม้อแปลงกระแสก่อนเข้าชีพแปลงสัญญาณแอนะล็อกเป็นดิจิทัล การทดสอบวัดปริมาณฮาร์มอนิกส์ในสัญญาณกระแสไฟฟ้าสลับจะใช้หัวตรวจ (Probe) ร่วมกับเครื่องวัดคลื่นแรงดันไฟฟ้า Fluke

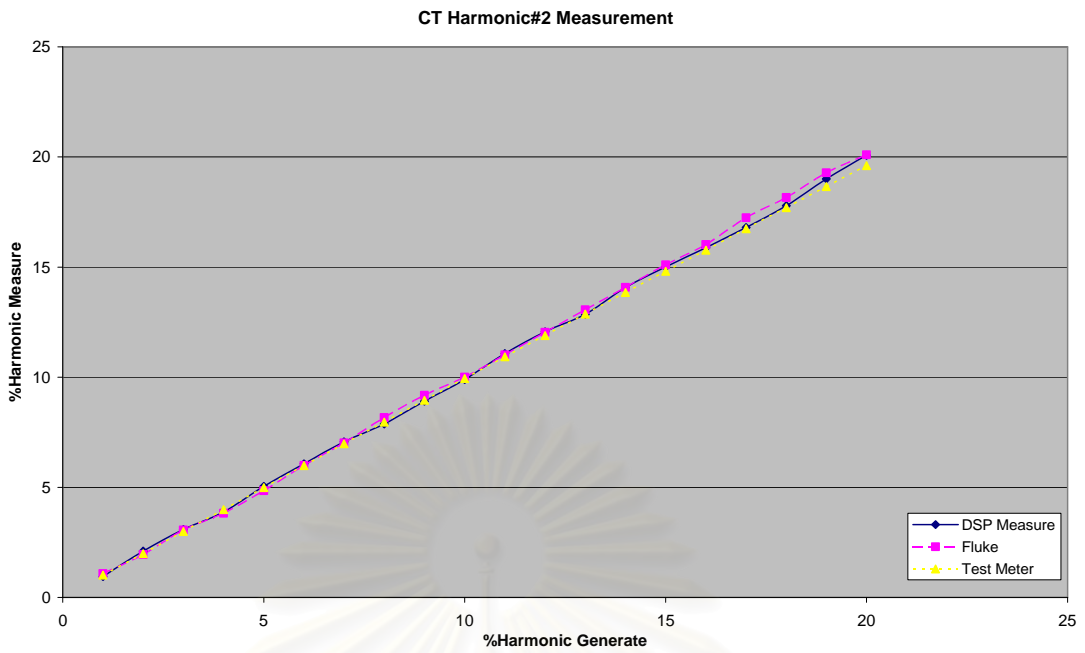
199C Scopemeter มาวัดสัญญาณที่ทางเข้า A/D เพิ่มอีกหนึ่งจุด ดังแสดงในรูปที่ 5-21 เพื่อดูผลของหม้อแปลงกระแสที่มีต่อการวัดสัญญาณฮาร์มอนิกส์อันดับต่างๆของสัญญาณกระแสไฟฟ้าสลับ ผลการวัดจะเป็นดังกราฟในรูปที่ 5-22 ถึง รูปที่ 5-31



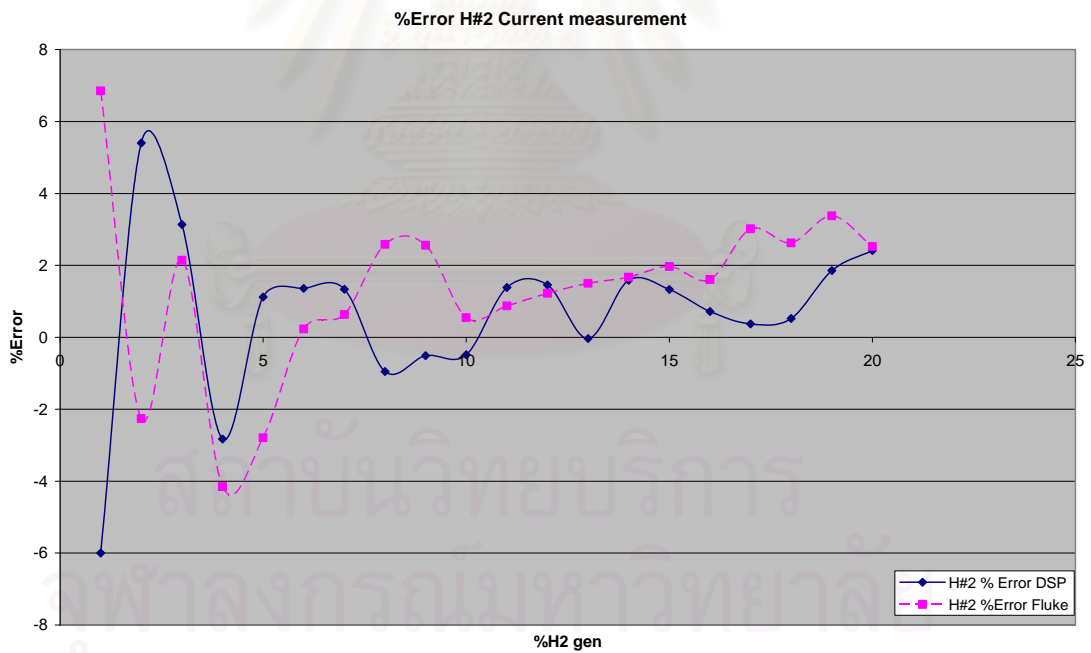
รูปที่ 5-20 กราฟตัวอย่างรูปคลื่นกระแสและสเปกตรัมฮาร์มอนิกส์บนโปรแกรม GUI



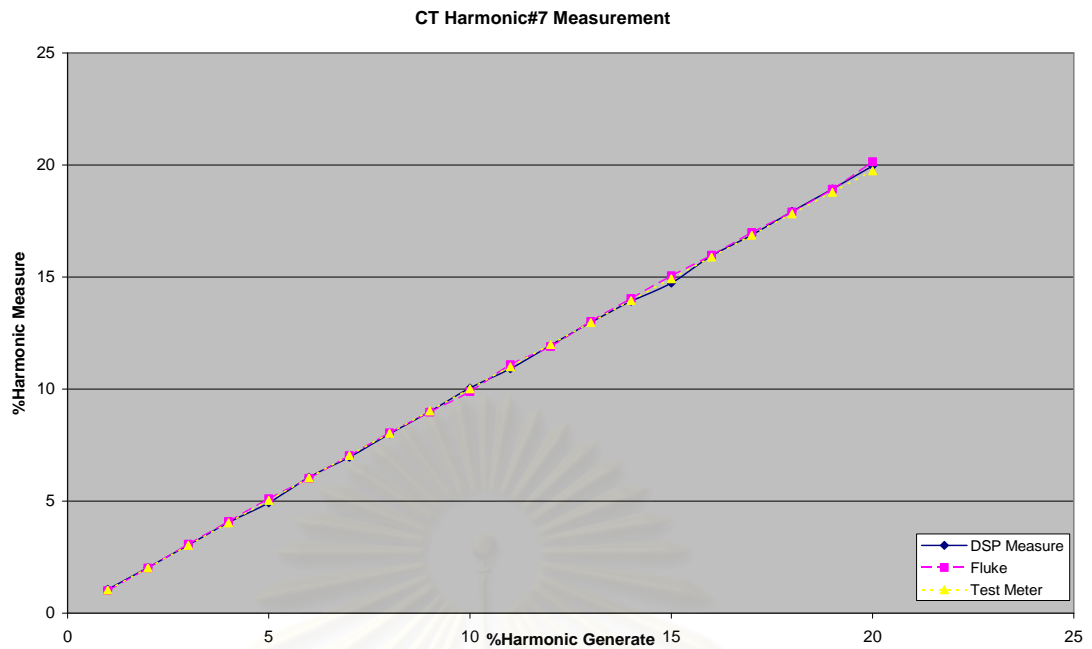
รูปที่ 5-21 การวัดฮาร์มอนิกส์ในสัญญาณกระแสไฟฟ้าสลับที่ทางเข้าชิพ A/D ADS8364



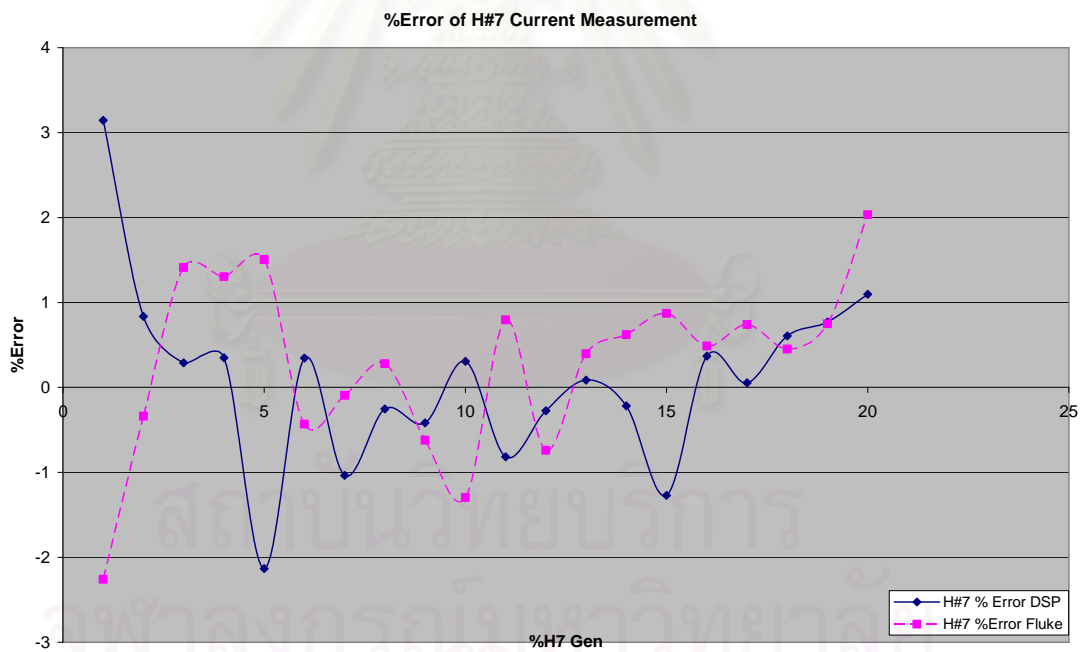
รูปที่ 5-22 กราฟแสดงผลการวัดกระแสฮาร์มอนิกอันดับ 2



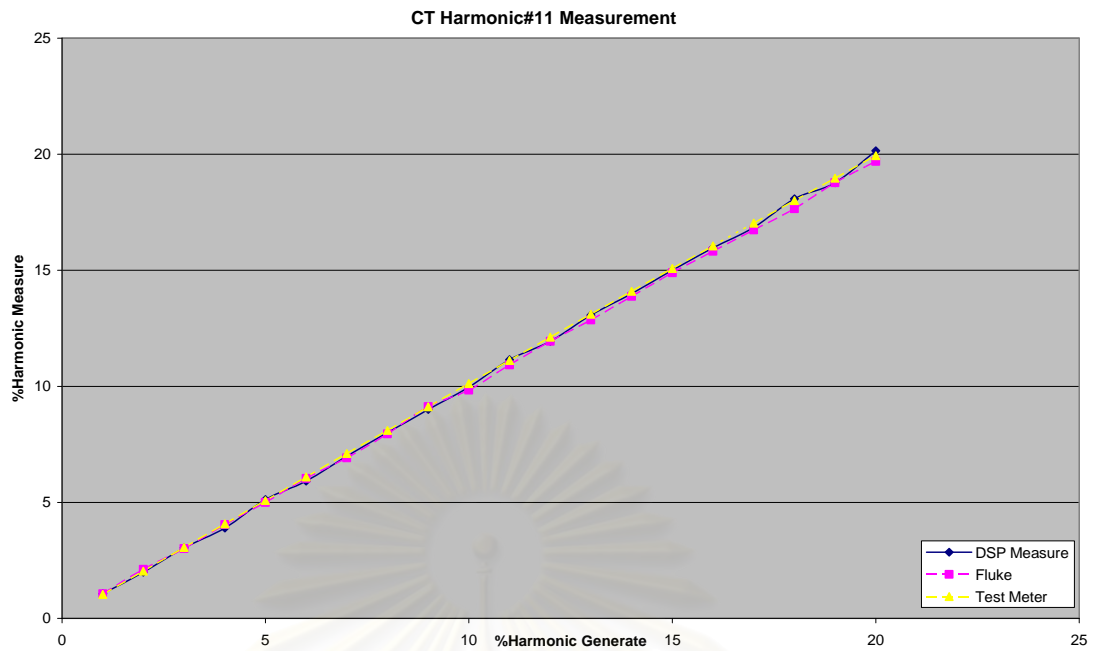
รูปที่ 5-23 กราฟแสดงค่า%ความคลาดเคลื่อนในการวัดกระแสฮาร์มอนิกอันดับ 2



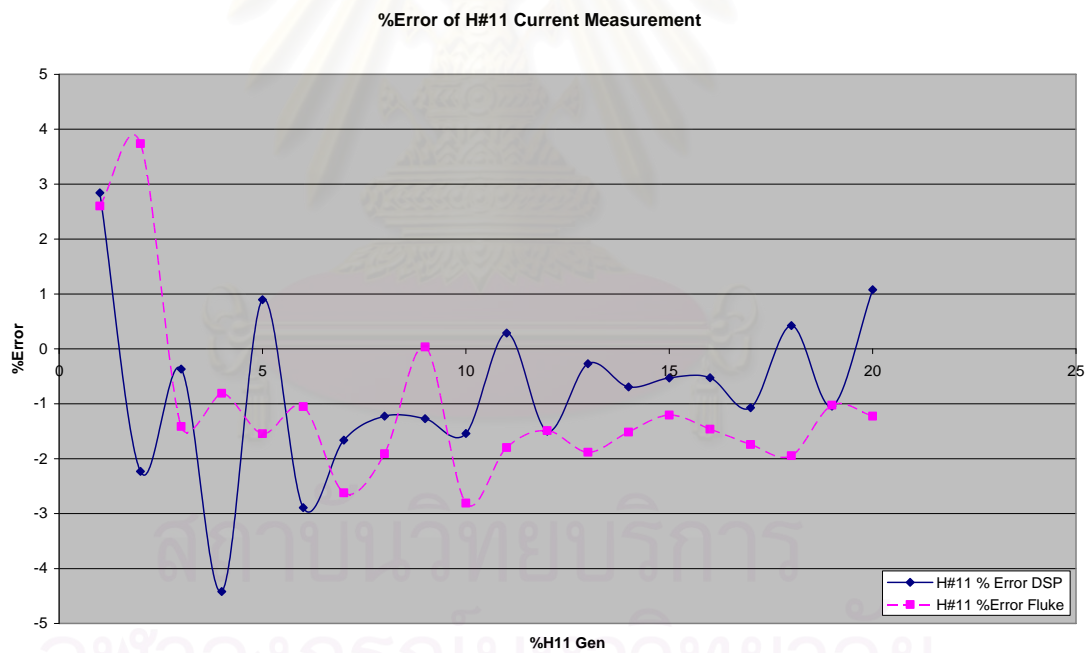
รูปที่ 5-24 กราฟแสดงผลการวัดกระแสฮาร์มอนิกอันดับที่ 7



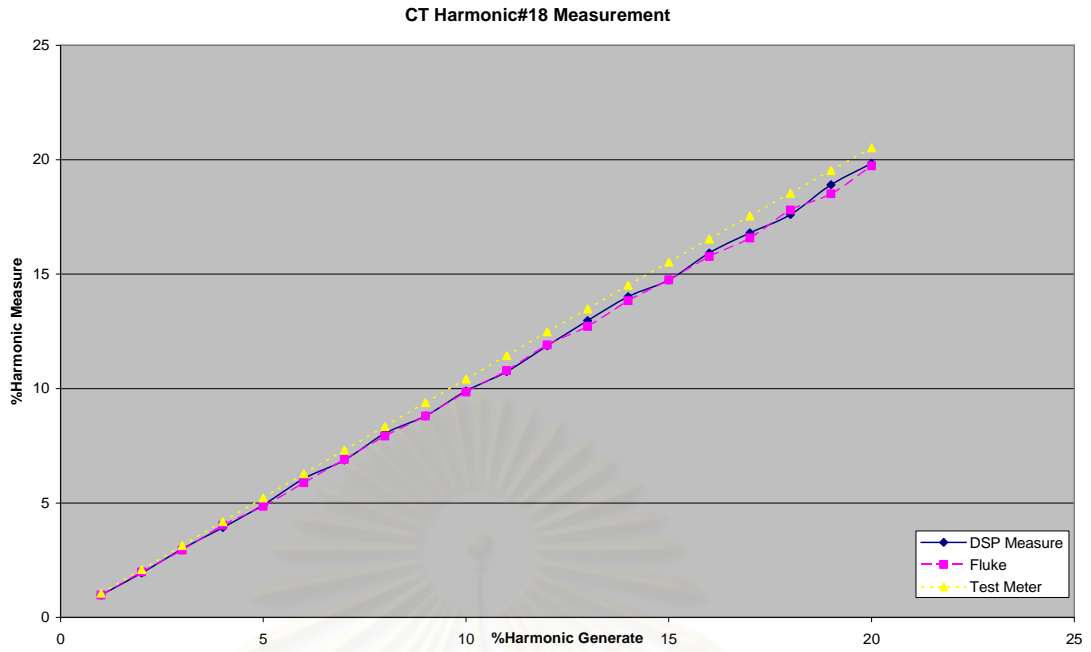
รูปที่ 5-25 กราฟแสดงค่า%ความคลาดเคลื่อนในการวัดกระแสฮาร์มอนิกอันดับ 7



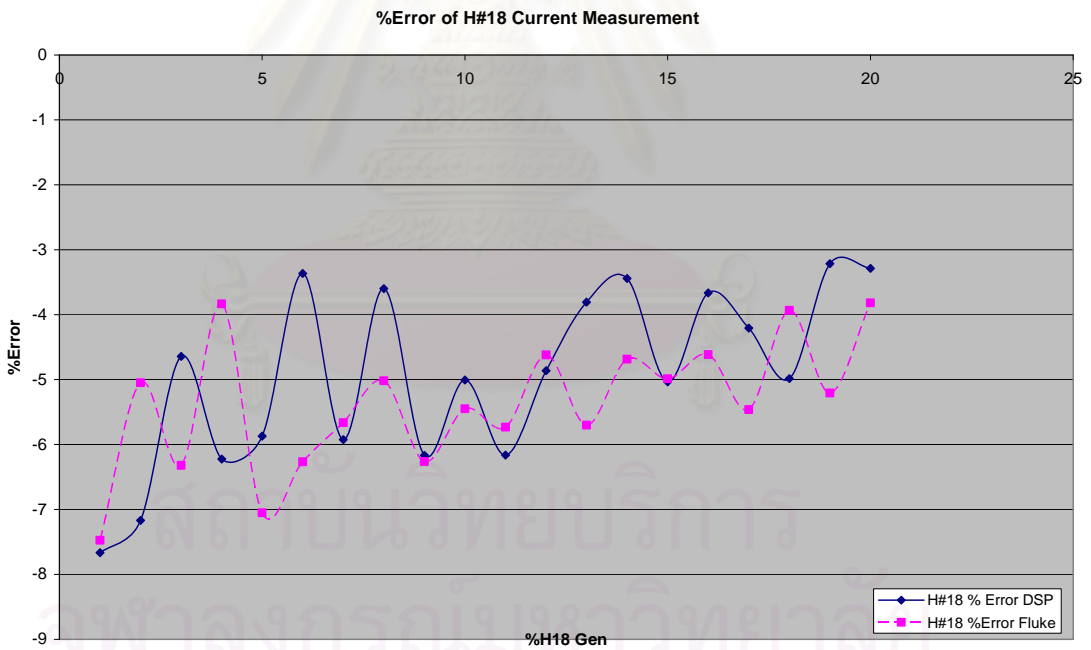
รูปที่ 5-26 กราฟแสดงผลการวัดกระแสฮาร์มอนิกอันดับ 11



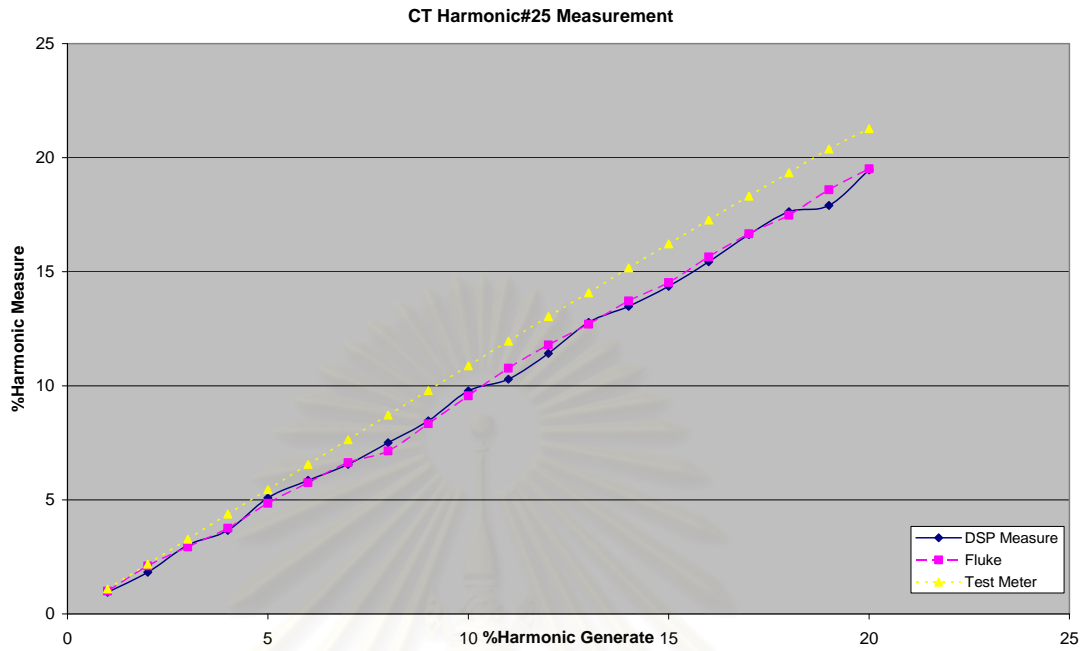
รูปที่ 5-27 กราฟแสดงค่า%ความคลาดเคลื่อนในการวัดกระแสฮาร์มอนิกอันดับ 11



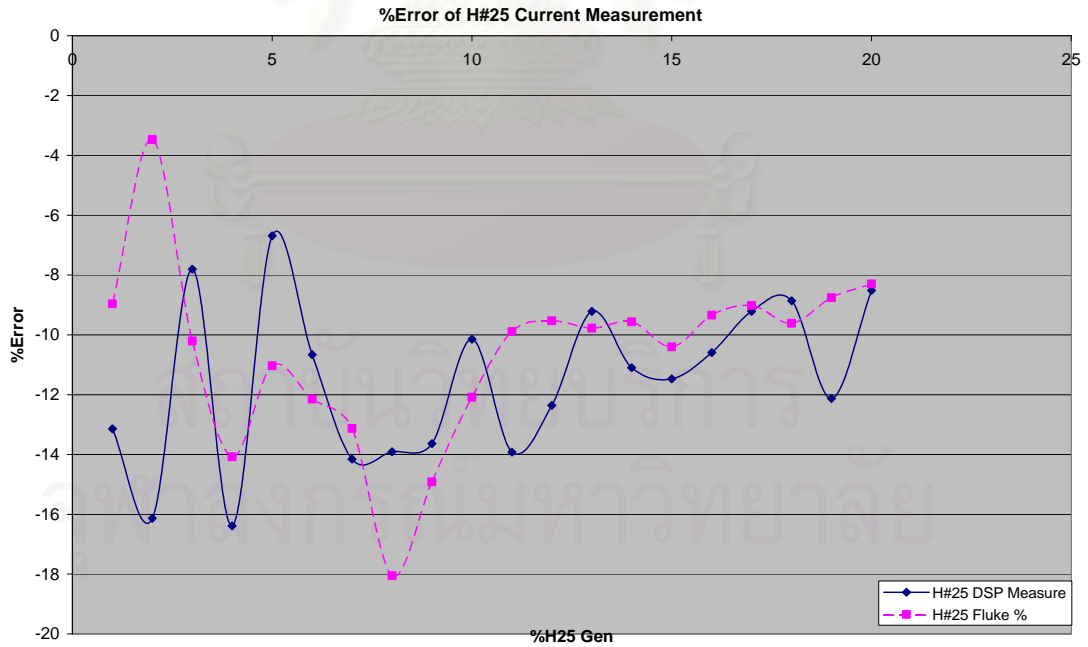
รูปที่ 5-28 กราฟแสดงผลการวัดกระแสฮาร์มอนิกอันดับ 18



รูปที่ 5-29 กราฟแสดงค่า%ความคลาดเคลื่อนในการวัดกระแสฮาร์มอนิกอันดับ 18



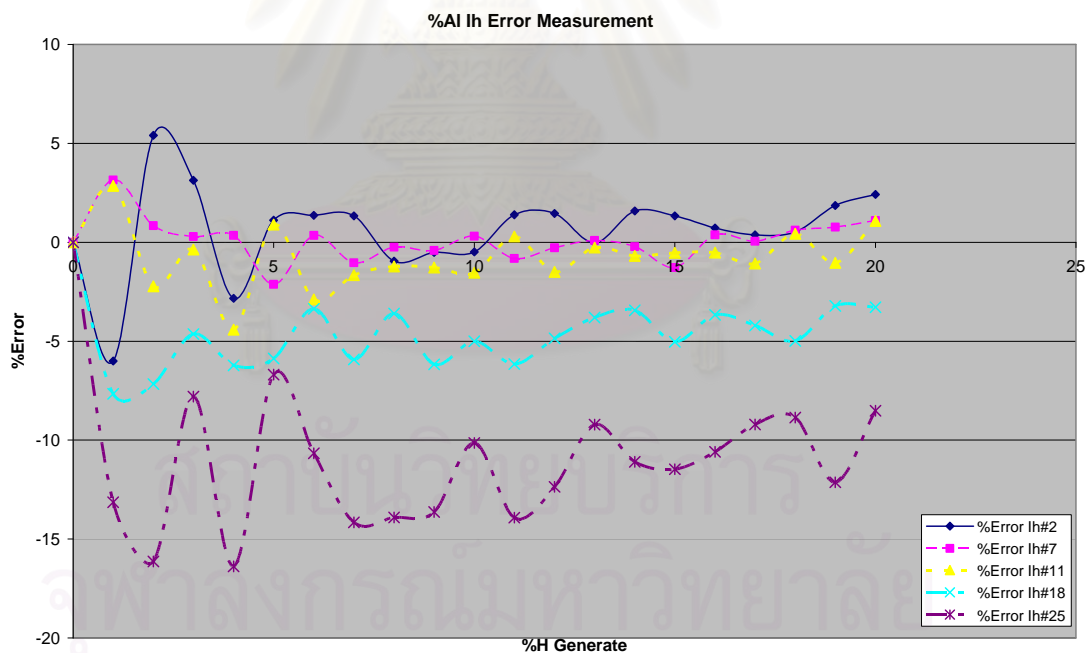
รูปที่ 5-30 กราฟแสดงผลการวัดกระแสฮาร์มอนิกอันดับ 25



รูปที่ 5-31 กราฟแสดงค่า%ความคลาดเคลื่อนในการวัดกระแสฮาร์มอนิกอันดับ 25

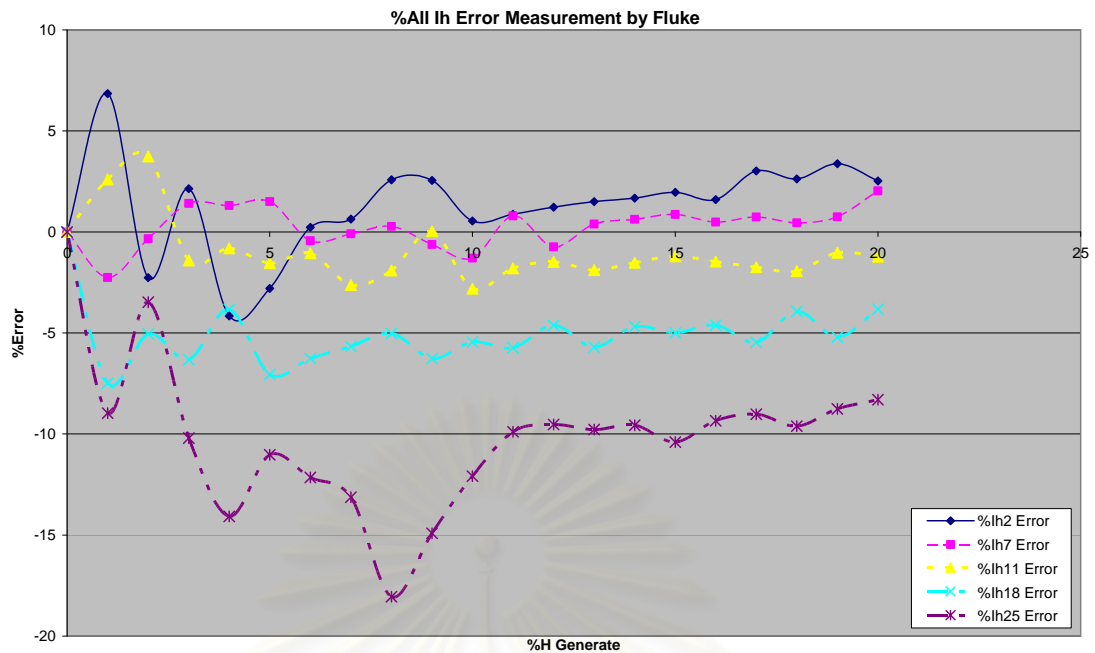
จากการทดสอบวัดปริมาณฮาร์มอนิกส์ในกระแสไฟฟ้าสลับ ผลของหม้อแปลงกระแสที่เปลี่ยนแปลงตามความถี่ของสัญญาณจะไม่ส่งผลกระทบต่อการวัดฮาร์มอนิกส์อันดับที่ 2 ถึง 17 เห็นได้จากกราฟในรูปที่ 5-22 ถึง รูปที่ 5-27 ปริมาณฮาร์มอนิกส์ที่วัดได้จากเครื่องวัดคุณภาพไฟฟ้าที่พัฒนาขึ้น, Fluke 199C และมิเตอร์อ้างอิงมีค่าใกล้เคียงกัน ผลของหม้อแปลงกระแสที่มีต่อความถี่สัญญาณ จะทำให้การวัดปริมาณฮาร์มอนิกส์จากเครื่องวัดคุณภาพไฟฟ้าและมิเตอร์อ้างอิงมีค่าแตกต่างกันมากขึ้นตั้งแต่ฮาร์มอนิกส์อันดับที่ 18 ขึ้นไป ค่าความคลาดเคลื่อนในการวัดจะมีค่ามากขึ้นดังแสดงในรูปที่ 5-28 ถึง รูปที่ 5-31

หากไม่คิดถึงผลของหม้อแปลงกระแส พิจารณาเฉพาะผลการวัดปริมาณฮาร์มอนิกส์จากเครื่องวัดคุณภาพไฟฟ้ากับ Fluke 199C ผลการวัดจะมีค่าใกล้เคียงกันตลอดเวลา จะเห็นได้ชัดเจนเมื่อนำค่าความคลาดเคลื่อนในการวัดฮาร์มอนิกส์ในกระแสสลับที่ได้จากเครื่องวัดคุณภาพไฟฟ้าและเครื่องวัด Fluke 199C มาวาดกราฟรวมกัน ดังแสดงในรูปที่ 5-32 และ รูปที่ 5-33 มีค่าความคลาดเคลื่อนและแนวโน้มการเปลี่ยนแปลงคล้ายกัน แสดงว่าอัลกอริทึม FFT Radix-2 ที่ใช้ในเครื่องวัดคุณภาพไฟฟ้าสามารถวัดปริมาณฮาร์มอนิกส์อันดับต่างๆในสัญญาณได้ใกล้เคียงกับเครื่องวัด Fluke 199C



รูปที่ 5-32 กราฟเปรียบเทียบค่า%ความคลาดเคลื่อนในการวัดกระแสฮาร์มอนิกส์ของเครื่องวัด

คุณภาพไฟฟ้าที่พัฒนาขึ้น



รูปที่ 5-33 กราฟเปรียบเทียบค่า%ความคลาดเคลื่อนในการวัดกระแสฮาร์มอนิกส์ของ

เครื่องวัด Fluke 199C

5.2. การทดสอบวิเคราะห์หาทิศทางของแหล่งกำเนิดฮาร์มอนิกส์

การทดสอบในส่วนนี้จะนำอัลกอริทึมหาทิศทางแหล่งกำเนิดฮาร์มอนิกส์ด้วยวิธีพิจารณาจากเครื่องหมาย CI และ วิธีพิจารณากำลังไฟฟ้าจริงขณะนั้นมาทดสอบหาทิศทาง (p_h) มาใช้และเปรียบเทียบผลการทดสอบ โดยจะแบ่งวงจรทดสอบออกเป็น 2 กรณีดังนี้

1. แหล่งกำเนิดฮาร์มอนิกส์อยู่ทางด้านผู้ใช้ไฟฟ้า
2. แหล่งกำเนิดฮาร์มอนิกส์อยู่ทางด้านแหล่งจ่ายไฟฟ้า

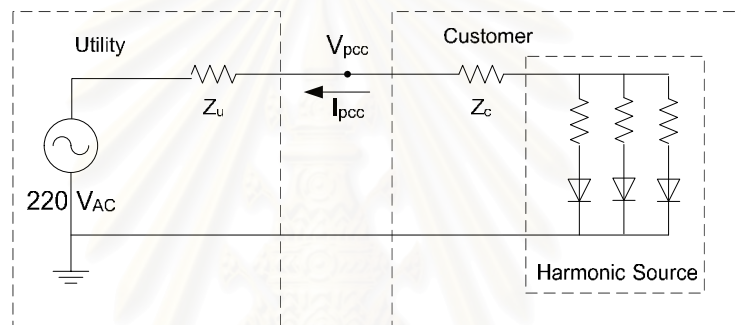
โดยมีข้อกำหนดเพิ่มเติมดังนี้

1. จากการนิยามดัชนี $CI = 2 \frac{Q}{I^2}$ เครื่องหมายของ CI จะเปลี่ยนตามเครื่องหมายของ Q ที่หามาได้ ดังนั้นการทดสอบหาทิศทางของแหล่งกำเนิดฮาร์มอนิกส์โดยพิจารณาเครื่องหมายของ CI จะพิจารณาเฉพาะเครื่องหมายของ Q วัดได้ ณ จุดวัด
2. จากการทดลองวัดปริมาณฮาร์มอนิกส์ของแหล่งกำเนิดของแหล่งจ่ายไฟฟ้า (ในการทดลองนี้คือเต้าเสียบไฟบ้าน 220 AC) ปริมาณฮาร์มอนิกส์ในสัญญาณแรงดันมีน้อยมาก ทำให้มุมเฟสที่หาได้จากการทำ FFT มีค่าไม่แน่นอนส่งผลให้เครื่องหมายของ Q_h ใดๆที่คำนวณได้ ณ จุดวัดขณะจ่ายโหลด มีทิศกลับไปมาระหว่างบวกกับ

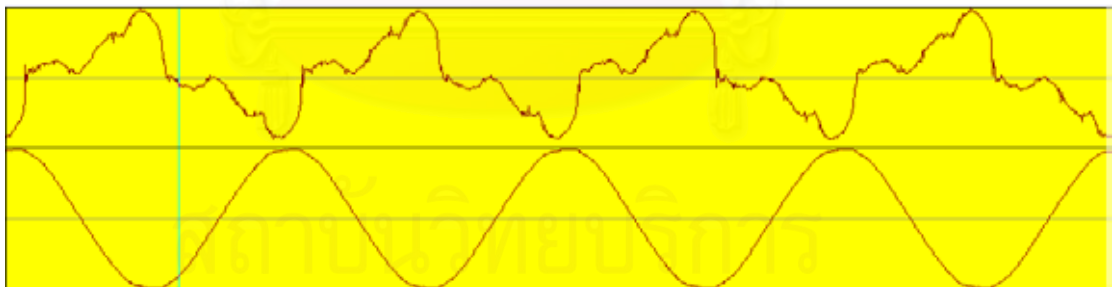
ลบ ทำให้ไม่สามารถนำเครื่องหมายของ Q มาพิจารณาทิศของแหล่งกำเนิดฮาร์มอนิกได้ ดังนั้นเครื่องหมายของ CI ที่ใช้พิจารณาจะเป็นเครื่องหมายของ Q_h รวมที่ตัด Q_7 ที่ความถี่หลักมูลออกไปแล้ว

5.2.1. กรณีแหล่งกำเนิดฮาร์มอนิกอยู่ทางด้านผู้ใช้ไฟฟ้า

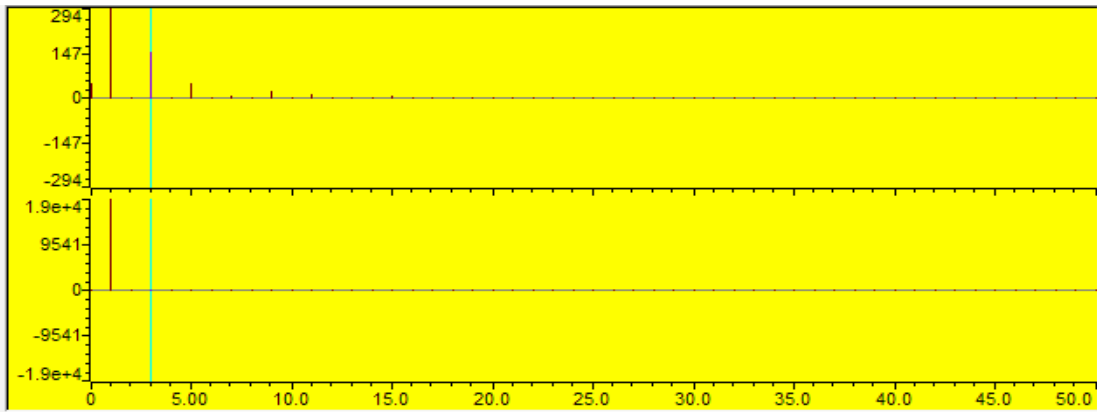
วงจรที่ใช้ทดสอบในกรณีนี้เป็นดังรูปที่ 5-34 เครื่องวัดคุณภาพไฟฟ้าจะถูกติดตั้งตรงจุดเชื่อมต่อระหว่างแหล่งจำหน่ายไฟฟ้า (ในการทดลองนี้คือเต้าเสียบไฟบ้าน 220 AC) โหลดที่นำมาใช้ทดสอบ เป็นโหลดที่ความสัมพันธ์ระหว่างกระแสกับแรงดันไม่เป็นเชิงเส้น ทำให้เกิดฮาร์มอนิกในกระแสดังนี้ หลอดไฟทังสเตนที่ต่ออยู่กับสวิตช์ไฟสูงไฟต่ำ (Dimmer Switch), หลอดไฟเรืองแสง (Fluorescent Lamp), โทรทัศน์, จอคอมพิวเตอร์แอลซีดี และเครื่องสำรองไฟ (UPS) จะได้รูปคลื่นและฮาร์มอนิกสเปกตรัมของกระแสและแรงดันดังรูปที่ 5-35 ถึงรูปที่ 5-40



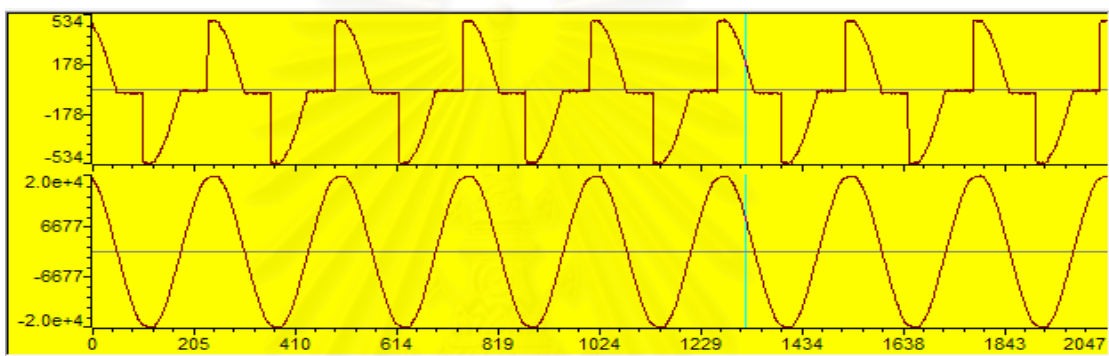
รูปที่ 5-34 วงจรทดสอบกรณีแหล่งกำเนิดฮาร์มอนิกอยู่ทางด้านผู้ใช้ไฟฟ้า



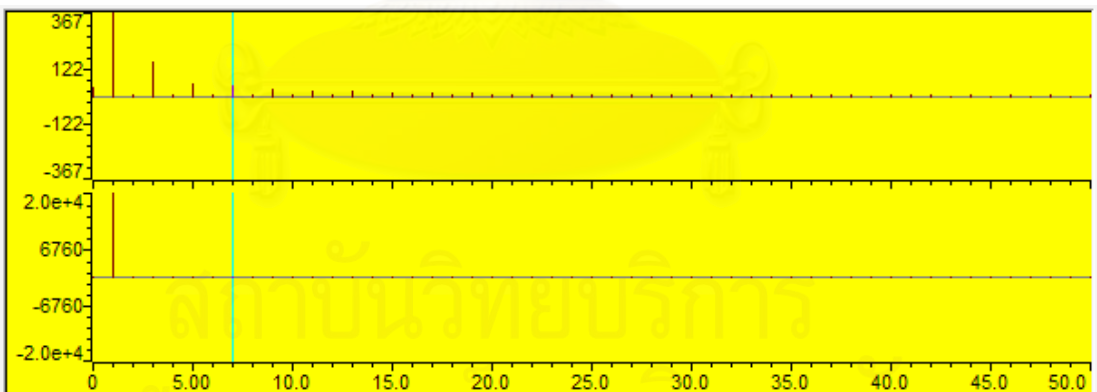
รูปที่ 5-35 รูปคลื่นกระแสและแรงดัน กรณีจ่ายโหลดเครื่องสำรองไฟ



รูปที่ 5-36 ฮาร์มอนิกสเปกตรัมของกระแสและแรงดัน กรณีจ่ายโหลดเครื่องสำอางไฟ

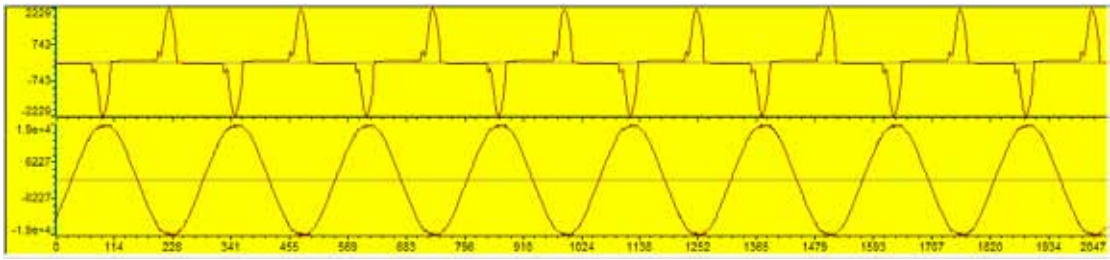


รูปที่ 5-37 รูปคลื่นกระแสและแรงดัน กรณีจ่ายโหลดหลอดไฟทั้งเสตนที่ต่ออยู่กับสวิตซ์ไฟสูงไฟต่ำ

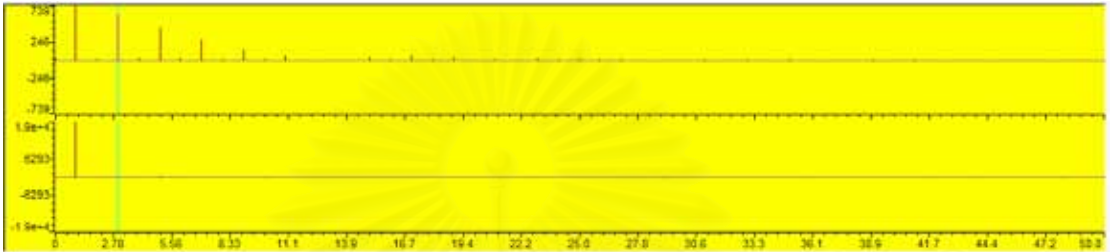


รูปที่ 5-38-ฮาร์มอนิกสเปกตรัมของกระแสและแรงดัน กรณีจ่ายโหลด

หลอดไฟทั้งเสตนที่ต่ออยู่กับสวิตซ์ไฟสูงไฟต่ำ



รูปที่ 5-39 รูปคลื่นกระแสและแรงดัน กรณีจ่ายโหลดหลอดไฟเรืองแสง, จอแอลซีดี และ โทรทัศน์



รูปที่ 5-40 ฮาร์มอนิกสเปกตรัมของกระแสและแรงดัน กรณีจ่ายโหลดหลอดไฟเรืองแสง, จอแอลซีดี และ โทรทัศน์

เพื่อพิจารณาเครื่องหมายของ \overline{p}_h และ Q_h ที่คำนวณได้ ณ จุดวัดจะเป็นดังตารางที่ 5.1

| โหลด | เครื่องหมาย \overline{p}_h | เครื่องหมาย Q_h |
|--------------------------------------------|------------------------------|-------------------|
| เครื่องสำรวจไฟ | - | + |
| หลอดไฟที่ต่ออยู่กับสวิทช์ ไฟสูงไฟต่ำ | - | - |
| หลอดไฟเรืองแสง, จอแอล ซีดี และ โทรทัศน์ | - | + |

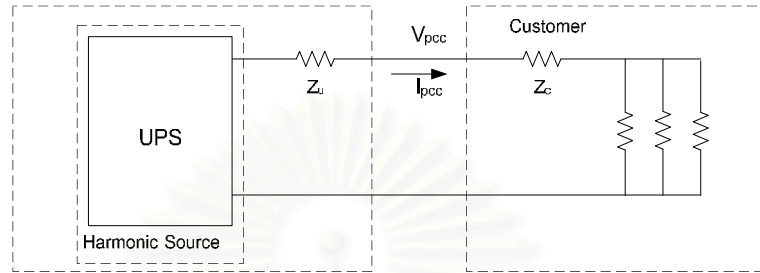
ตารางที่ 5.1 ตารางแสดงเครื่องหมาย \overline{p}_h และ Q_h กรณีแหล่งจ่าย 220V AC

เครื่องหมาย \overline{p}_h ที่ได้จากการทดลองนี้ทั้ง 3 กรณี มีค่าเครื่องหมายเป็นลบ แสดงว่าแหล่งกำเนิดฮาร์มอนิกอยู่ทางด้านผู้ใช้ไฟฟ้า ตรงตามวงจรถดสอบ เมื่อพิจารณาเครื่องหมาย Q_h ที่ได้จากการทดลองกรณีโหลดเป็นเครื่องสำรวจไฟและหลอดไฟเรืองแสง, จอแอลซีดี และ โทรทัศน์ มีเครื่องหมายเป็นบวก แสดงว่าแหล่งกำเนิดฮาร์มอนิกอยู่ทางด้านผู้ใช้ไฟฟ้า เมื่อทดลองใช้โหลดเป็นหลอดไฟทั้งเสตที่ต่ออยู่กับสวิทช์ไฟสูงไฟต่ำ จะได้เครื่องหมายเป็นลบ ซึ่งอยู่ในกรณีไม่สามารถสรุปได้ว่าแหล่งกำเนิดฮาร์มอนิกมาจากทิศทางไหนตามนิยามของการพิจารณา

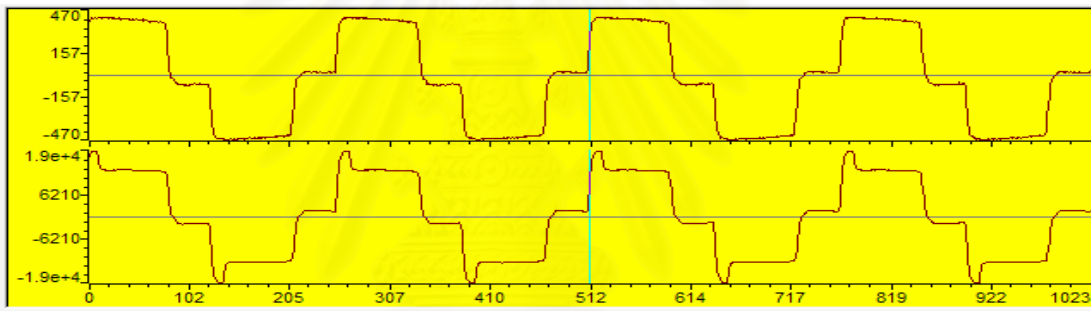
เครื่องหมาย CI

5.2.2. กรณีแหล่งกำเนิดฮาร์มอนิกอยู่ทางด้านแหล่งจำหน่ายไฟ

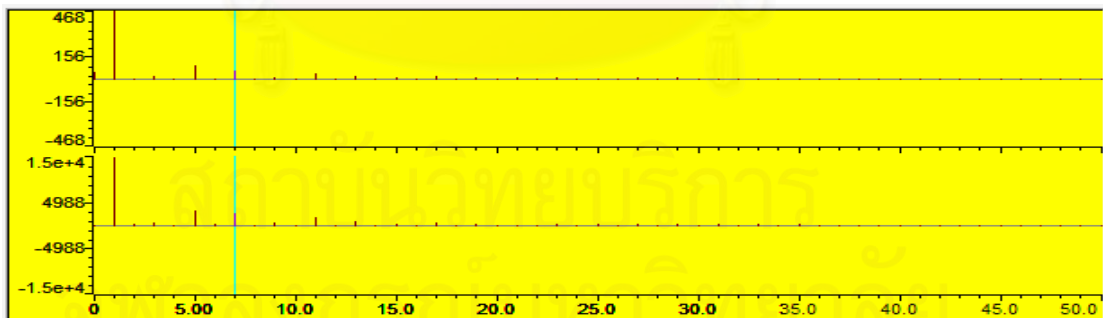
วงจรที่ใช้ทดสอบในกรณีนี้เป็นดังแสดงในรูปที่ 5-41 เครื่องวัดคุณภาพไฟฟ้าจะถูกติดตั้งตรงจุดเชื่อมต่อระหว่างแหล่งจำหน่ายไฟฟ้า (ในการทดลองนี้คือเครื่องจ่ายไฟสำรอง UPS) โหลดที่นำมาใช้ทดสอบ คือ หลอดไฟทั้งเสตน จะได้รูปคลื่นและฮาร์มอนิกสเปกตรัมของกระแสและแรงดันดังรูปที่ 5-42 และ รูปที่ 5-43



รูปที่ 5-41 วงจรทดสอบกรณีแหล่งกำเนิดฮาร์มอนิกอยู่ทางด้านแหล่งจำหน่ายไฟฟ้า



รูปที่ 5-42 รูปคลื่นกระแสและแรงดัน กรณี UPS จ่ายโหลดหลอดไฟทั้งเสตน



รูปที่ 5-43 ฮาร์มอนิกสเปกตรัมของกระแสและแรงดัน กรณี UPS จ่ายโหลดหลอดไฟทั้งเสตน

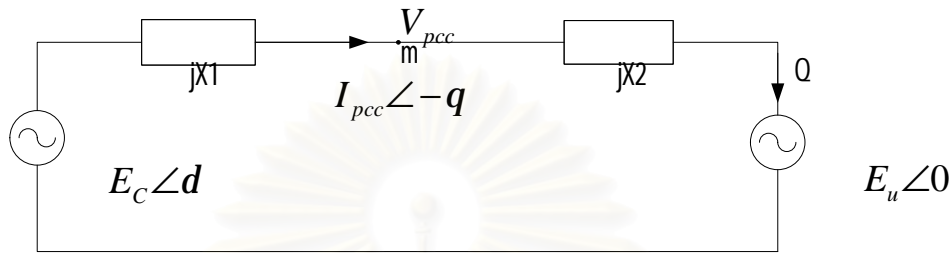
เพื่อพิจารณาเครื่องหมายของ \bar{p}_h และ Q_h ที่คำนวณได้ ณ จุดวัดจะเป็นดังตารางที่ 5.2

| โหลด | เครื่องหมาย \bar{p}_h | เครื่องหมาย Q_h |
|----------------|-------------------------|-------------------|
| เครื่องสำรองไฟ | + | - |

ตารางที่ 5.2 ตารางแสดงเครื่องหมาย \bar{p}_h และ Q_h กรณีแหล่งจ่ายเป็นเครื่องสำรองไฟ

เครื่องหมาย $\overline{p_h}$ ที่ได้จากการทดลองนี้เป็นบวก แสดงว่าแหล่งกำเนิดฮาร์มอนิกส์อยู่ทางด้านแหล่งจำหน่ายไฟฟ้า ขณะที่ Q_h ได้เครื่องหมายเป็นลบ จะอยู่ในกรณีที่ไม่สามารถสรุปได้ว่าแหล่งกำเนิดฮาร์มอนิกส์มาจากทิศทางไหนตามนิยามของการพิจารณาเครื่องหมาย CI

5.2.3. วิเคราะห์ผลการใช้อัลกอริทึมวิเคราะห์หาทิศทางของแหล่งกำเนิดฮาร์มอนิกส์



รูปที่ 5-44 วงจรประกอบการพิจารณา Q สำหรับการวิเคราะห์ อัลกอริทึม CI

จากวงจรในรูปที่ 5-44 Q ที่นิยามสำหรับหาเครื่องหมายของดัชนี $CI = 2 \frac{Q}{I^2}$ เป็น Q ที่ไหลเข้าแหล่งจำหน่ายไฟฟ้า ในขณะที่ Q_m เป็นกำลังเสมือนที่วัดได้ ณ จุดวัด m ซึ่งคำนวณหาได้ดังสมการ (5.2) ถึงสมการ (5.7)

$$E_u = u_{pcc} - I_{pcc} Z_u = u_{pcc} - I_{pcc} X_2 \quad (5.2)$$

$$V_{pcc} = \frac{X_1}{X_1 + X_2} E_u \angle 0 + \frac{X_2}{X_1 + X_2} E_u \angle d \quad (5.3)$$

กำหนดให้ $X_1 + X_2 = X$

$$I_{pcc} = I \angle (-q) = \frac{E_c \angle d - E_u}{jX} = \frac{E_c \sin d - j(E_c \cos d - E_u)}{X} \quad (5.4)$$

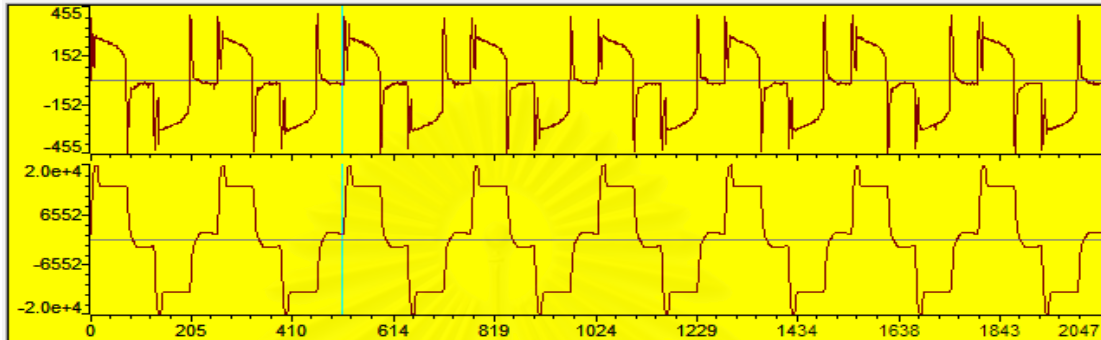
$$S = P_m + jQ_m = V_{pcc} \cdot I_{pcc}^* = \left[\frac{X_1}{X_1 + X_2} E_u \angle 0 + \frac{X_2}{X_1 + X_2} E_u \angle d \right] \cdot \left[\frac{E_c \sin d - j(E_c \cos d - E_u)}{X} \right] \quad (5.5)$$

$$P_m = \left[\frac{E_c \cdot E_u \sin d}{X} \right] \quad (5.6)$$

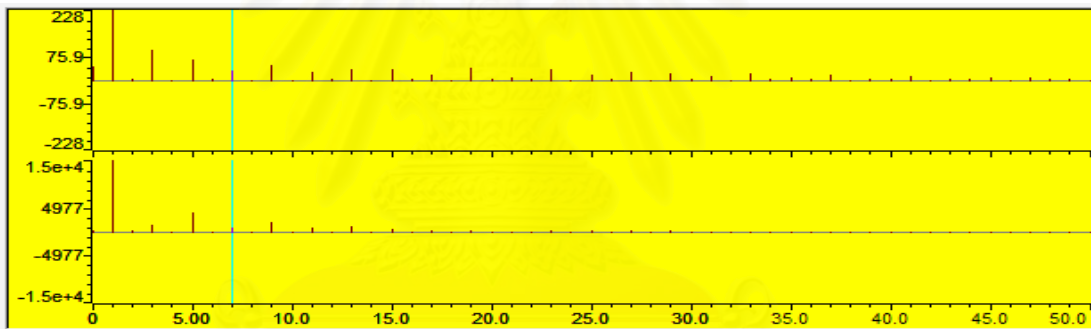
$$Q_m = X_1 \frac{E_u \cdot (E_c \cos d - E_u)}{X^2} + X_2 \frac{E_c \cdot (E_c - E_u \cos d)}{X^2} \quad (5.7)$$

Q_m ที่หาได้จากสมการ (5.7) จะเป็นบวกหรือลบไม่ได้ขึ้นอยู่กับขนาดของ E_u และ E_c อย่างเดียว ยังขึ้นอยู่กับค่า X_1 และ X_2 ดังนั้นการใช้ Q_m มาพิจารณาหาทิศทางของแหล่งกำเนิดฮาร์มอนิกส์ ไม่สามารถใช้ได้ ซึ่งเป็น Q คนละค่ากับที่ใช้ในนิยาม CI ดังนั้น CI จึงไม่สามารถนำมาใช้ในการพิจารณาหาแหล่งกำเนิดฮาร์มอนิกส์กรณีใช้เครื่องวัดคุณภาพไฟฟ้าวัดที่จุดเดียว

การหาทิศทางของแหล่งกำเนิดโดยพิจารณาจาก \overline{p}_h สามารถบอกทิศทางของแหล่งกำเนิดฮาร์มอนิกส์ได้ในกรณีที่แหล่งกำเนิดฮาร์มอนิกส์มาจากทิศใดทิศหนึ่งโดยเฉพาะ หากทดลองใช้วิธีนี้วิเคราะห์หากรณีที่แหล่งกำเนิดสร้างแรงดันฮาร์มอนิกส์และโหลดเป็นโหลดที่มีความสัมพันธ์ของแรงดันกับกระแสไม่เป็นเชิงเส้น จะได้รูปคลื่นและฮาร์มอนิกส์สเปกตรัมของกระแสและแรงดันดังรูปที่ 5-45 ถึง รูปที่ 5-48

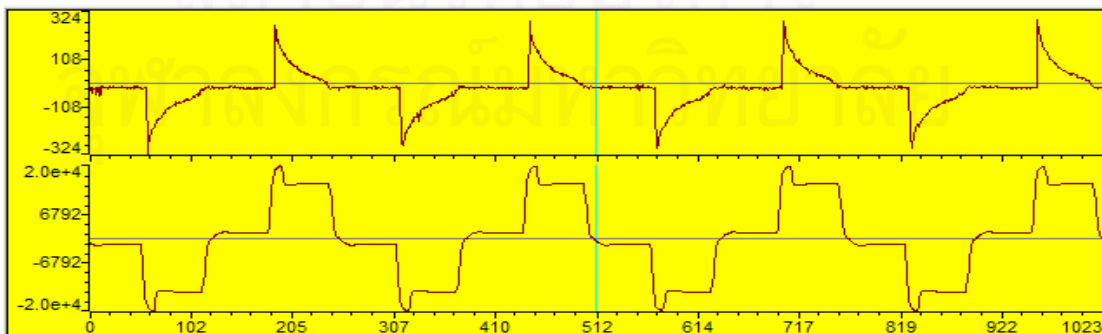


รูปที่ 5-45 รูปคลื่นกระแสและแรงดัน กรณี UPS จ่ายโหลดจอกอมพิเตอร์แอลซีดี

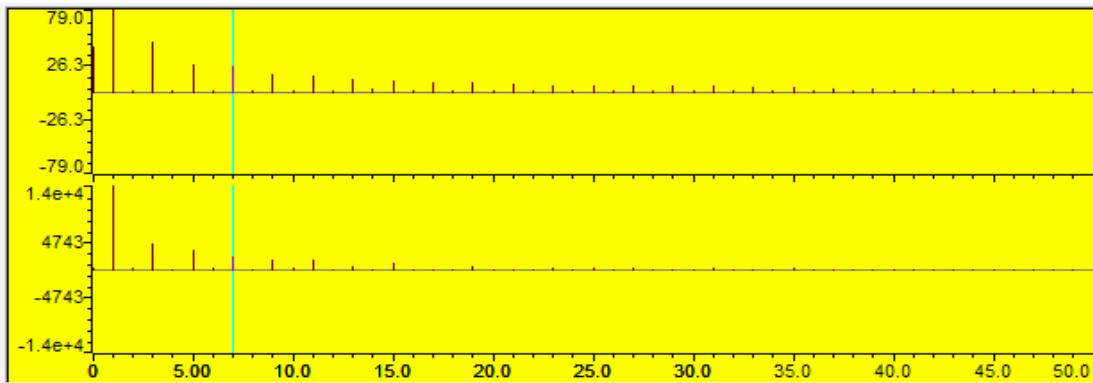


รูปที่ 5-46 ฮาร์มอนิกส์สเปกตรัมของกระแสและแรงดัน กรณี UPS จ่ายโหลด

จอกอมพิเตอร์แอลซีดี



รูปที่ 5-47 รูปคลื่นกระแสและแรงดัน กรณี UPS จ่ายโหลดหลอดไฟเรืองแสง



รูปที่ 5-48 ฮาร์มอนิกสเปกตรัมของกระแสและแรงดัน กรณี UPS จ่ายโหลดโหลดไฟเรียงแสง

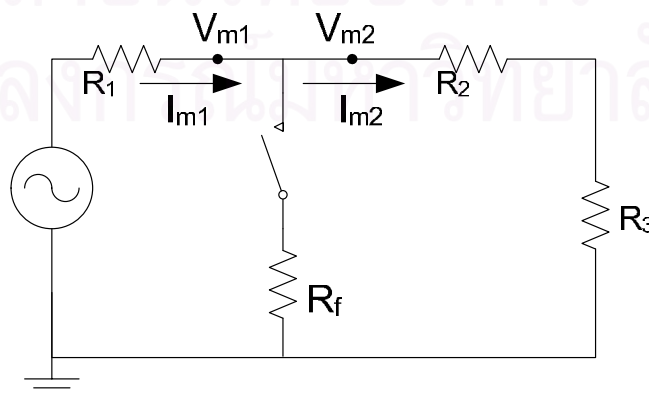
| โหลด | เครื่องหมาย \overline{p}_h | เครื่องหมาย Q_h |
|-------------------------|------------------------------|-------------------|
| จอกคอมพิวเตอร้อัลซีดีดี | + | - |
| โหลดไฟเรียงแสง | + | - |

ตารางที่ 5.3 ตารางแสดงเครื่องหมาย \overline{p}_h และ Q_h กรณีแหล่งจ่าย UPS จ่ายโหลดไม่เชิงเส้น

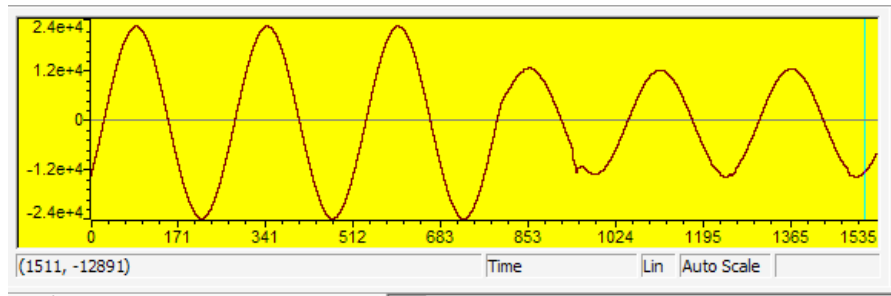
เครื่องหมาย \overline{p}_h ที่ได้จากการทดลองทั้งสองเป็นบวก แสดงว่าแหล่งกำเนิดฮาร์มอนิกส์ อยู่ทางด้านแหล่งจ่ายไฟฟ้า ซึ่งไม่จริงตามวงจรที่ทดสอบซึ่งมีแหล่งกำเนิดสร้างแรงดันฮาร์มอนิกส์และโหลดเป็นโหลดที่มีความสัมพันธ์ของแรงดันกับกระแสไม่เป็นเชิงเส้น

5.3. การทดสอบวิเคราะห์และหาทิศทางของแหล่งกำเนิดแรงดันตกชั่วขณะ

แรงดันตกชั่วขณะที่เกิดขึ้นในระบบไฟฟ้า จำลองโดยการสับสวิตช์ความต้านทาน R_f เข้าไปในระบบ โดยมีค่า $R_1 = 27\Omega$, $R_2 = 20\Omega$ และ $R_3 = 20\Omega$ ดังแสดงในรูปที่ 5-49 ส่งผลทำให้แรงดันที่จุดวัด M1 และ M2 ตกลงดังรูปที่ 5-50



รูปที่ 5-49 วงจรทดสอบวิเคราะห์และหาทิศทางของแหล่งกำเนิดแรงดันตกชั่วขณะ

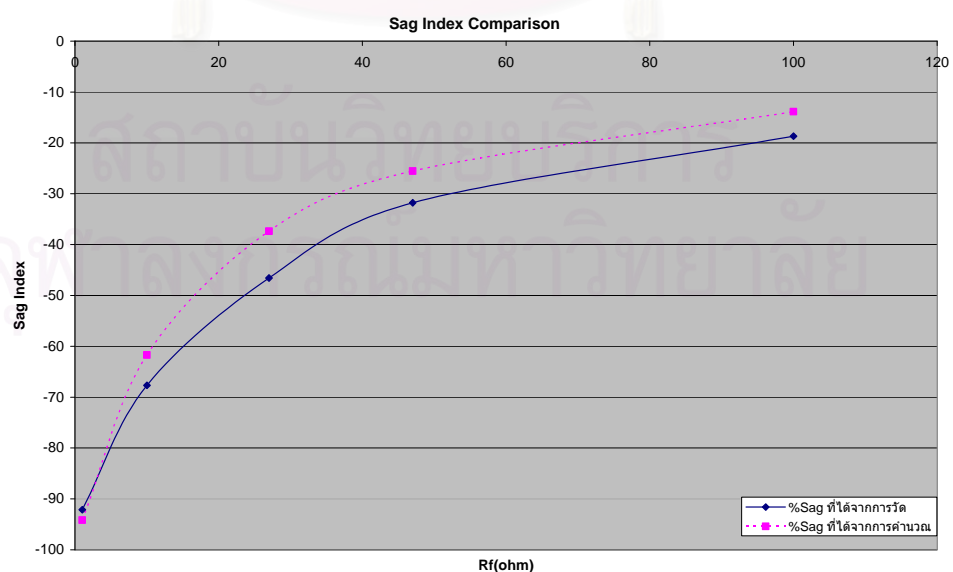


รูปที่ 5-50 รูปคลื่นการเกิดแรงดันตกชั่วขณะที่จุดวัด M_1 และ M_2

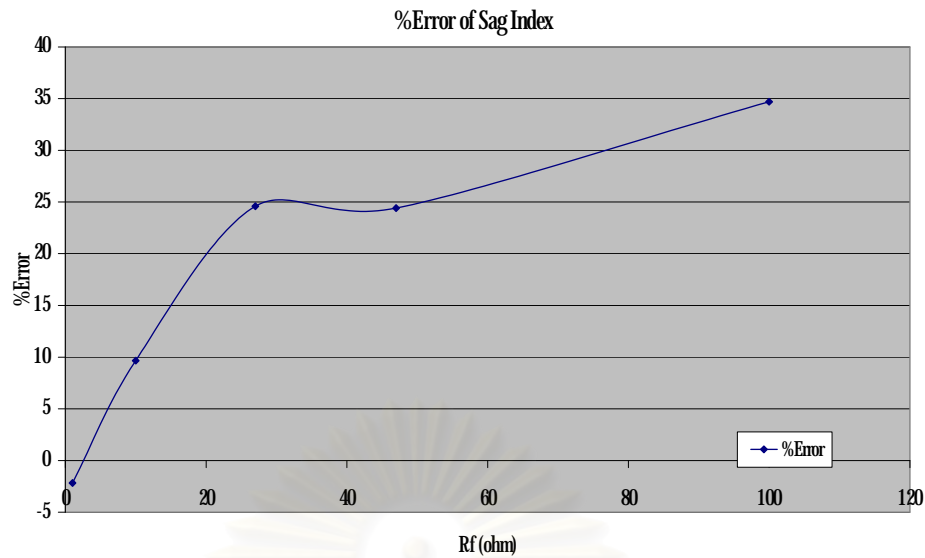
เมื่อเปลี่ยนแปลงค่า R_f ในวงจรทดสอบ จะส่งผลต่อค่าการเปลี่ยนแปลงของแรงดันและกระแสที่จุดวัด M_1 และ M_2 ดังแสดงในตารางที่ 5.4 และรูปที่ 5-51 โดยค่าความผิดพลาดแสดงได้ดังกราฟในรูปที่ 5-52

| R_f (ohm) | %Sag จากการวัด | %Sag จากการคำนวณ | %ความผิดพลาด |
|-------------|----------------|------------------|--------------|
| 1 | -92.11 | -94.16 | -2.17 |
| 10 | -67.68 | -61.71 | 9.67 |
| 27 | -46.58 | -37.38 | 24.59 |
| 47 | -31.77 | -25.54 | 24.41 |
| 100 | -18.70 | -13.88 | 34.70 |

ตารางที่ 5.4 ตารางเปรียบเทียบร้อยละการเปลี่ยนแปลงของแรงดันจากเครื่องวัดกับการคำนวณ

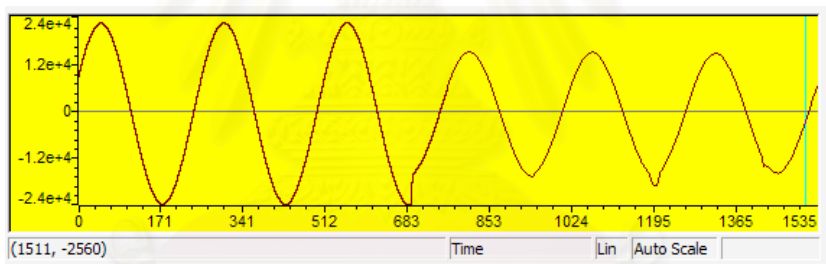


รูปที่ 5-51 กราฟเปรียบเทียบร้อยละการเปลี่ยนแปลงแรงดัน

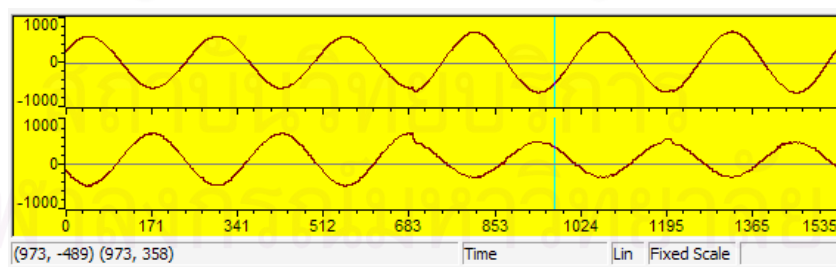


รูปที่ 5-52 กราฟค่า%ความผิดพลาดในการวัดดัชนีแรงดันตกชั่วขณะ

จากกราฟค่าความผิดพลาดของการวัดในรูปที่ 5-52 ค่าความผิดพลาดในการวัดจะเพิ่มขึ้นเมื่อเพิ่มค่าความต้าน R_f เข้าไปในวงจรทดสอบ หรือมองได้ว่า ถ้าการเปลี่ยนแปลงของแรงดันตกมีค่ามากขึ้น ความผิดพลาดในการวิเคราะห์แรงดันตกจะน้อยลง



(a)



(b)

รูปที่ 5-53 รูปคลื่นการเกิดแรงดันตกชั่วขณะและการเปลี่ยนแปลงของกระแสที่จุดวัด M_1 และ M_2

ในขณะที่เกิดแรงดันตกชั่วขณะ ส่งผลให้แรงดันที่จุดวัด M_1 และ M_2 ตกลงดังรูปที่ 5-53a กระแสที่ไหลผ่านจุดวัด M_1 จะเพิ่มขึ้นในขณะที่กระแสที่จุดวัด M_2 จะลดลงดังแสดงในรูปที่ 5-53b

เมื่อนำค่าการเปลี่ยนแปลงของแรงดัน RMS และกระแส RMS ไปคำนวณหา $Z_e = \frac{\Delta V}{\Delta I}$ แล้วพิจารณาเครื่องหมาย จะได้ผลดังตารางที่ 5.5

| Rf (ohm) | Sign (Ze-M ₁) | Sign (Ze-M ₂) |
|----------|---------------------------|---------------------------|
| 1 | - | + |
| 10 | - | + |
| 27 | - | + |
| 47 | - | + |
| 100 | - | + |

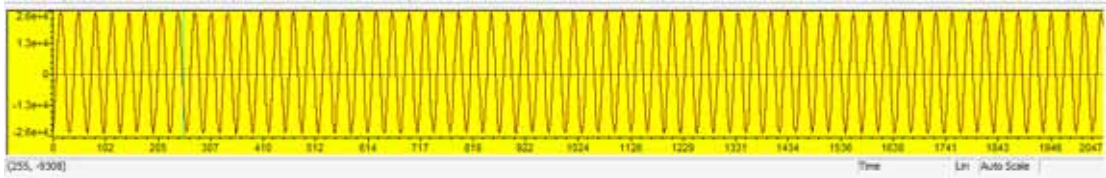
ตารางที่ 5.5 ตารางแสดงผลการวิเคราะห์เครื่องหมาย Z_e ที่จุดวัด M_1 และ M_2

จากการพิจารณาทิศทางของแหล่งกำเนิดแรงดันตกชั่วขณะ ด้วยการพิจารณาเครื่องหมาย Z_e ที่จุดวัด M_1 ขณะเกิดแรงดันตกชั่วขณะ R_f จะอยู่ทางด้านขวาของจุดวัดเปรียบเสมือนว่า แหล่งกำเนิดแรงดันตกชั่วขณะอยู่ทางด้านขวาของจุดวัด (Downstream) เครื่องหมาย Z_e ที่ได้จากจุดวัดนี้จะเป็นลบ ที่จุดวัด M_2 ขณะเกิดแรงดันตกชั่วขณะ R_f จะอยู่ทางด้านซ้ายของจุดวัด เปรียบเสมือนว่า แหล่งกำเนิดแรงดันตกชั่วขณะอยู่ทางด้านซ้ายของจุดวัด (Upstream) เครื่องหมาย Z_e ที่ได้จากจุดวัดนี้จะเป็นบวก ซึ่งตรงตามผลการวัดในตารางที่ 5.5

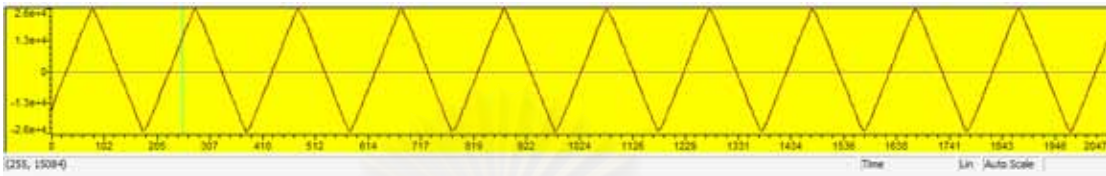
5.4. การทดสอบวัดการเปลี่ยนแปลงชั่วขณะที่เกิดขึ้นในช่วงความถี่ต่ำ

เครื่องวัดคุณภาพไฟฟ้าที่พัฒนาขึ้น ใช้ชีพแปลงสัญญาณแอนะล็อกเป็นดิจิทัล ที่มีอัตราสุ่มสัญญาณสูงสุดที่ 250 ksps เป็นตัวสุ่มสัญญาณเข้ามาเพื่อประมวลผล การทดสอบในหัวข้อนี้จะแสดงให้เห็นถึงความสามารถในการตรวจจับสัญญาณที่เกิดการเปลี่ยนแปลงชั่วขณะในช่วงความถี่ต่ำ

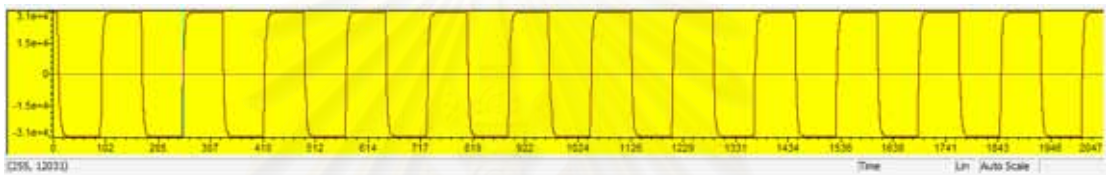
การทดลองส่วนแรกจะทดสอบความสามารถในการสุ่มสัญญาณสร้างขึ้นจากเครื่องกำเนิดสัญญาณในช่วงความถี่ 0 - 7 kHz และนำผลการสุ่มสัญญาณมาแสดงผลเป็นรูปคลื่นดังแสดงในรูปที่ 5-54 ถึงรูปที่ 5-56



รูปที่ 5-54 การสุ่มจับสัญญาณไซน์แอมป์ที่ความถี่ 7 kHz

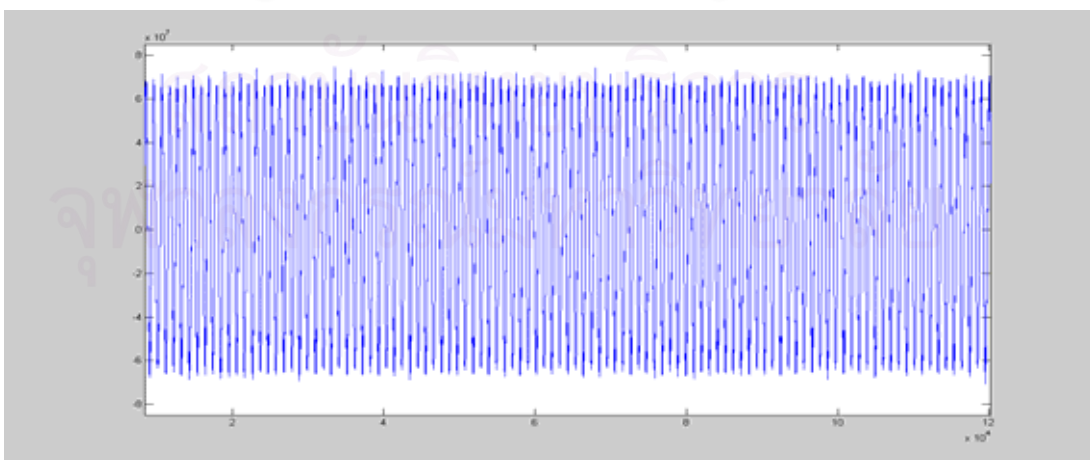


รูปที่ 5-55 การสุ่มจับสัญญาณสามเหลี่ยมแอมป์ที่ความถี่ 2 kHz



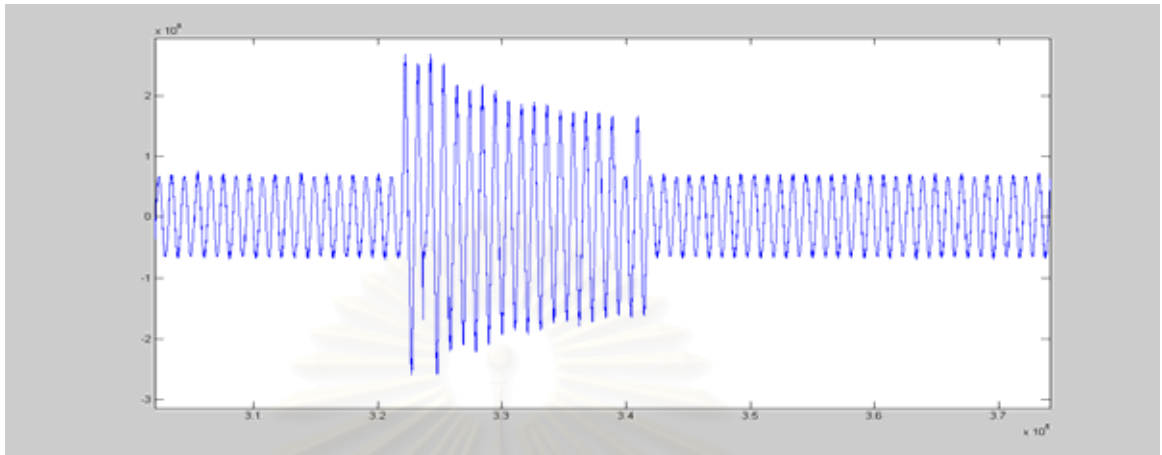
รูปที่ 5-56 การสุ่มจับสัญญาณสี่เหลี่ยมแอมป์ที่ความถี่ 2 kHz

การทดสอบในส่วนต่อมาจะเป็นการทดลองวัดสัญญาณกระแสขณะเกิดการเปลี่ยนแปลงชั่วขณะ การจับบันทึกรูปคลื่นทำโดยการตั้งอัตราการสุ่มของเครื่องวัดคุณภาพไฟฟ้าให้มีอัตราสุ่มสัญญาณเท่ากับ 102.4 ksps และตั้งเวลาให้บันทึกสัญญาณกระแสลับของระบบทดลองในช่วงเวลา 1 นาที โดยระบบทดลองประกอบไปด้วยหลอดไฟและสว่านมือ ในสภาวะปกติระบบจะจ่ายกระแสให้กับหลอดไฟอย่างเดียว ซึ่งได้รูปคลื่นดังแสดงในรูปที่ 5-57

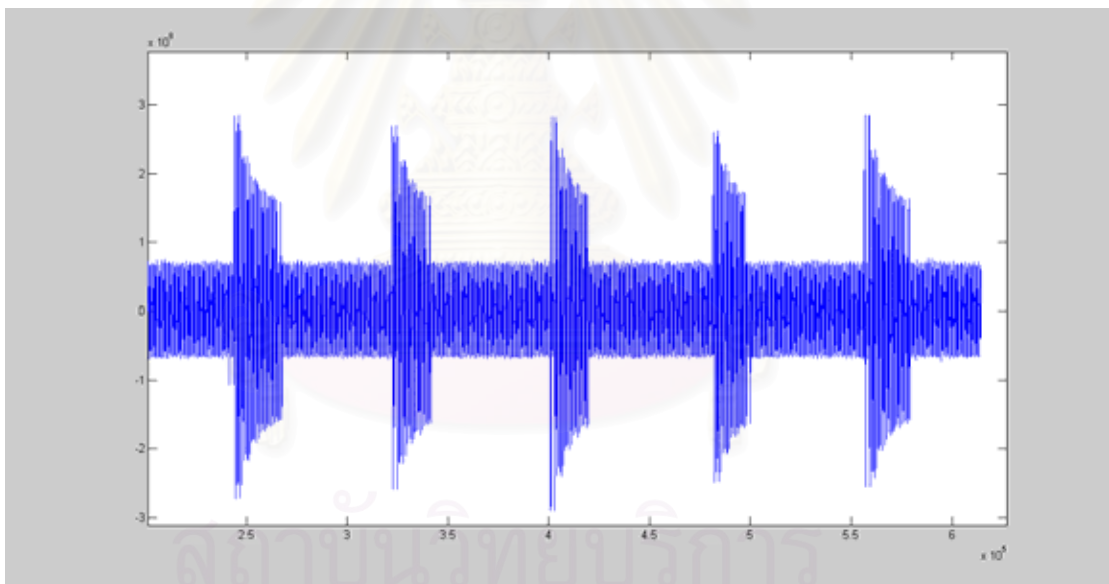


รูปที่ 5-57 สัญญาณกระแสของหลอดไฟ ขณะไม่เดินเครื่องสว่านมือ

การเกิดการเปลี่ยนแปลงชั่วขณะในสัญญาณกระแสลับที่วัด ทำโดยการเดินเครื่องสว่านมือ เปรียบเสมือนการเดินเครื่องมอเตอร์เหนี่ยวนำ ซึ่งกินกระแสสูงในช่วงเริ่มต้นเดินเครื่อง ทำให้เกิดการเปลี่ยนแปลงชั่วขณะในช่วงความถี่ต่ำ ดังแสดงในรูปที่ 5-58 และรูปที่ 5-59



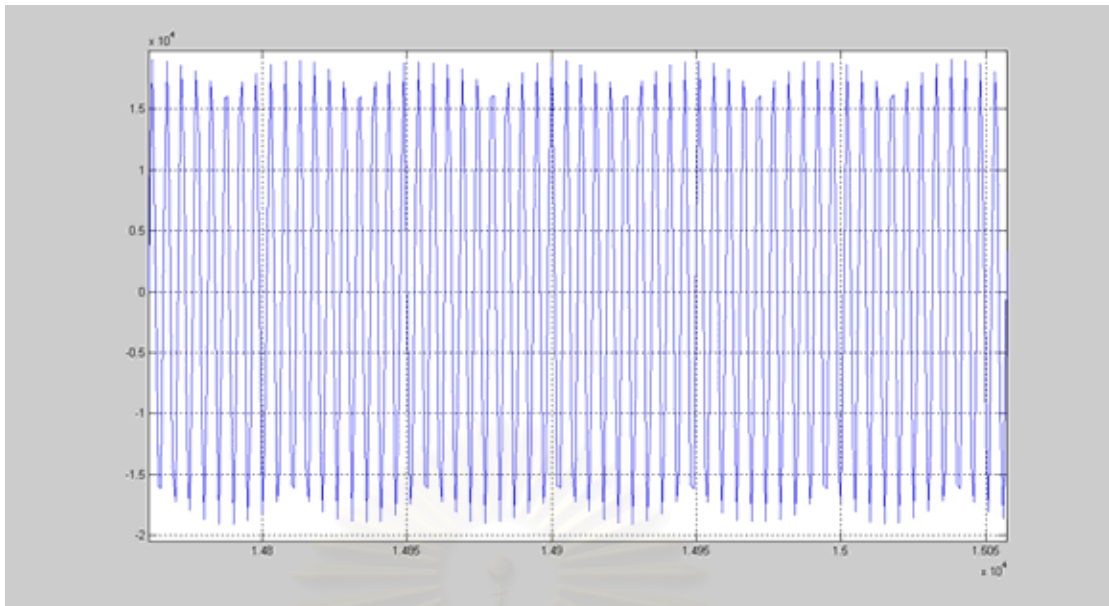
รูปที่ 5-58 สัญญาณกระแส ขณะเดินเครื่องสว่านมือ



รูปที่ 5-59 สัญญาณกระแสขณะเดินเครื่องสว่านมือหลายครั้ง

5.5. การทดสอบวิเคราะห์ไฟกะพริบ

ในการทดสอบวิเคราะห์ไฟกะพริบ จะใช้เครื่องวัดคุณภาพไฟฟ้าที่พัฒนาขึ้น ดึงสัญญาณแรงดันเข้ามาแล้วส่งมายังโปรแกรมประสานกราฟิกกับผู้ใช้บนคอมพิวเตอร์ เพื่อดูลักษณะรูปคลื่นในช่วง 10 นาที สัญญาณที่ส่งเข้ามาจะมีอัตราการช้กตัวอย่าง 256 sample/sec ดังแสดงรูปที่ 5-60



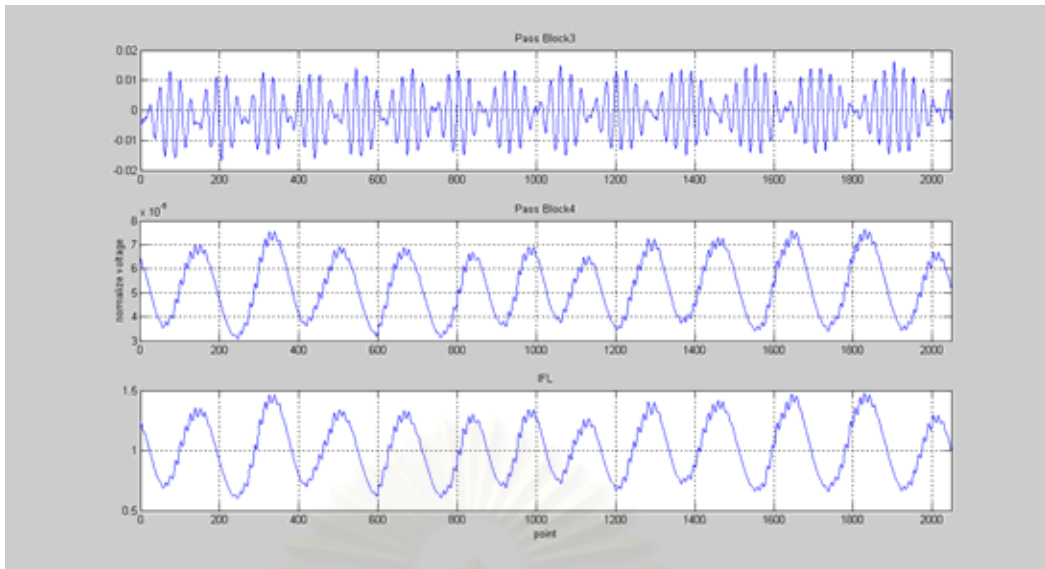
(b)

รูปที่ 5-60 ตัวอย่างรูปคลื่นแรงดัน 220VAC ในช่วงเวลา 10 นาที

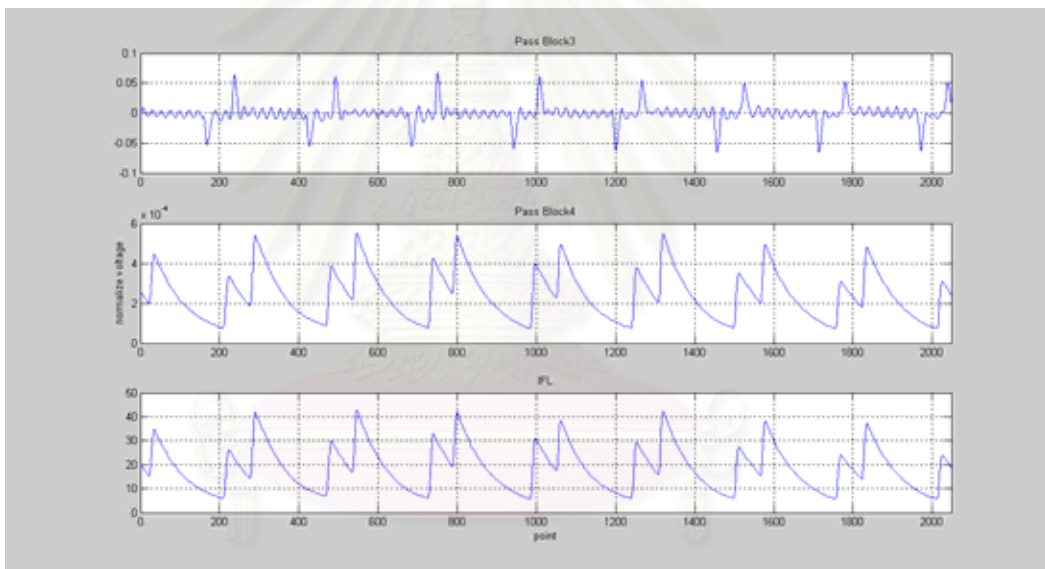
หลังจากที่สุ่มสัญญาณครบ 10 นาที ข้อมูลแรงดันที่สุ่มได้จะถูกนำไปผ่านตัวกรอง (Filter) ตามมาตรฐาน IEC61000-4-15 ดับบล็อกไดอะแกรมในรูปที่ 2-17 เพื่อหาระดับการเกิดไฟกะพริบ (Instantaneous Flicker Level, IFL) .ในวิทยานิพนธ์ฉบับนี้จะทดลองวัด IFL จากแหล่งกำเนิดแรงดัน 2 แหล่งได้แก่ แรงดันสลับ 220 V จากเต้าเสียบไฟบ้าน และแรงดันสลับ 220 V ขณะเดินเครื่องเป่าลมร้อนที่ส่งผลให้หลอดไฟทั้งเสตนเกิดการกะพริบ จะได้รูปคลื่นเมื่อผ่านตัวกรองต่างๆ เป็นดังแสดงในรูปที่ 5-61 และ รูปที่ 5-62 หลังจากนั้นข้อมูลระดับการเกิดไฟกะพริบ (IFL) จะถูกนำไปคำนวณทางสถิติเพื่อหาค่า P0.1, P1S, P3S P10S, P50S ตามลำดับ สุดท้ายจะคำนวณหาค่า P_{st} ของการทดลองตามตารางที่ 5.6 โดยผลการวัดดัชนี P_{st} จะถูกนำไปเปรียบเทียบกับค่าที่วัดได้จากเครื่องวัดคุณภาพไฟฟ้า Dranetz ดังแสดงในตารางที่ 5.6

| การทดลอง | P_{st} (PQM) | P_{st} (Dranetz) |
|-----------------------------------------------|----------------|--------------------|
| วัดแรงดันจากเต้าเสียบ 220 AC | 0.7396 | 0.671 |
| วัดแรงดันจากเต้าเสียบขณะเดินเครื่องเป่าลมร้อน | 4.0680 | 3.890 |

ตารางที่ 5.6 ตารางแสดงผลการวิเคราะห์หาค่าดัชนีไฟกะพริบ P_{st}



รูปที่ 5-61 รูปคลื่นแรงดัน 220VAC ที่ผ่านตัวกรองตามมาตรฐาน IEC61000-4-15

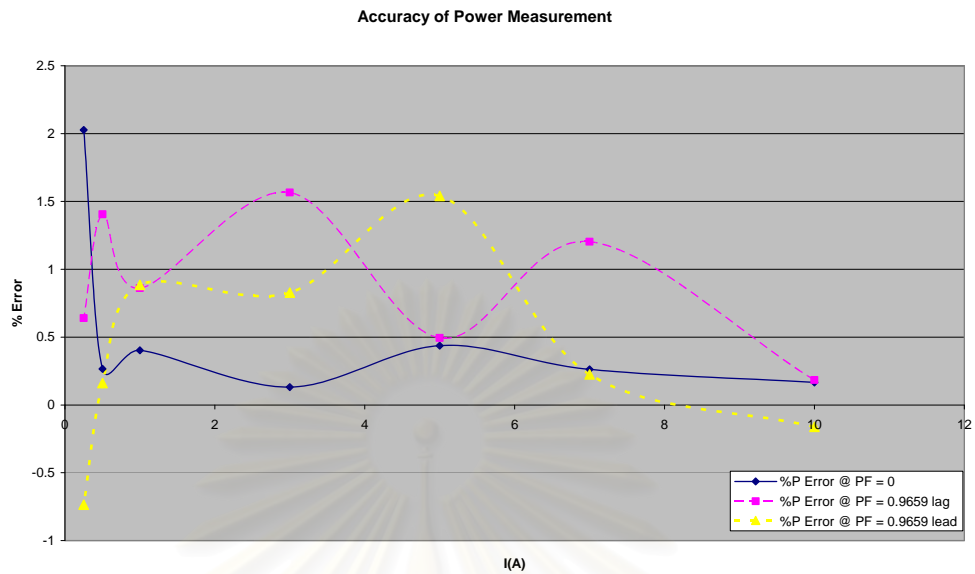


รูปที่ 5-62 รูปคลื่นแรงดัน 220VAC ขณะจ่ายโหลดเครื่องเป่าลมร้อน ที่ผ่านตัวกรองตามมาตรฐาน IEC61000-4-15

5.6. การทดสอบวิเคราะห์พารามิเตอร์อื่นๆ

พารามิเตอร์อื่นๆที่เกี่ยวข้องกับการวัดคุณภาพไฟฟ้าได้แก่ กำลังจริง (P), กำลังเสมือน (Q), กำลังปรากฏ (S) และตัวประกอบกำลัง (Power Factor) จะทำการทดสอบตามวงจรรูปที่ 5-4 โดยนำค่าที่วัดได้จากเครื่องวัดคุณภาพไฟฟ้ามาหาค่าความคลาดเคลื่อนเทียบกับมิเตอร์อ้างอิงที่มุ่มเฟสต่างๆ และปรับขนาดกระแสระหว่าง 0 – 10 A ที่แรงดัน 220 Vrms

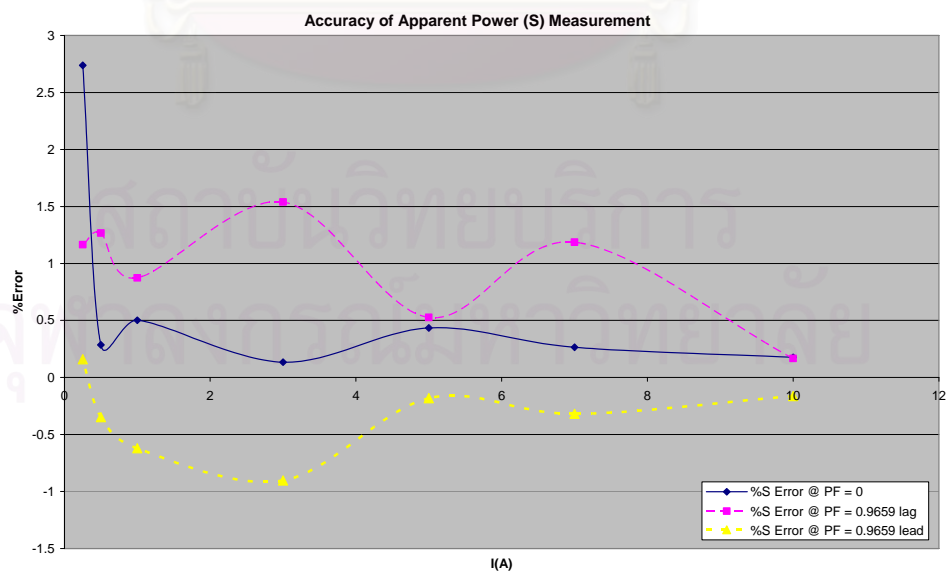
5.6.1. การทดสอบวัดกำลังจริง



รูปที่ 5-63 กราฟเปรียบเทียบค่า%ความผิดพลาดในการวัดกำลังจริง

จากกราฟผลการทดลองในรูปที่ 5-63 ร้อยละความผิดพลาดในการวัดกำลังจริง (P) เมื่อเปลี่ยนมุมเฟสระหว่างแรงดันกับกระแสจากมุม 15° นำ (0.9659 Lead) เป็น 15° ตาม (0.9659 lag) มีค่าอยู่ระหว่าง -1% ถึง 2%

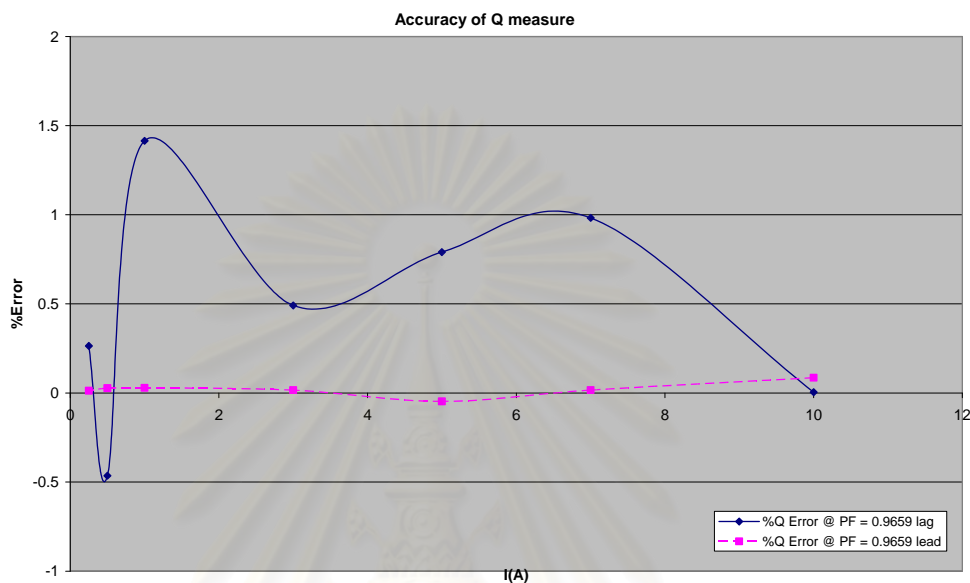
5.6.2. การทดสอบวัดกำลังปรากฏ



รูปที่ 5-64 กราฟเปรียบเทียบค่า%ความผิดพลาดในการวัดกำลังปรากฏ

จากกราฟผลการทดสอบวัดกำลังปรากฏ (S) ในรูปที่ 5-64 เมื่อเปลี่ยนมุมเฟสระหว่างแรงดันกับกระแสจากมุม 15° นำ (0.9659 Lead) เป็น 15° ตาม (0.9659 lag) มีค่าอยู่ระหว่าง -1% ถึง 3%

5.6.3. การทดสอบวัดกำลังเสมือน

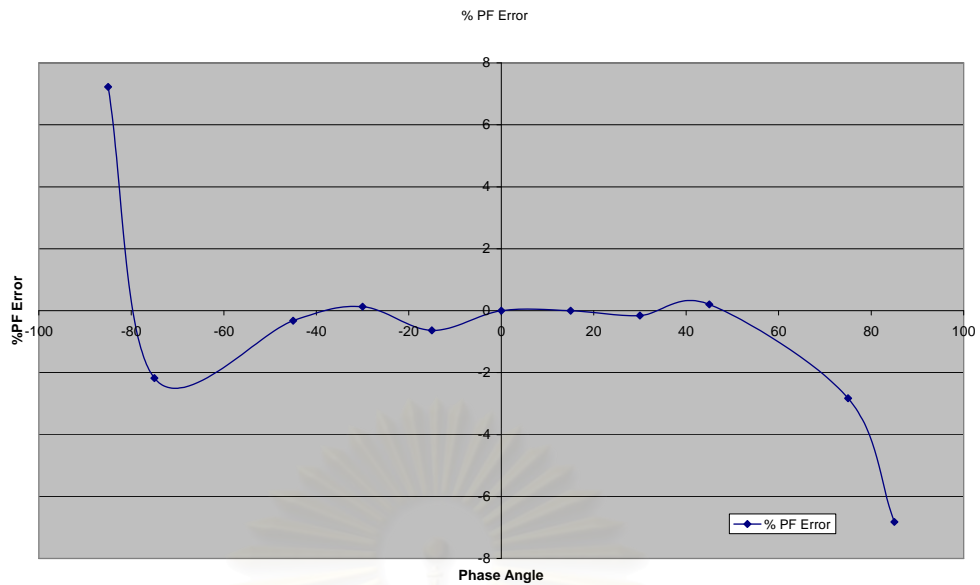


รูปที่ 5-65 กราฟเปรียบเทียบค่า%ความผิดพลาดในการวัดกำลังเสมือน

การทดสอบวัดค่ากำลังเสมือน (Q) เมื่อเปลี่ยนมุมเฟสระหว่างแรงดันกับกระแสจากมุม 15° นำ เป็น 15° ตาม ดังแสดงในกราฟรูปที่ 5-65 ที่มุมเฟสระหว่างแรงดันกับกระแสเป็น 15° นำ (0.9659 Lead) ค่าร้อยละความผิดพลาดในการวัดกำลังเสมือนจะมีค่าอยู่ระหว่าง -0.05% - 0.01% และที่มุมเฟสระหว่างแรงดันกับกระแสเป็น 15° ตาม (0.9659 lag) ค่าร้อยละความผิดพลาดในการวัดกำลังเสมือนมีค่าอยู่ระหว่าง -0.5% - 1.414%

5.6.4. การทดสอบวัดตัวประกอบกำลัง

สำหรับการทดสอบวัดตัวประกอบกำลัง จะตั้งเครื่องจ่ายโหลดพลังงานไฟฟ้าเสมือนจ่ายกระแส 10 A และแรงดัน 220 V โดยเปลี่ยนมุมเฟสระหว่างแรงดันกับกระแสในช่วงระหว่างมุม 85° นำ ถึง 85° ตาม จากนั้นใช้เครื่องวัดคุณภาพไฟฟ้าที่พัฒนาขึ้นวัดค่าตัวประกอบกำลังเทียบกับมิเตอร์อ้างอิง และนำผลการวัดมาหาค่าความคลาดเคลื่อนได้ดังกราฟในรูปที่ 5-66



รูปที่ 5-66 กราฟค่า%ความผิดพลาดในการวัดตัวประกอบกำลัง

จะเห็นได้ว่า ที่มุมเฟสระหว่างแรงดันกับกระแส เป็น -85° , -75° , 75° , และ 85° ค่าเปอร์เซ็นต์ความผิดพลาดในการวัดจะมีค่ามากคือ ประมาณ 7 % เนื่องจากค่าตัวประกอบกำลังที่มุมเฟสนี้มีค่าใกล้เคียงศูนย์มาก จึงทำให้ค่าเปอร์เซ็นต์ความผิดพลาดในการวัดค่าตัวประกอบกำลังมีค่าสูง ส่วนการวัดที่มุมเฟสระหว่างแรงดันกับกระแสในช่วง -45° ถึง 45° ค่าเปอร์เซ็นต์ความผิดพลาดมีค่าอยู่ระหว่าง -0.6% - 0.2 %

บทที่ 6

ข้อสรุปและข้อเสนอแนะ

6.1. ข้อสรุป

วิทยานิพนธ์ฉบับนี้นำเสนอ รายละเอียดการออกแบบและพัฒนาสร้างเครื่องวัดคุณภาพไฟฟ้าที่เพิ่มความสามารถในการตรวจจับทิศทางของแหล่งกำเนิดฮาร์มอนิกส์ โดยใช้อัลกอริทึมหาทิศทางแหล่งกำเนิดฮาร์มอนิกส์ด้วยวิธี CI เปรียบเทียบกับวิธีพิจารณาเครื่องหมายของกำลังจริงขณะนั้น \overline{p}_h และหาทิศทางแหล่งกำเนิดแรงดันตกชั่วขณะโดยใช้วิธีการพิจารณาเครื่องหมายของความต้านทานขณะไม่เกิดการรบกวน โครงสร้างฮาร์ดแวร์หลักของเครื่องประกอบด้วย ชิพประมวลผลสัญญาณดิจิทัล TMS320C6711 เป็นหน่วยประมวลผลหลักสำหรับคำนวณหาพารามิเตอร์ทางคุณภาพไฟฟ้า, ชิพแปลงสัญญาณแอนะล็อกเป็นดิจิทัล ADS8364, ไมโครคอนโทรลเลอร์ Atmega128 ควบคุมการติดต่อระหว่างผู้ใช้กับเครื่องวัดคุณภาพไฟฟ้า และโปรแกรมกราฟิกประสานกับผู้ใช้ที่ติดต่อกับเครื่องวัดคุณภาพไฟฟ้าผ่านมอดูล UART พารามิเตอร์ทางคุณภาพไฟฟ้าที่ทดลองวัดออกมาได้แก่ ปริมาณฮาร์มอนิกส์ในสัญญาณแรงดันไฟฟ้าสลับและกระแสไฟฟ้าสลับ, ดัชนีแรงดันตกชั่วขณะ, กำลังจริง (P), กำลังเสมือน (Q), กำลังปรากฏ (S) และตัวประกอบกำลัง (PF)

ส่วนประกอบของชิพประมวลผลสัญญาณดิจิทัล TMS320C6711 ที่ทำให้กระบวนการทำงานของเครื่องวัดคุณภาพไฟฟ้าเป็นได้อย่างต่อเนื่องคือ มอดูล EDMA ภายในชิพทำหน้าที่ควบคุม การไหลของข้อมูลที่สุมเข้ามาโดยชิพแปลงสัญญาณแอนะล็อกเป็นดิจิทัล ADS8364, การส่งข้อมูลที่ผ่านการวิเคราะห์หาพารามิเตอร์ทางคุณภาพไฟฟ้า, และการส่งข้อมูลไปแสดงผลภายนอกชิพประมวลผลสัญญาณดิจิทัล

จากการทดสอบการทำงานของเครื่องวัดคุณภาพไฟฟ้าที่พัฒนาขึ้น ปริมาณฮาร์มอนิกส์ในสัญญาณแรงดันสลับที่วิเคราะห์ออกมาได้มีค่าใกล้เคียงและมีแนวโน้มไปในทิศทางเดียวกันกับค่าที่ตั้งจากเครื่องจ่ายโหลดพลังงานไฟฟ้าเสมือนและมีเตอร์อ้างอิง เนื่องจากผลของหม้อแปลงกระแสที่มีต่อความถี่ของสัญญาณที่วัด ทำให้การวัดปริมาณฮาร์มอนิกส์ในสัญญาณกระแสสลับนั้นมีความแม่นยำในช่วงฮาร์มอนิกส์อันดับ 2-17 ส่วนการวัดพารามิเตอร์ กำลังจริง (P), กำลังเสมือน (Q), และกำลังปรากฏ (S) เมื่อเปลี่ยนมุมเฟสระหว่างแรงดันกับกระแสไป ความแม่นยำในการวัดอยู่ในช่วง -1% ถึง 2% สำหรับการวัดค่าตัวประกอบกำลัง (PF) ความแม่นยำในการวัดจะอยู่ในช่วง -0.6% ถึง 0.2 %

ในส่วนของการทดสอบอัลกอริทึมสำหรับหาทิศทางของแหล่งกำเนิดฮาร์มอนิกส์ ได้ทดลองใช้อัลกอริทึมที่พิจารณาจากเครื่องหมายของ $\overline{p_h}$ และ Q_h ตามวิธี CI ในกรณีของ $\overline{p_h}$ จะให้ผลการพิจารณาแหล่งกำเนิดฮาร์มอนิกส์ได้ถูกต้องในกรณีที่ฮาร์มอนิกส์มีแหล่งกำเนิดอยู่เฉพาะทิศใดทิศหนึ่งเท่านั้น ส่วนการใช้ Q_h มาพิจารณาหาทิศทางของแหล่งกำเนิดฮาร์มอนิกส์นั้น ไม่สามารถสรุปทิศทางได้ ณ จุดวัดเดียวเนื่องจากเครื่องหมาย Q_h ที่ใช้เป็นคนละจุดกับ Q ที่นิยามในดัชนี CI ส่วนของการทดสอบหาทิศทางแหล่งกำเนิดแรงดันตกชั่วขณะนั้นสามารถหาทิศทางได้ถูกต้องตามนิยามของการพิจารณาเครื่องหมายของ Z_e ซึ่งได้ทดสอบในกรณีที่แหล่งกำเนิดแรงดันตกชั่วขณะอยู่ทางซ้ายและทางขวาของจุด ภายในวิทยานิพนธ์ฉบับนี้ยังได้แสดงตัวอย่างการสุ่มสัญญาณในช่วงความถี่ 0-7 kHz เพื่อทดสอบความสามารถในการสุ่มสัญญาณของซีพเปลงสัญญาณแอนะล็อกเป็นดิจิทัลและทดลองบันทึกรูปคลื่นกระแสขณะเริ่มเดินเครื่องสว่านมือเป็นเวลา 1 นาที โดยตั้งอัตราสุ่มสัญญาณไว้ที่ 102.4 ksps สำหรับการทดสอบวัดดัชนีไฟกะพริบ ได้ทดสอบการเก็บสัญญาณแรงดันไฟฟ้าจากไฟบ้าน 220V AC และแรงดันไฟฟ้าขณะจ่ายโหลดเครื่องลมร้อนที่ส่งผลให้เกิดไฟกะพริบ เพื่อดูกรอบรูปคลื่นในช่วง 10 นาที และสัญญาณที่มอดูเลต (Modulate) กับสัญญาณหลัก 50 Hz จะเห็นได้ว่าดัชนีไฟกะพริบ P_{st} มีค่าเพิ่มขึ้นตามการกระเพื่อมของแหล่งกำเนิดแรงดันที่วัดและมีค่าใกล้เคียงกับค่าที่วัดได้โดยเครื่องวัดคุณภาพไฟฟ้า Dranetz

6.2. ข้อเสนอแนะ

1. หม้อแปลงกระแสที่ใช้วัดปริมาณฮาร์มอนิกส์ในสัญญาณกระแสไฟฟ้าสลับ มีข้อจำกัดในการวัดสัญญาณฮาร์มอนิกส์อันดับที่สูงกว่า 18 การเลือกใช้หม้อแปลงกระแสที่มีคุณสมบัติวัดสัญญาณที่ความถี่สูงๆ จะเพิ่มประสิทธิภาพในการวัดปริมาณฮาร์มอนิกส์ในสัญญาณกระแสไฟฟ้าสลับ ให้สามารถวัดสัญญาณฮาร์มอนิกส์อันดับสูงๆ ได้
2. การเพิ่มความแม่นยำในการวิเคราะห์แรงดันตกชั่วขณะ ทำได้โดยการเพิ่มช่วงการเก็บสัญญาณก่อนเกิดและระหว่างเกิดแรงดันตกชั่วขณะให้มากขึ้นเช่น เปลี่ยนจาก 3 cycle เป็น 15 cycle เพื่อให้ได้ช่วงสัญญาณที่คงที่หลังเกิดแรงดันตกชั่วขณะ และปรับช่วงเวลาในการหาค่าแรงดัน RMS ให้มากกว่า 1 cycle
3. การเพิ่มความแม่นยำในการวิเคราะห์ดัชนีไฟกะพริบนั้น ควรจะต้องทดสอบวัดกับรูปคลื่นแรงดันที่มีการกล้ำของสัญญาณที่แน่นอนเพิ่มเติม

4. การนำเครื่องวัดคุณภาพไฟฟ้าไปวัดกับระบบไฟฟ้าจริง จะต้องออกแบบวงจรป้องกันและวงจรภาครับแรงดันของเครื่องวัดเพิ่มเติม เพื่อให้เหมาะสมกับสภาพระบบไฟฟ้าที่นำไปวัด
5. เพื่อให้การทำงานของโปรแกรมทุกส่วนทำงานได้พร้อมกัน จะต้องจัดโครงสร้างโปรแกรมทั้งหมดให้สามารถบันทึกลงหน่วยความจำแบบ Flash Rom บนบอร์ดทดลองชิพประมวลสัญญาณดิจิทัล



สถาบันวิทยบริการ
จุฬาลงกรณ์มหาวิทยาลัย

รายการอ้างอิง

- [1] IEC 61000-4-30 Std. "Testing and measurement techniques - Power quality measurement methods". 2003.
- [2] Alexander Kusko and Marct T.Thomson. "Power Quality in Electrical Power Systems". USA: McGraw-Hill. 2007
- [3] IEEE 1159-1995 Std. "IEEE Recommended Practice for Monitoring Electric Power Quality". 1995.
- [4] C. Sankaran. "Power Quality". USA: CRC Press. 2000
- [5] Jos Arrillaga. "Power System Harmonics". England: John Wiley & Son, 2003
- [6] Roger C. Dugan, Mark F. Magranaghan, Surya Santoso, and H. Wayne Beaty. "Electrical Power Systems Quality 2nd ed". USA :McGraw-Hill. 2002
- [7] Angelo Baggini. "Handbook of Power Quality". England: John Wiley & Sons. 2000.
- [8] A, Moreno Munoz. "Power Quality Mitigation Technologies in a Distributed Environment". London: Springer. 2007.
- [9] Rulph Chassaing, "DSP Applications Using C and the TMS320C6x DSK". Canada: John Wiley & Sons. 2002.
- [10] Chun Li, Wilsun Xu, and Thavatchai Tayjasanant. A Critical Impedance-Based Method for Identifying Harmonic Sources. IEEE Transactions on Power Delivery. 19,2 (April 2004): 671-678
- [11] Toshihiko Tanaka, and Hirofumi Akagi. A New Method of Harmonic Power Detection Based on the Instantaneous Active Power in Three Phase Circuits. IEEE Transactions on Power Delivery. 10,4 (October 1995): 1737-1741

- [12] Thavatchai Tayjasanant, Chun Li, and Wilsun Xu. A Resistance Sign-Based Method for Voltage Sag. IEEE Transactions on Power Delivery. 20,4 (October 2005): 2544-2551
- [13] IEC 61000-4-15 Std. "Testing and measurement techniques-Section 15: Flickermeter-Functional and design specifications". 2003.
- [14] Texas Instrument. "TMS320C6711 Floating-Point Digital Signal Processors" [Online]. Available from: www.ti.com [November, 2005]
- [15] Atmel Corporation. "ATmega128 8-bit Microcontroller with 128K Bytes In-System Programmable Flash" [Online]. Available form: www.atmel.com/literature [November 2004]
- [16] Texas Instrument. "ADS8364 Analog to Digital Converters" [Online]. Available from: www.ti.com [August, 2006]
- [17] Dallas Semiconductor . "DS1307 64 x 8 Seruak Real-Time Clock" [Online]. Available from: www.maxim-ic.com/TechSupport [April, 2004].
- [18] Fairchild Semiconductor. "MM74C922 16-Key Encoder" [Online]. Available from: www.fairchildsemi.com [January, 1999]



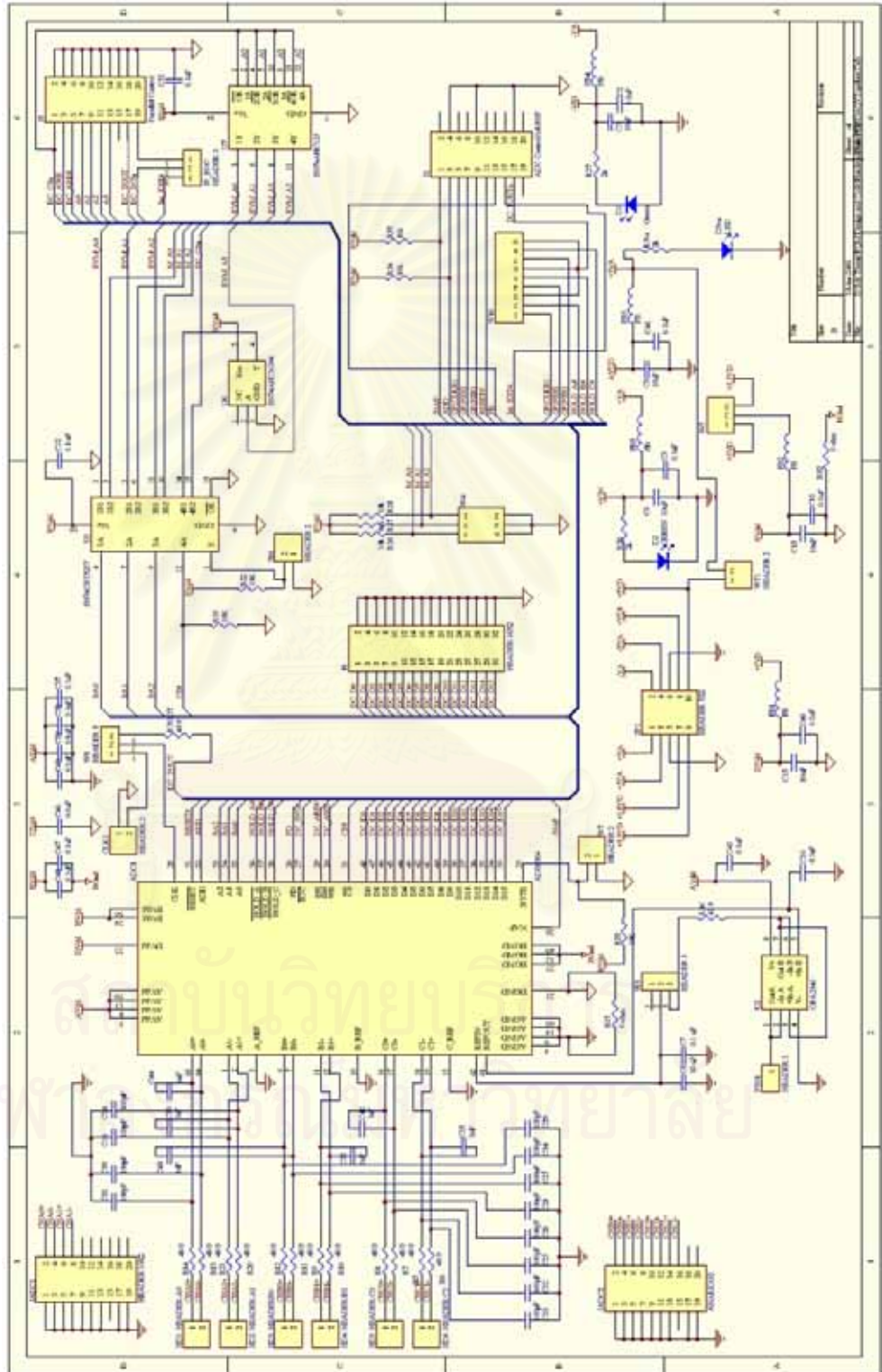
ภาคผนวก

สถาบันวิทยบริการ
จุฬาลงกรณ์มหาวิทยาลัย

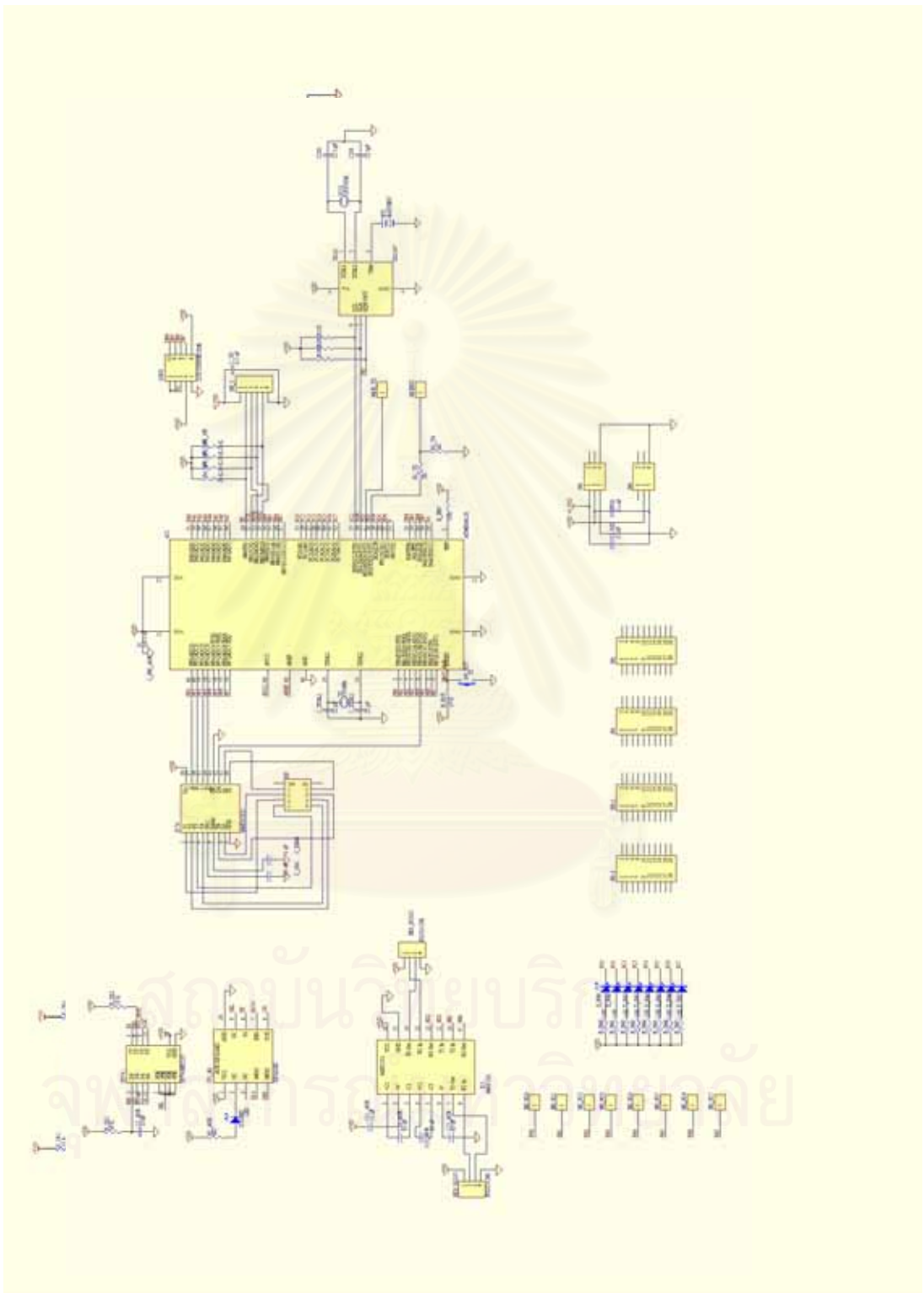
ภาคผนวก ก

รูปวงจรซึ่งออกแบบสำหรับงานวิจัยนี้

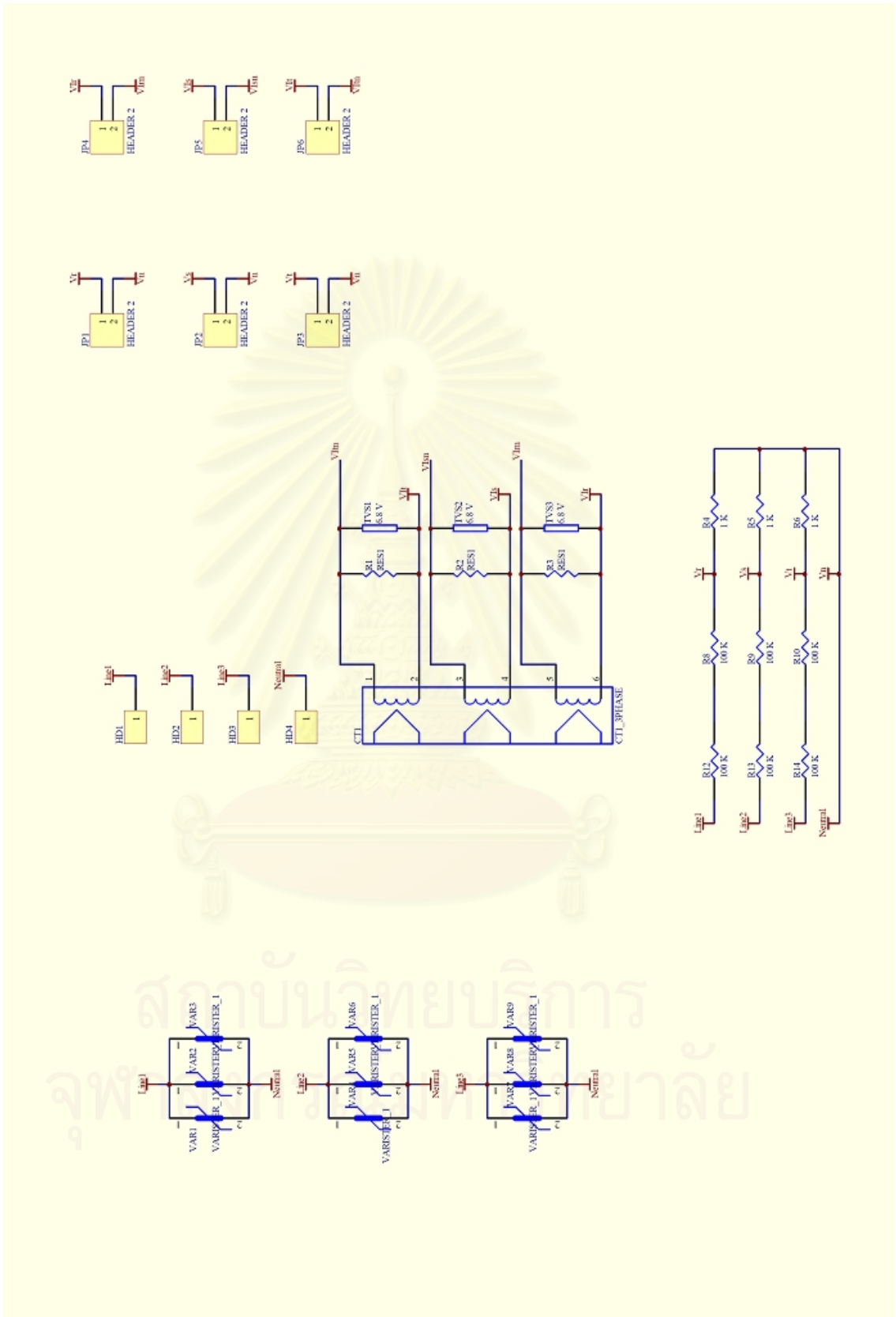
วงจรมอเตอร์ซีพแปลงสัญญาณแอนะล็อกเป็นดิจิตอล ADS8364



วงจรรบอร์ต ATMEGA128



วงจรถอบวัดปรับขนาดสัญญาณ



ภาคผนวก ข

บทความที่ได้รับการตีพิมพ์

ในการประชุมวิชาการทางวิศวกรรมไฟฟ้า ครั้งที่ 31



สถาบันวิทยบริการ
จุฬาลงกรณ์มหาวิทยาลัย

การพัฒนาต้นแบบเครื่องวัดคุณภาพไฟฟ้าที่ใช้ชิปประมวลผลสัญญาณดิจิทัล TMS320C6713
Development of a Power Quality Meter Prototype base on TMS320C6713 Digital Signal Processor

สกลพงษ์ บุรณะวิทย์ และ เอกฉัตร อีลาวีรัมย์
ภาควิชาวิศวกรรมไฟฟ้า คณะวิศวกรรมศาสตร์ จุฬาลงกรณ์มหาวิทยาลัย
ถนนพญาไท แขวงวังทองหลาง เขตปทุมวัน กรุงเทพมหานคร 10330

โทร 0-2218-6488 โทรสาร 0-2218-6488 E-mail: Sakompong@bunmail.com, Eekachai.I@chula.ac.th

บทคัดย่อ

เครื่องวัดคุณภาพไฟฟ้า เป็นเครื่องมือสำคัญที่ใช้ในการเก็บข้อมูลและลักษณะของปัญหาคุณภาพไฟฟ้าซึ่งมีอยู่ตลอดเวลาตามมาตรฐาน IEEE 1159-1995 [1] บทความนี้จะกล่าวถึงการพัฒนาต้นแบบเครื่องวัดคุณภาพไฟฟ้าที่ใช้ชิปประมวลผลสัญญาณดิจิทัล TMS320C6713 ซึ่งมีจุดเด่นคือเป็นชิปประมวลผลแบบ floating point ประมวลผลที่สัญญาณนาฬิกาความถี่ 225 MHz สำหรับวิเคราะห์คุณภาพไฟฟ้าของสัญญาณที่สุ่มเข้ามาจากระบบไฟฟ้าโลกใช้ชิปแปลงสัญญาณแอนะล็อกเป็นดิจิทัล ADS8364 มีช่องสัญญาณ 6 ช่อง ความละเอียด 16 บิต มีอัตราสุ่มค่าสัญญาณที่ 250 kSPS ทำงานพร้อมกัน ในส่วนการทดลองใช้ชิปประมวลผลสัญญาณดิจิทัลนี้จะถูกควบคุมโดยเครื่องวัดคุณภาพไฟฟ้าที่ใช้ชิปประมวลผลสัญญาณดิจิทัลโดยใช้โปรแกรม Matlab GUI เชื่อมต่อกับบอร์ด TMS320C6713 DSK ผ่าน Realtime Data Exchange

คำสำคัญ: เครื่องวัดคุณภาพไฟฟ้า, การประมวลผลชิปประมวลผลสัญญาณดิจิทัล

Abstract

Power Quality Meter is an important tool for logging power quality problem data that has variety of occurring time as describe in IEEE 1159-1995 standards [1]. In this paper we will present the development of power quality meter base on TMS320C6713 floating point digital signal processor that runs at 225 MHz clock frequency. The data acquisition part use an ADS8364 analog to digital converter that has 16 bit resolution and 6 independent input channels that can simultaneously be sampled at 250 kSPS. The demonstration of using this digital signal processor to analyze power quality will use Matlab GUI program connects with TMS320C6713 DSK via RTDX (Realtime Data Exchange).

Keywords: Power Quality Meter, Power Quality Instrument, Digital Signal Processing Application

1. บทนำ

คุณภาพไฟฟ้า (Power Quality) ตามมาตรฐาน IEC และ IEEE คือคุณลักษณะของกระแสแรงดัน และความถี่ของแหล่งจ่ายไฟฟ้าในสภาวะปกติ ที่ไม่ทำให้อุปกรณ์ไฟฟ้าที่นำมาติดตั้งหรือเกิดการเสียหายและถึงอายุขัยมาถึง ค่าต่างๆที่ระบุไว้จะรวมถึง กระแส และความถี่ของแหล่งจ่ายพลังงานไฟฟ้า มีความคลาดเคลื่อนจากค่าปกติ ทั้งขนาดและรูปร่างมากน้อยเพียงใด โดยจะเห็นได้ว่าตั้งแต่ช่วงปี ค.ศ. 1980 คุณภาพไฟฟ้าซึ่งเป็นประเด็นที่มีความสำคัญมากขึ้นเรื่อยๆ สายกุล [2] ระบุว่า

- การนำอุปกรณ์ที่ไวต่อการเปลี่ยนแปลง (Sensitive Load) หรือโหลดที่ไม่เป็นเชิงเส้น (Non-linear Load) มาใช้มากขึ้น โหลดหยาบ โหลดโหม่งที่เกิดขึ้นมา มีการนำไมโครโปรเซสเซอร์มาใช้ในการควบคุม และมีอุปกรณ์อิเล็กทรอนิกส์กำลังเป็นส่วนประกอบอยู่ๆ เช่น อุปกรณ์ที่ดูควบคุมด้วยไมโครโปรเซสเซอร์, Programmable Logic Controller (PLC)

- ระบบไฟฟ้าในปัจจุบันมีขนาดใหญ่มากขึ้นและมีการเชื่อมต่อกันเป็นเครือข่าย (Network) แต่ละส่วนเป็นส่วนหนึ่งของระบบมีปัญหาคุณภาพไฟฟ้าที่อาจส่งผลกระทบต่ออื่นๆ

การแก้ปัญหาคุณภาพไฟฟ้าได้อ่างเหมาะสมนั้น ขึ้นอยู่กับ *การได้ข้อมูลที่มีความสำคัญ (Meaningful data) ในบริเวณที่เหมาะสม และช่วงเวลาที่เหมาะสม (Expedient time frame) ดังนั้น เครื่องวัดคุณภาพไฟฟ้า* จึงเป็นเครื่องมือที่มีความสำคัญมากในการเก็บข้อมูลและบอกลักษณะของปัญหาคุณภาพไฟฟ้าที่เกิดขึ้น

2. ทฤษฎีที่เกี่ยวข้อง

2.1 เครื่องวัดคุณภาพไฟฟ้า

เครื่องวัดคุณภาพไฟฟ้า เป็นเครื่องมือที่ใช้เก็บข้อมูลและบอกลักษณะของปัญหาคุณภาพไฟฟ้าที่เกิดขึ้น ซึ่งมีอยู่หลายประเภทและถูกสร้างขึ้นมาเพื่อแก้ปัญหาคุณภาพไฟฟ้า การใช้งานแต่ละประเภทขึ้นอยู่กับปรากฏการณ์ของปัญหาคุณภาพไฟฟ้าที่เกิดขึ้น โครงสร้างโดยทั่วไปของเครื่องวัดคุณภาพไฟฟ้า ดังแสดงในรูปที่ 1 ประกอบไปด้วยส่วนประกอบหลัก 2 ส่วนคือ

1. ส่วนดึงสัญญาณ (Data Acquisition)

PE-41



2. ส่วนประมวลผลและเก็บบันทึก



รูปที่ 1. โครงสร้างโดยทั่วไปของเครื่องวัดคุณภาพไฟฟ้า

2.2 การวิเคราะห์ความเพี้ยนฮาร์มอนิก [6]

ความเพี้ยนฮาร์มอนิก (Harmonic Distortion) คือการเปลี่ยนแปลงของรูปคลื่นทางไฟฟ้า (Power Waveform) ไปจากรูปคลื่นสัญญาณไซน์ (Sine Wave) เกิดจากการรวมกันของค่าความถี่กักขุด (Fundamental) และฮาร์มอนิกอื่นๆ โดยมีองค์ประกอบในการวิเคราะห์ฮาร์มอนิกและพหุนามของรีเลย์ที่กล่าวถึงดังนี้

2.2.1 อัลกอริทึมที่ใช้วิเคราะห์ความเพี้ยนฮาร์มอนิก

การวิเคราะห์ฮาร์มอนิกของสัญญาณไฟฟ้าที่สุ่มเข้ามา ซึ่งเป็นสัญญาณที่ตัวรับบนโดเมนเวลา $f(n)$ จะต้องเปลี่ยนไปเป็นสัญญาณที่อันโดเมนโดเมนความถี่โดยใช้อัลกอริทึม DFT (Discrete Fourier Transform) ดังสมการ (1) และเขียนในรูปแบบการคูณเมทริกซ์ดังสมการ (2) และ (3) ซึ่งใช้การคูณทั้งหมด 2^N ครั้ง

$$C_N = \frac{2}{N} \sum_{n=0}^{N-1} f(n) e^{-j2\pi n \frac{l}{N}} = \frac{2}{N} \sum_{n=0}^{N-1} f(n) W_N^{-ln} \quad (1)$$

$$\begin{bmatrix} C_0 \\ C_1 \\ \vdots \\ C_{N-1} \end{bmatrix} = \frac{2}{N} \begin{bmatrix} W_N^{0 \cdot 0} & W_N^{0 \cdot 1} & \dots & 1 \\ W_N^{1 \cdot 0} & W_N^{1 \cdot 1} & \dots & W_N^{1 \cdot (N-1)} \\ \vdots & \vdots & \ddots & \vdots \\ W_N^{(N-1) \cdot 0} & W_N^{(N-1) \cdot 1} & \dots & W_N^{(N-1) \cdot (N-1)} \end{bmatrix} \begin{bmatrix} f[0] \\ f[1] \\ \vdots \\ f[N-1] \end{bmatrix} \quad (2)$$

$$[C_N] = \frac{2}{N} [W_N^{-l} \cdot f] \quad (3)$$

ถ้ากระทำการเมทริกซ์ $[W_N^{-l}] = [W_1^{-l}] \cdot [W_2^{-l}] \dots [W_L^{-l}]$ โดยที่ $L = \log_2 N$ และ $[W_1], [W_2], \dots, [W_L]$ เป็นเมทริกซ์ที่มีพหุนามไม่เป็นศูนย์อยู่สองตัวในแต่ละแถว จะทำให้การคำนวณสมการ (3) เร็วขึ้นกว่าเดิม โดยใช้การคูณ $\frac{N}{2} \log_2 N$ ครั้งซึ่งเรียกอัลกอริทึมนี้ว่า FFT (Fast Fourier Transform) โดยอัลกอริทึมนี้มีอยู่หลายวิธีเช่น FFT-Radix-2, FFT-Radix-4 ซึ่งสามารถอ่านได้จาก [4, 6]

2.2.2 พารามิเตอร์ที่เกี่ยวข้องกับฮาร์มอนิก

- ค่าความเพี้ยนฮาร์มอนิกเฉพาะ (Individual Harmonic Distortion, IHD) คืออัตราส่วนระหว่าง RMS ของส่วนประกอบ

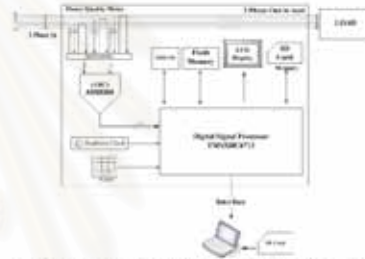
ฮาร์มอนิก (Harmonic Component) ผิดค่า RMS ของส่วนประกอบความถี่ขั้นมูลฐาน (Fundamental Component) เทียบเป็นร้อยละ

- ค่าความเพี้ยนฮาร์มอนิกทั้งหมด (Total Harmonic Distortion, THD) คืออัตราส่วนระหว่างค่ารากที่สองของผลรวมกำลังสอง (Root-Sum-Square) ของค่า rms ของส่วนประกอบฮาร์มอนิก (Harmonic Component) กับค่า rms ของส่วนประกอบความถี่ขั้นมูลฐาน (Fundamental Component) เทียบเป็นร้อยละดังสมการในสมการ (4) และ (5)

$$THD_{Voltage} = \frac{\sqrt{(V_2^2 + V_3^2 + \dots)}}{V_1} \quad (4)$$

$$THD_{Current} = \frac{\sqrt{(I_2^2 + I_3^2 + \dots)}}{I_1} \quad (5)$$

3. การออกแบบและสร้างต้นแบบเครื่องวัดคุณภาพไฟฟ้า



รูปที่ 2. โครงสร้างภายในเครื่องวัดคุณภาพไฟฟ้าที่ออกแบบ

ต้นแบบเครื่องวัดคุณภาพไฟฟ้าที่ออกแบบและสร้างขึ้นนี้ มีโครงสร้างภายในดังรูปที่ 2 สามารถประมวลผลและแสดงผลออกเป็นฮาร์มอนิกและพหุนามได้ดังนี้

3.1 ส่วนประกอบฮาร์ดแวร์

เครื่องวัดคุณภาพไฟฟ้าที่ออกแบบประกอบไปด้วยฮาร์ดแวร์ส่วนต่างๆดังนี้

- ชิปประมวลผลสัญญาณดิจิทัล (Digital Signal Processor) TMS320C6713 [4] ประมาณค่าที่ความถี่ 225 MHz, มีโครงสร้างหน่วยความจำภายในแบบ L1/L2 (4K-Byte L1P Program Cache, 4K-Byte L1D Data Cache, 256K-Byte L2 Memory), ช่องสัญญาณแบบ Enhanced Direct-Memory Access (EDMA) 16 ช่องสัญญาณเป็นจุดทศนิยม Floating Point ที่งานที่ทำได้ 1350 MFLOPS (million floating point operation per second), 18000 MIPS (million instructions per second), ไบต์เมมรี่ 32 บิต 2 ชุด, ฮาร์ด I2C จำนวน 2 ชุด, ฮาร์ด McBSP (Multichannel Buffer Serial Port) 2 ชุด, ไบท์ GPIO 16 พ

- ขั้วแปลงสัญญาณแอนะล็อกเป็นดิจิทัลคือ ADS8364 [5] เป็นชิปที่มีช่องสัญญาณ 6 ช่องสัญญาณทำงานพร้อมกันและเป็นอิสระต่อกัน ทำให้สามารถวิเคราะห์สัญญาณแรงดันและกระแสของระบบไฟฟ้า 3 เฟสได้, มีอัตราสุ่มสัญญาณ 250 MSPS ทำให้สามารถวิเคราะห์สภาวะไม่ปกติในสัญญาณได้ถึงอันดับที่ 50 และสามารถวิเคราะห์การเปลี่ยนแปลงทันทีทันใดที่เกิดในช่วงความถี่ต่ำไม่เกิน 5 MHz ซึ่งมีระดับแรงดันอยู่ระหว่าง 0-4 pu. เวลาในการแปลงข้อมูลไปจนถึงการส่งข้อมูลต่อหนึ่งครั้งใช้เวลา 4 μ s การส่งข้อมูลในแบบขนาน (Parallel Interface) ติดต่อกับชิปประมวลผลสัญญาณดิจิทัลผ่านทาง EMIF (External Memory Interface)

- หมดแปลงกระแส ความแม่นยำ 0.1% กระแสพัก 10 A
- บอร์ดปรับเงื่อนไขสัญญาณ (Signal Conditioning Board)

เป็นบอร์ดที่ได้ออกแบบขึ้นมาเพื่อปรับขนาดสัญญาณที่จะวัดให้เหมาะสม ก่อนส่งเข้าไปยังชิปแปลงสัญญาณแอนะล็อกเป็นดิจิทัล

- สัญญาณนาฬิกาเวลาจริง DS1307 เชื่อมต่อกับชิปประมวลผลสัญญาณดิจิทัลแบบ I2C

- หน่วยความจำแฟลช SD Card เชื่อมต่อด้วย SPI Protocol ผ่านทาง McBSP (Multichannel Buffer Serial Port) ของชิปประมวลผลสัญญาณดิจิทัล

- 80 LCD

การเชื่อมต่อนี้ระหว่างชิปประมวลผลสัญญาณดิจิทัลกับอุปกรณ์อื่นๆโดยสรุปแสดงดังรูปที่ 3



รูปที่ 3. การเชื่อมต่อนี้ระหว่างชิปประมวลผลสัญญาณดิจิทัล TMS320C6713 กับอุปกรณ์อื่น ในเครื่องวัดคุณภาพไฟฟ้า



รูปที่ 4. บอร์ด TMS320C6713 DSK และบอร์ด ADS8364 ที่สร้างขึ้น

3.2 รายละเอียดส่วนซอฟต์แวร์

ดังแสดงในรูปที่ 5 ชุดซอฟต์แวร์ที่โปรแกรมลงในชิปประมวลผลสัญญาณดิจิทัล TMS320C6713 จะควบคุมการทำงานในส่วนต่างๆดังนี้

1. รับสัญญาณเวลา (Time Stamp) จากเว็ลท์ท็อคโมดโมดูต
2. รับสัญญาณดิจิทัลความเร็วต้นและกระแสที่วัด จากชิปแปลงสัญญาณแอนะล็อกเป็นสัญญาณดิจิทัลคือ ADS8364
3. คำนวณพหุนามดีคาร์ทิวซของรูปทรงคาบไฟฟ้า
4. ส่งข้อมูลที่คำนวณได้ส่งมายังหน่วยความจำไปบันทึกยัง SD Card และส่งสัญญาณค่าสัมประสิทธิ์ข้อมูลเพื่อแสดงผลข้อมูลบนจอ LCD
5. ส่งข้อมูลไปยังคอมพิวเตอร์



รูปที่ 5. ขั้นตอนการทำงานของโปรแกรมภายในชิปประมวลผลสัญญาณดิจิทัล TMS320C6713

พหุนามดีคาร์ทิวซจะทำการวัดและแสดงผลจะแบ่งได้เป็นสองส่วนคือ

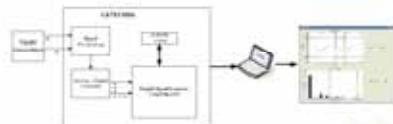
1. ส่วนที่อยู่บนตัวเครื่องวัดคุณภาพไฟฟ้า เป็นข้อมูลที่ สามารถแสดงผลการวิเคราะห์ต่อคนเป็นตัวเลข ประกอบไปด้วยข้อมูล แรงดัน, กระแส, RMS, ค่าประกอบกำลัง, กำลังจริง, กำลังเสมือน, กำลังปรากฏ, พลังงาน, Flicker-P_{st}, P_{st}, อนุพันธ์และกระแส สารี ไมนิกซ์, THD_v, THD_i,
2. ส่วนที่อยู่บนคอมพิวเตอร์ เป็นส่วนที่แสดงผลข้อมูลออกมาเป็นรูปคลื่นแรงต้นและกระแสที่บันทึกไว้ ส่วนโปรแกรมคอมพิวเตอร์ GUI ที่เขียนขึ้น ดังนี้

4. การทดลองวิเคราะห์คุณภาพของสัญญาณ

4.1 การวัดสัญญาณแรงดันไฟฟ้าและการแสดงผลการวิเคราะห์ฮาร์โมนิกส์ด้วยโปรแกรม GUI

การทดสอบขั้นต้นของการออกแบบและสร้างต้นแบบเครื่องวัดคุณภาพไฟฟ้า จะนำเสนอการใช้บอร์ดทดลองชิปประมวลผลสัญญาณดิจิทัลวิเคราะห์ระดับฮาร์โมนิกส์ในสัญญาณแรงต้นที่สร้างขึ้นมาจากรีจิสเตอร์สัญญาณดังแสดงในรูปที่ 6 ซึ่งมีระดับฮาร์โมนิกส์ที่ผู้กำหนด โดยบอร์ดทดลองจะส่งข้อมูลที่วิเคราะห์ได้ไปยังโปรแกรม GUI

ที่เขียนขึ้นบนโปรแกรม Matlab ผ่านทาง RTDX (Realtime Data Exchange) [3] ซึ่งเป็นการทำงานร่วมกับระบบวัดผลสัญญาณดิจิทัลกับคอมพิวเตอร์ (PC Host) ผ่านทาง JTAG (Joint Test Action Group) เพื่อแสดงผลออกมา



รูปที่ 6. การทดลองวัด, วิเคราะห์สเปกตรัมในนิกซ์สัญญาณแรงดันไฟฟ้าและส่งไปแสดงผลบนโปรแกรม Matlab GUI



รูปที่ 7. ผลการวิเคราะห์สัญญาณสเปกตรัมในนิกซ์โปรแกรม Matlab GUI และ จมูกวัดรุ่น 199C Fluke Scopemeter

4.2 ตารางเปรียบเทียบผลการวิเคราะห์สเปกตรัมในนิกซ์

ในส่วนนี้จะแสดงผลการเปรียบเทียบระหว่างสเปกตรัมในนิกซ์ที่วิเคราะห์ได้จากเครื่องวัด FLUKE 119C SCOPEMETER ซึ่งสามารถวิเคราะห์สเปกตรัมในนิกซ์ในสัญญาณ ออกมาได้ถึงสเปกตรัมในนิกซ์ที่ 13 กับเครื่องมือวัดแบบเครื่องวัดคุณภาพไฟฟ้า

| ลำดับสเปกตรัมในนิกซ์ที่ | % จากเครื่องวัดสัญญาณ | % ที่วัดจาก FLUKE 199C | % ที่วัดจาก สเปกตรัมเครื่องวัด |
|-------------------------|-----------------------|------------------------|--------------------------------|
| 1 | 100 | 100 | 100 |
| 5 | 18.24 | 18.4 | 23.03 |
| 7 | 11.90 | 12.2 | 15.67 |
| 11 | 5.73 | 4.99 | 5.405 |
| 13 | 4.01 | 4.49 | 7.452 |
| 17 | 1.93 | - | 1.335 |
| 19 | 1.944 | - | 2.574 |

5. สรุป

จากปัญหาคุณภาพไฟฟ้าที่มีอยู่ตลอดเวลา และหลายสาเหตุ เครื่องวัดคุณภาพไฟฟ้าจำเป็นจะต้องมีความสามารถในการเก็บ

ข้อมูล, และมีความยืดหยุ่นในการปรับเปลี่ยนฟังก์ชันสำหรับในการวิเคราะห์ จังหวะเวลาของสัญญาณดิจิทัล TMS320C6713 เป็นหน่วยประมวลผลหลักของเครื่องที่ออกแบบ โครงสร้างภายในของชิปสามารถปรับปรือใหม่และเพื่อเสริมฟังก์ชันการทำงาน เพื่อให้สามารถวิเคราะห์ปัญหาคุณภาพไฟฟ้าดังกล่าวได้อย่างดี และการใช้ชิปแปลงสัญญาณแอนะล็อกเป็นดิจิทัล ADS8364 ซึ่งมีควมละเอียด 16 บิตและมีอัตราจับค่าสัญญาณที่ 250 MSPS สามารถแปลงสัญญาณได้ 6 ช่องสัญญาณพร้อมกัน จะช่วยให้สามารถวิเคราะห์ระบบไฟฟ้า 3 เฟสได้และครอบคลุมช่วงปัญหาคุณภาพไฟฟ้าที่เกิดขึ้น

เอกสารอ้างอิง

- [1] IEEE Std 1159-1995, "IEEE Recommended Practice for Monitoring Electric Power Quality".
- [2] Roger C. Dagan, Mark F. McGrath, Sarya Santoso, H" Wayne Beaty, "Electrical Power Systems Quality Second Edition", McGraw Hill, pp. 1-42, 2004.
- [3] Ralph Chassaing, "Wiley Digital Signal Processing and Applications with the C6713 and C6416 DSK", Wiley-Interscience, pp. 302-321, pp. 208-247, 2005.
- [4] TMS320C6713 Floating-Point Digital Signal Processor, [online]. Available from: <http://www.ti.com>, [2001, December].
- [5] ADS8364 Analog to Digital Converters, [online]. Available from: <http://www.ti.com>, [2002, June].
- [6] Joe Arrillaga, Neville R. Watson, "Power System Harmonics Second Edition", John Wiley & Sons, pp. 17-38, 2003.



ดร.นพน วิวัฒน์ สอนวิชาวิศวกรรมระดับปริญญาตรี สาขาวิศวกรรมไฟฟ้า จากจุฬาลงกรณ์มหาวิทยาลัย ปัจจุบันกำลังศึกษาในระดับปริญญาโทบัณฑิต สาขา วิศวกรรมไฟฟ้า จุฬาลงกรณ์มหาวิทยาลัย สนใจงานวิจัยด้านการออกแบบระบบสมองกลฝังตัว



เอกซัต นีรนันท์ สอนวิชาวิศวกรรมระดับปริญญาตรี สาขาวิศวกรรมไฟฟ้า จากจุฬาลงกรณ์มหาวิทยาลัย ในปี พ.ศ. 2517 ในปี พ.ศ. 2519 ถึง พ.ศ. 2525 ได้รับทุนสนับสนุนเพื่อไปศึกษาต่อในระดับปริญญาโท และเอก ณ University of California at Berkeley ประเทศสหรัฐอเมริกา ปัจจุบันดำรงตำแหน่งรองศาสตราจารย์ประจำภาควิชาวิศวกรรมไฟฟ้า คณะวิศวกรรมศาสตร์ จุฬาลงกรณ์มหาวิทยาลัย งานวิจัยที่สนใจคือ ปรกกรมจำลองการทำงานของระบบไฟฟ้า การสังเคราะห์เสียงภาษาไทย, ระบบคำบรรยายในเครื่องโทรทัศน์ และการออกแบบวงจรรวม

ประวัติผู้เขียนวิทยานิพนธ์

นายสกลพงษ์ บุรณะวิทย์ เกิดวันที่ 15 ตุลาคม พ.ศ.2530 ที่จังหวัด กรุงเทพมหานคร สำเร็จการศึกษาปริญญาวิศวกรรมศาสตรบัณฑิต สาขาวิชาวิศวกรรมไฟฟ้า จาก คณะวิศวกรรมศาสตร์ จุฬาลงกรณ์มหาวิทยาลัยในปีการศึกษา 2549 และเข้าศึกษาต่อใน หลักสูตรวิศวกรรมศาสตรมหาบัณฑิตสาขาวิชาวิศวกรรมไฟฟ้า แขนงวิชาวิศวกรรมไฟฟ้า อิเล็กทรอนิกส์ ที่คณะวิศวกรรมศาสตร์ จุฬาลงกรณ์มหาวิทยาลัยในปีการศึกษา 2550



สถาบันวิทยบริการ
จุฬาลงกรณ์มหาวิทยาลัย